

C-14092 870

Kwantificering van vogelbewegingen
langs de kust bij IJmuiden:
een radarstudie.

H. van Gasteren
J. van Belle
L.S. Buurma¹

Koninklijke Luchtmacht



Opdrachtgever: Ministerie van Verkeer en Waterstaat, Directie Noordzee

Februari 2002
Den Haag

¹ Correspondentie naar Koninklijke Luchtmacht, Afdeling Ondersteunende Operaties, L.S. Buurma,
Postbus 20703, 2500 ES Den Haag.

Inhoud

1	Inleiding.....	5
1.1	Aanleiding	5
1.2	Vogelbewegingen voor de Nederlandse kust	5
1.3	Vraagstelling	6
1.4	Doel en opzet.....	7
2	Materiaal	8
2.1	Het principe van radar	8
2.2	Twee manieren om met een radar te meten: scannen en volgen	8
2.3	De Flycatcher doelvolgradar	8
2.3.1	Functies van de Flycatcher	8
2.3.2	Specificaties van de Flycatcher.....	10
2.4	ROBIN	10
2.5	Visuele tellingen.....	11
2.6	Weergegevens.....	11
2.7	Locatie	11
3	Methoden	14
3.1	Van scannen en volgen naar echo's per km ³	14
3.1.1	Scans	14
3.1.2	Individueel gevolgde echo's	16
3.2	Echo's op het overzichtsbeeld	17
4	Analyse	18
4.1	Bepaling van flux uit de elevatiescan.....	18
4.1.1	De kritieke bundelbreedte	18
4.1.2	De relatie tussen afstand en detectiekans	19
4.2	Gevolgde echo's	19
4.2.1	Richtingsverdelingen	19
4.2.2	Soorten en groepsdimensies	19
4.3	Van echo-fluxen naar dichtheden	20
4.4	Echo's op het overzichtsbeeld	21
4.5	Definities	22
4.5.1	Tijden	22
4.5.2	Locaties	22
5	Resultaten.....	23
5.1	Jaaroverzicht vliegpaden	23
5.1.1	Aantallen geïdentificeerde vliegpaden	23
5.1.2	Soorten en soortgroepen van de geïdentificeerde vliegpaden.....	26
5.1.3	Vlieghoogten geïdentificeerde vliegpaden	29
5.1.4	Vliegrichting.....	31
5.1.5	Groepen of solitair vliegende vogels geïdentificeerde vliegpaden	34
5.2	Jaaroverzicht elevatiescans.....	34
5.2.1	Aantallen uitgewerkte scans	34
5.2.2	Echodichtheden en vlieghoogten in de elevatiescan	35
5.2.3	Dichtheidsverloop dwars op de kust	36
5.3	Vogeldichtheden in de onderste 100 meter	36
5.4	Maandoverzichten	40
5.4.1	Standaard uitwerkingen van de maandresultaten.....	40
5.4.2	Opmerkelijke waarnemingen van maand tot maand.....	40
5.5	Integratie en kwantificering	42
5.5.1	Maandelijks dichtheden aan trekkende vogels	42
5.5.2	Hoogteverdelingen	43
5.5.3	Dichtheidsafname vanaf de kust, boven de 100 meter.....	44
5.5.4	Soortspecifieke patronen in relatie tot de afstand uit de kust.....	45
5.5.5	De radargegevens vergeleken met de literatuur	47
6	De opzet en geldigheid van het onderzoek.....	49
6.1	Methodologisch.....	49
6.2	Biologisch	50
6.2.1	Kustgebonden vogels en echte zeevogels.....	50

6.2.2	Landvogels.....	51
7	Conclusies en aanbevelingen.....	52
7.1	Conclusie.....	52
7.2	Perspectieven voor vervolgonderzoek.....	52
8	Gedetailleerde beschrijving van de maandoverzichten.....	54
8.1.1	Opzet.....	54
8.1.2	Februari.....	56
8.1.3	Maart.....	59
8.1.4	April.....	64
8.1.5	Mei.....	69
8.1.6	Juni.....	73
8.1.7	Juli.....	77
8.1.8	Augustus.....	81
8.1.9	September.....	85
8.1.10	Oktober.....	89
8.1.11	November.....	94
8.1.12	December.....	98
9	Dankwoord.....	103
10	Literatuur.....	105
	Samenvatting.....	108
	Summary.....	110
	Appendix A. Verklarende woordenlijst.....	112
	Appendix B. De vorm van de radarbundel.....	114

1 INLEIDING

1.1 Aanleiding

Als gevolg van de sterke groei in de luchtvaartsector overwoog de Nederlandse regering een uitbreiding van de huidige vliegveldcapaciteit. Daarbij rees de vraag of Schiphol op de huidige plek moet worden uitgebreid of dat gezocht moet worden naar een nieuwe locatie. In december 1999 besloot het kabinet Schiphol te laten waar het ligt en het capaciteitstekort annex de milieubelasting voorlopig op te lossen via de aanleg van de 5^e baan. Tegelijkertijd besloot zij de mogelijkheden op lange termijn van een vliegeiland voor de kust te onderzoeken. In 1999 waren verschillende haalbaarheidsstudies uitgevoerd om de beslissing over zo'n eiland te ondersteunen. Eén van de vragen daarbij betrof het vogelaanvaringsrisico.

Voor het inschatten van het risico van vogelaanvaringen boven een vliegveld in de Noordzee blijkt onvoldoende kwantitatieve informatie over vogelvliegeactiviteit beschikbaar. De kust staat bekend als vogelrijk, niet in de laatste plaats door ophopingen van vogels als gevolg van vogeltrek. Botsingen tussen vliegtuigen en vogels worden in toenemende mate herkend als een fors probleem. Recente overzichten van ongevallen uit de militaire (Richardson & West 2000) en civiele luchtvaart (Thorpe 1996) tonen aan dat vogelaanvaringen niet alleen grote materiele schade veroorzaken, maar ook mensenlevens kunnen kosten. Het is dus logisch dat de overheid de vraag heeft opgeworpen hoe het zit met de trekbanen langs de kustlijn: hoe massaal en hoe breed zijn die vogelstromen en hoever uit de kust zou een vliegveld eiland moeten worden geprojecteerd om uit de gevarezone te blijven.

Weliswaar is redelijk goed bekend in welke aantallen vogels op land en in zee voorkomen maar de dichtheden aan vliegende vogels rondom de Nederlandse westkust, in het bijzonder tijdens de trek, zijn nooit gemeten. Een eeuw lang trektellen door talloze vogelaars heeft een algemeen beeld opgeleverd over trekroutes van alle soorten langs de kustlijn, alsook boven en achter de branding, maar dit semi-kwantitatieve beeld is aanzienlijk vertekend doordat visuele methoden beperkt zijn tot a) de daglicht uren, b) de onderste 50 à 100 meter en c) de eerste 1 à 2 kilometer vanaf de zeereep. Visuele waarnemingen vanaf schepen en vanuit vliegtuigen vullen het algemene beeld aan tot in volle zee maar een kwantitatieve vergelijkingsbasis ontbreekt. Bovendien bemoelijken de beperkte mogelijkheden tot visuele afstandsschatting de omrekening van getelde vogelaantallen naar aantallen per luchtvolume. Met radar is het mogelijk om zowel overdag als 's nachts te meten. Bovendien zijn afstandsmetingen met radar zeer nauwkeurig. Verder zijn, afhankelijk van het gebruikte type radar, metingen tot op aanzienlijk grotere afstanden en hoogten mogelijk dan met visuele methoden. Dit alles heeft tot de conclusie geleid dat er behoefte is aan radarwaarnemingen in aanvulling op de reeds bestaande kennis. Wel moet worden opgemerkt dat ook aan vogeldetectie met radar grote beperkingen kleven, met name als het gaat om de identificatie van vogels (o.a. Bruderer 1997). Deze beperkingen kunnen deels worden opgeheven door gebruik te maken van een radar die niet alleen vogels kan opsporen, maar ook individuele echo's kan volgen met een zogenaamde doelvolgantenne.

De Sectie Natuurtechniek en Ecologisch Beheer (SNEB) van de Koninklijke Luchtmacht (KLu) kon zowel een radar met bemanning als de bijbehorende expertise leveren. Al in 1985 heeft de KLu ervaring opgedaan met het benutten van een doelvolgradar van het type Flycatcher voor de registratie van vogeltrek over Zuidoost-Nederland (Buurma 1986, Buurma & Bruderer 1990), naar Zwitsers voorbeeld (Bruderer 1971). Daarbij werd de radar door Hollandse Signaal Apparaten (HSA), de producent van de Flycatcher, tijdelijk aangepast. De expertise om de radar opnieuw te modificeren bleek nog aanwezig. Bovendien is inmiddels een vogelvideo-extractie systeem ontwikkeld om, ten behoeve van vliegveiligheid, vogelaantallen te meten uit de ruwe data van long-range surveillance radars in noord- en midden Nederland, ROBIN (Buurma 1989). Het bleek mogelijk ROBIN aan te passen voor gebruik met de Flycatcher.

1.2 Vogelbewegingen voor de Nederlandse kust

In de hoogtij jaren van de radarornithologie (Eastwood 1967) is veel grove informatie over de trek over zee langs de Engelse oostkust bijeengebracht door Lack (1959, 1962, 1963a en 1963b). In de herfst van 1976 is bij Hoek van Holland met de voorganger van de Flycatcher een studie uitgevoerd naar vogeltrek over de Zuid-Hollandse kust. Daarbij lag een zwaar accent op kwantificering van de trek in de tijd, maar was geen soortinformatie beschikbaar (Buurma & van Gasteren 1989). Verder geeft Buurma (1987) een overzicht van grootschalige trekgolven in oktober boven Noordwest-Nederland en de aangrenzende Noordzee. Materiaal over de andere maanden van het jaar ligt vast in een niet gepubliceerde database op de luchtmachtstaf.

Het algehele beeld uit studies met grootschalige radars is dat er 's nachts veel meer vogels vliegen dan overdag. Ook wekt het radarbeeld in West-Europa de indruk dat de voorjaartrek minstens even massaal, zo niet massaler is dan de herfsttrek. Dit is gedeeltelijk het gevolg van vertekening veroorzaakt door het onvermogen van lange afstandsradars om details over groepsgedrag te geven en de onmogelijkheid om de onderste luchtlaag achter de radarhorizon te bereiken. Dankzij gedetailleerde 3D studies met doelvolgradar (o.a. Bruderer 1971) is bekend dat de meeste vogels 's nachts solitair vliegen. Overdag daarentegen trekken de meeste vogels in groepen. Omdat die groepen als één echo op het radarscherm verschijnen lijkt bij gelijke vogelaantallen de trek overdag veel zwakker dan 's nachts. Bovendien vliegt overdag vaak een deel van de vogels zeer laag en daardoor onder de radarbundel. Het is daardoor mogelijk dat grote rondzoekradars vrijwel niets zien, terwijl de veldwaarnemers zich in een intense onderstroom van lage trek bevinden. Omgekeerd komt het ook voor dat veldwaarnemers niets zien terwijl op de grote rondzoekradars blijkt dat op grotere hoogte wel degelijk grote aantallen vogels vliegen (Buurma et al. 1986). Zonder in te gaan op allerlei uitzonderingen op het bovenstaande stellen we vast dat we met de toepassing van een kleinschalige (doelvolg) radar met hoge resolutie een brug slaan tussen "de oude radarornithologie" enerzijds en de nog oudere veldornithologie anderzijds.

Voor informatie over systematische veldwaarnemingen langs de kust kan worden verwezen naar uitgebreide literatuur. Informatie van trek over zee is toegankelijk via Camphuysen & van Dijk 1983, Baptist & Wolf 1993, Camphuysen & Leopold 1994 en Platteeuw et al. 1994. De trek van landvogels over de zeereep en duinen werd reeds in het begin van de 20^e eeuw besproken. Overzichten zijn te vinden in Bloem & Bloem-Margadant 1985 en Mostert & Laponder 1988.

Het is algemeen bekend dat er in de herfst overdag, op lage hoogte boven de zeereep, een geconcentreerde stroom landvogels vliegt. De huidige theorie stelt dat deze stroom ontstaat uit zuidwestelijk georiënteerde breedfronttrek van landvogels die, stuitend op de kustlijn, naar het zuiden afbuigen om een vlucht over zee te vermijden. Naar het zuiden hoopt deze gestuwde trek tot steeds grotere aantallen op.

Ook boven en achter de branding vliegen veel landvogels parallel aan de kust. Dit zijn meest wetlandsoorten, die de kust volgen omdat zich daar de voor hen geschikte biotopen bevinden, of omdat de kust fungeert als gidslijn. Die laatste theorie wordt gesteund door het feit dat de wetlandsoorten ook in het voorjaar veelal de kustlijn volgen.

Tenslotte vliegen, veelal achter de branding, soorten die kunnen worden gerekend tot de meer of minder echte zeevogels (enkele grote soorten meeuwen, jagers, stormvogels, Jan van Gent, zee-eenden). Ook voor die soorten zou kunnen gelden dat ze de kustlijn volgen om te vermijden dat ze boven "ongunstig" landschap (in dit geval land) moeten vliegen.

Verder is de kustzone ook het domein voor veel lokaal vogelverkeer. Vooral in de zomer zijn meeuwen erg talrijk in het kustgebied (Camphuysen et al. 1999). Sommige soorten, zoals Zilvermeeuw *Larus argentatus*, Kokmeeuw *L. ridibundus* en Stormmeeuw *L. canus* worden vooral vlakbij de kust en verder in het binnenland waargenomen; andere, zoals de Kleine Mantelmeeuw *L. fuscus*, Grote Mantelmeeuw *L. marinus* en Drieteenmeeuw *Rissa tridactyla* foerageren en slapen op volle zee. Viskotters en andere schepen kunnen een grote aantrekkingskracht uitoefenen op meeuwen. Ook bij waterscheidingen worden grote groepen meeuwen aangetroffen. Kustwateren vormen een belangrijk overwinteringsgebied voor duikers, futen en zee-eenden. Het leeuwendeel daarvan bevindt zich dicht onder de kust. Tot slot worden Aalscholvers *Phalacrocorax carbo* steeds talrijker in Nederland, ook in de kustwateren die dienen als foerageer- slaap en overwinteringsgebied.

De grote lijn in het bovenstaande is dat rondom de West-Nederlandse kustlijn in alle seizoenen een concentratie aan vogelvliegeactiviteit optreedt. Haaks op de kustlijn is er dus een gradiënt van "vogelvlees per km³" te verwachten in die zin dat er zowel naar het binnenland als naar volle zee een afname in vogeldrukke moet bestaan

1.3 Vraagstelling

Met name richting volle zee is onbekend hoe snel de dichtheid aan vliegende vogels afneemt, welke vlieghoogtes daarbij horen en helemaal onduidelijk is wat er 's nachts gebeurt. De simpele opdracht luidt dus: bepaal het driedimensionale verloop van de dichtheid aan vliegende vogels haaks op de kust, over het etmaal en over de seizoenen. Strikt genomen zou het voor de centrale vraag (hoe ver

een vliegveld eiland uit de kust zou moeten komen te liggen om onacceptabele aanvaringsrisico's te mijden) voldoende kunnen zijn deze gradiënt uit te drukken in kilo's vogelvlees. Voor het biologisch begrip van wat er nu eigenlijk rondom de kust gebeurt en hoe en wat de variatie bepaalt is veel meer nodig, in de eerste plaats soortsinformatie. De radar alleen kan deze informatie onvoldoende leveren, soortidentificatie is slechts in beperkte mate mogelijk. Geïndiceerd door de radarwaarnemingen zullen aanvullende veldwaarnemingen nodig zijn.

1.4 Doel en opzet

Dit rapport beschrijft de gedetecteerde dichtheden van vliegende vogels per maandelijkse meetweek over het jaar 1999. De gegevens worden verbijzonderd naar vliegrichtingen en -hoogtes en waar mogelijk naar soorten en/of soortgroepen. Uit de combinatie van radarscans en vliegpaden van individueel gevolgde vogels wordt de dichtheidsgradiënt haaks op de kust berekend. De invloed van het weer en in het bijzonder van de wind wordt besproken. Dit is dus een beschrijvend rapport, waarin mogelijke verklaringen voor de gevonden fenomenen slechts beperkt aan de orde komen. Zoals vaak met radarornithologisch werk ligt er veel meer informatie in de meetresultaten besloten dan we er met de beschikbare aanwijzingen, zoals soortinformatie en omgevingsparameters, uit kunnen halen. Met deze presentatie beogen we daarom, naast het beantwoorden van de vraag over de dichtheidsgradiënt, tevens belangstelling te wekken voor gesignaleerde fenomenen die om aanvullend onderzoek vragen. Daartoe is het basismateriaal, veelal in elektronische vorm, in beginsel beschikbaar voor belangstellenden.

Gelet op de doelstelling wordt de hoofdmoot van de resultaten weergegeven in maandelijkse beschrijvingen. Deze uitwerkingen per maand worden voorafgegaan door een jaaroverzicht en een integratie van de waargenomen aspecten en conclusies.

2 MATERIAAL

2.1 Het principe van radar

Een radar zendt met behulp van een antenne gebundelde elektromagnetische energie uit. Deze energie wordt onderschept en voor een deel teruggestraald door objecten die binnen de bundel vliegen. Deze gereflecteerde energie wordt weer ontvangen door de radar. Aangezien elektromagnetische energie door de atmosfeer reist met de snelheid van het licht, is de afstand van het object tot de radar te berekenen uit de tijd tussen verzenden en ontvangen van energie. De mate waarin energie wordt teruggestraald naar de radar hangt af van de grootte, de vorm en het materiaal van het onderschepte object. Grotere objecten reflecteren over het algemeen meer energie dan kleine, platte vlakken reflecteren meer in één richting dan ronde en metaal en water zijn betere reflectoren dan bijvoorbeeld hout en veren.

Al deze fenomenen maken dat waarnemingen met radar nogal verschillen van visuele waarnemingen. Ten eerste is een radar niet afhankelijk van daglicht. Bovendien kunnen, dankzij de korte golflengte van de uitgestraalde energie en de gevoeligheid van de ontvanger, kleine objecten tot op zeer grote afstand worden waargenomen. Aan de andere kant levert een radarecho nauwelijks informatie over de fysieke eigenschappen van een onderschepte object. Kleur, vorm en zelfs grootte kunnen niet rechtstreeks worden bepaald. Tot slot is een radarbundel niet scherp begrensd zoals de waarneembundel van bijvoorbeeld een verrekijker. De energie wordt weliswaar binnen een bepaalde hoek uitgezonden (de *nominale uittreehoek*), maar door verstrooiing komt ook een deel van de energie buiten die nominale uittreehoek terecht. Daar zullen objecten dus ook energie oppikken en als de hoeveelheid energie die naar de radar wordt teruggestuurd maar groot genoeg is, wordt het object waargenomen. Dit betekent dus dat de *werkelijke uittreehoek* van een radar afhankelijk is van de reflecterende eigenschappen (formaat, vorm en materiaal) van de te onderscheppen objecten. Voor berekeningen van de bundelbreedte verwijzen wij naar de appendix B.

2.2 Twee manieren om met een radar te meten: scannen en volgen

Een radar kan op twee manieren worden ingezet. De meest bekende manier is om, zoals bij een scheepsradar, de antenne rond te laten draaien en zo de omgeving af te zoeken op (vliegende) objecten (*scannen*). De onderschepte objecten worden, naar afstand en richting ten opzichte van de radar, geprojecteerd op een monitor. Op deze manieren kunnen alle objecten binnen het bereik van de radar tegelijk worden waargenomen, maar over de afzonderlijke echo's is zeer weinig bekend. Voor het scannen wordt meestal een antenne met een grote verticale uittreehoek gebruikt, zodat een groot deel van de lucht wordt bemonsterd. Een andere werkwijze is om objecten te volgen met een radar met een kleine uittreehoek. De doelvolgantenne wordt zo gestuurd dat het waar te nemen object in het hart van de radarbundel blijft. Zo worden de afstand en de hoek van het gevolgde object ten opzichte van de radar continu gemeten en vastgelegd. Bovendien kan extra informatie over de echo worden verkregen, hetzij aan de hand van de intensiteit van het radarsignaal, hetzij met behulp van extra sensoren (bijvoorbeeld een videocamera) die aan de doelvolgantenne zijn gekoppeld. Het nadeel van deze methode is dat maar één radarecho tegelijk kan worden bestudeerd.

2.3 De Flycatcher doelvolgradar

2.3.1 Functies van de Flycatcher

De in deze studie gebruikte radar, de *Flycatcher* (Foto 1) is een gecombineerde zoek- en volgradar. De zoekantenne, een balk van twee meter lang, wordt gebruikt om vliegende objecten (vogels, vliegtuigen) op te sporen. De doelvolgantenne is ontwikkeld om opgespoorde objecten te kunnen volgen. Bij normaal gebruik wordt het luchtruim dus afgezocht met de zoekantenne. Die heeft een verticale uittreehoek van 20 graden en een maximaal vogelbereik van 10 km voor grote vogels als bijvoorbeeld een Zilvermeeuw. Alle door deze radarbundel onderschepte objecten worden geprojecteerd op een monitor, de *PPI*, met een instelbaar bereik van 5 of 10 kilometer. Op deze monitor kunnen echo's worden aangewezen met een joystick waarna de doelvolgantenne (de schotelvormige antenne bovenop de radar) op de bijbehorende plaats het luchtruim verticaal aftast tot het doel is gevonden. Dan wordt de antenne automatisch bijgestuurd zodat de vogel in het hart van de bundel blijft. Uit de afstands-informatie en de hoeken van de antenne berekent de computer van de radar een driedimensionaal vliegp pad van de vogel. Tijdens het volgen gaat de helft van het beschikbare zendvermogen naar de doelvolgantenne, met de andere helft van het vermogen wordt de scanning met de zoekantenne voortgezet. Daardoor wordt tijdens het volgen van echo's het bereik

van de zoekantenne iets verkleind. Zodra de echo niet meer wordt gevolgd gaat alle energie weer naar de zoekantenne.

Dankzij de modificatie van het systeem kan ook de doelvolgantenne worden gebruikt om vliegende objecten (o.a. vogels) op te sporen (conform de zoekantenne). Bij de horizontale of *azimut-scan* draait de antenne met een vaste snelheid rond en zoekt de horizon af. Omdat de doelvolgantenne een kleine uittreehoek heeft ($2,4^\circ$) is de bemonsterde hoogte klein, zodat de hoogte van opgespoorde objecten is te berekenen met een precisie van 200 meter. Deze methodiek is zeer geschikt om in een korte tijd een grote steekproef van de verschillende snelheden en vliegrichtingen op de verschillende hoogtes met elkaar te vergelijken. Door de doelvolgantenne onder verschillende elevatiehoeken rond te laten draaien is het mogelijk het luchtruim plak voor plak af te tasten en daarmee vogels in specifieke luchtlagen te detecteren. Bij de verticale of *elevatiescan* knikt de doelvolgantenne op en neer in een vrij te kiezen azimut richting. Op deze manier is van alle gedetecteerde objecten de precieze hoogte en afstand bekend. Bovendien kunnen hiermee objecten worden opgespoord tot grotere hoogtes dan met de zoekantenne, die een maximaal bereik heeft van 1 kilometer hoogte. Deze methode leent zich zeer goed voor het kwantitatief onderzoek van vogeltrek.

Ook bij de scans met de doelvolgantenne is het mogelijk om echo's te selecteren en vervolgens te volgen. Uiteraard wordt tijdens het volgen van echo's de scanning mode tijdelijk onderbroken; die start weer zodra het volgen van de echo wordt afgebroken.

Parallel aan de doelvolgantenne is een videocamera met een telelens gemonteerd. Zo kunnen, bij voldoende licht en zover het videozicht reikt, de gevolgde objecten worden geïdentificeerd. Tijdens het volgen van echo's wordt verder het *AGC-sigitaal* (Automatic Gain Control, zie verklarende woordenlijst) uitgevoerd. Dit AGC signaal geeft de fluctuatie van de echo-intensiteit weer. Bij het volgen van één vogel fluctueert deze intensiteit met de vleugelslag. Uit de vleugelslagfrequentie is te achterhalen tot welke soort(groep) de gevolgde vogel hoort. Zo kan, onafhankelijk van de lichtomstandigheden, de soortgroep worden bepaald tot een afstand van maximaal 5 kilometer.



Foto 1 Flycatcher radar op de zuidpier van IJmuiden, juni 1999. De kegel bovenop de radar is de doelvolgantenne, de grote balk daaronder de zoekantenne. *Flycatcher tracking radar situated on the southern pier of IJmuiden, June 1999. The cone on top is the tracking antenna, the bar underneath is the search antenna.*

2.3.2 Specificaties van de Flycatcher

De Flycatcher heeft één zender die door zowel de zoek- als de doelvolgantenne wordt gebruikt. Beide antennes hebben hun eigen ontvanger. Enkele kenmerkende radarspecificaties zijn in onderstaande tabel opgenomen.

Zender/ontvanger	3cm
Frequentie	9200 MHz
Piekvermogen	160 kW
Pulsduur	0,2 μ s
PRF	4800
Afstandsresolutie	30 meter

Zoekantenne

Bundel	fan beam
Antenne opening	1,1° x 20°
Max. hoogte	4500 m (-3 dB)
Gevoeligheid	50% detectie kans bij een radar doorsnede van 1 m ² op 19 km
Polarisatie	lineair of circulair, instelbaar
Rotatie	40 rotaties per minuut (rpm)

Doelvolgantenne

Bundel	pencil beam
Antenne opening	2,4° x 2,4°
Gevoeligheid	50% detectiekans bij een object met een radar doorsnede van 1 m ² op 36 km
Polarisatie	lineair of circulair, instelbaar
Horizontale scansnelheid	60°/seconde (10 rpm)
Verticale scansnelheid	30°/seconde

Video

Beeld	445 lijnen, 25 Hz zwart/wit
Lens	Zoomlens 30-300mm

Tabel 1 Specificaties van de gemodificeerde flycatcher, zoals gebruikt bij dit onderzoek. *Specifications of the modified flycatcher radar used in this study.*

Al het zendvermogen gaat naar de doelvolgantenne als die wordt gebruikt voor de azimut- of elevatiescan. Bij de azimutscan wordt de horizon afgezocht met de doelvolgantenne gekanteld in iedere gewenste elevatie tot 85°. Bij een verticale scan 'knikt' de doelvolgantenne tussen 0 en maximaal 85 graden elevatie, in iedere gewenste azimut richting.

Functie	Antenne	Scansnelheid	Vermogen
Zoek scan	Zoekantenne	44 rpm	100%
Azimut scan	Doelvolgantenne	10 rpm (60°/s)	100%
Elevatie scan	Doelvolgantenne	30°/s	100%
Volgen	Zoekantenne	44 rpm	50%
Volgen	Doelvolgantenne	-	50%

Tabel 2 Functies van de flycatcher radar. *Functions of the Flycatcher radar.*

2.4 ROBIN

Om met grootschalige overzichtsraders de aantallen vogels in de lucht te kunnen bepalen heeft de KLu, in samenwerking met TNO-FEL, een speciale vogelvideo extractor gebouwd: ROBIN (Buurma 1989). Een afgeleide van het ROBIN systeem is aangepast aan de Flycatcher radar, ROBIN-III. Dit computersysteem kan de radar aansturen zonder verdere tussenkomst van radaroperators en op gezette tijden standaardopdrachten uitvoeren. De onbewerkte radardata worden in de computer opgeslagen. Bij de scan met de zoekantenne en de horizontale scan met de doelvolgantenne kunnen vogels, regen en andere reflecterende objecten van elkaar worden gescheiden. Hiervoor worden 10 opeenvolgende radarbeelden over elkaar geprojecteerd. Bewegende objecten leveren dan een spoor

van echo's op. ROBIN koppelt de bij elkaar behorende echo's vervolgens aan elkaar, waarbij locatie, richting, snelheid en zwaarte van een echo worden berekend. Elevatiescans kunnen niet op die manier worden bewerkt maar moeten met de hand worden uitgewerkt.

2.5 Visuele tellingen

Van juni tot en met november 1999 is steeds op één dag van iedere meetsessie een serie visuele tellingen uitgevoerd (Buurma *et al.*, in prep., Lensink *et al.* 1998, de Hoon & Buurma 2000). In oktober en november zijn op de doordeweekse dagen ook tellingen uitgevoerd door bureau Waardenburg (Poot *et al.* 2000b). De waargenomen soorten, aantallen en dichtheden worden vergeleken met de radarmetingen uit de 0 tot 100 meter hoogteband.

Als aanvulling op de radardata zijn van september tot en met december in de vroege ochtend en avond trektellingen uitgevoerd op de punt van de pier én aan het begin van de pier. De trektellingen zijn uitgevoerd volgens de methodieken van de Landelijke Werkgroep Vogeltrektellen (LWVT 1985) en de Nederlandse Zeevogelgroep (Camphuysen & van Dijk 1983). Het doel van deze tellingen was om een verschil in soortensamenstelling en aantallen tussen de punt van de pier (2½ kilometer in zee) en het strand (1 kilometer in zee, maar wel langs de uitstekende kustlijn) te vergelijken. De tellingen zijn indicatief voor de onderste 100 meter tot een afstand van 100-300 meter (LWVT methode), respectievelijk de onderste 25 meter tot een afstand van circa 2 à 3 kilometer (Nederlandse Zeevogelgroep). Deze gegevens worden in dit rapport niet verder besproken, omdat slechts ruwe data werd aangeleverd en hierdoor de tijd ontbrak om één en ander uit te werken.

2.6 Weergegevens

Gedurende de meetweken zijn door de Koninklijke Luchtmacht en het KNMI specifieke weergegevens verzameld. De gemeten windrichtingen en snelheden, temperatuur, luchtdruk en vochtigheid op grondniveau zijn verzameld boven zee (meetpunt Noordwijk), aan de kust (IJmuiden en Bloemendaal) en boven land (Schiphol). Boven IJmuiden zijn bovendien de met het HIRLAM model berekende windrichtingen, -snelheden en temperaturen verzameld, in stappen van 200 meter tot 3 kilometer hoogte, 4 keer per etmaal. Van een tiental stations uit West-Europa is de wind aan de grond en van het 850 hPa drukvlak verzameld, om de weersituatie uit vertrek- en doelgebieden te kunnen achterhalen. Tot slot zijn de maandoverzichten van het KNMI geraadpleegd voor een algemeen overzicht van het weer.

2.7 Locatie

Voor de meetlocatie moest worden gezocht naar een plaats waar de vogelstromen representatief zijn voor de situatie bij een mogelijk eiland in zee. Daarom moest ook zo ver mogelijk in zee kunnen worden gekeken. Bovendien moest de locatie goed en snel bereikbaar zijn, zowel voor technische ondersteuning als in geval van nood. Daarmee viel al gauw de keus op de zuidpier van de haven bij IJmuiden, op 52°28' NB en 4°32' OL (Figuur 1). De pier steekt ruim 2½ km in zee en ligt dicht bij de mogelijke locatie voor een eiland. Het bleek goed mogelijk met grote vrachtwagens tot aan het eind van de pier te rijden, en bij slecht weer bood het begin van de pier een goede uitwijkmogelijkheid, zodat ook onder barre omstandigheden kon worden doorgemeten. Tot slot was de accommodatie voor continue technische ondersteuning dichtbij.

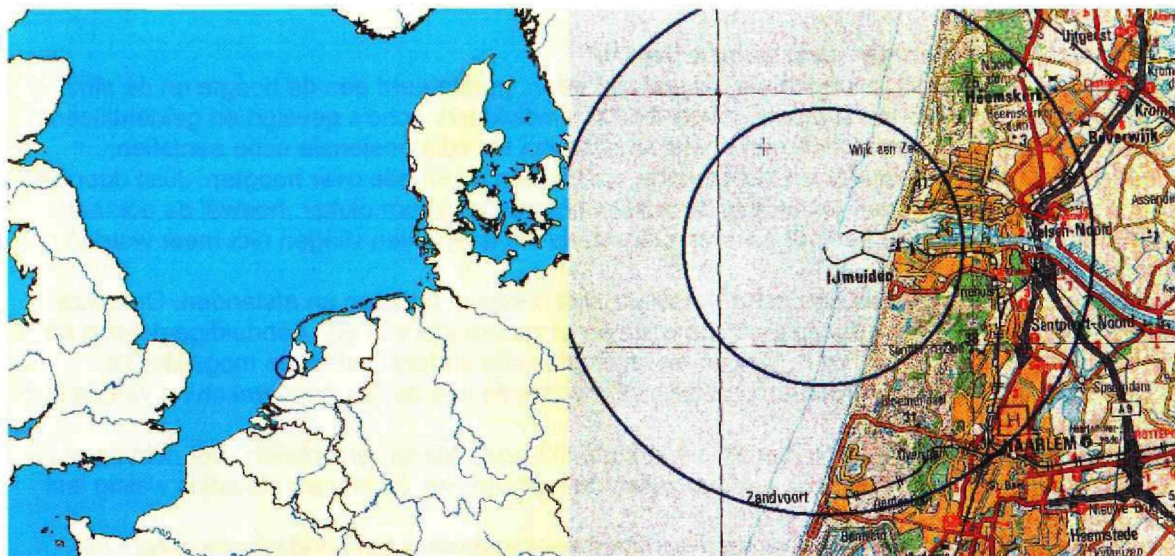
In principe stond de radar op de punt van de pier. Afhankelijk van de soort, groepsgrootte en vliegrichting kunnen van daar vogels worden gedetecteerd tot 10 kilometer afstand van de radar, dus tot maximaal 12½ kilometer uit de kust. Bij slecht weer moest worden uitgeweken naar het begin van de pier, wat de vogeldetectie beperkte tot maximaal 11 km uit de kust.

Aan de gekozen locatie kleven een paar bezwaren. Doordat de radar op de pier gemiddeld 7 meter boven water stond keek de radar enigszins van bovenaf op de golven. Vooral bij harde wind veroorzaakten die veel ongewenste reflecties (*clutter*). Hierdoor was het in de scans met de zoekantenne en de onderste azimuthscans vaak niet mogelijk vogels te onderscheiden. Een andere bron van ongewenste reflecties was de staalindustrie (Corus, voorheen Hoogovens) ten noordoosten van de haven. Afgezien van de onmogelijkheid om vogels te zien pal boven deze fabriek, veroorzaakte die veel zijreflecties, wat ook het zicht boven zee, ten noorden van de radar, belemmerde. Tot slot stonden ten zuidoosten van de haven, pal aan het strand, grote appartementencomplexen, die de onderste luchtlagen boven de duinen afschermden. Al met al was daardoor het zicht boven land ernstig beperkt (Figuur 2).

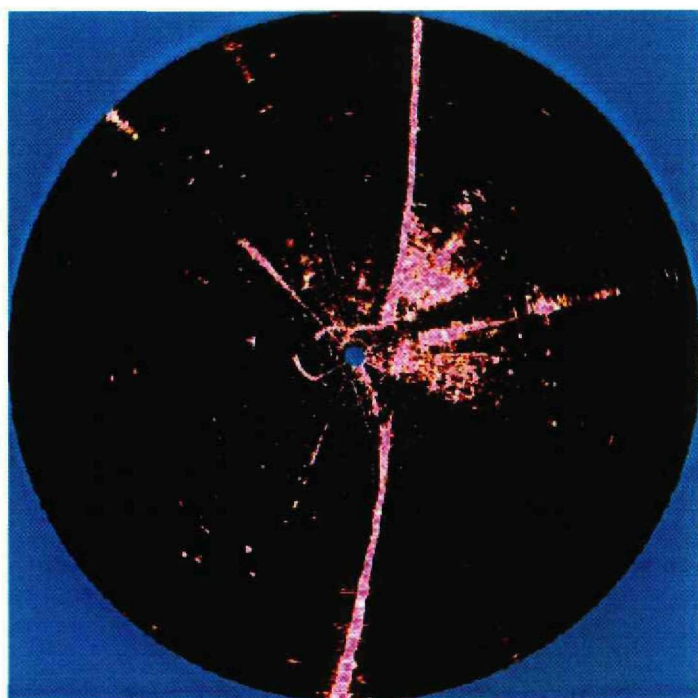
Verder is de pier zelf onderdeel van de havenmonding. Te verwachten was dat vissersboten in en om de haven grote aantallen vogels, vooral meeuwen, zouden aantrekken, waardoor het zicht op de andere vogelbewegingen zou kunnen worden belemmerd.

Er is vanaf verschillende locaties gemeten. Om in de analyse de verschillende locaties terug te brengen tot de afstand uit de kust, zijn hierbij de volgende afstanden aangehouden:

- Strand: +1000 meter
- Punt van de zuidpier: +2630 meter
- Noordpier: +2000 meter.



Figuur 1 Ligging van de onderzoekslocatie in het Noordzeegebied (links). Rechts een gedetailleerde kaart van de onderzoekslocatie. Het 5 en 10 kilometer bereik vanuit de punt van de Zuidpier is aangegeven. *Maps of the study area. 5 And 10 kilometre range of the radar are given in the right hand figure.*



Figuur 2 Radarbeeld van de zoekantenne, straal 10km, 1 rotatie, vanaf de strandlocatie. Radarreflecties zijn, afhankelijk van de intensiteit, geel tot roze. De kustlijn (NNO – ZZW) en de twee pieren zijn duidelijk zichtbaar. De lijn naar het NW wordt veroorzaakt door spiegeling van de vuurtoren vlak naast de radar. In het NO-kwadrant is een duidelijke concentratie van reflecties zichtbaar. Dit zijn reflecties van de staalindustrie (Corus, voornamelijk Hoogovens). Verder valt op dat in het ZO-kwadrant juist weinig reflecties te zien zijn. Dit deel ligt eigenlijk in de schaduw van het appartementencomplex, voornamelijk de duinenrij, waardoor de onderste luchtlagen daarachter worden afgeschermd. *Radar image from the search antenna, 1 rotation, 10 kilometre range. Coastline and clutter of the industrial complex, as well as the piers, are clearly visible in the NE. The pink dots on the left side of the coastline (sea) are bird echoes.*

3 METHODEN

3.1 Van scannen en volgen naar echo's per km³

Om een compleet overzicht te krijgen van vogeldichtheden, gerelateerd aan de hoogte en de afstand tot de kustlijn, zijn drie soorten scans uitgevoerd en zijn individuele echo's gevolgd en geïdentificeerd. Een scan met de zoekantenne biedt een snel overzicht van tweedimensionale echo aantallen, snelheden en richtingen in een groot luchtvolume, maar geen informatie over hoogten. Juist door het grote hoogtebereik van de zoekantenne is deze scan erg gevoelig voor clutter: hoewel de oorzaak zich meestal op grondniveau bevindt, kunnen ook vogels die daarboven vliegen niet meer worden waargenomen.

De elevatiescan levert nauwkeurige echo-aantallen, met precieze hoogten en afstanden. Om deze aantallen om te rekenen naar fluxen en dichtheden moet sprake zijn van een éénduidige richting en snelheid. Voor het berekenen van richtingen en snelheden zijn andere methoden mogelijk. Die richtingen en snelheden zijn verder noodzakelijk voor correctie van de flux en omrekening van de flux tot een dichtheid.

De azimutscans bieden een goede manier om in korte tijd veel data te verzamelen over richtingen en snelheden op specifieke hoogten. Bovendien zullen de azimutscans op hogere elevaties weinig last hebben van clutter.

Om van echo-dichtheden naar dichtheden in kg vogelvlees te gaan is het noodzakelijk echo's te volgen en zo te achterhalen welke soort(groepen) en aantallen de echo's representeren. Bovendien levert het volgen van echo's ook informatie over richtingen en snelheden op. Om alle fenomenen zo goed mogelijk te beschrijven is ervoor gekozen om ieder uur een deel van de tijd te besteden aan de scans en een deel van de tijd aan het volgen van individuele echo's. Om alle uren uniform te bemonsteren is de radar voor het maken van de scans aangestuurd door ROBIN. De vliegpaden zijn handmatig, maar volgens een vast stramien, opgenomen.

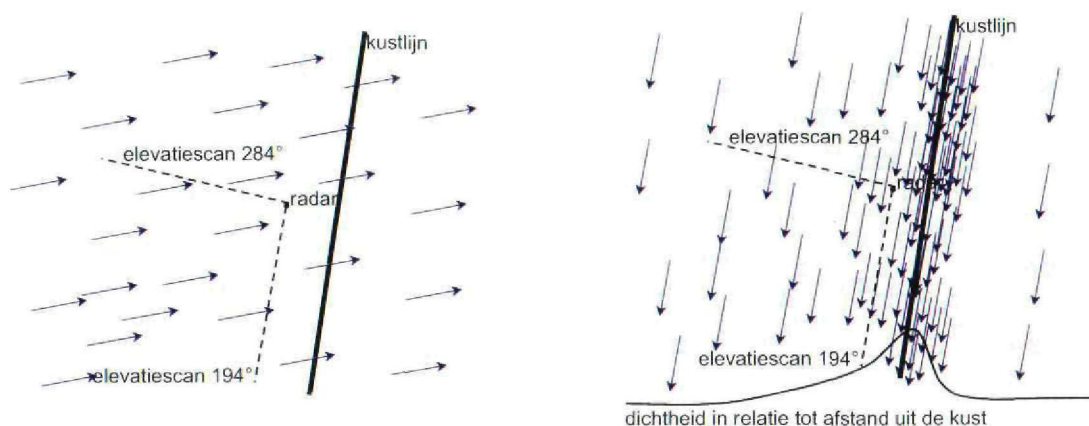
3.1.1 Scans

Elevatiescans

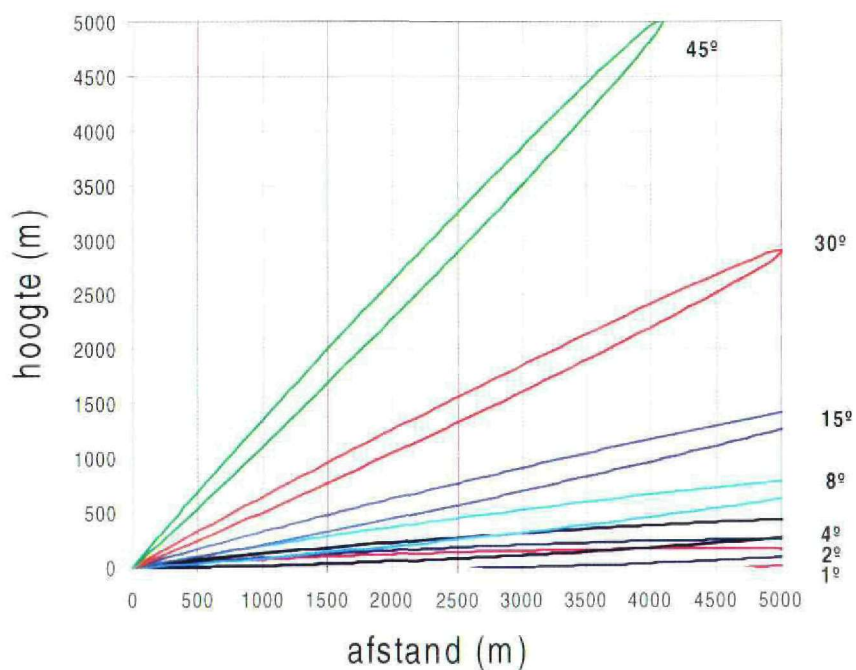
Ieder uur is een elevatiescan uitgevoerd om de vogelbewegingen langs de kustlijn te bemonsteren. Deze scan was haaks op de kustlijn gericht, in 284 graden azimut. Doordat ook breedfronttrek haaks op de kust vanuit en naar Engeland kon worden verwacht, werd elk uur nauwkeurig naar de vliegrichtingen gekeken boven zee. Als in de voorafgaande metingen duidelijke vogelbewegingen haaks op de kust werden waargenomen is ook een verticale scan uitgevoerd in 194 graden azimut, evenwijdig aan de kustlijn. Eén elevatiescan bestond uit 60 op en neer gaande verticale bewegingen met de doelvolgantenne, met een totale duur van 3:43 min. Voor een constante bemonstering van alle luchtlagen werden alleen in de opgaande slag, tussen 0 en 45 graden elevatie, radardata opgenomen.

Azimutscans

Om de richtingen en snelheden te bemonsteren zijn ieder uur 7 azimutscans uitgevoerd, met de doelvolgantenne 1, 2, 4, 8, 15, 30 en 45 graden gekanteld (Figuur 4). Eén azimutscan bestond uit 10 rotaties van de doelvolgantenne, met een totale duur van 60 seconden per opname. Tussen twee scans was 30 seconden verwerkingstijd gereserveerd, zodat de totale tijd van de azimutscans 10:30 minuten bedroeg.



Figuur 3 Schematisch overzicht van de verwachte vogelstromen. De blauwe pijlen stellen vogelgroepen voor, de stippellijnen het bereik van de elevatiescans. Wanneer breedfronttrek uit Engeland optreedt, zal geen dichtheidsgradiënt vanaf de kust zichtbaar zijn (links). Met de elevatiescan parallel aan de kust (194°) kan de breedfronttrek wel worden gekwantificeerd. Geleide trek langs de kustlijn, vertoont een duidelijk herkenbare dichtheidsgradiënt (rechts), welke wordt gekwantificeerd met de elevatiescan haaks op de kust (284°). *Schematic overview of the expected migration flow. Broad front migration from the United Kingdom will show no differences in densities on different distances from the coastline (left). Broad front migration is quantified using vertical scans parallel to the coastline (194°). Leading line migration shows high densities along the coastline and lower densities towards sea. Quantification is done by vertical scanning perpendicular to the coastline (284°).*



Figuur 4 Het hoogte- en afstandsbereik van de 7 azimutscans, zoals berekend voor een middelgrote zangvogel. Merk op dat de onderste 1000 meter door meerdere bundels wordt bemonsterd. Hogerop nog slechts door 1 of 2 scans. *Altitude and range of the 7 azimuth scans, calculated for a medium songbird. Up till 1000m altitude each range is sampled with at least 3 scans.*

Scans met de zoekantenne

Tot slot is ieder uur een scan uitgevoerd met de zoekantenne, ook bestaand uit 10 rotaties, waarbij eens in de 6 seconden één rotatie werd opgenomen. Hierdoor duurde ook deze opname 60 seconden.

Als om technische redenen enige van de scans waren mislukt, dan zijn deze na de standaard opdrachtenserie alsnog uitgevoerd. Afhankelijk van eventuele tweede pogingen en van de elevatiescan parallel aan de kust duurde de hele serie scans 16 tot 20 minuten.

3.1.2 Individueel gevolgde echo's

Om te achterhalen op welke hoogten en afstanden de verschillende soorten voorkomen, zijn de resterende 40 minuten van ieder uur besteed aan het volgen en identificeren van echo's. Normaliter werden echo's opgespoord met de zoekantenne. Om alle locaties evenredig te bemonsteren werden echo's geselecteerd volgens een standaard methode. Op het radarscherm zijn 4 segmenten vastgelegd waarin echo's moesten worden geselecteerd: één boven land, twee boven zee tot 5 kilometer van de radar, ten noorden en zuiden van de pier, en een vierde boven zee, 5-10 kilometer van de radar. In ieder segment werd steeds één minuut lang geprobeerd een echo op te pikken en te volgen met de doelvolgradar. Was het niet mogelijk binnen één minuut een echo op te pikken en te volgen dan werd het volgende segment beschouwd. Lukt het wel, dan werden op dezelfde manier tot 5 echo's in dit segment opgepikt. Na 5 succesvol opgepikte echo's werd altijd het volgende segment afgezocht. De segmenten werden in vaste volgorde bekeken. Het volgen van een echo duurde minimaal 10 en maximaal 30 seconden, lang genoeg om identificatie te plegen en kort genoeg om ieder uur een voldoende grote steekproef te nemen.

Als tijdens de voorafgaande ROBIN-sessie echo's op grote hoogte waren waargenomen werden ook echo's geselecteerd vanuit de elevatiescans in 284 en 194 graden azimuth (haaks op, of parallel aan de kustlijn). Iedere afwijking van de standaardprocedure werd genoteerd.

Overdag waren de gevolgde objecten zichtbaar met de parallel aan de doelvolgantenne gemonteerde camera. Hiermee zijn de vogelsoorten zoveel mogelijk ter plaatse bepaald. Het camerabeeld van ieder gevolgd object is steeds op video vastgelegd en achteraf gecontroleerd. Bovendien werden zowel overdag als 's nachts de AGC-patronen vastgelegd met een frequentie van 512 Hz. Vliegpaden werden vastgelegd door tijdens het volgen 8 maal per seconde locatie (x, y en z positie), vliegrichting en snelheid op te slaan, resulterend in een zeer nauwkeurig vliegpadaad.

In de eerste maanden van de metingen zijn alleen de vliegpaden vastgelegd. De applicatie om de AGC-signalen op te slaan en weer te geven is tijdens de metingen door het NLR ontwikkeld. Met ingang van mei 1999 is deze applicatie in gebruik genomen. Vanaf dat moment werden ook daarmee de vliegpaden opgeslagen; daarvoor gebeurde dat met een voor de landmacht ontwikkelde applicatie, bedoeld om de vliegpaden van vliegtuigen vast te leggen (WBU 1998). Zowel de vliegpaden als de AGC-patronen zijn vastgelegd op CD-ROM.



Foto 2 Harry de Groot in de Flycatcher bezig met het maken van tracks. *Harry de Groot inside the Flycatcher radar, recording tracks.*

3.2 Echo's op het overzichtsbild

Om situaties zonder duidelijke overheersende vliegrichtingen, dan wel met meerdere vliegrichtingen, alsook situaties met veel clutter, toch te kunnen beschrijven is het PPI-beeld van de zoekantenne geanalyseerd. Tijdens de metingen is steeds het PPI-beeld vastgelegd op time-lapse S-VHS video, met één beeld per 0,64 seconden, zodat er 48 meeturen op één 3-hrs band passen. Bij afspelen op standaard snelheid resulteert dit in een versnelling van 16 keer. Daardoor zijn, op het PPI-beeld van de zoekantenne, grootschalige fenomenen veel beter zichtbaar dan real-time, terwijl alle echo's nog zeer goed zijn te volgen.

4 ANALYSE

Voor het berekenen van de fluxen (zie de verklarende woordenlijst, appendix A) uit de elevatiescans is het noodzakelijk dat de richtingen en snelheden zoals die in de tracks van de bijbehorende uren zijn gevonden éénduidig zijn. Omwille van de steekproefgrootte zijn uren per dagdeel samengevoegd. Alleen van de dagdelen met een éénduidige vliegrichting en snelheid is de flux berekend. Vervolgens zijn de echo-aantallen uit de elevatiescans gecorrigeerd voor de vliegrichting. Omdat de detectiekans afneemt met de afstand moest ook daarvoor worden gecorrigeerd; die afname van de detectiekans is empirisch bepaald in een serie calibratieproeven in het binnenland. Om daarna te komen tot een echodichtheid is de flux gedeeld door de gemiddelde vliesnelheid.

Om toch een beeld te krijgen van vogelbewegingen wanneer uit de elevatiescans geen flux kon worden berekend zijn de time-lapse beelden van de PPI geanalyseerd.

4.1 Bepaling van flux uit de elevatiescan

De elevatiescans zijn met de hand uitgewerkt. Iedere scan is eerst gecontroleerd op vaste clutter. Alle overige echo's die in twee of meer opeenvolgende slagen van de elevatiescan op (bijna) dezelfde plek werden waargenomen zijn als vogels beschouwd. Hiervan zijn afstand en hoogte genoteerd met een nauwkeurigheid van 50 meter in hoogte en 100 meter in afstand. Of vogels in twee opeenvolgende slagen kunnen worden waargenomen hangt af van de maximale detectieafstand en de kritieke bundelbreedte. Omdat een betrouwbare flux alleen te berekenen is bij een éénduidige vliegrichting en snelheid, zijn aan de hand van de vliegpaden van gevolgde vogels de *dagdelen* geselecteerd waarop aan die voorwaarden wordt voldaan (zie 4.5.1).

Omdat de onderste honderd meter van de elevatiescans vaak sterk vervuild waren door zeeclutter en omdat in de onderste honderd meter vaak geen éénduidige vliegrichting aanwezig was, zijn die niet meegenomen in de analyse, tenzij uitdrukkelijk vermeld.

4.1.1 De kritieke bundelbreedte

De elevatiescan telt 60 slagen in 223 seconden. Om de tijd tussen twee echo's constant te houden worden alleen echo's opgenomen bij het opgaande gedeelte van de verticale slag. Dit resulteert in een tijd van 3,75 seconden tussen twee slagen. Bij sterke meewind kan de vliesnelheid van een vogel oplopen tot maximaal 35 m/s. Zo'n vogel kan dan, tussen twee verticale slagen in, 131 meter afleggen. Bij een bundelbreedte van meer dan 131 meter zullen alle vogels die de bundel passeren in minstens twee slagen van de verticale scan worden waargenomen.

Uit de formule van Moonen & Van Belle (zie appendix B) volgt dat de effectieve uitreehoek voor een object ter grootte van een vogel afhangt van de afstand tot de radar volgens:

$$\beta = \frac{\sqrt{2} \cdot \alpha \cdot \sqrt{-\ln\left(\frac{R}{R_{\max}}\right)}}{2 \cdot \sqrt{\ln(2)}} \quad (1)$$

waarbij

β = effectieve uitreehoek

α = gedefinieerde uitreehoek van de radar

R = afstand tot de radar

R_{\max} = maximale afstand waarop het object kan worden waargenomen

Hieruit is de bundelbreedte B te berekenen:

$$B = 2R \tan\left(\frac{\beta}{2}\right) \quad (2)$$

Voor objecten ter grootte van een lijster is de *maximale detectieafstand* ongeveer 8 km. Bij een gedefinieerde uitreehoek van $2,4^\circ$ is de bundel op 4,5 km afstand maximaal 290 meter breed. De kritieke breedte van 131 meter wordt dan bereikt op 1100 meter. Bovendien zijn ook de maximale detectieafstanden en de kritieke bundelbreedtes voor een fitis en een meeuw berekend, zie Tabel 3. Op grond van deze berekeningen is besloten alleen echo's op meer dan 1,5 km van de radar mee te nemen in de analyse.

Soort	Gewicht (g)	R _{max} (km)	R _{0,131} (km)
Fitis	12	5,4	1,3
Zanglijster	60	8,0	1,1
Zilvermeeuw	900	13,8	1,0

Tabel 3 Vogelgewicht, maximale detectieafstand en afstand waar de radarbundel 131 meter breed is voor een kleine, middelgrote en grote vogel. *Bird weight, maximum detection range and range where the beam is 131 meter beam wide for a small (Willow Warbler), medium-sized (Song Thrush) and large (Herring Gull) bird.*

4.1.2 De relatie tussen afstand en detectiekans

Zoals eerder vermeld neemt de detectiekans van een object af met de afstand tot de radar. Om de relatie tussen de afstand tot de radar en de detectiekans te bepalen zijn extra metingen uitgevoerd op GGW De Peel (Oost-Brabant), in enkele nachten in het voor- en najaar met hoge, homogene trek gedomineerd door lijsters. Uit deze metingen is een empirische relatie tussen afstand R (meter) en detectiekans (aandeel tussen 0 en 1) bepaald ($r^2 = 0,81$):

$$f(R) = -0,46624 + 9,6578 \cdot 10^{-4} \cdot (R) - 2,1208 \cdot 10^{-7} \cdot (R)^2 + 1,2287 \cdot 10^{-11} \cdot (R)^3 \quad (3)$$

De maximale afstand waarop een lijsters werden waargenomen is 8 kilometer. Om echter de invloed van de correctiefactor te beperken zijn alleen echo's tot 6 km afstand meegenomen in de analyse. Op grond van de bundelbreedte werd de eerste 1,5 kilometer al weggelaten, zodat kwantitatieve gegevens worden gepresenteerd van 1,5 tot 6,0 kilometer grondafstand vanaf de radar. Binnen dat afstandsbereik zijn de echo-aantallen gecorrigeerd met bovenstaande formule.

4.2 Gevolgde echo's

Vliegpaden

De vliegpaden zijn ingevoerd in een spreadsheet. Daarmee zijn startlocatie, gemiddelde snelheid, richting, hoogte en stijg-/daalhoek berekend. Bij laag vliegende vogels worden met name de snelheid- en hoogtemetingen verstoord door de golven, de pier of door boten. Daarom zijn de uitschieters in snelheid en hoogte niet meegenomen in de berekening van het gemiddelde. Hoogte, vliegrichting, snelheid en XY-positie worden grafisch uitgezet tegen de tijd. Op basis van het gemiddelde en de afwijking van de gevolgde echo, welke grafisch zijn uitgezet is steeds bepaald of de samenvatting van het vliegpad toegevoegd werd aan de database of niet. Indien soort(groep), aantal en/of AGC-frequentie bekend waren zijn die toegevoegd aan dezelfde database.

Vleugelslagpatronen

De vleugelslagpatronen zijn geanalyseerd met de door het NLR ontwikkelde applicatie. Behalve het lopende, gefilterde signaal wordt ook het Fourier-powerspectrum weergegeven, continu berekend over perioden van 8 seconden. De instellingen zijn zo gekozen, dat de vleugelslagfrequentie met een nauwkeurigheid van 1/8 Hz kan worden afgelezen. Wanneer een bepaalde frequentie enige seconden lang constant is, en regelmatig terugkeert, wordt het signaal betrouwbaar geacht. Door middel van een pauzeknop kan het afspelen stil worden gezet en kunnen de vleugelslagfrequentie en de lengte van slag- en rustfasen bij zangvogels worden uitgelezen. Deze gegevens werden toegevoegd aan het betreffende vliegpad.

4.2.1 Richtingsverdelingen

Per dag, per dagdeel, per locatie, per AGC-soortgroep en voor combinaties van al deze factoren zijn uit de gevolgde echo's de overheersende vliegrichtingen bepaald en getoetst met behulp van de Rayleigh-test (Batschelet 1981). Vliegrichtingen zijn alleen bepaald als de selectie 25 of meer gevolgde echo's bevatte.

4.2.2 Soorten en groepsdimensies

De gevolgde echo's zijn visueel, met behulp van de parallel gemonteerde camera, en/of op basis van het AGC-patroon geïdentificeerd. Aan de hand van het AGC-patroon is het vaak mogelijk onderscheid te maken tussen echo's die bestaan uit individuele vogels en echo's die meerdere vogels bevatten. Echo's waarvan is bepaald of ze groepen dan wel enkele vogels bevatten zijn als zodanig ingedeeld in twee AGC-klassen (1 vogel vs meerdere vogels). Van echo's die uit één vogel bestaan is het tot op

zekere hoogte mogelijk de soort te bepalen. Hiertoe zijn de AGC-patronen vergeleken met bestaande databases van vleugelslagpatronen (Griffiths 1970, Bruderer 1971, Blackwell et al. 1974) en met AGC-patronen van individueel vliegende vogels die gedurende het jaar visueel zijn geïdentificeerd. De identificaties zijn ondergebracht in een aantal zogenaamde *AGC-soortgroepen*, gebaseerd op de classificatie van Bloch et al. (1981) en Liechti (1992), die op grond van het AGC-signaal onderscheid maakt tussen grote watervogels, kleine watervogels, grote zangvogels, kleine zangvogels en Gierzwaluw. Door ons zijn daar aan toegevoegd de soortgroep grote vogels en meeuwen & sterns, Tabel 4. In het algemeen zijn zangvogels te onderscheiden van watervogels doordat watervogels continu met hun vleugels slaan, terwijl zangvogels regelmatig (afhankelijk van de soort, de stijghoek en de windomstandigheden) een rustpauze inlassen. Gierzwaluwen lassen op onregelmatige tijden een lange rustpauze in, variërend van 0,5 tot meer dan 2 seconden (Bruderer & Weitnauer 1979). Voor een goede vergelijking tussen dag en nacht zijn ook de visueel geïdentificeerde vogels ondergebracht in deze AGC-soortgroepen.

Soortgroep	Frequentie (Hz)	Patroon	Voorbeeld
Grote vogel	< 5	Continue	Aalscholver, ganzen
meeuw & stern	> 2,5 - < 4	Continue	Zilvermeeuw, Visdief
Grote watervogel	≥ 5 - < 9	Continue	Zwarte zee-eend, Rosse grutto
Kleine watervogel	≥ 9	Continue	Zeekoet, Bonte strandloper
Grote zangvogel	< 12	met rust < 0,5 sec	Koperwiek, Spreeuw
Kleine zangvogel	≥ 12	met rust < 0,5 sec	Vink, Zwarkop
Gierzwaluw	6 - 8	Lange rust > 1 sec	Gierzwaluw

Tabel 4 Classificatie van vleugelslagpatronen aan de hand van frequentie en slag- en rustfase (cf Bloch et al. (1981) en Liechti (1992), met een aanvulling op de meeuwen en sterns. *Classification of wing beat patterns by frequency and duty cycle* (cf. Bloch et al. 1981 and Liechti 1992).

4.3 Van echo-fluxen naar dichtheden.

Om vergelijkingen met andere metingen mogelijk te maken moeten de aantallen echo's in de elevatiescans, met behulp van de gegevens over vliegrichtingen en -snelheden, worden omgerekend naar dichtheden. Zoals hierboven aangegeven zijn die vliegrichtingen volledig gebaseerd op de gevolgde echo's in de bijbehorende dagdelen. Hieronder volgen in kort bestek de bewerkingen. Daarbij worden de volgende symbolen gebruikt:

n	Aantal
i	Klassemidden (m)
k	Klassebreedte, nu vast op 100 (m)
$h_{i,k}$	hoogteband i met klassebreedte k
n_{opname}	totaal aantal elevatiescans in de geselecteerde tijdsperiode
n_h	echo in hoogteband h
R	slantrange, kortste afstand tussen radar en vogelecho (m)
grondafstand	grondafstand, projectie van slantrange op 0 meter hoogte (m)
GR_{max}	Maximale grondafstand (m) tot waar vogels zijn geselecteerd
GR_{min}	Minimale grondafstand (m) van waar vogels zijn geselecteerd
t	waarneemtijd per scan, 223 (s)
$f(R)$	afstandscorrectie-functie, empirisch bepaald
N_h	totaal aantal echo's in hoogteband h
A_h	bemonsterde oppervlak in hoogteband h (km ²)
T	bemonsterde tijd (uren)
$AZ_{richting}$	kijkrichting van de elevatiescan (in graden)
VR_{gem}	gemiddelde vliegrichting (in graden, naar Batschelet 1981)
S_{gem}	Gemiddelde snelheid (m/s)
F	flux (aantal echo's/uur/km ²)
D	Dichtheid (aantal echo's/km ³)

De flux (F_h) moet eerst per hoogteband ($h_{i,k}$) worden uitgedrukt in echo's per uur per km²:

$$F_h = N_h * \frac{1}{T} * \frac{1}{A_h} \quad (4)$$

N_h is de som van het aantal echo's in hoogteband $h_{i,k}$ en T is de totale meetduur (uren). Deze volgt uit het aantal opnamen en de duur van een elevatiescan:

$$T = \frac{n_{opname} * t}{3600} \quad (5)$$

A_h is de bemonsterde oppervlakte en is afhankelijk van het afstands bereik (grondafstand) waarbinnen echo's worden geselecteerd en de hoogteklassebreedte k :

$$A_h = \frac{(GR_{max} - \max(GR_{min}, h_{i,k})) * k}{1000000} \quad (6)$$

Als de kijkrichting niet haaks op de gemiddelde vliegrichting staat, moet het bemonsterde oppervlak worden gecorrigeerd voor het hoekverschil tussen de kijkrichting en de gemiddelde vliegrichting. De gemiddelde vliegrichting wordt gehaald uit de vliegpaden die boven de gedefinieerde kust en zeezone én boven de 100 meter vlogen. De voor vlieg- en kijkrichting gecorrigeerde bemonsterde oppervlakte is:

$$A_{h_{VR}} = A_h * |\sin(AZ_{richting} - VR_{gem})| \quad (7)$$

De detectie van vogels neemt af met de afstand, dus op grotere afstand worden meer vogels gemist. Om hiervoor te corrigeren wordt aan iedere echo een gewicht toegekend volgens de empirisch bepaalde functie $f(R)$, formule 3. Het aantal echo's per hoogteband wordt dan:

$$N_{h_R} = \sum \frac{n_h}{f(R)} \quad (8)$$

De totale gecorrigeerde flux bestaat nu uit:

$$F_{h_{corr}} = N_{h_R} * \frac{1}{T} * \frac{1}{A_{h_{VR}}} \quad (9)$$

Om vergelijkingen met andere studies naar vogelaantallen mogelijk te maken wordt de flux ($N/km^2/uur$) omgerekend naar dichtheid (N/km^3). Hiertoe wordt de flux gedeeld door de gemiddelde vlegsnelheid (in km/uur) uit de tracks:

$$D = \frac{F_{h_{corr}}}{S_{gem} * 3.6} \quad (10)$$

De gemiddelde snelheid wordt berekend uit dezelfde echo's als de eerder vermelde gemiddelde vliegrichting.

4.4 Echo's op het overzichtsbeeld

De verschillende vogelbewegingen (trek, lokale bewegingen of lokale bewegingen veroorzaakt door vissersboten) en de daarbij behorende richtingen zijn benoemd en de dichtheden zijn genoteerd in logaritmische klassen per $4 km^2$. Daarbij is onderscheid gemaakt tussen de drie gebieden *duin* (land), *kust* (de strook tussen het strand en een denkbeeldige lijn evenwijdig aan de kust, ter hoogte van de punt van de zuidpier) en *zee* (de strook parallel aan het vorige gebied, voorbij de punt van de zuidpier). Met behulp van gegevens uit de vliegpaden zijn de aantallen echo's per km^3 in verschillende hoogtelagen berekend. Hierbij is ook de dichtheid onder de 100 meter bepaald.

4.5 Definities

4.5.1 Tijden

Voor alle analyses is het etmaal onderverdeeld in vier dagdelen: *ochtend*, *middag*, *avond* en *nacht*. Deze werden bepaald aan de hand van zonsop- en zonsondergang en de internationale standaardtijd UTC (= CET-1). De ochtend is gedefinieerd als de periode van een half uur vóór zonsopgang tot 12:00 UTC. De middag is gedefinieerd als de periode van 12:00 UTC tot een half uur na zonsondergang. De avond duurt van een half uur na zonsondergang tot 00:00 UTC. De nacht duurt van 00:00 UTC tot half uur vóór zonsopgang. Dag en nacht zijn hierdoor het gehele jaar in ongeveer twee even grote brokken verdeeld.

4.5.2 Locaties

Het meetgebied is steeds onderverdeeld in *land*, *kust* en *zee*. De kustzone omvat het strand en het waterige gebied tot een denkbeeldige lijn, evenwijdig aan de kust ter hoogte van de punt van de zuidpier. Al het water verder uit de kust is gedefinieerd als *zee*, alles landinwaarts als *land*.

5 RESULTATEN

In dit hoofdstuk worden de resultaten besproken van de hele studie. Eerst worden de gegevens over de hele periode samengevoegd in een jaaroverzicht (5.1 t/m 5.3). Vervolgens worden de details per dag en binnen een meetweek besproken in het maandoverzicht (5.4), om tot slot de samenhang tussen de verschillende maanden te bespreken in het hoofdstuk Integratie (5.5).

5.1 Jaaroverzicht vliegpaden

5.1.1 Aantallen geïdentificeerde vliegpaden

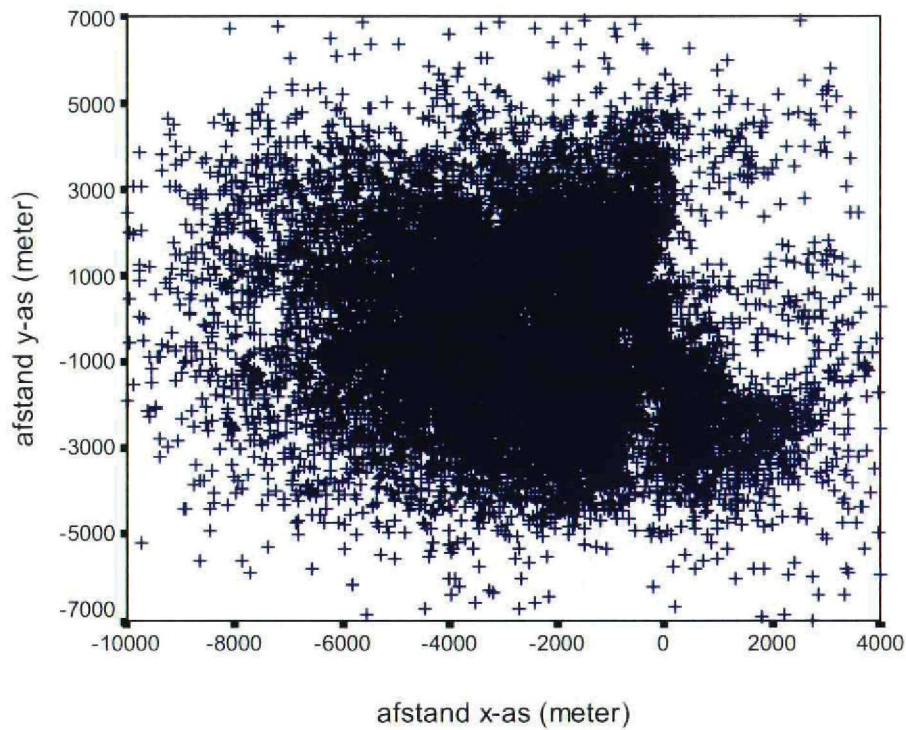
Van februari tot en met december 1999 zijn vanaf de havenmond van IJmuiden individuele echo's gevolgd met de doelvolgradar. De vliegpaden zijn het hele jaar door vastgelegd, maar de analyse van vleugelslagpatronen aan de hand van echofluctuaties (AGC) is in de loop van het jaar ontwikkeld. Vanaf mei was die analyse beschikbaar en konden ook 's nachts structureel soortgroepen worden bepaald (zie ook 4.2.2). Een overzicht van de aantallen en de geïdentificeerde vliegpaden is in Tabel 5 samengevat.

Meetdagen			Vliegpaden				
Meetweek	Dagen	Nachten	Totaal	Dag		Nacht	
15-19/2	2	3	427	144	(38%)	283	(0%)
15-21/3	5	6	1815	757	(44%)	1058	(0%)
19-24/4	5	5	1511	818	(30%)	693	(16%)
17-23/5	5	6	2309	1555	(49%)	754	(21%)
14-18/6	4	4	1338	937	(67%)	401	(53%)
12-15/7	3	4	1222	845	(84%)	377	(57%)
16-23/8	7	6	2470	1522	(81%)	948	(58%)
13-19/9	6	6	2968	1479	(85%)	1489	(60%)
18-24/10	6	6	3046	1188	(77%)	1858	(56%)
15-20/11	5	4	2144	921	(68%)	1223	(50%)
13-16/12	3	3	1343	411	(69%)	932	(39%)
Totaal	51	53	20.593	10.577	(67%)	10.016	(41%)

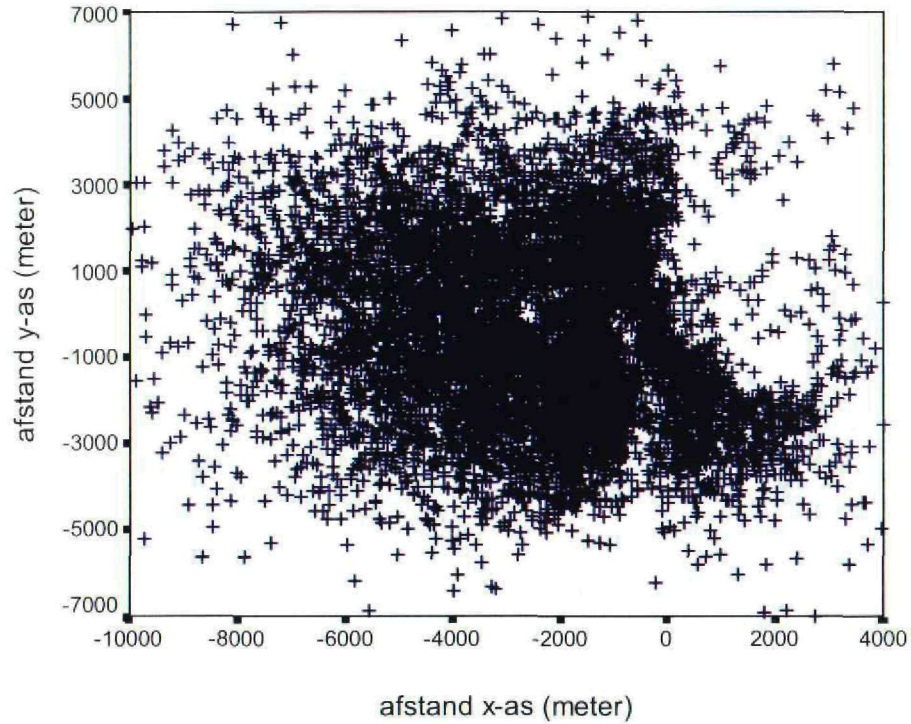
Tabel 5 Aantal meetdagen en vliegpaden per meetweek. Tussen haakjes het aandeel geïdentificeerde vliegpaden. *Number of days with radar measurements and number of tracked birds per month and by time of the day (dag = day, nacht = night). Identified percentages are shown between brackets.*

De vogels zijn vooral met behulp van de zoekantenne opgespoord. Omdat vogels die hoger vliegen dan 1½ km dan worden gemist zijn bij hoge trek ook vogels opgespoord vanuit de elevatiescan (2,4% van alle data, verdeeld over het hele jaar)

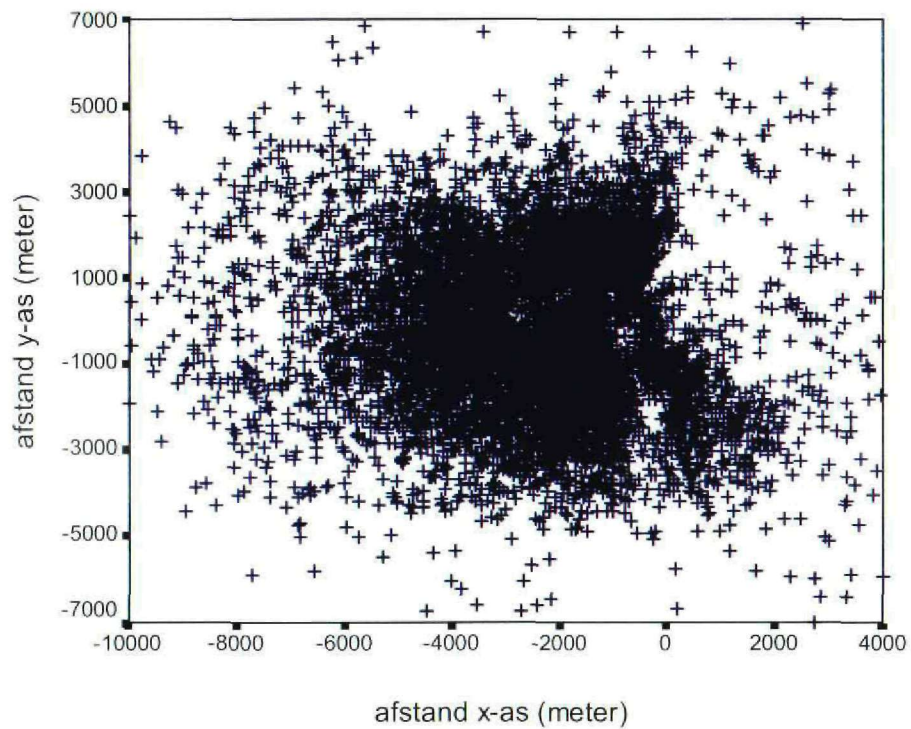
In Figuur 5 zijn de startposities van alle vliegpaden weergegeven. De zwarte lijn geeft de kustlijn weer. In het noordoosten (Corus, voorheen Hoogovens), pal boven de pieren en de boven branding konden door de grondclutter geen vogels worden opgepikt. In de ZO-hoek is, pal achter de kustlijn, een band zichtbaar, waar opvallend weinig echo's worden opgenomen. Hier bevindt zich het appartementencomplex. Dit complex schermt ook de onderste luchtlagen van de achtergelegen duinen af. De meeste echo's zijn opgepikt binnen 5 kilometer van de radar, in alle richtingen. Er ligt een kleine concentratie van startposities in de zuidhoek (hoewel niet echt zichtbaar in de figuren), waar zich een rustplaats van meeuwen bevindt (vooral Zilver- en Kleine Mantelmeeuw).



Figuur 5 XY-plot van de startposities van alle vliegpaden. De afstanden zijn gegeven in meters over de grond. Alle vogelgroepen, dag én nacht, februari tot en met december 1999 zijn weergegeven ($n = 20,593$). *XY-plot of the start positions of all flight paths. Distances represent meters projected on the ground. All tracked birds, day and night, February till December 1999 ($n = 20,593$).*



Figuur 6 XY-plot van de startposities van de nachtelijke vliegpaden, februari tot en met december 1999 (n = 10,016). XY-plot of the start positions of all flight paths recorded at night. Distances represent meters projected on the ground. February till December 1999 (n = 10,016).

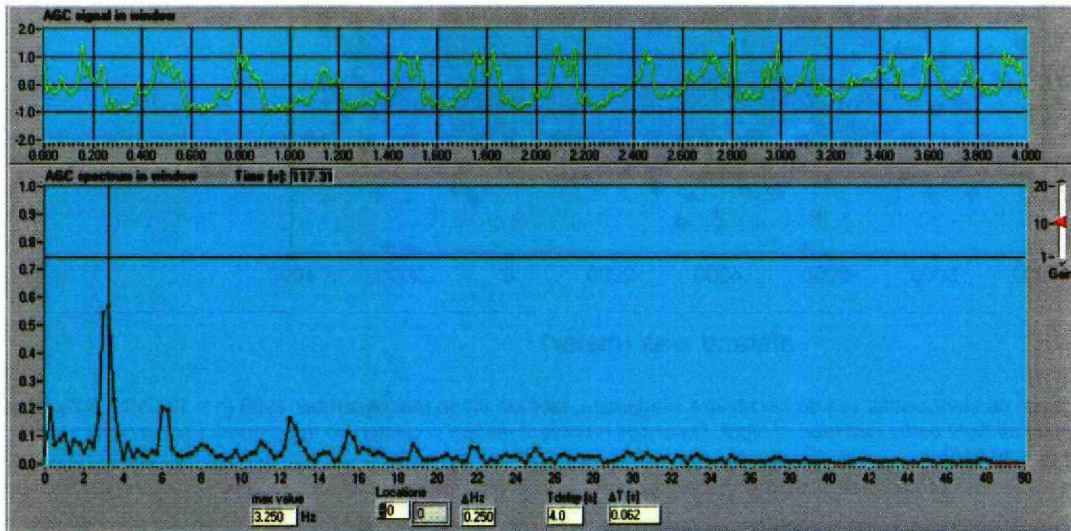


Figuur 7 XY-plot van de startposities van alle overdag opgenomen vliegpaden, februari tot en met december 1999 (n = 10,577). XY-plot of the start positions of all flight paths recorded by day. Distances represent meters projected on the ground. February till December 1999 (n = 10,577).

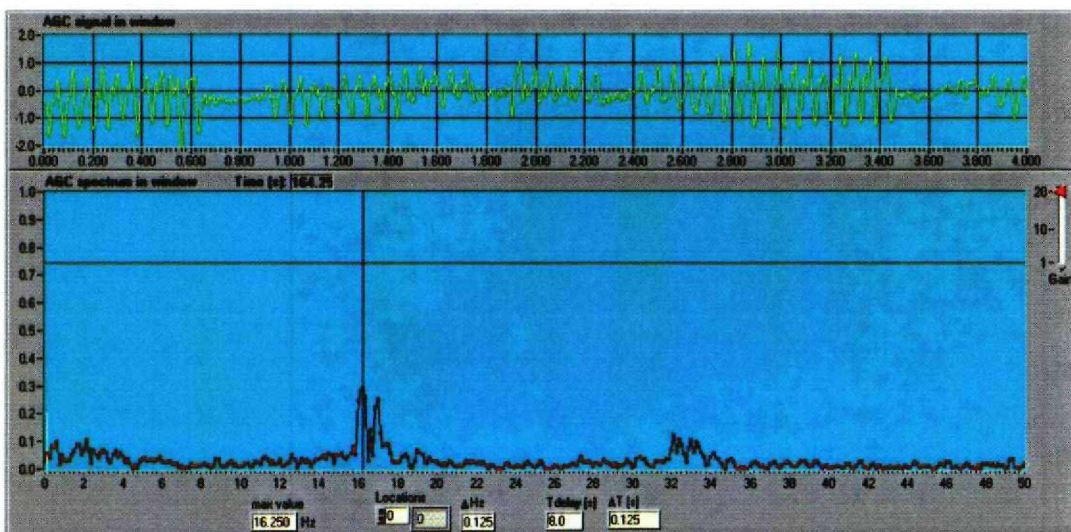
Overdag (Figuur 7) zijn de startposities meer in de kustzone geconcentreerd dan 's nachts (Figuur 6). Overdag zijn boven land 895, boven de kust 5946 en boven zee 3736 vliegpaden opgenomen; in de nacht respectievelijk 1310, 4732 en 3974 vliegpaden boven land, kust en zee. In beide figuren komen de grote cluttergebieden van de hoogovens, appartementencomplex en pieren duidelijk naar voren.

5.1.2 Soorten en soortgroepen van de geïdentificeerde vliegpaden

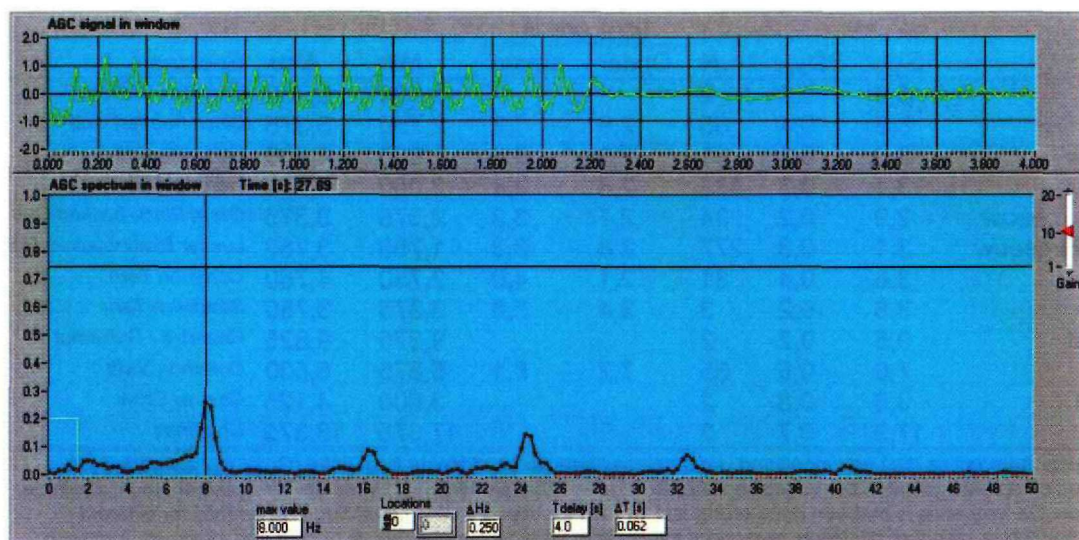
Wanneer één vogel door de doelvolgantenne wordt gevolgd, wordt de fluctuatie van het AGC-signaal onder andere veroorzaakt door de vleugelslagfrequentie (zie hoofdstuk 3.1.2 voor een uitgebreidere beschrijving). In Figuur 8 zijn een drietal voorbeelden weergegeven van de signalen van respectievelijk een Kleine Mantelmeeuw (overdag, gedetermineerd met boresight camera, een telens parallel aan de doelvolgantenne), een kleine zangvogel en een Gierzwaluw.



Kleine Mantelmeeuw *Lesser Black-backed Gull*



Kleine zangvogel *Small passerine*



Gierzwaluw Common swift

Figuur 8 AGC-signaal (bovenste venster) en frequentiespectrum (onderste venster) van achtereenvolgens een Kleine Mantelmeeuw (15 juni 1999, 14:39Lt, afstand 2,062 meter, hoogte 40 meter, vleugelslagfrequentie 3¼ Hz), een kleine zangvogel (16 september 1999, 23:39Lt, afstand 1.503 meter, hoogte 141 meter, vleugelslagfrequentie 16¼ Hz) en een Gierzwaluw (13 juli 1999, 2:30Lt, afstand 1.048 meter, hoogte 523 meter, vleugelslagfrequentie 8 Hz). In het bovenste venster wordt 4 seconden van het AGC-signaal weergegeven. Het onderste deel van ieder plaatje geeft de resultaten van een Fourier signaalanalyse, met op de horizontale as de frequenties en op de verticale as het geïntegreerde vermogen van het signaal. Behalve de piek op de grondfrequentie (eerste hoge piek) zijn vaak pieken zichtbaar voor de 1^e, 2^e en verdere harmonische frequenties. Let op het verschil in de rustfase van een kleine zangvogel (regelmatig, duur 0,1 – 0,25 seconden) en die van een Gierzwaluw (onregelmatig, duur 0,5 tot >2 seconden). *AGC signal (upper panel) and wavelength spectrum analysis (lower panel) of respectively a Lesser Black-backed Gull (range 2062 m, altitude 40 m, wing beat frequency 3¼ Hz), a small passerine (range 1503 m, altitude 141 m, wing beat frequency 16¼ Hz) and a Common Swift (range 1048 m, altitude 523, wing beat frequency 8 Hz). The upper panel shows 4 seconds of the AGC-signal. The lower panel depicts the result of a Fourier wavelength analysis, with the frequencies on the horizontal axis and the integrated power on the vertical axis. The peaks represent the base frequency. Apart from the base frequency (first peak), often also peaks on the harmonic frequencies (double, triple etc of the base frequency) are visible. Mark the difference between the pause between the passerine (regular 0,1 - 0,25 seconds) and the Swift (irregular, 0,5 - >2 seconds).*

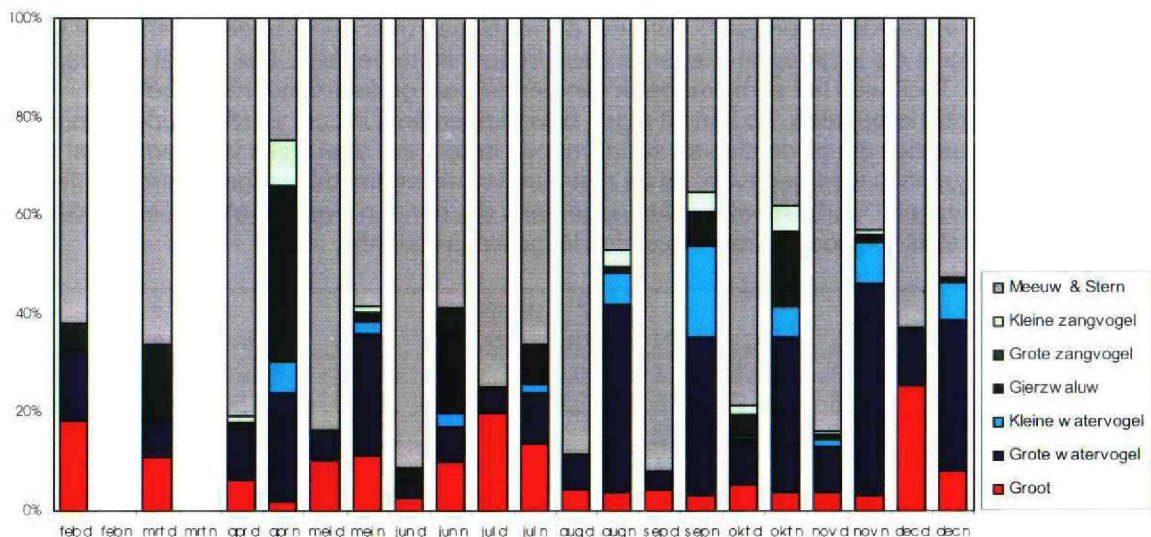
Het AGC patroon wordt vooral verstoord wanneer de vogel laag over een van de pieren of de kustlijn vliegt. Ook van vogels die in groepen vliegen is geen frequentie te bepalen. Dat is juist overdag meestal het geval. Toch was het soms mogelijk van een visueel gedetermineerde vogel de vleugelslagfrequentie te bepalen. Zo kon uit eigen bevindingen enig inzicht worden verkregen in de verschillende frequenties die bij de diverse soortgroepen horen. In Tabel 6 zijn van een aantal soorten de vleugelslagfrequenties weergegeven. Bij de niet-zangvogels neemt de vleugelslagfrequentie af met de grootte van de vogel. Daarbij moet worden opgemerkt dat eenden over het algemeen duidelijk zwaarder zijn dan stellopersoorten met dezelfde vleugelslagfrequentie.

Vogelsoort	G _{freq}	SD _{freq}	N	95% grens		Min	Max	Species
				Onder	boven			
Fuut	8,1	0,1	3	8,0	8,2	8,000	8,125	Great Crested Grebe
Aalscholver	4,5	0,6	75	3,9	5,1	2,750	5,750	Great Cormorant
Blauwe reiger	3,1	0,3	2			2,875	3,250	Grey Heron
Kleine zwaan	3,7	0,1	4	3,6	3,7	3,625	3,750	Tundra Swan
Grauwe gans	4,2	0,2	3	4,0	4,4	4,000	4,375	Greylag Goose
Rotgans	5,0	0,9	2			4,375	5,625	Brent Goose
Bergeend	4,9	0,7	12	4,2	5,6	2,750	5,500	Shelduck
Nijlgans	4,6	0,0	2			4,625	4,625	Egyptian Goose
Krakeend	7,0	0,5	2			6,625	7,375	Gadwall
Smient	7,8	2,1	2			6,250	9,250	Wigeon
Zwarte zee-eend	7,2	0,3	4	6,8	7,5	6,750	7,500	Common Scoter
Scholekster	5,2	0,3	9	4,8	5,5	4,750	5,750	Oystercatcher
Goudplevier	5,6	0,5	5	5,1	6,1	4,875	6,125	Golden Plover
Bontbekplevier	5,8	0,4	2			5,500	6,000	Great Ringed Plover

Vogelsoort	G _{freq}	SD _{freq}	N	95% grens		Min	Max	Species
				Onder	boven			
Wulp	5,6	0,2	2			5,500	5,750	<i>Eurasian Curlew</i>
Kokmeeuw	3,3	0,4	55	2,9	3,7	2,750	5,375	<i>Black-headed Gull</i>
Stormmeeuw	3,3	0,3	61	2,9	3,6	2,625	4,500	<i>Common Gull</i>
Zilvermeeuw	3,1	0,3	536	2,8	3,4	2,000	4,375	<i>Herring Gull</i>
Grote mantelmeeuw	2,9	0,2	34	2,7	3,2	2,375	3,375	<i>Great Black-backed Gull</i>
Kleine mantelmeeuw	3,1	0,3	277	2,8	3,3	1,750	3,750	<i>Lesser Black-backed Gull</i>
Visdief	3,6	0,4	31	3,1	4,0	2,750	4,750	<i>Common Tern</i>
Grote stern	3,6	0,2	3	3,4	3,8	3,375	3,750	<i>Sandwich Tern</i>
Alk / Zeekoet	9,5	0,2	2			9,375	9,625	<i>Razorbill / Guillemot</i>
Gierzwaluw	7,6	0,5	55	7,2	8,1	5,875	8,500	<i>Common Swift</i>
Zwarte kraai	3,6	0,8	2			3,000	4,125	<i>Carion Crow</i>
Vink	17,9	0,7	2			17,375	18,375	<i>Chaffinch</i>

Tabel 6 Vleugelslagfrequenties (Hz) per vogelsoort. Achtereenvolgens de gemiddelde frequentie (G_{freq}), standaarddeviatie (SD_{freq}), aantallen en spreidingsmaten per vogelsoort. Alleen vogelsoorten die minimaal tweemaal zijn waargenomen, zijn in de tabel opgenomen. De frequentie is met een nauwkeurigheid van 1/8 Hz bepaald. *Wing beat frequencies (Hz) for different species. Mean frequency, standard deviation, number of tracks, 95% confidence intervals, minimum and maximum frequency are presented. Only species identified in at least two occasions are included. Wing beat frequencies have been determined with 1/8 Hz accuracy.*

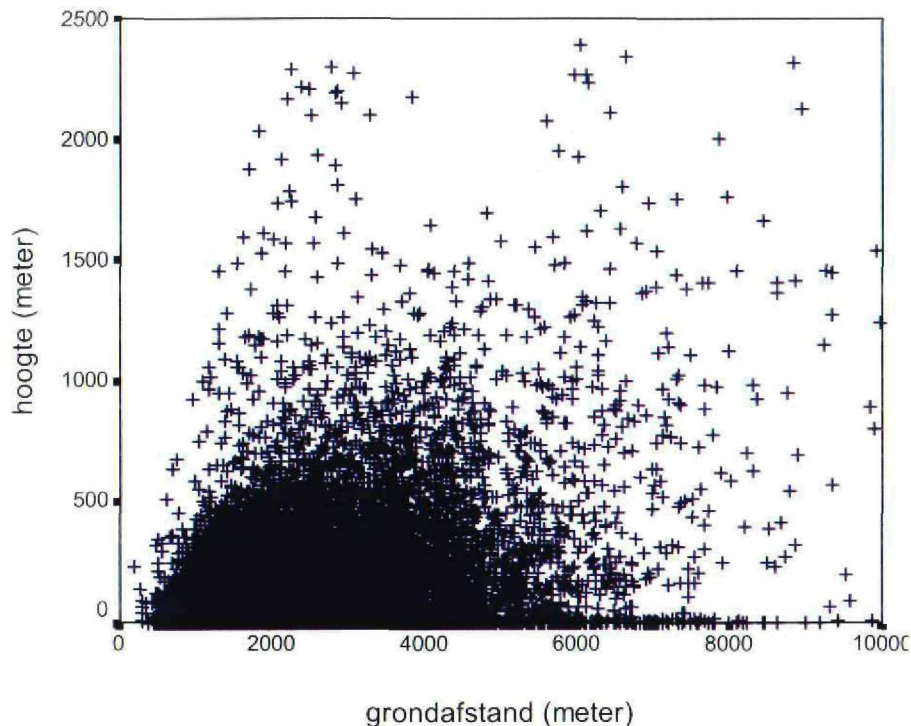
Omdat de frequenties van verschillende soorten fors kunnen overlappen zijn alle geïdentificeerde vliegpaden ondergebracht in soortgroepen (zie Tabel 6). Figuur 9 geeft de procentuele verdeling van de verschillende soortgroepen per maand weer, uitgesplitst naar dag en nacht. Meeuwen en sterns domineerden de vliegpaden in groten getale (overdag 83%, nacht 44%). 's Nachts in het najaar valt het grote aandeel watervogels (eenden en steltlopers) op. Met uitzondering van april waren zangvogels (groot en klein) in veel mindere mate aanwezig. In april echter zijn de AGC-signalen handmatig vastgelegd; het AGC-herkenningssysteem bevond zich in de testfase en vooral "leuke" herkenbare signalen zijn opgeslagen. Dit doet vermoeden dat het percentage opgenomen zangvogels niet overeenkomt met het werkelijke percentage. Gierzwaluwen kwamen uitsluitend voor in de nachten van de zomermaanden. In juli (Aalscholver en Bergeend) en december (vorsttrek van ganzen) zijn grote aantallen grote vogels waargenomen.



Figuur 9 Aandeel van de soortgroepen per meetweek, overdag (d) en 's nachts (n). In februari, maart en deels in april zijn 's nachts geen vleugelslagpatronen bepaald. *Proportion of species groups per month and time of the day, respectively day (d) or night (n). In February, March and partly in April no wing beat patterns were recorded.*

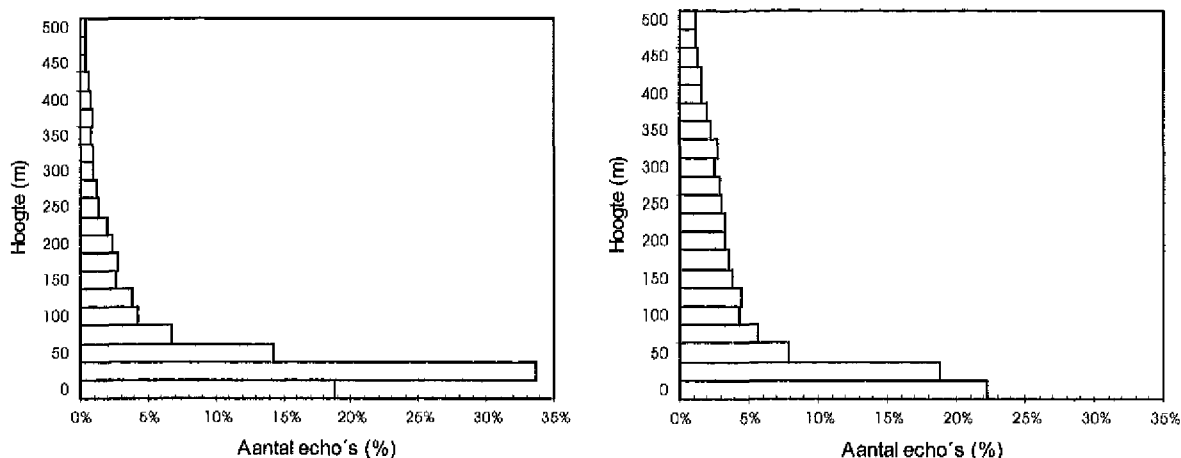
5.1.3 Vlieghoogten geïdentificeerde vliegpaden

In Figuur 10 worden afstand en hoogten weergegeven van alle echo's die zijn opgepikt met behulp van de zoekantenne. Deze grafiek biedt inzicht in de verticale bundelvorm van de zoekantenne. Ook hier is het duidelijk dat echo's vooral binnen 5 kilometer afstand werden geselecteerd. Dit verklaart de lage dichtheden op grotere afstand. Opvallend is dat een aantal echo's boven de normale radarbundel is opgepikt. Als een te volgen echo wordt opgespoord met de zoekantenne, zijn alleen de azimuthhoek en de afstand bekend. De doelvolgantenne komt omlaag vanuit de rustpositie op 45° elevatie en "haakt aan" op de eerste gevonden echo. Deze hoek van 45° elevatie ligt ruim boven de bovengrens van de zoekantenne (20°). Bij zeer sterke trek komt het voor dat zich pal boven de geselecteerde echo nog een vogelgroep bevindt, zodat die –en niet de geselecteerde echo– wordt gevolgd met de doelvolgantenne. De 45° rustpositie is gekozen om stralingsgevaar voor omstanders uit te sluiten.



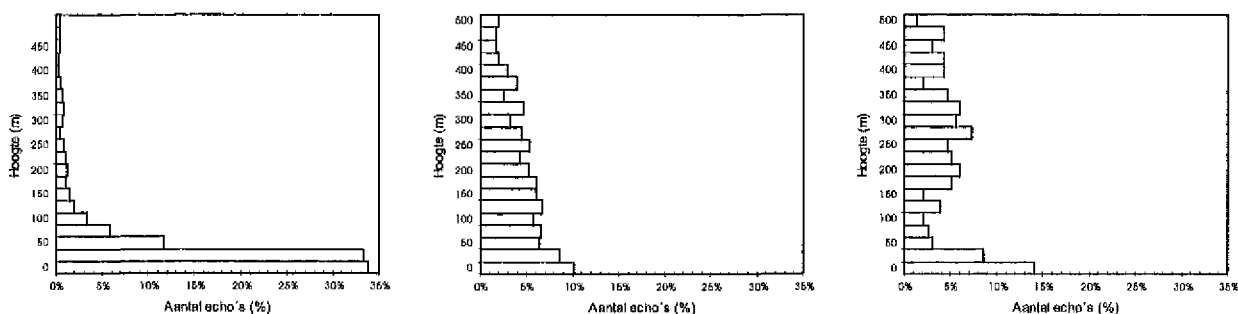
Figuur 10 Afstand-hoogte grafiek van alle vliegpaden geselecteerd met behulp van de zoekantenne ($n = 20.069$). Grondafstand en hoogte in meters. De zwarte lijn komt overeen met de 20° uittreehoek van de zoekantenne. *Plot of altitudes and distances for all start positions of flight paths selected with the search antenna ($n = 20.069$).*

In Figuur 11 zijn de hoogteverdelingen in de onderste 500 meter, dag en nacht, weergegeven. In beide gevallen waren veel vliegpaden in de onderste 100 meter te vinden, overdag 75% en in de nacht 53%. Overdag nam het aantal vliegpaden boven 50 meter hoogte drastisch af, 's nachts was deze afname veel zwakker. Hierdoor is de hoogteverdeling tussen de dag en nachtsituatie significant verschillend (Kendall's W test, $\chi^2 = 6961$, $df = 1$, $n = 20.069$, $P < 0,001$). Overdag bevond 50% van alle vliegpaden zich onder 23 meter, en 90 % onder 208 meter. 's Nachts vloog 50% onder 54 meter, 90 % onder 337 meter.



Figuur 11 Procentuele hoogteverdeling over het hele jaar in stappen van 25 meter, tot een hoogte van 500 meter, overdag (links, n = 10.128) en 's nachts (rechts, n = 8.957). Hoogteklasse "0" omvat de vogels die onder de radarantenne vlogen (tot minimaal -7 meter). *All-year relative altitude distribution (%) below 500 metres by day (left, n = 10128) and night (right, n = 8957).*

's Nachts vlogen in de onderste tientallen meters vooral meeuwen en sterns. Grote watervogels (eenden en steltlopers) en grote zangvogels (voornamelijk lijsters) vlogen hoger (Figuur 12). Dit komt nog meer tot uitdrukking wanneer we naar de hoogte kijken waarop 10, 50 en 90% van de vogels vliegen. Voor de verschillende soortgroepen, voor dag en nacht, is dit weergegeven in Tabel 7. Ook nu komt duidelijk naar voren dat zowel overdag als in de nachten in de onderste luchtlag vooral meeuwen en sterns (lees vooral Zilver- en Kleine Mantelmeeuw) vlogen.



Figuur 12 Procentuele hoogteverdeling over het hele jaar in de onderste 500 meter van drie soortgroepen, alleen 's nachts. Van links naar rechts achtereenvolgens de soortgroepen meeuwen en sterns n = 8.957, grote watervogels (n = 1.139) en grote zangvogels (n = 234). Hoogteklasse "0" omvat de vogels die onder de radarantenne vlogen (tot minimaal -7 meter). *Altitude distribution (%) below 500 metre for three species groups by night. From left to right gulls and terns (n = 8957), large waterfowl (n = 1139) and large songbirds (n = 234).*

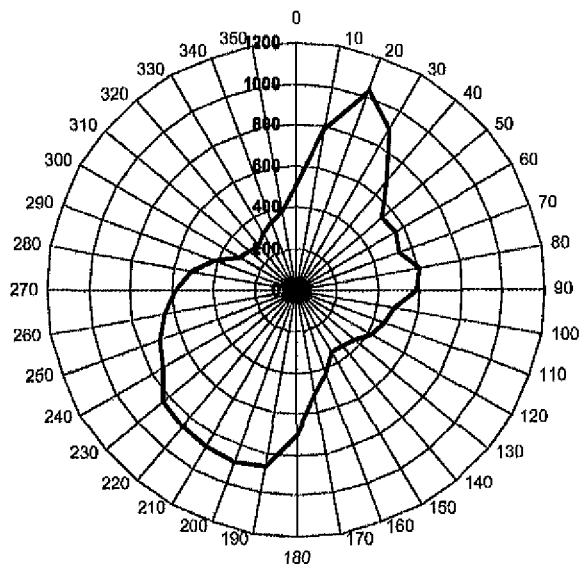
Soortgroep	Dag				Nacht			
	5%	50%	90%	N	5%	50%	90%	N
Grote vogel	1m	49m	1250m	542	1m	165m	917m	204
Meeuw of stern	2m	31m	282m	5859	0m	15m	315m	1810
Grote watervogel	0m	99m	892m	473	2m	185m	683m	1297
Kleine watervogel	1m	8m	780m	20	2m	193m	897m	365
Gierzwaluw				1	99m	519m	1435m	54
Grote zangvogel	8m	175m	572m	115	2m	271m	1043m	289
Kleine zangvogel	46m	248m	473m	26	1m	241m	1014m	124

Tabel 7 Hoogte boven zeeniveau (meter) waarop 5%, 50% en 95% van de vliegpaden van soortgroepen zijn waargenomen, hele jaar. *Altitudes (m) at which 5%, 50% and 95% of all tracks per species group (whole year) were observed.*

Aangezien de vlieghoogte sterk door het seizoen en de wind wordt bepaald is een verdere bespreking alleen zinvol wanneer meer in detail wordt gekeken, zoals in de beschrijving van de maandelijkse resultaten gebeurt.

5.1.4 Vliegrichting

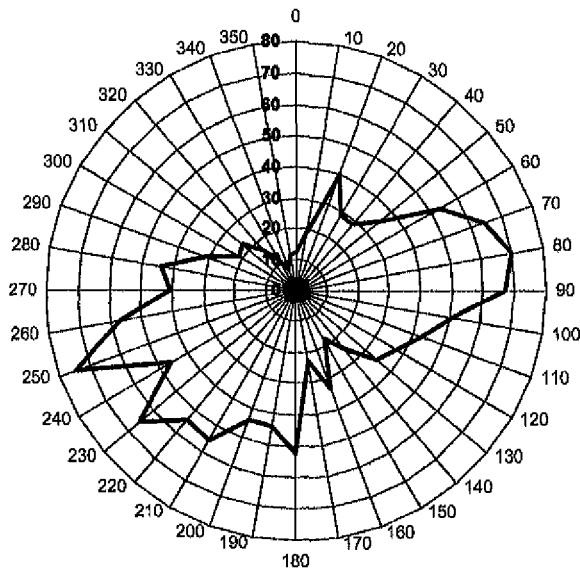
Vogels vlogen het gehele jaar vooral parallel langs de kust (NNO en ZZW) of haaks op de kustlijn (Figuur 13, Tabel 8).



Figuur 13 Richtingsverdeling van alle vliegpaden gedurende het gehele Jaar, dag en nacht (n = 20.593). De kustlijn loopt ongeveer van 14 naar 194°. *Distribution of flight directions for all tracks, all year, day and night (n=20593). The coastline runs from 14° to 194°.*

In het voorjaar vlogen de meeste vogels langs de kustlijn naar het noordnoordoosten. De richtingsverdeling van de grote zangvogels overdag (lijsters en spreeuwen) wordt gedomineerd door de aankomst over zee vanuit Engeland in het voorjaar. Het ontbreken van de vleugelslagregistratie in het voorjaar maakt een verdere uitsplitsing van de soortgroepen in de nachten niet mogelijk.

In de zomermaanden overheersten de meeuwen en sterns, zowel overdag als 's nachts. Het uitvliegen van en naar de nabijgelegen kolonie maakte het berekenen van een gemiddelde vliegrichting zinloos (Figuur 14). Alle vliegpaden hebben betrekking op lokale vluchten tussen broed-, rust en fourageergebieden op zee (vooral viskotters). De nachtelijke waarnemingen aan Gierzwaluwen vertonen geen significante overheersende richting.



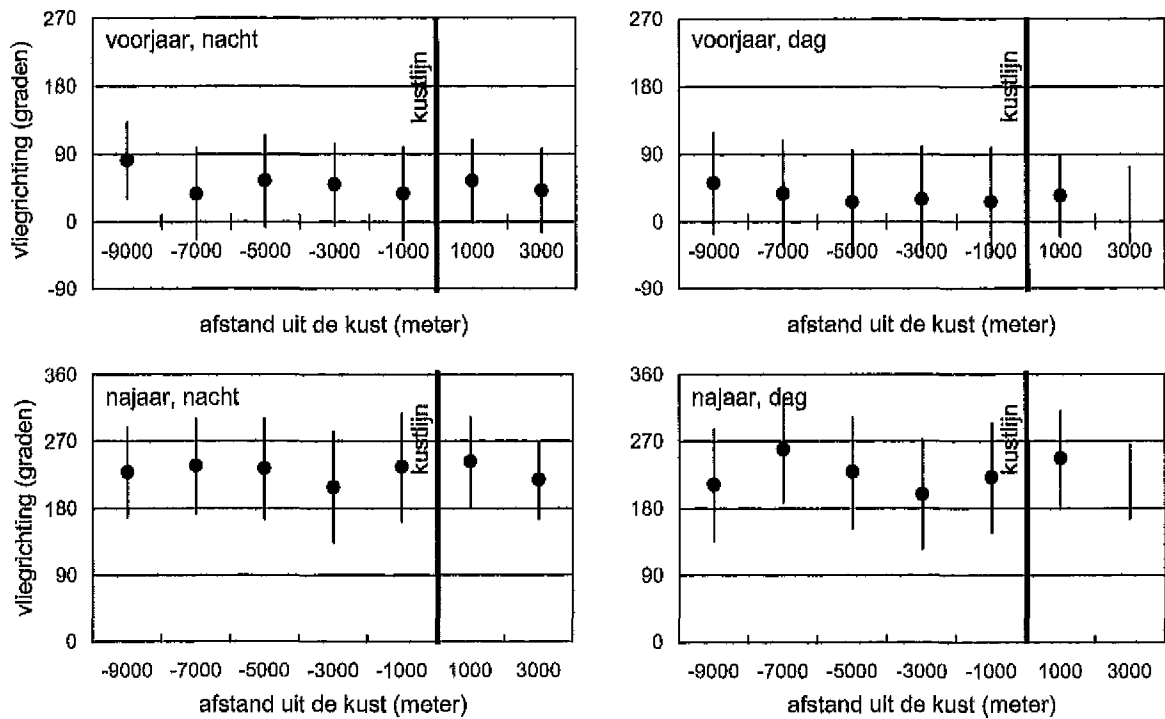
Figuur 14 Richtingsverdeling van meeuwen en sterns in de zomermaanden, dag en nacht (n = 1.376). *Distribution of flight directions for the species group gulls and terns during summer, day and night (n = 1376).*

Zuidzuidwestelijk tot zuidwestelijke vliegrichtingen kenmerken het najaar. Opvallend veel zangvogels vlogen westzuidwestelijk (richting Engeland), zowel overdag als 's nachts. Daarnaast vlogen grote en kleine watervogels 's nachts in twee richtingen: naar het zuidzuidwesten (parallel aan de kust) en naar het westzuidwesten (naar Engeland), wat gemiddeld een zuidwestelijke richting oplevert.

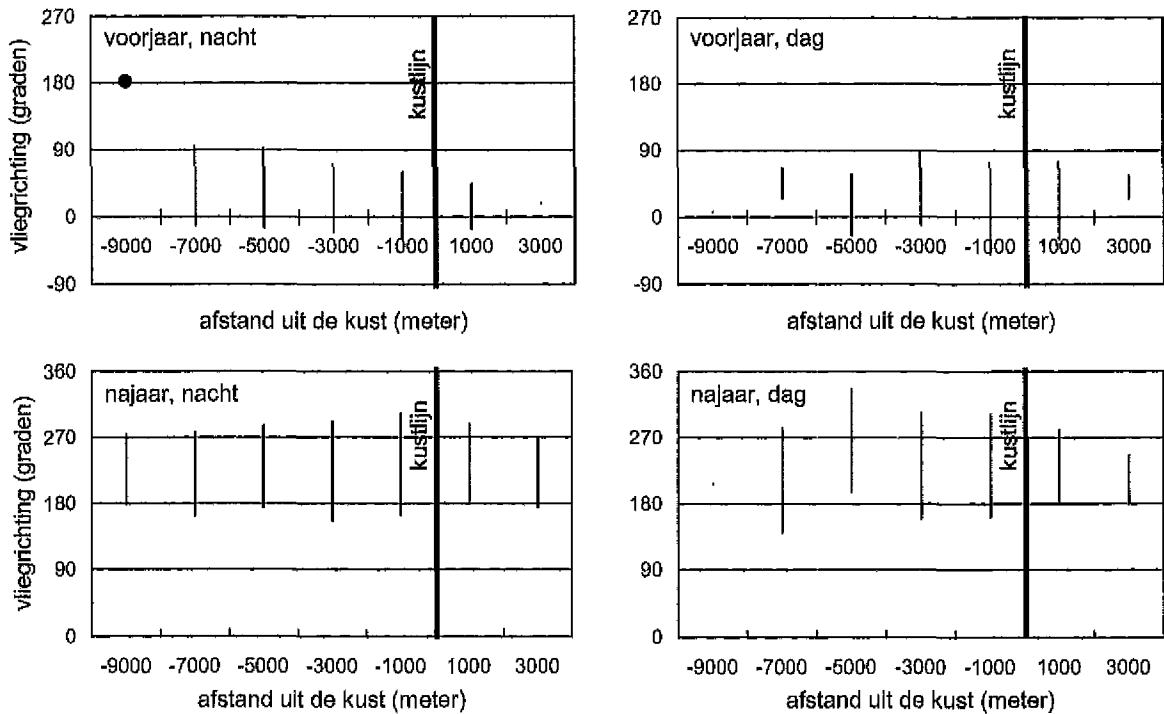
Seizoen	Soortgroep	Dag	Nacht
Feb – mei	Totaal	32° (3274)	51° (2788)
	Grote vogel	22° (137)	-
	Meeuw en stern	20° (1080)	32° (121)
	Grote watervogel	13° (107)	-
jun – juli	Grote zangvogel	68° (55)	-
	Grote vogel	42° (157)	n.s. (50)
	Meeuw en stern	-	n.s. (267)
aug – dec	Gierzwaluw	-	n.s. (50)
	Totaal	216° (5521)	224° (6450)
	Grote vogel	209° (248)	223° (134)
	Grote watervogel	-	224° (1196)
	Kleine watervogel	-	221° (344)
	Grote zangvogel	233° (46)	243° (237)
	Kleine zangvogel	-	234° (112)

Tabel 8 Overzicht van de gemiddelde vliegrichting per seizoen, soortgroep, dag en nacht. Alleen soortgroepen met meer dan 25 vliegpaden zijn opgenomen. Wanneer meer dan één belangrijke vliegrichting aanwezig was is geen gemiddelde richting berekend. Tussen haakjes staat het aantal vliegpaden vermeld. *Mean flight directions per season, per species group, grouped by day and night. No mean directions were calculated when more than one important flight direction was present. The number of flight paths is shown between brackets.*

Als vogels inderdaad hun vliegrichting bijstellen bij het naderen van de kustlijn (de premisse voor gestuwde trek) zou de richtingsverdeling per soort(groep) boven land moeten verschillen van die boven de kust. Zo'n verschil is niet aangetroffen (Figuur 15, Figuur 16). Blijkbaar zetten vogels na passage van de kustlijn de land- dan wel zeewaarts gerichte trekweg gewoon voort. Vogels die al parallel aan de kustlijn vliegen doen dit zowel verder uit de kust als boven land en in dezelfde richtingen.



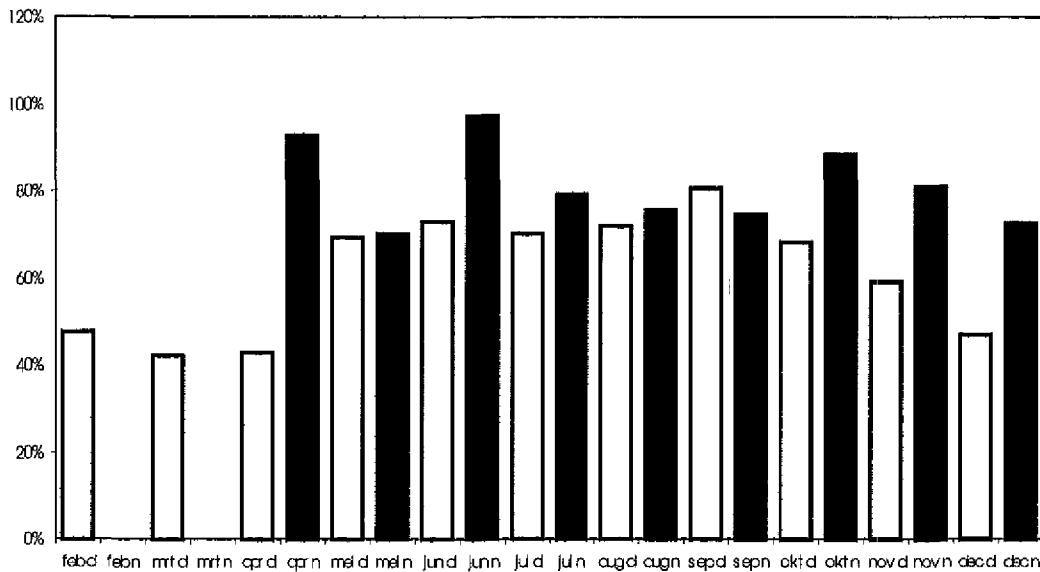
Figuur 15 Gemiddelde vliegrichting \pm standaard deviatie in relatie tot de afstand van de kustlijn (klassen van 2 kilometer), alle vliegpaden. Voorjaar (maart - mei), nacht (links boven, $n = 2505$), voorjaar, dag (rechts boven, $n = 3130$), najaar (augustus - november), nacht (links onder, $n = 5518$), najaar, dag (rechts onder, $n = 5110$). *Mean flight directions and standard deviation related to the distance from the coastline. All tracks, spring (upper) and autumn (lower), night (left) and day (right).*



Figuur 16 Als Figuur 15, na weglating van de soortgroepen meeuwen & sterns en onbekend. Voorjaar, nacht (links boven, $n = 149$), voorjaar, dag (rechts boven, $n = 282$), najaar, nacht (links onder, $n = 1851$), najaar, dag (rechts onder, $n = 538$). *Same as figure 15, excluding unknown and gulls & terns.*

5.1.5 Groepen of solitair vliegende vogels geïdentificeerde vliegpaden

Overdag is de groepsgrootte visueel bepaald. Ook aan de hand van het AGC-patroon zijn groepen te onderscheiden van individuele vogels. Vanaf mei (experimenteel in april) kwamen daarmee ook 's nachts structureel gegevens beschikbaar over het al dan niet in groepen vliegen van vogels. Helaas is uit de AGC patronen niet te zien uit hoeveel individuen een groep bestaat. Daarom is slechts onderscheid gemaakt tussen groepen en individuen. Op deze manier zijn overdag significant meer (32%, n = 7668) vliegpaden als groepen geïdentificeerd dan 's nachts (20%, n = 4838). Wilcoxon signed ranks test ($Z = -53,966$, $P < 0,001$). Voor de maanden afzonderlijk was het aandeel groepen overdag niet altijd hoger dan 's nachts (mei, september), Figuur 17.



Figuur 17 Het aandeel eenlingen per meetweek, overdag en 's nachts. Uit de nachten van februari en maart kon geen informatie worden verzameld. *Proportion of tracks consisting one bird, by month and day (d) and night (n). No information on the nights in February and March was available.*

5.2 Jaaroverzicht elevatiescans

5.2.1 Aantallen uitgewerkte scans

In totaal zijn 1231 elevatiescans opgenomen waarvan 1034 haaks op de kust (azimutrichting is 284 graden), 11 naar het noordwesten (337 graden) en 186 evenwijdig aan de kust (194 graden). De scans zijn samengevoegd per dagdeel. Om de flux, en daaruit de dichtheid, te kunnen bepalen is het noodzakelijk dat de vliegrichting uit de vliegpaden éénduidig is, in de overige gevallen kunnen geen dichtheden of fluxen uit de elevatiescans worden berekend. Gezien de grote variatie aan vliegrichtingen en de hoeveelheid zeeclutter in de onderste 100 meter van de elevatiescans is de analyse uitgevoerd vanaf 100 meter hoogte. Tabel 9 geeft de maandelijkse aantallen gemeten en geanalyseerde dagdelen weer.

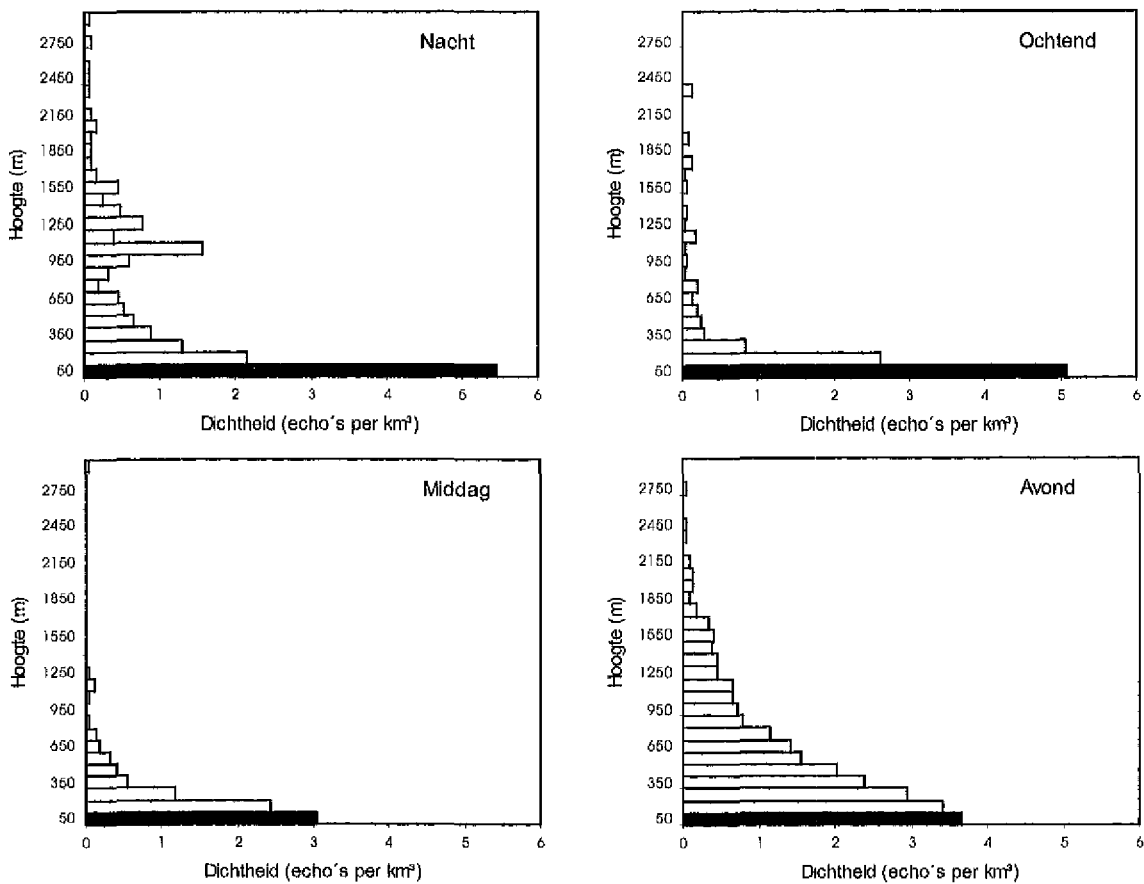
	Gemeten		Geanalyseerd									
	N	N (%)	Totaal		Nacht		Ochtend		Middag		Avond	
			N	(%)	N	(%)	N	(%)	N	(%)	N	(%)
Februari	7	4 (57)	1	(14)	-	(-)	1	(14)	2	(28)		
Maart	22	13 (59)	5	(23)	4	(18)	1	(5)	3	(14)		
April	19	12 (63)	4	(21)	3	(16)	1	(5)	4	(21)		
Mei	22	9 (41)	2	(9)	2	(9)	2	(9)	3	(14)		
Juni	15	4 (27)	1	(7)	2	(13)	-	(-)	1	(7)		
Juli	14	4 (29)	-	(-)	2	(14)	2	(14)	-	(-)		
Augustus	24	14 (58)	3	(13)	4	(17)	3	(13)	4	(17)		
September	24	8 (33)	2	(8)	1	(4)	-	(-)	5	(21)		
Oktober	22	17 (77)	6	(27)	4	(18)	1	(5)	6	(27)		
November	16	10 (67)	2	(13)	3	(20)	2	(13)	3	(20)		
December	10	6 (60)	2	(20)	1	(10)	1	(10)	2	(20)		
Totaal	194	101 (52)	28 (14)	26 (13)	14 (7)	33 (17)						

Tabel 9 Maandelijkse aantallen en percentages gemeten en geanalyseerde dagdelen. Alleen dagdelen met een eenduidige significante vliegrichting boven 100m hoogte zijn geanalyseerd. *Monthly numbers and percentages of measured and analysed day parts (total, night, morning, afternoon and evening). Only day parts with one significant flight direction are analysed.*

Uit bovenstaande tabel blijkt dat vooral elevatiescans van de avonden en nachten, en in mindere mate ook van de ochtend, zijn uitgewerkt. Alleen in de zomermaanden juni en juli waren weinig nachtelijke scans geschikt om te worden uitgewerkt.

5.2.2 Echodichtheden en vlieghoogten in de elevatiescan

In Figuur 18 wordt de kwantitatieve hoogteverdeling boven zee, uitgesplitst per dagdeel weergegeven. Daarvoor zijn de fluxen van de geanalyseerde elevatiescans (zie Tabel 9) gepooled per 100 meter hoogte en omgerekend naar driedimensionale dichtheden (echo's / km³). Alle dagdelen van februari tot en met december, waarbij gerichte vliegbewegingen plaatsvonden, zijn gebruikt. De metingen in de onderste 100 meter werden vaak verstoord door zeeclutter, waardoor de aantallen daar vaak zullen worden onderschat. Toch waren zelfs die minimale dichtheden in de onderste 100 meter nog altijd groter dan in enige andere hoogteklaas, ondanks de vaak verstoorde opnamen. Kwantitatief mag hier daarom ook geen waarde aan worden gehecht. Daarnaast komt duidelijk naar voren dat vogels in de ochtend en middag zich veelal in de onderste luchtlagen bevonden. In de avond en nacht vlogen de vogels tot veel grotere hoogten. De verschillen tussen avond en nacht waren echter groot. In de nachten was het verschil tussen hoogtebanden vaak groot, terwijl 's avonds de dichtheid meestal geleidelijk afnam met de hoogte.



Figuur 18 Hoogteverdeling (echo's per km³) in stappen van 100 meter (klassenmiddelen op de Y-as), tot 3000 meter hoogte. De 0-100 meter hoogteband was regelmatig slecht te zien door zeeclutter. Dit zal vaak leiden tot een grote onderschatting van de dichtheden, hetgeen vergelijking met de overige hoogtebanden moeilijk maakt. Gemiddelde over alle maanden uit de elevatiescan (284°). Alleen dagdelen met één dominante, significante vliegrichting zijn geselecteerd. *Altitude distribution (echoes per km³) in 100m altitude classes up to 3000 m altitude. Due to clutter in the 0 – 100 m altitude class, echo numbers will generally be underestimated, hampering comparison with other altitude classes. Year round mean from the 284° elevation scan. Only day parts with a unimodal distribution and a significant mean flight direction are presented.*

5.2.3 Dichtheidsverloop dwars op de kust

Om het dichtheidsverloop ten opzichte van de kust te berekenen zijn de driedimensionale, hoogtespecifieke dichtheden samengevoegd tot tweedimensionale dichtheden (echo's per km²). Hierbij zijn de waarnemingen onder de 100 meter niet meegenomen. In Tabel 10 zijn de dichtheden op verschillende afstanden tot de kust weergegeven. In de avond en de nacht was de dichtheid altijd hoger dan overdag, ongeacht de afstand uit de kust. De hoogste dichtheden zijn altijd in de afstandsklasse 4 - 5½ km gevonden. In alle dagdelen nam de dichtheid af met de afstand tot de kust. De dichtheid in afstandsklasse 7 - 8½ km was echter nog altijd vrij hoog, variërend van 14 tot 39% van de maximale dichtheid over dat dagdeel.

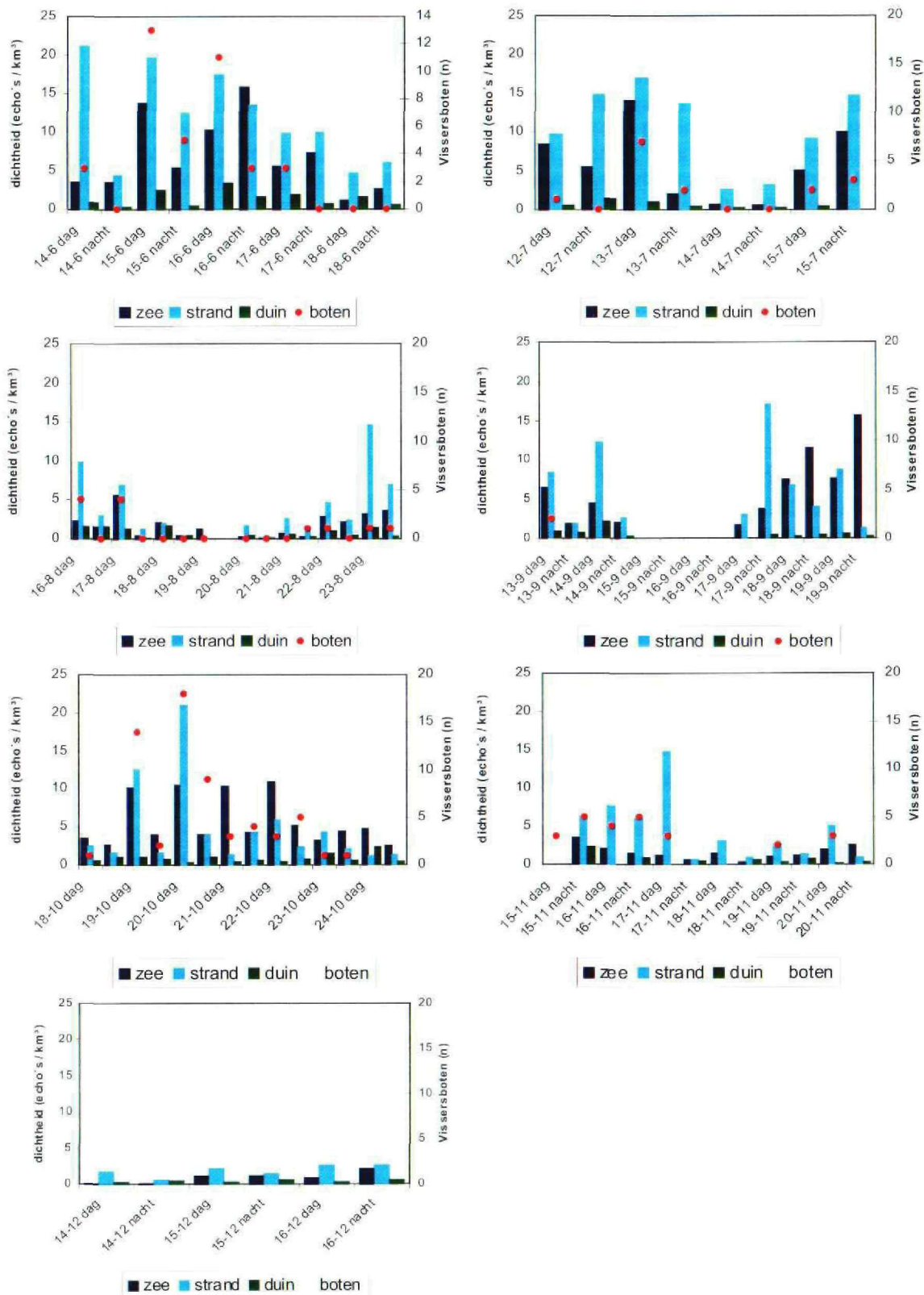
Tijd	Afstand tot de kust (km)			
	2½ - 4	4 - 5½	5½ - 7	7 - 8½
Nacht	2,74	3,33	2,00	0,48
Ochtend	0,70	1,05	0,60	0,23
Middag	0,34	0,67	0,54	0,26
Avond	1,49	4,25	2,43	1,34

Tabel 10 2D-dichtheden (echo's / km²) boven de 100 meter op verschillende afstanden uit de kust, gebaseerd op de verticale scans over het hele jaar. Alleen dagdelen met één dominante, significante vliegrichting zijn gebruikt. *Year-round mean 2D-densities (echoes / km²) on different distances from the coastline, above 100m altitude, based on the vertical scans. Only day parts with a unimodal distribution and a significant mean flight direction are used.*

De verschillen tussen de diverse dagen komen bij het maandoverzicht aan de orde, in hoofdstuk 5.5.3 wordt dieper ingegaan op de samenhang tussen de verschillende maanden.

5.3 Vogeldichtheden in de onderste 100 meter

Om toch een kwantitatief beeld te krijgen van de aantallen onder de 100 meter, de grootste dichtheden komen daar immers voor (zie 5.1.3 en 5.2.2), zijn ook de video beelden van de zoekantenne uitgewerkt. Doordat deze beelden *timelapse* zijn opgenomen, kunnen bij normale afspeelsnelheid de bewegende vogels met het oog makkelijker van de zeeclutter worden onderscheiden (zie ook 3.2). In Figuur 19 zijn voor alle maanden de dichtheden uit de video-uitwerking van het overzichtsbeeld met de zoekantenne per dag weergegeven. Binnen een meetweek waren de verschillen van dag tot dag soms heel groot. Dit heeft mede te maken met de aan- of afwezigheid van vogeltrek. Over het algemeen echter worden de aantallen gedomineerd door (niet trekkende) meeuwen.



Figuur 19 De verdeling van dichtheden (echo's per km³, linker y-as) in de onderste 100 meter per dag/nacht en per maand, samengesteld uit de video-analyse van het PPI-beeld van de zoekantenne en het aandeel vliegpaden in de onderste 100 meter. Op de rechter Y-as staat bovendien het aantal waargenomen vissersboten per dag of nacht weergegeven met een •. *Densities (echoes per km³, left axis) per day and night in the lowest 100 m compiled from the search antenna video analysis and the percentage of tracked birds in the 0-100 m altitude class. On the right-hand vertical axis the number of ships is represented by a •.*

In Tabel 11 zijn de gemiddelde dichtheden per maand, per dag/nacht en per locatie weergegeven. Hoewel de dichtheden boven de duinen vanwege de horizonafscherming door het appartementencomplex en de reflecties van de staalindustrie en het havengebied niet altijd goed konden worden vastgesteld, is wel duidelijk dat deze beduidend lager waren dan boven kust of zee. De gemiddelde dichtheid was het hoogst boven de kust. Overdag waren de waargenomen dichtheden boven de kust ongeveer 1½ keer zo hoog als die boven zee en 9 keer zo hoog als die boven de duinen. 's Nachts waren de dichtheden boven de kust 1¼ keer zo hoog als boven zee en bijna 8 keer zo hoog als boven de duinen.

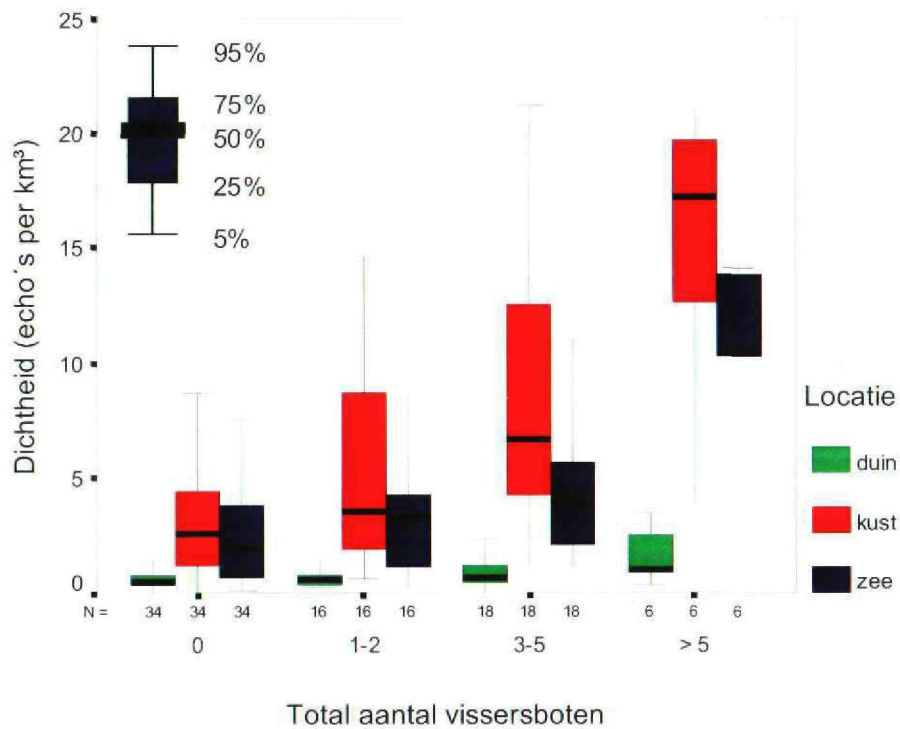
Hoewel de dichtheidsafname over het hele jaar genomen goed overeenkomt met die boven de 100 meter van de elevatiescan, is er in de herfst een opvallend verschil. Dan lijken 's nachts de dichtheden boven zee juist hoger te zijn dan boven de kust. Dit wordt veroorzaakt doordat, onder de 100 meter zowel breedfront-trek richting Engeland als trek parallel aan de kust is waargenomen. Boven de 100 meter was de vliegrichting voornamelijk WZW georiënteerd. Doordat vogels in zij aanzicht beter zichtbaar zijn, is de trekstroom parallel aan de kust beter waar te nemen boven zee dan in de kustzone. De WZW gerichte breedfronttrek naar Engeland is even goed zichtbaar boven de kust als boven zee. Omdat de video-analyse verder nergens is voor gecorrigeerd leken hierdoor de totale dichtheden boven zee hoger. In werkelijkheid zou de dichtheid boven de kust hoger moeten uitpakken, maar hier valt moeilijk voor de corrigeren.

Periode	Duin	Kust	Zee	Vliegpaden	
	echo's/km ³	echo's/km ³ 0 - 2½km	echo's/km ³ 2½ - 5km	N	aandeel 0-100m
Juni, dag	2,47	14,84	8,66	837	0,856
Juli, dag	0,58	9,33	6,46	845	0,822
Augustus, dag	0,90	4,26	2,08	1522	0,603
September, dag	0,38	6,08	5,30	1479	0,891
Oktober, dag	0,91	9,76	8,48	1188	0,835
November, dag	0,24	6,08	1,69	921	0,557
December, dag	0,35	2,44	0,99	411	0,450
Gemiddeld, dag	0,83	7,54	4,81		

Tabel 11 Samenvatting van de dichtheden in de onderste 100 meter (echo's per km³), boven de Pieren van IJmuiden, juni t/m december 1999. De dichtheden zijn samengesteld uit de video-analyse van het PPI-beeld van de zoekantenne en het aandeel vliegpaden in de onderste 100 meter. *Summary of densities (echoes per km³) per month in 0-100m altitude class, June – December 1999.*

Uit Figuur 20 blijkt dat het aantal vissersboten in de directe omgeving een belangrijke rol speelt bij de gevonden vogeldichtheden in de onderste 100 meter. Significante relaties worden gevonden tussen het aantal boten binnen het 5 km bereik van de radar en de echodichtheid boven zee ($R^2 = 0,23$, $p < 0,001$), kust ($R^2 = 0,33$, $p < 0,001$) en duinen ($R^2 = 0,11$, $p < 0,01$). Hierbij zijn de echodichtheden en aantallen vissersboten van zowel de dag als de nacht gegroepeerd.

Het verband tussen het aantal vissersboten en de dichtheid was boven de kust en zee het sterkst en boven de duinen het zwakst. Opvallend daarbij is wel dat de relatie tussen het aantal boten op zee en de dichtheid boven de duinen niet negatief was. Deze bevindingen komen overeen met de bevindingen van Poot et al. (2000a), gebaseerd op visuele waarnemingen overdag, simultaan aan de Flycatchermetingen.



Figuur 20 Boxplot van de echodichtheden boven duin, kust en zee (dag en nacht samen) uitgezet tegen de waargenomen aantallen vissersboten op de bijbehorende dagen, juni tot en met december 1999. *Boxplot of echo densities above the dunes (green), coast (red) and open sea (blue) plotted against the number of trawlers on the same day, June – December 1999.*



Foto 3 Grote aantallen meeuwen (Zilvermeeuw en Kleine Mantelmeeuw) vliegen achter een garnalenvisser. *Gulls, mainly Herring Gull and Lesser Black-backed Gull, foraging behind a shrimp trawler.*

5.4 Maandoverzichten

Het veldonderzoek bestond uit een jaar lang één week in de maand, 24 uur per etmaal, het kwantitatieve en kwalitatieve patroon van vogelbewegingen (vogeltrek) vast te leggen met behulp van een Flycatcher doelvolgradar. Naast het seizoen (tijd van het jaar), het tijdstip op de dag (dag of nacht), heeft ook het weer een enorme invloed op het wel of niet voorkomen van vogeltrek. Het is daarom van het grootste belang om niet alleen een jaar lang te meten, maar om daarbij ook de weerssituatie gedetailleerd te beschrijven en te betrekken bij de waargenomen resultaten. In dit hoofdstuk voert het te ver om deze gegevens uitgebreid te behandelen, maar zonder kennis genomen te hebben van de maandelijkse resultaten kunnen de volgende hoofdstukken ook niet worden gelezen. In het onderhavige hoofdstuk zal daarom kort worden ingegaan op de standaard uitwerkingen van elke maand, met daarbij enkele opmerkelijke fenomenen. Tot slot worden in hoofdstuk 8 de resultaten uitgebreid besproken.

5.4.1 Standaard uitwerkingen van de maandresultaten

De meetperiode wordt aangegeven, waarna een algemene bespreking van het weer volgt uit de KNMI maandoverzichten. Wind is één van de belangrijkste factoren voor het voorkomen van vogeltrek. Daarom wordt de wind (richting en snelheid) op diverse hoogtes als grafiek gepresenteerd. Achtereenvolgens komen besprekingen aan bod die betrekking hebben op de kwalitatieve vliegpaden: waargenomen vogelsoorten en aantallen, soortenverdeling naar hoogteklassen (onder en boven de 100 meter), soortenverdeling onder en boven de 100 meter en waargenomen vliegrichtingen. Elke maandbespreking eindigt met een kwantitatief verhaal, gebaseerd op de elevatiescans. Achtereenvolgens wordt de waargenomen dichtheid van dagdeel tot dagdeel over de hele week besproken, de hoogteverdelingen per dagdeel, waarbij de wind en het kwalitatieve soortenspectrum gerelateerd wordt aan de diverse hoogteverdelingen en tot slot de dichtheidsvariatie vanaf de kust naar open zee. Ook hier worden de waargenomen vogelsoorten gekoppeld aan de gevonden patronen. Alle gegevens worden in tabellen weergegeven.

5.4.2 Opmerkelijke waarnemingen van maand tot maand

In **februari** vond nog weinig trek plaats, wat zich keurig weerspiegelde in de resultaten: slechts op één avond was er zwakke aankomst uit Engeland. Parallel langs de kust werd geen trek waargenomen. Grotere soorten als Kieviten en Rotganzen, naast de lokale Zilvermeeuwen, domineerden het beeld. Bijna twee dagen vielen uit door de eerste storm die op de punt van de pier werd ondervonden. **Maart** was de start van de voorjaarstrek. Onder invloed van een rug van hoge luchtdruk (positieve stimulans voor vogeltrek), werden tijdens de eerste dagen en vooral nachten grote aantallen trekvogels geregistreerd. Goede trek werd waargenomen uit zowel Engeland (breedfronttrek) als parallel aan de kust naar het NNO. Opvallend hoge trek, geconcentreerd in een smalle band van slechts 100-200 meter boven de 1000 meter hoogte werd in meerdere nachten waargenomen. Overdag werd zowel sterke trek boven de duinen van grote fronten Spreeuwen (soms tot 5 km breed), als vele groepen van enkele tientallen exemplaren uit zee waargenomen (op de 17^e ontbrak een groot deel van de dag door technische problemen). Dit alles laag over de duinen en vlak over de golf toppen. Lijsters en Spreeuwen werden het meest waargenomen. Ook vond trek van ganzen (Rotgans) en Kokmeeuwen plaats. *Alle vogeltrekpatronen die van te voren werden verwacht zijn waargenomen.* In **april** waaiden vooral zuidelijke winden, waardoor er regelmatig trek parallel aan de kust was. In de avond en nacht werden de grootste dichtheden vaak op enige honderden meters hoogte, tot bijna 1½ kilometer hoogte waargenomen. Overdag vlogen de vogels meestal onder de 200 meter. Doortrek van Kokmeeuwen en Visdieven (zelfs op enige honderden meters hoogte) wisselden overdag het beeld van de lokale Zilvermeeuwen en Kleine Mantelmeeuwen af. In de nacht werden de eerste experimentele AGC signalen opgenomen, waaruit bleek dat vooral grote watervogels (19 op 20) en grote zangvogels (21 op 22 april) doortrokken. Met de maand **mei** naderen we het eind van het voorjaar. Alle windrichtingen kwamen voor, waardoor ook vrijwel alle trekpatronen (vaak slechts één dag of nacht) zijn waargenomen. De dichtheden waren niet hoog meer. Wel werden de grootste dichtheden regelmatig op grote hoogte (maximaal 2000 - 2100 meter) geconstateerd. De zo kenmerkende doortrek van steltlopers naar het NNO werden zowel in de nacht als overdag waargenomen. Gedurende het gehele etmaal vlogen deze steltlopers vooral boven de 100 meter. In de zomermaanden omvatte de meetperiode slechts 5 dagen. **Junij** begon meteen goed met soms hoge temperaturen. De wind was overwegend rustig. Gerichte vliegbewegingen kwamen nauwelijks voor. In de nacht werden soms grote aantallen Gierzwaluwen tot enige kilometers boven zee vastgesteld. Het radarscherm liep soms ook vol met grote aantallen insecten. Overdag werd aan het

begin en eind van de dag soms enige trek van Kieviten en Spreeuwen opgemerkt. De grootste dichtheden werden veroorzaakt door de lokale bewegingen van met name Zilvermeeuwen en Kleine Mantelmeeuwen. In **Juli** waren de weersomstandigheden iets minder. Een overwegend ZW wind zorgde niet voor veel gunstige weersomstandigheden voor zuidwaartse trek. Het waren ook nu daarom vooral lokale bewegingen van de eerder genoemde meeuwen, alsmede foerageervluchten van Aalscholvers en verplaatsingen van Zwarte Zee-eenden. Op meerdere dagen werd aan het begin en eind van de daglichtperiode wel opmerkelijke noordwaartse trek van Bergeenden vastgesteld. Deze vond vrijwel uitsluitend in de kustzone plaats in hoogte variërend van 25 tot 175 meter. De najaarstrek start in **augustus**. Overwegend tegenwind gedurende de meetweek, met aan het eind van de sessie een via noord naar zuidoost draalende wind. Niet verwonderlijk daardoor dat pas aan het eind van de meetweek trek van betekenis (overdag én 's nachts) plaatsvond. In de nacht betrof dit voor 70% (grote) watervogels, terwijl overdag doortrek van vooral Kleine Mantelmeeuwen, groepen die gebruik maken van thermiek en tussen 100 - 400 meter hoogte naar het zuiden cirkelen, werd waargenomen. Op twee ochtenden werd sterke trek van sterns tussen de golven door waargenomen. Hiervan is weinig terug te vinden in de radarbeelden. In **september** werd wegens werkzaamheden aan de zuidpier, vanaf de punt van de noordpier gemeten. Gedurende de hele meetsessie waren er geen gunstige omstandigheden om langs de kust naar het zuiden te vliegen. Pas op de laatste avond draaide de wind gunstig voor trek over zee, richting Engeland. De avond en nacht van 18 op 19 september was daarom ook de enige periode met trek van betekenis. Kleine watervogels (ca. 40%) en kleine zangvogels (40-50%) van de vliegpaden domineerden de nacht. In het eerste deel van de week werd regelmatig zogenaamde *reversed migration* waargenomen naar het NNO. De meetperiode van **oktober** kenmerkte zich door aanhoudende oosten winden gedurende de periode van 18 tot en met 21 oktober; ideale weersomstandigheden voor de najaarstrek. In de tweede helft van de meetsessie waren de weersomstandigheden niet gunstig meer. Ideale windomstandigheden om de Noordzee over te steken, resulteerden in sterke trek in de nachten en de daarop volgende ochtenden van 18 tot en met 21 oktober. De meeste vogels vlogen in deze nachten tussen de 100 en 400 meter hoogte, boven de 1200 meter was de dichtheid nihil. In de donkere periode had het merendeel van de vliegpaden betrekking op de grote watervogels (1 nacht) of de (grote) zangvogels, voornamelijk lijster spec. (2 nachten). Overdag staken regelmatig Vinken en Spreeuwen de zee in. De tweede helft van de sessie bestond voornamelijk uit noordwaartse bewegingen, zogenaamde *reversed migration*. De vogeltrek loopt in **november** op zijn eind. Slechts één nacht met gerichte vliegbewegingen en aan het eind van de meetsessie de start van een kleine koudegolf. Tussen beide perioden in werden regelmatig kleine groepen alkachtigen (alk of zeekoet) gezien. In de aanloop van de koudegolf werden op grote hoogte (boven 1 km) groepen Pijlstaarten, Rosse Grutto's en diverse soorten ganzen waargenomen. Al met al domineerden echter continue de lokale bewegingen; vooral Zilvermeeuwen. Aan het begin van de winter werd de laatste sessie in IJmuiden gehouden in **december**. Deze periode stond echter geheel in het teken van een grote vorstvlucht die in de avond van de 14^e begon en al weer op de 16^e eindigde. De overige dagen werden uitsluitend lokale meeuwen gevolgd. Op de avond van de 14^e trokken zeer grote aantallen naar het zuiden. De hoogste dichtheden werden tussen de 500 en 700 meter hoogte aangetroffen, vooral grote en kleine watervogels werden waargenomen. De 15^e december was een schoolvoorbeeld van een kortstondige koudevlucht. Overdag werden overal grote groepen ganzen waargenomen, tot zelfs 2400 meter hoogte (zie Figuur 50). Ook grote groepen Pijlstaarten, steltlopers spec. (mogelijk Rosse Grutto's) en Kieviten vlogen over.

Voor verdere details, fenomenen of relaties tussen de waargenomen vlieghoogtes en winden wordt verwezen naar de maandoverzichten zelf. Door deze korte samenvatting van de waargenomen vogeltrek moet het voor de lezer duidelijk zijn om de volgende hoofdstukken te begrijpen.

5.5 Integratie en kwantificering

5.5.1 Maandelijks dichtheden aan trekkende vogels

Met de verticale scan kan de flux, het aantal passerende vogels per uur per kilometerfront, worden berekend. Bij een eenduidige vliesnelheid en vliegrichting kan deze flux worden omgerekend naar een dichtheid. De nauwkeurigheid van deze omrekening is afhankelijk van de spreiding van de vliegrichtingen en snelheden binnen de dagdelen. De vliesnelheid wordt in grote mate bepaald door de windsnelheid. Die zal binnen één dagdeel weinig variëren. Het spectrum aan vliegrichtingen echter kan mede door de aanwezigheid van veel lokale bewegingen extreem variëren. Daarom is steeds met behulp van de Rayleigh-test (Batschelet 1981) per dagdeel getest of de richtingsverdeling wel een eenduidig significante richting bevatte. Tot slot werd de elevatiescan in de onderste 100 meter vaak verstoord door zeeclutter, radarreflecties van golven. Al vanaf windkracht 4 trad zeeclutter op, waardoor de onderste 100 meter niet nauwkeurig genoeg kon worden uitgewerkt. Bovendien bleek uit de vliegpaden dat tot honderd meter hoogte vaak geen eenduidige richting kon worden vastgesteld (veel lokale meeuwen die alle kanten opvliegen). Voor de onderste luchtlag (0 - 100 meter) is het dus niet mogelijk een flux te bepalen uit de elevatiescan. Daarom is ervoor gekozen de vergelijking tussen de dichtheden op verschillende dagdelen in eerste instantie te beperken tot de gerichte bewegingen boven de 100 meter. In Tabel 12 wordt voor elke meetperiode het percentage van de dagdelen gegeven waarop sterke (≥ 2 echo's / km²), matige (< 2 echo's / km²) of geen trek is waargenomen.

Maand	Sterke trek		Matige trek		Geen trek		Totaal	
	% Dag	% Nacht	% Dag	% Nacht	% Dag	% Nacht	# Dagen	# Nachten
Februari	0	0	13	25	87	75	8	8
Maart	17	42	25	33	58	25	12	12
April	0	20	40	40	60	40	10	10
Mei	0	0	33	42	67	58	12	12
Juni	0	17	33	17	67	66	9	8
Juli	0	0	57	0	43	100	7	8
Augustus	0	0	50	50	50	50	14	14
September	0	17	8	42	92	41	12	12
Oktober	0	33	33	67	67	0	12	12
November	0	9	45	40	55	51	11	10
December	0	17	29	50	71	33	7	6
% Totaal	2	14	32	38	66	48	114	112

Tabel 12 Overzicht van het wekelijks percentage dagdelen waarop sterke, matige of geen trek plaats had. Het criterium voor sterke trek, 2D-dichtheid $\geq 2,0$ echo's per km², komt ongeveer overeen met het criterium dat de Koninklijke Luchtmacht gebruikt om restricties af te kondigen voor het laagvliegen. In de kolom 'Totaal' wordt het aantal gemeten dagdelen (twee per dag en twee per nacht) per week weergegeven. *Percentage of day parts with strong, weak and no migration, including total number of day parts per month. The criteria for strong migration at a 2D-density ≥ 2.0 echoes per km² is used by the RNLAf for declaring low flying restrictions. The 'Totaal' column presents the numbers of measured day parts (2 for each day and night).*

Wat opvalt is dat in alle maanden behalve maart sterke trek boven de 100 meter alleen in de nacht voorkwam. Ook matige tot lichte trek kwam over het algemeen vaker 's nachts dan overdag voor. Maart en oktober zijn de vogeltrekmaanden bij uitstek. In de nachten van deze maanden is de meeste sterke trek waargenomen. In deze perioden trekken vooral de middellange afstandstrekkingen massaal, soorten die overwegend in Noordwest-Europa en Groot-Brittannië overwinteren en in Noordoost- tot Oost-Europa broeden.

In april/mei en augustus/september is nauwelijks sterke trek waargenomen, wel vond in 40-50% van de nachten matige trek plaats. Dit zijn de maanden waarin de vogelsoorten trekken die van en naar Afrika en/of Zuid-Europa gaan, meest kleine zangvogels (Alerstam 1990, Cramp Oxford Univ. Press 1998).

In IJmuiden betrof in augustus en september slechts 3-5% van de geïdentificeerde vliegpaden kleine zangvogels. Dit duidt er op dat de trekstroom van kleine zangvogels naar Zuid-Europa en Afrika niet over de Noordzeekust plaatsvindt, maar wél over Zuidoost-Nederland (De Peel), zie 6.1. Gezien de ligging van de Hollandse kust zou je dit ook niet verwachten.

In de zomermaanden juni en juli en de wintermaanden februari en december is in het grootste deel van de nachten in het geheel geen trek waargenomen. Uitzonderingen daarop zijn een avond met ruitrek van bergeenden in juni en een avond met vorsttrek in december.

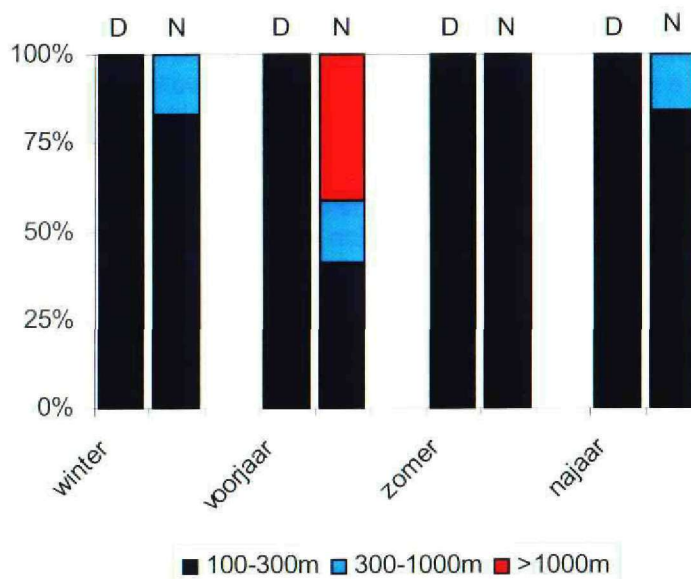
De vogeltrekpatronen overdag zijn veel minder duidelijk. Dat komt met name doordat lokale bewegingen, met een grote spreiding aan richtingen, vaak domineerden en een betrouwbare analyse van de elevatiescans onmogelijk maakten.

5.5.2 Hoogteverdelingen

Bij de bespreking van de resultaten zijn de kwantitatieve hoogteverdelingen per dagdeel aan de orde gekomen. Al deze hoogteverdelingen zijn boven zee gemeten, tenzij de vliegrichting overwegend haaks op de kustlijn stond. In dat geval werd de hoogteverdeling bepaald uit de elevatiescan evenwijdig aan en vlak over de kust. Aangezien het dan breedfronttrek betrof zou de dichtheid boven de kust gelijk moeten zijn aan die boven zee.

Boven de 100 meter zijn drie soorten hoogteverdelingen mogelijk. Ten eerste de min of meer standaard hoogteverdeling, waarbij de hoogste dichtheden in de onderste luchtlaag voorkomen en de dichtheid naar boven toe afneemt. In de tweede plaats de situatie waarbij de onderste luchtlaag (lees de onderste 100-200 meter) min of meer leeg is, en tussen de 200-500 meter de hoogste dichtheden worden waargenomen. Daarboven nemen de aantallen weer geleidelijk af. Tot slot zijn hoogteverdelingen waargenomen, waarbij de hoogste dichtheden op grote hoogte en in een smalle hoogteband worden bereikt, bijvoorbeeld tussen 1000 en 1300 meter. Een voorbeeld van deze laatste verdeling is opgenomen in Figuur 30. De dichtheden in de daaronder gelegen hoogtes kunnen variëren van 0 tot nog steeds enkele echo's per km³. Al in de jaren 60 werd deze laatste hoogteverdeling beschreven bij de oversteek van de zuidelijke Noordzee door Eastwood & Rider (1965) en Eastwood (1967).

In Figuur 21 wordt een overzicht gegeven van het voorkomen van bovengenoemde hoogteverdelingen. Hiervoor is per dagdeel gekeken welke 100 meter-hoogteband de grootste dichtheid bevatte. Overdag was de situatie boven zee simpel. De grootste dichtheden werden altijd in de onderste hoogtebanden vastgesteld. Zelfs bij gunstige winden in de trektijd (voor- en najaar) bevonden de grootste dichtheden zich nooit boven de 300 meter. De nachtelijke situatie was echter compleet anders. In het voorjaar bevond in 41% van de nachtelijke dagdelen de hoogteband met de grootste dichtheid zich boven de 1000 meter, met als uitschieter de avond van 18 mei. Toen werden de grootste dichtheden gevonden tussen de 2000 en 2100 meter. In de overige acht gevallen lag het maximum tussen de 1000 en 1500 meter. Deze variant op de hoogteverdelingen kwam in het najaar niet voor. De intermediaire hoogteverdeling, waarbij de maximale dichtheden in de middelhoge luchtlagen (300 tot 1000 meter) wordt bereikt, kwam in het voor- en najaar ongeveer even vaak voor. Alleen in de winter- en zomernachten, buiten de trektijd, waren de grootste dichtheden onderin te vinden. De vorsttrek van 14/15 december vormt hierop een uitzondering: die vond hoger plaats.



Figuur 21 Aandeel van de dagdelen waarop de grootste dichtheden werden bereikt in de onderste (100-300m), middelste (300-1000m) of hoogste (>1000m) luchtlagen. Onderscheid wordt gemaakt tussen de seizoenen en dag / nacht (D / N). Alleen die dagdelen zijn opgenomen waarop een kwantitatieve hoogteverdeling kon worden samengesteld, volgens paragraaf 5.2.1. *Percentages of day parts with highest densities in the lowest (100-300m), medium (300-1000m) or highest (>1000m) air layers. Grouped by season (winter, spring, summer and autumn) and time of day (day or night).*

De hoogteverdeling is deels te verklaren uit de windvectoren ten opzichte van de basisrichting van de trekvogels (Bruderer *et al.* 1995b). Ook in deze studie hebben we diverse keren vast kunnen stellen dat de veranderende hoogteverdeling overeenkomt met de veranderende windvectoren in de basisrichting (langs de kustlijn óf juist haaks op de kustlijn). Oftewel een toenemende windvector in de basisrichting is gerelateerd aan grotere dichtheden. De verklaring waarom in sommige avonden of nachten een smalle hoogteband wordt geselecteerd kon ook door Eastwood & Rider (1965) niet worden achterhaald. Zij beschikten niet over nauwkeurige meteorologische gegevens. Hoewel wij wel over nauwkeurige meteorologische modeldata beschikken, kon uit de wind alleen deze hoogteverdeling niet worden verklaard. Een verdere uitwerking hiervan voert binnen dit rapport echter te ver.

5.5.3 Dichtheidsafname vanaf de kust, boven de 100 meter

Bij de bespreking van de maandelijkse resultaten zijn van alle individuele dagdelen met een éénduidige significante richting de 2D-dichtheden boven de 100 meter weergegeven in stappen van 1,5 kilometer vanaf de kustlijn. Het dichtheidsverloop ten opzichte van de kust hangt af van de voorkomende fenomenen.

Bij gestuwde trek van zeevogels is te verwachten dat de maximale dichtheid plaatsvindt boven zee, op enige afstand tot de kust. Naarmate de stuwing toeneemt (bij een toenemende westelijke windvector) is te verwachten dat de piek dicht bij de kust komt te liggen.

Bij gestuwde trek van landvogels zal de dichtheid maximaal zijn boven de duinen, en naarmate de oostelijke windvector toeneemt zal de piek dicht bij de kustlijn komen te liggen (o.a. Tinbergen 1941 en Mostert & Laponder 1988) of zullen vogels de Noordzee insteken (Deelder & Tinbergen 1947, Deelder 1949). Bij geleide trek van echte kustvogels is te verwachten dat de dichtheid juist boven de kust het hoogst is (Camphuysen en Van Dijk 1983). Tot slot zal ook breedfronttrek haaks op de kust voorkomen. Dan zal de dichtheid geen relatie hebben met de afstand tot de kust.

De verschillende dichtheden over een hele week, uitgezet tegen de afstand vanuit de kust, zijn weergegeven in Figuur 22. De afstand tot de kust is onderverdeeld in 4 klassen, $2\frac{1}{2}$ - 4, 4 - $5\frac{1}{2}$, $5\frac{1}{2}$ - 7 en 7 - $8\frac{1}{2}$ km uit de kust. Een probleem daarbij is dat de afstandklasse " $2\frac{1}{2}$ - 4 km uit de kust" slechts vanaf de strandlocatie kon worden bemonsterd. Alleen bij slechte weersomstandigheden werd deze locatie gebruikt. Daarom is deze afstandsklasse bij de vergelijking tussen de maanden buiten beschouwing gelaten. Voor extrapolatie van de gegevens buiten het gemeten gebied is een logaritmische afname verondersteld.

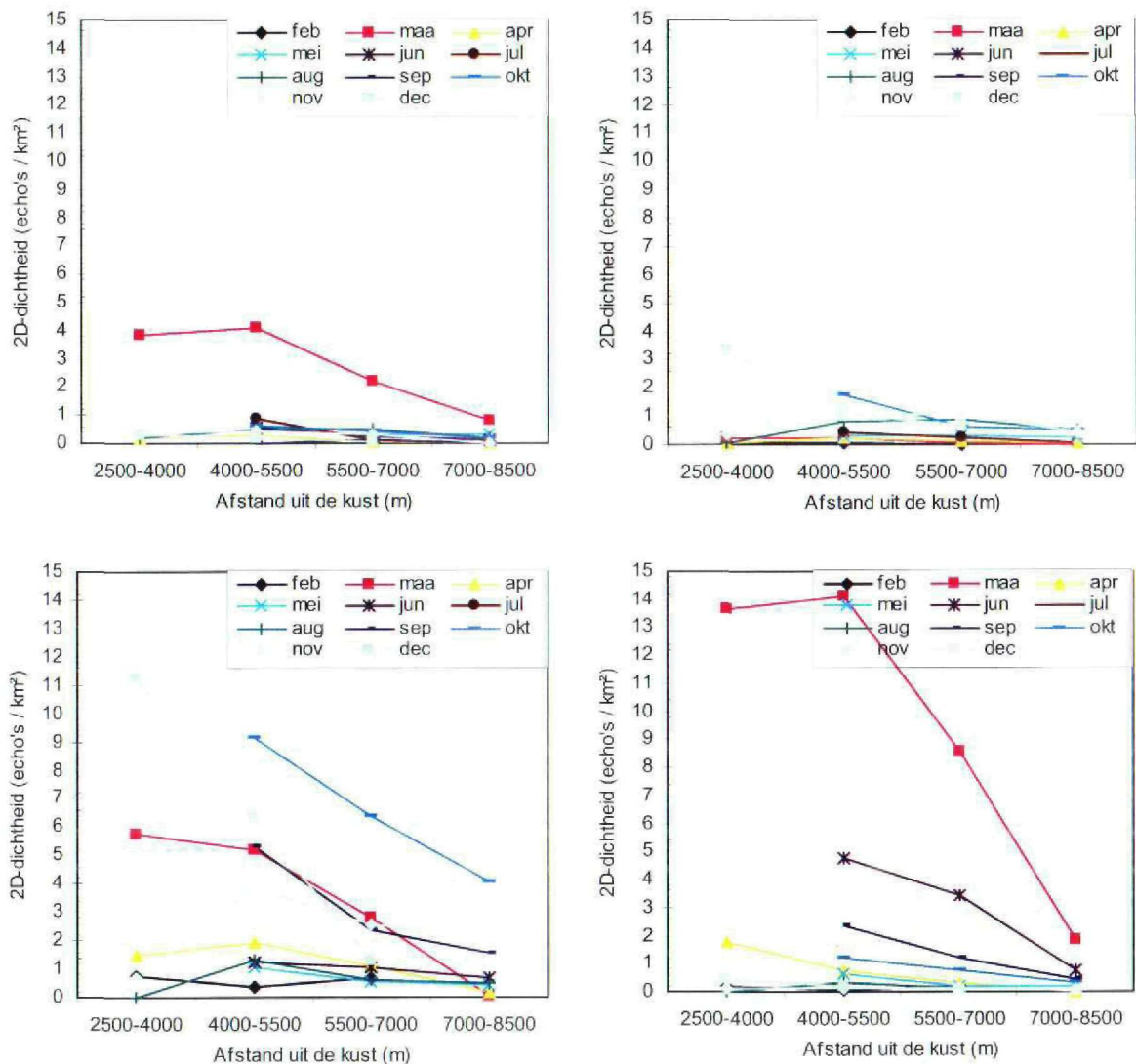
Met uitzondering van maart waren de gemiddelde dichtheden boven de 100 meter 's ochtends kleiner dan 1. In maart was de dichtheid voor de kust duidelijk het hoogst (ca. 4 echo's per km^2) op $2\frac{1}{2}$ - 4 km én 4 - $5\frac{1}{2}$ km, terwijl in augustus de dichtheid het hoogst was op $5\frac{1}{2}$ - 7 km voor de kust. Voor de overige maanden is het precieze dichtheidsverloop moeilijk vast te stellen. Wel is het duidelijk dat vanaf afstandsklasse 2 (4 - $5\frac{1}{2}$ km) richting zee de dichtheid altijd afnam. Om het eind van de gradiënt aan te kunnen duiden is, uitgaande van een logaritmische afname, berekend op welke afstand uit de kust de 2D-dichtheid 1 echo per km^2 zou zijn: dit is de maat die de Koninklijke Luchtmacht aanhoudt voor het uitvaardigen van vogeltrekwaarschuwingen. Bij deze afname vanaf afstandsklasse 2 zou de dichtheid 's ochtends minder dan 1 echo per km^2 bedragen op 9,2 km vanaf de kust.

In augustus en november werden 's middags de grootste gemiddelde dichtheden tussen de $5\frac{1}{2}$ - 7 km vastgesteld. In december tussen $2\frac{1}{2}$ - 4 km en in de overige maanden waren de gemiddelde dichtheden 's middags het hoogst op 4 - $5\frac{1}{2}$ km voor de kust. Het verschil tussen de maanden was 's middags groter dan 's ochtends.

In de avond en de nacht was niet alleen de hoogte, maar ook de vorm van de functie tussen de maanden het grootst. 's Avonds springen de hoge dichtheden in maart, oktober en december het meest in het oog. In deze maanden is de dichtheid tussen $2\frac{1}{2}$ - 4 km ook het grootst. In de overige maanden is de dichtheid in afstandsklasse 2 (4 - $5\frac{1}{2}$ km) het grootst. We kunnen daarom ook nu voor alle maanden stellen dat boven 100 meter hoogte vanaf 4 - $5\frac{1}{2}$ km de dichtheden richting open zee sterk afnamen. Op 10,6 km afstand werd de gemiddelde 2D-dichtheid boven zee kleiner dan 1 echo per km^2 .

's Nachts bevond de piekdichtheid zich in maart duidelijk in afstandsklasse 2 en in april duidelijk in afstandsklasse 1. Van de overige maanden was de piek niet te lokaliseren. Wel is ook duidelijk dat 's nachts de dichtheid richting zee altijd afnam vanaf 4 - $5\frac{1}{2}$ km uit de kust.

Bij deze getallen dient wel rekening te worden gehouden met het feit dat individuele dagen sterk kunnen afwijken, eerder genoemde getallen zijn een afspiegeling van een week meten op IJmuiden. Daarnaast vonden in maart (nacht) en oktober (avond en nacht) frequent vogelbewegingen haaks op de kustlijn plaats. Deze breedfronttrek veroorzaakt natuurlijk geen gradiënt en verstoort het beeld enigszins.



Figuur 22 2D-Dichtheid per maand, in relatie tot de afstand uit de kust, voor de ochtend (linksboven), middag (rechtsboven), avond (links onder) en nacht (rechts onder). 2D-densities per month related to the distance of the coast for morning (upper left), afternoon (upper right), evening (lower left) and night (lower right).

5.5.4 Soortspecifieke patronen in relatie tot de afstand uit de kust

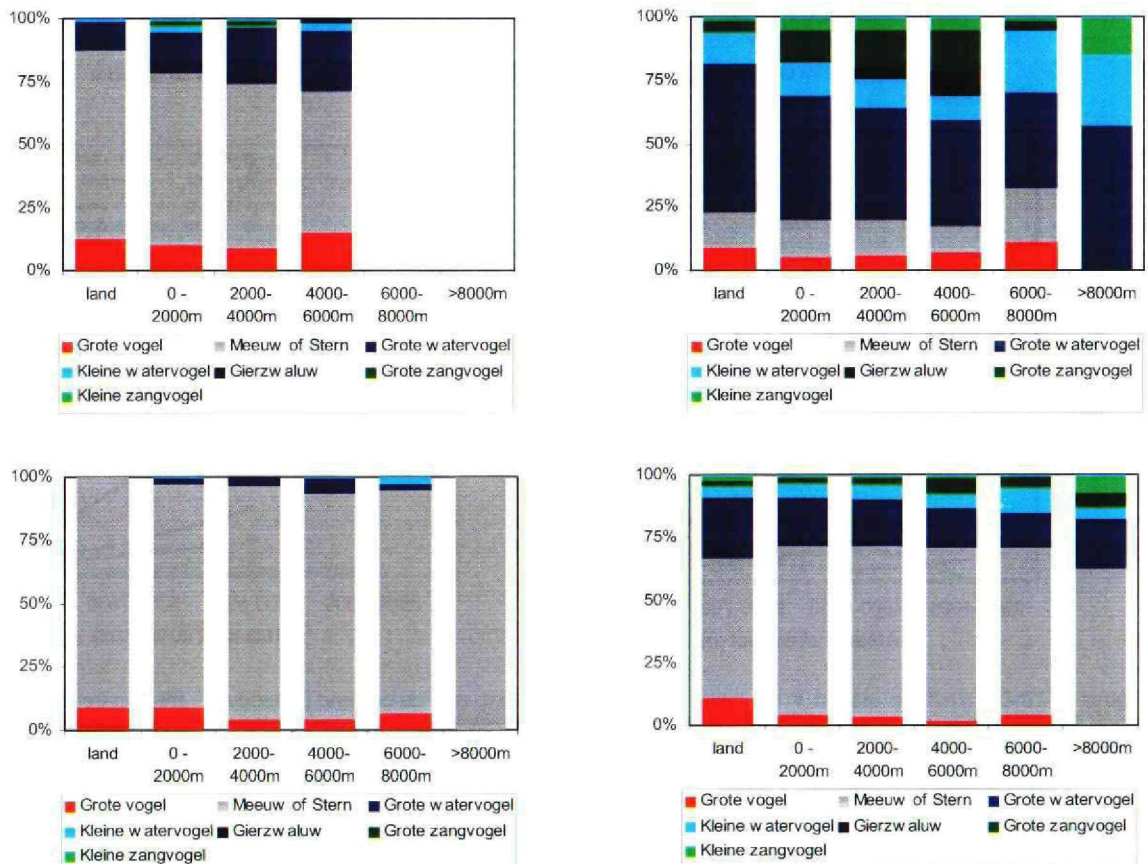
Uit het vorige hoofdstuk blijkt een duidelijk verband tussen de afstand tot de kust en de aantallen vliegende vogels. Hoewel met radar geen afzonderlijke vogelsoorten zijn te onderscheiden, is met het AGC-signaal wel een indeling in soortgroepen te maken. Bovendien is aan het AGC-signaal vaak te zien of vogels al dan niet in groepen vliegen. Bij de hierna komende analyse zijn ook de visuele identificaties teruggebracht tot de AGC-soortgroepen.

In Figuur 23 is de soortenverdeling per afstandsklasse samengevat. Op alle afstanden uit de kust speelden de meeuwen een grote rol. Kijken we in eerste instantie naar de overige soortgroepen dan valt op dat soortdifferentiatie in relatie tot de afstand uit de kust nauwelijks optrad. Alleen overdag

toonden de echte landvogels (grote en kleine zangvogels), een sterke neiging om in de buurt van de kust te blijven. Dit zou verklaard worden uit de gestuwde trek van grote aantallen zangvogels die in het voor-, maar vooral najaar over de duinen trekken. De meeste zangvogels schrikken ervoor terug om over open zee te vliegen en laten zich leiden door de kustlijn (o.a. Deelder 1949). In de nachten lijkt boven de 100 meter hoogte een duidelijker afnemende dichtheidsgradiënt aanwezig dan onder de 100 meter. Onder de 100 meter nam het aandeel zangvogels juist toe met de afstand tot de kust. Dit wordt waarschijnlijk veroorzaakt door het voorkomen van geleide trek, juist in de onderste luchtlagen, van niet-zangvogels. Daardoor is wel het aandeel maar niet het aantal zangvogels dicht bij de kust lager.

De soortgroepen grote en kleine watervogels omvatten een mix van eenden en steltlopers (van de laatste vooral de kustgebonden soorten). In de nacht nam, zowel boven als onder de 100 meter, het aandeel grote watervogels af met de afstand tot de kust. Het aandeel kleine watervogels nam verder op zee juist toe. De afname van het aandeel grote watervogels met de afstand tot de kust wordt waarschijnlijk verklaard door de soortensamenstelling van de soortgroep: het grootste deel van de grote watervogels zijn grote steltlopers, die over het algemeen sterk kustgebonden zijn. De toename van het aandeel kleine watervogels is moeilijk te verklaren.

Tot slot de in aantal belangrijkste groep: de meeuwen. Onder de 100 meter was deze soortgroep altijd dominant (dag én nacht), maar ook boven de 100 meter zijn overdag de meeuwen dominant. In de nacht was de soortgroep meeuwen boven de 100 meter niet noemenswaardig aanwezig. Alleen overdag boven de 100 meter neemt het aandeel meeuwen af met een toenemende afstand tot de kust. In de overige grafieken was een duidelijk effect van de afstand tot de kust niet merkbaar.



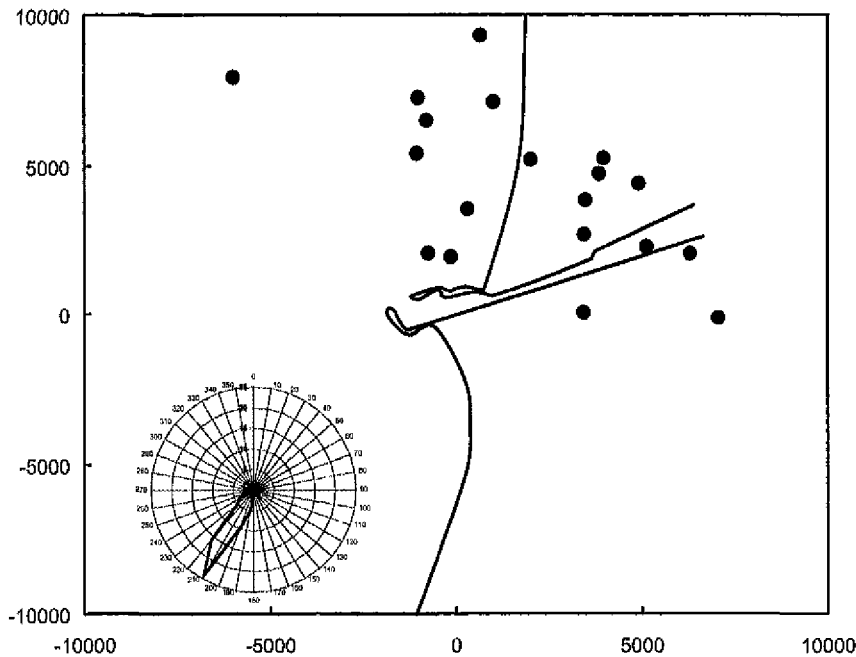
Figuur 23 Soortenverdeling naar afstand uit de kust, overdag (links) en 's nachts (rechts), boven de 100 meter (boven) en onder de 100 meter (onder). *Species composition in relation to distance to coast, day (left) and night (right), above 100 m (upper) and below 100 m (lower).*

Enkele opvallende trekverschijnselen met betrekking tot de afstand uit de kust zijn nader uitgewerkt.. In de zomermaanden vlogen groepen Bergeenden vrijwel zonder uitzondering over de zeereep naar het noorden (71% over de kustlijn). De vorsttrek van ganzen op 15 december was eveneens sterk

kustgebonden, maar juist aan de landkant (Figuur 24). De dominante vliegrichting was ZZW (210°), waarmee de meeste ganzen parallel aan de kustlijn bleven vliegen. Noch de ruitrek van bergeenden, noch de vorsttrek van ganzen zijn waargenomen in de elevatiescan, doordat ze zo dicht onder de kust of zelfs uitsluitend boven land vlogen. Alle gegevens hierover komen uit de vliegpaden. Verder werd ook de sterk kustgebonden Rotgans vooral boven de zeereep waargenomen. De trek van steltlopers (meestal soorten uit het zoute milieu, o.a. Rosse Grutto, Zilverplevier en Bontbek), vond in het voorjaar verder op zee plaats dan in het najaar, in beide gevallen bleven de soorten sterk aan de kust gebonden. De echte zeevogels, waaronder veel Zwarte Zee-eenden en sterns, worden wat verder uit de kust waargenomen (Tabel 13). Echter doordat vogels binnen 2 à 3 kilometer van de radar af mogen vliegen om nog te worden gedetermineerd, is het aandeel buiten de 6 km ook van de zeevogels niet hoog.

	0 - 2 km	2 - 4 km	4 - 6 km	> 6 km	Totaal
Rotgans	57%	29%	10%	0%	45
Gans (vorst, 15-12-1999)	8%	12%	4%	4%	58
Bergeend (zomer)	71%	18%	5%	1%	78
Steltlopers (april – mei)	42%	23%	29%	6%	73
Steltlopers (juli – september)	43%	37%	13%	5%	94
Echte zeevogels	24%	47%	28%	1%	135

Tabel 13 Aandeel van de overdag waargenomen groepen naar afstand uit de kust. De boven het strand en duinen waargenomen vogels staan vermeld onder 'land'. *Proportion of flocks for different categories in relation to distance to coast. Respectively Brent Goose, Geese spp. during cold rush of 15 December 1999, Common Shelduck (summer), Waders (spring), Waders (autumn) and seabirds. Bird observed over the dunes are presented in the 'land' column.*



Figuur 24 Startposities van alle vliegpaden met ganzen. Inzet: bijbehorende richtingsverdeling, n = 58, 15 december 1999. *Start positions of all flight paths concerning geese. Inset: distribution of corresponding flight directions, n = 58, 15 December 1999.*

5.5.5 De radargegevens vergeleken met de literatuur

Over het voorkomen van verschillende vogelsoorten op zee zijn een tweetal atlanten verschenen (Baptist & Wolf 1993 en Camphuysen & Leopold 1994). De data uit Camphuysen & Leopold (1994) zijn bewerkt tot zogenaamde 2D kaarten door Camphuysen (1998). Overdag betref het merendeel van de door ons waargenomen vogels meeuwen die onder de 100 meter vlogen. Ook de gegevens van meeuwen uit eerder genoemde atlanten zijn meest gebaseerd op vliegende vogels in de onderste luchtlagen, dus onze daggegevens zijn goed vergelijkbaar met de zeevogelatlanten.



Foto 4 Grote aantallen meeuwen, vooral Zilvermeeuw en Kleine Mantelmeeuw, worden op zee achter vissersboten waargenomen. *Behind trawlers large numbers of gulls were seen, mainly Herring Gull and Lesser Black-backed Gull.*

In de studie van Camphuysen & Leopold (1994) blijkt dat Zilvermeeuwen vanaf maart tot en met september meestal binnen een afstand van 5 km uit de kust te worden waargenomen. In de herfst en winter (oktober tot en met maart) komen Zilvermeeuwen in een groter gebied op de Noordzee voor, vooral achter vissersboten. De dichtheden variëren van 1 vogel per km² in de zomer en nazomer, tot meer dan 4 vogels per km² in de winterperiode. In het vroege voorjaar namen de aantallen dicht bij de kust alweer af tot maximaal 1 vogel per km². Kleine Mantelmeeuwen zijn veel minder aan de kust gebonden en komen tot grote afstanden op zee voor. In de winter zijn ze nauwelijks aanwezig, maar in het voorjaar lopen ze op tot 3 - 4 vogels per km², vooral vlak voor de kust. De Stormmeeuw ontbreekt juist in de zomer en nazomer. Pas vanaf oktober nemen de aantallen toe, maar fluctueren sterk. Deze fluctuaties ontstaan doordat Stormmeeuwen meestal in een smalle band uit de kust foerageren. Hierdoor ontstaan blijkbaar grotere verschillen dan bij de Zilver- en Kleine Mantelmeeuw. In de winter zijn grote aantallen Stormmeeuwen in de kustzone te zien. Die verspreiden zich tot enige tientallen kilometers uit de kust. De dichtheden variëren van 0 in de zomer tot 2 - 4 vogels per km² in de wintermaanden. Alle meeuwen tezamen resulteren binnen de eerste tien kilometer vanaf de kust in dichtheden van 1 tot 2 meeuwen per km² in de zomer en najaar. In de winter neemt de dichtheid in dit gebied toe tot 8 meeuwen per km².

Aangezien de driedimensionale dichtheden in Figuur 19 en Tabel 11 zijn waargenomen in de onderste 100 meter, dus in één tiende van een kilometer, moeten de getallen worden gedeeld door 10 om een vergelijkbare dichtheid te verkrijgen als in bovenstaande studie. De weekgemiddelden komen allemaal overeen met de laagste dichtheidsklasse (0,1 - 0,9 vogels per km²) uit Camphuysen & Leopold (1994). Daggemiddelden kunnen oplopen tot 2 vogels per km². In sommige uren kwamen de dichtheden regelmatig boven de 5 vogels per km² uit. In de onderhavige studie zijn de dichtheden vooral in de zomer- en najaarsmaanden het hoogst. Daggemiddelden bedroegen 1,5 tot 2 echo's per km² in juni tot en met oktober, geheel in overeenstemming met Camphuysen en Leopold (1994). De dichtheden in de wintermaanden (november en december) komen minder goed overeen. In deze radarstudie is de toename tot circa 8 echo's per km² niet waargenomen. Mogelijk spelen weersfactoren hierbij een rol. Door de harde wind in beide meetweken konden vogels moeilijk worden waargenomen op de *timelapse* videobeelden: vaak was het beeld in de eerste 4 tot 5 km verstoord door zeeclutter. De waarnemingen van Poot et al. (2000a) bevestigen dat de aantallen waarschijnlijk zijn onderschat. In november werden bijna twee keer zoveel vogels waargenomen als in oktober. Tijdens de radarstudie waren de dichtheden in de wintermaanden juist 1½ tot 2½ maal zo laag als in de zomer- en najaarsmaanden.

6 DE OPZET EN GELDIGHEID VAN HET ONDERZOEK

6.1 Methodologisch

Tijdens de voorbereidingen van deze studie werd al snel duidelijk dat een aantal praktische zaken bepalend waren voor het meetprogramma. De druk van het kabinet om binnen een jaar een aantal uitspraken boven tafel te krijgen over de vogelbewegingen langs de Nederlandse kust, leidde tot een zeer korte voorbereidingstijd voor het ombouwen van de Flycatcher-radar tot een effectief meetinstrument. Hierdoor zijn sommige technische middelen (AGC signaal) pas lopende het onderzoek ontwikkeld.

Om de gradiënt van vogelbewegingen vanaf de kust te beschrijven, moesten de metingen vanuit de kustzone worden uitgevoerd. Langs de Nederlandse kust zijn slechts bij IJmuiden, Scheveningen en op de Maasvlakte locaties beschikbaar waarbij de kustlijn zichtbaar is en toch ver de zee opgekeken kan worden. Mede aangegeven door de wensen van de opdrachtgever viel de keus al snel op de locatie IJmuiden. Hier kon tot windkracht 6 op de punt van de zuidpier een prima meetopstelling worden neergezet. Bij hardere wind moest, uit veiligheidsoverwegingen, de meetopstelling worden verplaatst naar het begin van de pier, ter hoogte van de duinenrij. Bij harde aanlandige wind konden de vogelbewegingen daardoor tot 2 km minder ver over zee worden waargenomen.

Om vogels laag over zee te kunnen waarnemen, was de radarbundel laag over zee gericht. Helaas veroorzaken golven zeer veel radarreflecties, waardoor bij toenemende windkracht toenemende verstoring van het radarbeeld optrad. Daarnaast verstoorde de staalindustrie (Corus) het radarbeeld in het noordoosten. Bovendien verstoorde een appartementencomplex aan het begin van de pier het beeld boven de duinen in het zuidoosten waardoor de vogeltrek onder de 100 meter door en over de duinen niet kon worden waargenomen. Dit is juist het gebied waar bij de najaarstrek geleiding of stuwing van landvogels plaatsvindt. Grote aantallen zangvogels trekken dan laag over de duinen naar het zuiden (Tinbergen 1941, Bloem & Bloem-Margadant 1985 en Geelhoed et al. 1998). Over het algemeen konden daardoor onder de honderd meter geen reacties van vogels op de kustlijn worden onderzocht.

Al met al zijn in deze studie steeds één week per maand, 24 uur per etmaal de vogelbewegingen kwantitatief tot 7 of 8½ kilometer vanaf de kustlijn (afhankelijk van de locatie) zeewaarts en tot 3,5 kilometer hoogte vastgelegd.

Deze studie is gebaseerd op radarwaarnemingen. Het *Flycatcher* radarsysteem dat in dit onderzoek is gebruikt biedt op dit moment de beste mogelijkheden voor gedetailleerd vogelonderzoek (Buurma & Bruderer 1990). Al in 1985 werd een Flycatcher aangepast om vogels te kunnen waarnemen en volgen. Speciaal voor deze studie zijn deze aanpassingen wederom uitgevoerd en werd het door FEL/TNO ontwikkelde en al enige jaren door de Koninklijke Luchtmacht gebruikte analysesysteem ROBIN (een video extractor, Buurma 1989, 1994) geschikt gemaakt voor de Flycatcher. Pas vlak voor de eerste meetweek kwamen beide systemen beschikbaar, waardoor calibratie van de Flycatcher en optimalisatie van ROBIN pas na het onderzoek konden plaatsvinden. Hoewel aan het begin van de studie bekend was dat de Flycatcher uitstekend vogels kon waarnemen, was het onduidelijk of ook kleine vogelsoorten konden worden waargenomen en door de doelvolgradar worden opgepikt. Lopende het onderzoek werd het wel duidelijk dat zelfs insecten uitstekend konden worden waargenomen op het rondzoekbeeld. Dankzij de afregeling van de doelvolgantenne bleek het niet mogelijk deze kleine echo's te volgen. Of hierdoor ook de kleinere vogelsoorten niet konden worden gevolgd was toen nog onduidelijk. In de zomermaanden registreerden we echter redelijk veel Glerzwaluwen (een relatief kleine vogelsoort), en na de uitwerkingen van de AGC patronen kwamen in de totaallijst vleugelslagfrequenties van alle soortgroepen (ook de kleinste zangvogels) voor.

Bovendien zijn in maart en augustus tot en met oktober 2000 calibratie-experimenten uitgevoerd bij de Groep Geleide Wapens op De Peel (Oost-Brabant). Op deze locatie werden grote aantallen kleine zangvogels verwacht. Inderdaad bleek 32% van de 153 gedetermineerde vliegpaden in september 2000 kleine zangvogels te betreffen.

De hierboven genoemde experimenten hadden primair tot doel de theoretische bundelvorm van de doelvolgantenne te testen. De vorm van de bundel kan worden berekend met behulp van de zogenaamde -3dB hoeken en de maximale afstand waarop een bepaald object kan worden waargenomen. Uit deze berekeningen (zie appendix B) volgt dat voor middelgrote vogels de

werkelijke uitreehoek op 3 kilometer ongeveer 2 keer zo groot is als de -3 dB hoeken. Dit werd bevestigd door onze calibratieproeven en komt bovendien overeen met empirische bevindingen van Liechti *et al.* (1995). Zij onderzochten met behulp van verschillende technieken de bundelvorm van de Zwitserse trackingradar. Uit een vergelijking tussen een infrarood systeem en een radar bleek dat op een afstand van 3 kilometer de gedefinieerde uitreehoek van 2,2° moest worden verdubbeld tot een effectieve uitreehoek van 4-5°. Met de afstand tot de radar neemt de detectiekans af. Die afname is beschreven met een empirisch bepaalde formule (formule 3), vergelijkbaar met die van Bruderer *et al.* (1995).



Foto 5 Flycatcher radar op de locatie GGW De Peel, maart 2000, *Flycatcher radar situated on GGW De Peel.*

6.2 Biologisch

6.2.1 Kustgebonden vogels en echte zeevogels

De Hollandse kust is een kruispunt van meerdere stromen trekvogels. Naast de geleiding van zeevogels en landvogels die parallel aan de kust in noordelijke dan wel zuidelijke richting vliegen vinden ook trekbewegingen plaats van landvogels naar en uit Engeland. De zeevogels zijn vanaf de kust goed waar te nemen, veel soorten laten zich zelfs uitsluitend in de kustzone zien. De echte zeevogels als Noordse Stormvogels, pijlstormvogels, jagers en Drieteenmeeuwen worden alleen bij harde aanlandige wind in grotere aantallen waargenomen (Camphuysen & Van Dijk 1983, Platteeuw *et al.* 1994). De trek tijdens de meetweken is vergeleken met de trek in de rest van de desbetreffende periode aan de hand van de zeetrekellingen van Bloemendaal aan Zee (Geelhoed 2000). Hoewel de telintensiteit niet altijd even groot was, vallen enkele zaken wel op.

De doortrek van eenden in het voorjaar (gedomineerd door Zwarte Zee-eend) is niet tot uiting gekomen in de radarwaarnemingen. Dit komt waarschijnlijk doordat eenden meestal laag boven zee tussen de golven door vlogen. De aantallen ganzen (meest Rotgans), Aalscholvers, steltlopers en meeuwen die gedurende het voorjaar met de radar zijn waargenomen komen meer overeen met de tellingen. De sterke doortrekgolf van steltlopers (met name Zilverplevier, Rosse Grutto en Kanoet) vond plaats tussen 30 april en 5 mei, dus buiten onze meetweken. Dankzij de aanhoudende NO- en O-wind zijn bij de radarwaarnemingen toch nog redelijke aantallen steltlopers waargenomen. (zie het maandoverzicht van mei, 8.1.5). Ook de doortrekgolven van sterns (Visdieven) en meeuwen (Kokmeeuw) komen in de radarwaarnemingen naar voren.

Veldwaarnemingen uit de zomer ontbreken. De grote aantallen Bergeenden, vooral in juli, maar ook van Aalscholver, Zwarte Zee-eend en Kievit komen overeen met het algehele beeld aan de kust uit de zomermaanden (Camphuysen & Van Dijk 1983, Platteeuw *et al.* 1994).

Hoewel de doortrekgolf van sterns visueel wel is waargenomen tijdens de augustus sessie, komen ze in de radarwaarnemingen nauwelijks terug. Ook dit was waarschijnlijk te wijten aan het feit dat de meeste sterns tussen de golven door vlogen. Gedurende de rest van het najaar kwam het soortenspectrum van de radarwaarnemingen overeen met dat van de zeetrekellingen.

In november en december werden de koudegolven met de radar wel vastgesteld maar door veldwaarnemers nauwelijks. Zelfs pal boven de radar vliegende groepen eenden en steltlopers werden door waarnemers naast de radar niet opgepikt. Een flink deel van deze groepen vloog tussen de 1000-1500 meter hoogte onopgemerkt naar het zuiden. Dat is kennelijk, zelfs met een zekere voorkennis, te hoog voor visuele waarneming.

6.2.2 Landvogels

De trek van zangvogels vindt vooral boven de duinen plaats. Langs de Hollandse kust is er een groot verschil tussen het voor- en najaar. Wanneer de vogels in het najaar op hun WZW koers de Noordzee tegenkomen, een grote ecologische barrière, laten ze zich vooral bij ZO wind massaal geleiden langs de kustlijn (o.a. Mostert & Laponder 1988). Bij rugwind, als de wind meer uit O tot NO komt, steken zij ook de Noordzee over (Deelder 1949, Klomp 1956 en Gruys-Casimir 1965). In het voorjaar is het achterland van de Hollandse duinen meestal leeg. De vogels die uit het zuiden naar het N tot NO gaan laten de kust meestal links liggen. Uitsluitend vanuit het overwinteringsgebied Engeland mag breedfronttrek worden verwacht, maar dat zal door veldwaarnemers alleen worden waargenomen als de trek niet al te hoog plaatsvindt. Een vergelijking tussen landtrektellingen tijdens en buiten de meetweken gaat daarom tijdens het voorjaar niet op. De telpost Parnassia van de Vogelwerkgroep Zuid-Kennemerland registreerde de ochtendtrek van half juli tot eind november (Geelhoed 2000). Vooral de trek van lijsters, Spreeuwen en vinken in september en oktober is goed gedocumenteerd. In augustus en september zijn slechts lage aantallen geteld. Pas in oktober en november werden duizenden vogels per uur waargenomen, ook tijdens de meetweken. De lijsters, met name Koperwieken, passeerden in een grote golf vlak vóór aanvang van de oktober meetweek. De hoofdmoot van de Spreeuwentrek vond plaats in de laatste decade van oktober. Toch waren de aantallen die tijdens de meetweek werden waargenomen representatief voor geheel oktober. Een zelfde beeld zien we bij de vinkachtigen. Daarvoor viel de beste dag van het najaarsseizoen in de meetweek (ca. 7000 ex op de 23^e). Koperwieken en vooral Kramsvogels waren tijdens de november meetweek in flinke aantallen aanwezig. Vinkachtigen zijn in september en november niet in noemenswaardige aantallen waargenomen.

Alleen bij stuwing in het najaar worden op de telposten in de duinen grote aantallen vogels waargenomen. De met de radar vastgestelde breedfronttrek wordt op de telposten in de duinen nauwelijks geregistreerd

7 CONCLUSIES EN AANBEVELINGEN

7.1 Conclusie

Het doel van het onderzoek was om een eventuele gradiënt aan vogeldichtheden ten gevolge van vogeltrek te beschrijven. Tijdens de metingen zijn drie fenomenen waargenomen:

- bewegingen van lokale aard;
- breedfronttrek haaks op de kust en
- geleide trek parallel aan de kust.

In alle maanden, zowel overdag als 's nachts, kwamen lokale bewegingen het meest voor. In ons meetgebied waren de aantallen lokale vliegende vogels sterk gerelateerd aan de aanwezigheid van visserijactiviteit. Een eventuele gradiënt ten opzichte van de kust kon dardoor niet worden vastgesteld. Grootschalige breedfronttrek is met name in oktober en maart vaak waargenomen. Als gevolg van de vliegrichting resulteert ook dit fenomeen niet in een gradiënt. Gedurende het hele jaar is regelmatig geleide trek waargenomen. Deze was sterk aan de kust gebonden. Daarbij zijn zangvogels nauwelijks boven zee waargenomen, en ook de aantallen steltlopers namen binnen zeven kilometer sterk af. De aantallen echte zeevogels en kleine watervogels leken daarentegen eerder toe te nemen met de afstand tot de kust.

7.2 Perspectieven voor vervolgonderzoek

Het onderzoek heeft niet alleen harde gegevens over de vogeldichtheidsgradiënt dwars op de kust opgeleverd, maar heeft ook geresulteerd in de registratie van diverse biologische verschijnselen, die om nadere bestudering vragen. Een beter begrip van de lokale en trekvluchten zal leiden tot grotere voorspelbaarheid van vogelgedrag bij een voorlopig hypothetisch eiland voor de kust. Hierbij moet nadrukkelijk worden gesteld dat de radartechnisch ongunstige locatie IJmuiden niet heilig is.

Inmiddels is vastgesteld dat veel verschijnselen zich ook uitstekend laten bestuderen vanaf het eiland Vlieland, waar vanuit de Kroonspolder een radar beeld verkregen kan worden dat vrijwel grond- en zeeclutter vrij is. Bovendien is optimale aansluiting bij het grootschalige vogelbeeld (bereik 150 kilometer) van de airdefence radar van de Koninklijke Luchtmacht mogelijk. Het is hier niet de plaats om uitgebreid te discussiëren over vervolgonderzoek in relatie tot de vliegeiland discussie. Wel is het zinvol enkele bevindingen aan te stippen die biologische relevantie hebben.

Dominantie meeuwen. Over het hele jaar gemeten had overdag 90% van de echo's betrekking op meeuwen (*Larus spec.*). 's Nachts nam dat af tot gemiddeld 40 à 50%. Alleen in echte treknachten kon het meeuwaandeel tot minder dan 10% afnemen. Verdere studie aan het vlieggedrag van meeuwen zal voor de vliegeiland zeer relevante informatie opleveren. Een combinatie van radar en veldwaarnemingen (warmtebeeld camera!) is dringend gewenst.



Foto 6 Meeuwen rondom de Flycatcher, rustend of wachtend op vissersschepen. *Gulls near the Flycatcher, resting or waiting for trawlers.*

Het relatief geringe aandeel zangvogeltrek. Net als al werd vermoed door radarwaarnemingen bij Hoek van Holland (Buurma & Van Gasteren 1989) is de massale gestuwde zangvogeltrek over de zee een verschijnsel dat alleen overdag in de onderste luchtlaag optreedt. Ondanks de soms zeer grote aantallen is er buiten de zeezone geen sprake van grote dichtheden. De betekenis van gestuwde trek in relatie tot breedfronttrek, zowel over land als over zee, dient grondig te worden herzien.

Breedfronttrek. In hogere luchtlagen werd vooral 's nachts zeer regelmatig breedfronttrek waargenomen. De waarnemingen passen uitstekend in de oude radarornithologische literatuur. Opmerkelijk is de grote schaal waarop de vogels blijken te navigeren. Koerswijzigingen boven de zee/land en land/zee overgang verliepen zo geleidelijk dat ze binnen de gekozen registratie opzet nauwelijks konden worden waargenomen. Dit kan overigens mede een gevolg zijn van de radarblindheid bij de Hoogovens en de slechte detectie op lage hoogte boven land. De Hoek van Holland radarstudie gaf hierin meer inzicht, maar bij de studie werd niet beschikt over 3D-tracks noch over soortsidentificatie. Wederom lijkt een Flycatcherstudie op de Vlieland locatie in combinatie met de grote radar het meeste perspectief te bieden. Kennis over de heroriëntatie van trekvogels uit zee boven de kustzone is van eminent belang om het verschijnsel *Fall* beter te begrijpen.

Geleide trek. Tot op grote hoogte kan er sprake zijn van vogeltrek parallel aan de kustlijn, waarbij de vogels op vrij grote schaal redelijk rechtlijnig navigeren, maar wel in een duidelijke baan. Kennelijk houden de vogels de Hollandse-kust min of meer vast. Of dit ecologische of navigatietechnische redenen heeft is onduidelijk. Het verschijnsel is nog nauwelijks begrepen en beschreven. Omdat het ook om grote vogels zoals ganzen gaat, is het relevant voor de luchtvaart, o.a. aanvliegroute Schiphol.

Visserij aspecten. Op allerlei manieren is duidelijk geworden dat vissersboten een enorme invloed op meeuwen en soms ook andere soorten hebben, en dus op behoorlijk grote schaal de verplaatsingspatronen bepalen. Het verschijnsel is een separate veldstudie waard, waarbij opnieuw de videobanden van de rondzoekradar bekeken zouden kunnen worden. Zeevisserij (en wellicht ook andere vormen van scheepvaart) nabij een vliegeiland staat gelijk met het verzoeken van de goden.

8 GEDETAILEERDE BESCHRIJVING VAN DE MAANDOVERZICHTEN

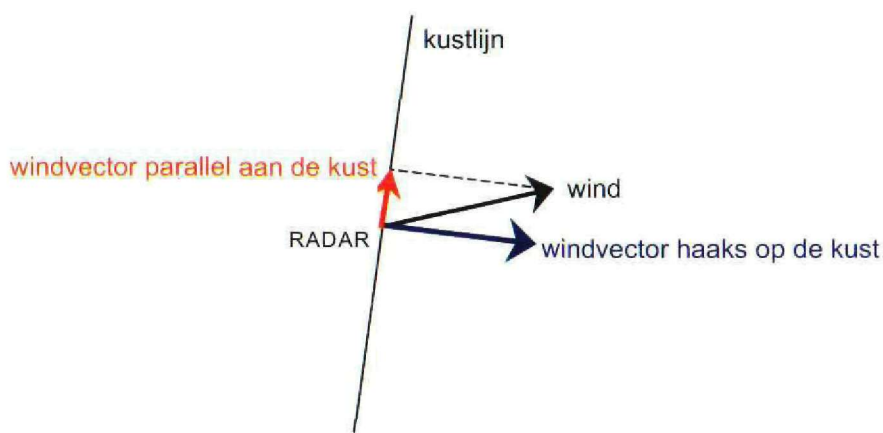
8.1.1 Opzet

In dit hoofdstuk wordt een gedetailleerd overzicht gegeven van de waarnemingen per maand. De waarnemingen worden ook in relatie gebracht met de heersende weersomstandigheden, wanneer hiervan een duidelijke relatie zichtbaar is. Achtereenvolgens komen aan de orde: de weersomstandigheden, de waargenomen vogelsoorten en aantallen, de verdeling van de verschillende soortgroepen naar hoogte en de vliegrichting. Tot slot wordt een kwantitatief beeld geschetst, zowel naar hoogte als naar afstand uit de kust en worden eerder genoemde onderwerpen tot één geheel gevormd.

Meteo

Bij iedere maand wordt, aan de hand van maandoverzichten van het KNMI (1999), een gedetailleerde beschrijving gepresenteerd van het weer voorafgaand aan en tijdens de meetsessie. De onderliggende weergegevens per uur van de grondstations Schiphol, IJmuiden, Bloemendaal en Meetpost Noordwijk worden niet gepresenteerd, maar zijn wel gebruikt bij de totstandkoming van dit rapport.

Uit literatuur (zie Richardson 1978 en 1990 voor een samenvatting) blijkt dat met name rugwind een positief effect heeft op vogeltrek. Regen en slecht zicht zorgen juist voor het ontbreken van vogeltrek. In dit licht worden de perioden met extreem positieve en negatieve weerparameters aangegeven. Hiertoe worden twee grafieken getoond, waarin de windvectoren op de twee veronderstelde hoofdvliegrichtingen worden weergegeven. De belangrijkste vliegrichtingen zijn parallel aan de kust of haaks op de kust. De wind, elk uur gemeten op 10 meter hoogte én elke 6 uur gemodelleerd tot 3 kilometer hoogte (Hirlam model), wordt daartoe ontleed in een tweetal vectoren. Beide windvectoren worden in één grafiek getoond.



Figuur 25 Grafische voorstelling van de ontleding van de wind in een windvector haaks op de kust (blauw) en een windvector parallel aan de kust. In dit voorbeeld is een WZW wind ontleed in een positieve windvector voor vogels die zowel naar het O als het NNO willen vliegen. Dit is gunstig voor de voorjaarstrek. Merk op dat de wind veel gunstiger is om de Noordzee vanuit Engeland over te steken, dan langs de kust naar het NNO te vliegen. Maar voor beide vliegrichtingen bestaat een rugwind. *Graphic presentation of wind vectors parallel (red) and at right angles to the coast (blue).*

Waargenomen vogelsoorten en aantallen

Voor iedere maand wordt een korte samenvatting gegeven van de overdag waargenomen vogelsoorten en hun aantallen uit de gevolgde vliegpaden. Voor de maanden juni tot en met november zijn de panoramatellingen samengevat ter vergelijking met de onderste 100 meter van de radardata (vliegpaden).

Soortenverdeling naar hoogteklaas

De verdeling van de verschillende soortgroepen wordt aan de hand van twee hoogteklaas beschreven. De indeling van de hoogteklaas beperkt zich tot onder en boven de 100 meter. Op deze manier kunnen rechtstreeks vergelijkingen met de elevatiescan (waar de onderste 100 meter niet van

gebruikt kan worden) worden gemaakt. Een bijkomend voordeel is dat op deze manier de lokale bewegingen worden gescheiden van de zogenaamde echte trekkers.

Omdat vogels vooral zijn opgespoord met behulp van de zoekantenne is het bereik beperkt tot de onderste 2 kilometer. In de beschrijving ligt de nadruk op de verschillen in vlieghoogte tussen de soortgroepen overdag en 's nachts.

Vliegrichting

Van maand tot maand worden de vliegrichtingen per soortgroep, gesplitst in dag en nacht, in tabelvorm weergegeven. Alleen significante richtingen, berekend over minimaal 25 groepen, worden vermeld.

Elevatiescans

Iedere maand worden uit de database met vliegpaden de dagdelen met een éénduidige richting boven 100 meter hoogte geselecteerd. Als de gemiddelde vliegrichting daarvan meer dan 45° afwijkt van de as van de elevatiescan haaks op de kust (284°), zullen de gemiddelde en maximale dichtheid uit die scan worden bepaald. Anders worden de dichtheden uit de elevatiescan evenwijdig aan de kust bepaald. Van de dagdelen met een 2-D dichtheid (de som van alle hoogteklassen opgeteld) groter dan 1 echo per km² zullen de hoogteverdelingen kort worden beschreven en onderling worden vergeleken. Van dagdelen waar de vliegrichting meer dan 15° afwijkt van haaks op de kust (ofwel gemiddelde vliegrichtingen tussen 299° en 89° of 119° en 269°) zal de dichtheidsgradiënt vanaf de kust worden beschouwd. In de overige gevallen gaat het om trek uit of naar Engeland en van deze vogelstroom (breedfronttrek) bestaat geen dichtheidsgradiënt vanaf de kust (zie ook de schets in Figuur 3).

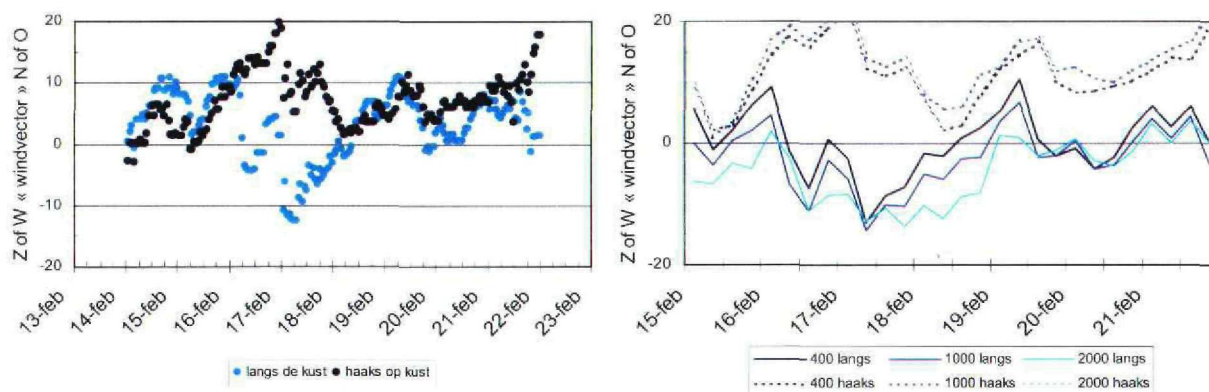
8.1.2 Februari

Meetperiode

Vanaf het eind van de middag van de 15^e tot in de vroege ochtend van de 19^e zijn de allereerste metingen verricht. Hoewel we aanvankelijk begonnen op de punt van de zuidpier, zijn we hier in de eerste nacht, door aanhoudende storm, al van verdreven. Op de middag van de 17^e zijn de metingen vervolgd vanaf het begin van de pier (vanaf nu locatie 'strand').

Meteo

Van 8 tot en met 14 februari daalde de temperatuur in bijna het gehele land tot onder het vriespunt. De meetsessie begon na deze vorstperiode op de 15^e. 's Morgens trok een frontensysteem vergezeld van regen en gladheid langzaam oostwaarts. Achter het front werd met een zuidwesten wind vochtige lucht aangevoerd. Door afkoeling boven het nog aanwezige sneeuwdek ontstond op veel plaatsen dichte mist. Tussen de 15^e en 18^e werd het weer bepaald door een actieve depressie boven Scandinavië. Tussen deze depressie en een hogedrukgebied boven de Azoren en Ierland handhaafde zich een krachtige noordweststroming, waardoor het weer een onstuimig karakter kreeg. Talrijke winterse buien dreven landinwaarts. In de nacht van 16 op 17 februari heerste aan de kust enige tijd een noordwesterstorm. Tussen deze diepe depressie en een hogedrukgebied ten westen van Portugal werd met een weststroming zachte en vochtige lucht naar ons land gevoerd. Op de 19^e bevond ons land zich in de warme sector en werd de vorst verdreven. Langdurige motregen was ons deel. De 20^e stond onder invloed van een zwakke rug van hoge druk en werd een droge en zonnige dag. In de namiddag en avond van de 21^e trok een randstoring met onweer en zeer zware windstoten over ons land (maandoverzicht februari 1999, KNMI 1999).



Figuur 26 Windvectoren (m/s) ten opzichte van trek langs respectievelijk haaks op de kust, februari 1999, IJmuiden. In de linker figuur zijn de windvectoren afgeleid uit de gemeten wind op 10 meter hoogte. In de rechter figuur wordt de windvector op 400, 1000 en 2000 meter hoogte uit het HIRLAM model weergegeven, langs (doorgetrokken lijn) of haaks op (gestippelde lijn) de kustlijn. *Wind vectors related to bird movements along (light blue or line) and perpendicular to (dark blue or dashed line) the coastline, February 1999. Left figure: measured wind vectors at 10 m altitude. Right figure: wind vectors at 400, 1000 and 2000 m altitude, obtained from HIRLAM model.*

Hoewel de windvectoren (windsnelheid in de trekrichting) over de hele week neutraal tot positief waren voor trek naar het NNO en uitermate geschikt voor aankomst uit Engeland, waren de overige weersomstandigheden vanwege de regen en storm niet gunstig voor vogeltrek.

Waargenomen vogelsoorten en aantallen

Overdag zijn vooral vliegpaden geregistreerd van de soortgroepen grote vogels, meeuwen & sterns en grote watervogels. Dit waren respectievelijk enkele groepen Rotganzen (48 exemplaren in 5 groepen), veel Zilvermeeuwen (41 exemplaren, 21 groepen) en enkele groepen Kieviten (114 exemplaren, 3 groepen).

Soortenverdeling naar hoogteklaas

Overdag vloog bijna 80% van de gevolgde vogels onder de 100 meter, tegenover 52% 's nachts. Overdag vlogen onder de 100 meter vooral meeuwen, hogerop vlogen naast grote meeuwen (Zilvermeeuw) ook grote vogels en grote watervogels (ganzen, Kieviten). Van de nachten is geen soortinformatie bekend.

Tijd	Soortgroep	N	Hoogte		Soortgroep	
			< 100m	> 100m	< 100m	> 100m
Dag	Totaal	144	78%	22%		
	Grote vogel	10	70%	30%	19%	17%
	Meeuw & Stern	34	74%	26%	68%	50%
	Grote watervogel	8	50%	50%	11%	22%
	Grote zangvogel	3	33%	67%	2%	11%
Nacht	Totaal	283	52%	48%		

Tabel 14 Soorten en vlieghoogten, naar dag en nacht, februari 1999. Middelste kolom: hoogteverdelingen per soortgroep (horizontaal 100%). Vliegpaden van onbekende soorten zijn in het totaal opgenomen. Rechter kolom: soortgroepverdeling onder respectievelijk boven 100 meter hoogte (verticaal 100%). *Species and flight altitudes, by day and night, February 1999. Middle column: altitude distributions per species group (horizontally adding up to 100%). Unidentified tracks are included in the totals. Right column: species distribution below respectively above 100m altitude (vertically adding up to 100%).*

Vliegrichtingen

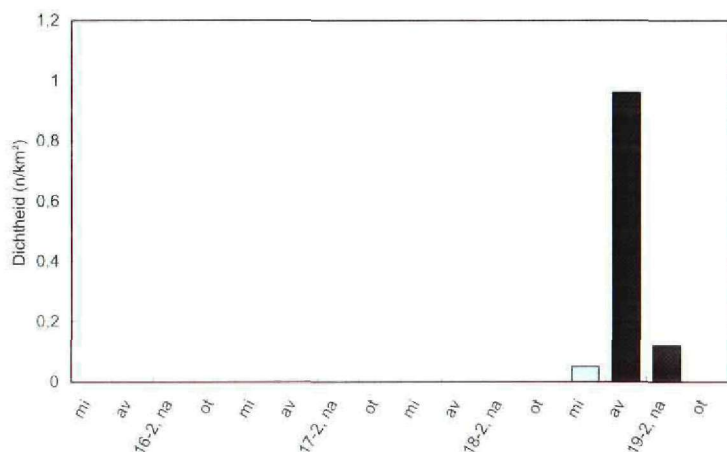
Overdag vlogen de vogels alle kanten op. 's Nachts vliegen de meeste vogels landinwaarts (breedfronttrek vanuit Engeland), maar de andere categorieën ontbreken zeker niet.

Tijd	Soortgroep	N	Langs kust NNO	Land in OZO	Langs kust ZZW	Zee in WNW	Richting
Dag	Grote vogel	10	7	2		1	
	Meeuw & Stern	34	7	10	12	5	n.s.
	Grote Watervogel	8	4	2	1	1	
	Grote zangvogel	3		3			
	Totaal	144	44	46	31	23	74°
Nacht	Totaal	283	75	133	55	20	88°

Tabel 15 Voorkomen van vliegrichtingen voor verschillende soortgroepen, gesplitst naar dag/nacht, februari 1999. Gebaseerd op dagen en nachten met meer dan 25 groepen en één overheersende, significante vliegrichting. *Occurrence of flight directions by day and night, February 1999. Based on days and nights with more than 25 tracks yielding an unimodal distribution and a significant mean direction.*

Elevatiescans

In februari is veel slecht weer geweest, waardoor enkele perioden zelfs niet zijn gemeten. Pas aan het eind van de meetsessie vond een kleine doortrekgolf plaats. De golf begon op de middag van de 18^e en piekte in de avond daarop. In de nacht is nog slechts een staartje van deze golf waargenomen.



Figuur 27 2D-Dichtheid (echo's/km²) boven 100 meter in februari 1999. De dichtheden zijn gebaseerd op de verticale scan (kijkrichting 284°) en gesplitst naar nacht, ochtend, middag en avond. Wanneer de trek uit of naar zee is waargenomen zijn tevens de dichtheden van de verticale scan, kijkrichting 194°, door een • weergegeven. Alleen dagdelen met één dominante, significante vliegrichting zijn weergegeven. *2D-density (echoes per km²) above 100m altitude in February 1999. Densities are based on the vertical scan towards 284° and grouped by night, morning, noon and evening. When bird movements from or towards the sea were observed, the results of the vertical scan towards 194° are also presented and marked with a •. Only day parts with a unimodal distribution and a significant mean flight direction are presented.*

Datum	Tijd	Kijkrichting	Dichtheid			Vliegrichting
			2-D (n/km ³)	Maximum (n/km ³)	Hoogte max. dichtheid (m)	Gemiddeld (graden)
18-2-99	Middag	284°	0,1	0,1	150	73
19-2-99	Nacht	284°	0,1	0,5	150	70

Tabel 16 Dichtheden en vlieghoogten boven de 100 meter in februari 1999, gebaseerd op de verticale scan. Standaard is haaks op de kustlijn gemeten (kijkrichting 284°). Wanneer trek uit of naar zee is waargenomen zijn de gegevens gearceerd en waar beschikbaar zijn bovendien de gegevens uit de verticale scan evenwijdig aan de kustlijn (kijkrichting 194°) weergegeven. Van links naar rechts zijn weergegeven: de totale dichtheid in echo's per km³, de maximale dichtheid in echo's/km³, de bijbehorende hoogtelaag en de gemiddelde vliegrichting. Alleen dagdelen met één dominante, significante vliegrichting zijn weergegeven.
Densities and flight altitudes above 100m altitude in February 1999, based on the vertical scan. Standard vertical scans are directed perpendicular to the coastline, towards 284°. When bird movements from or towards the sea were observed, the results are hatched and also the results of vertical scans parallel to the coastline are given. From left to right: the overall density in echoes per km³, the maximum density in echoes per km³, the altitude with the maximum density and the mean track direction.

In de middag van de 18^e kwamen verschillende groepen Kieviten uit zee. De vogeltrek zette zich in de loop van de avond en nacht voort, maar concentreerde zich in de onderste 100^{en} meters. De maximale dichtheden werden 's avonds waargenomen tussen 100-200 meter hoogte. Boven 500 meter hoogte draaide de wind naar ongunstige richtingen en op die hoogte zijn dan ook geen vogels meer waargenomen. AGC-signalen werden nog niet verzameld dus het is onbekend welke soorten er in de nacht vlogen.

Datum	Tijd	afstand tot de kust (km)			
		2½ - 4	4 - 5½	5½ - 7	7 - 8½
18-2-99	Middag	0,08	0,06	0	
19-2-99	Nacht	0,21	0,05	0,22	
15/19-02	Nacht	96%	22%	100%	
	Middag	100%	75%	0%	
	Avond	100%	50%	86%	

Tabel 17 2D-dichtheden boven de 100 meter in relatie tot de afstand uit de kust in februari 1999, gebaseerd op de verticale scans. Boven: Dichtheden per dagdeel in echo's per km³. Onder: verdeling van dichtheden per week, uitgedrukt in procenten van de maximale gemiddelde dichtheid. Alleen dagdelen met één dominante, significante vliegrichting zijn gebruikt. Dagdelen waarbij de vliegrichting min of meer haaks op de kustlijn stond, hetgeen een minder betrouwbare gradënt oplevert, zijn gearceerd. *2D-densities on different distances from the coastline, above 100m altitude in February 1999, based on the vertical scans. a) Densities per part of day, in echoes per km³. b) Mean weekly density distributions, as a percentage from the maximum mean density. Only day parts with a unimodal distribution and a significant mean flight direction are used. Day parts with a dominant flight direction more or less perpendicular to the coastline, yielding less reliable density measurements, are hatched.*

De weegemiddelden zijn voor alle drie de dagdelen slechts op één meetresultaat gebaseerd. In de middag concentreerde de trek zich vlak onder de kust. Vooral groepen Rotganzen en Zilvermeeuwen zijn waargenomen. In de avond en nacht is, als gevolg van de breedfronttrek uit Engeland, geen afname vastgesteld.

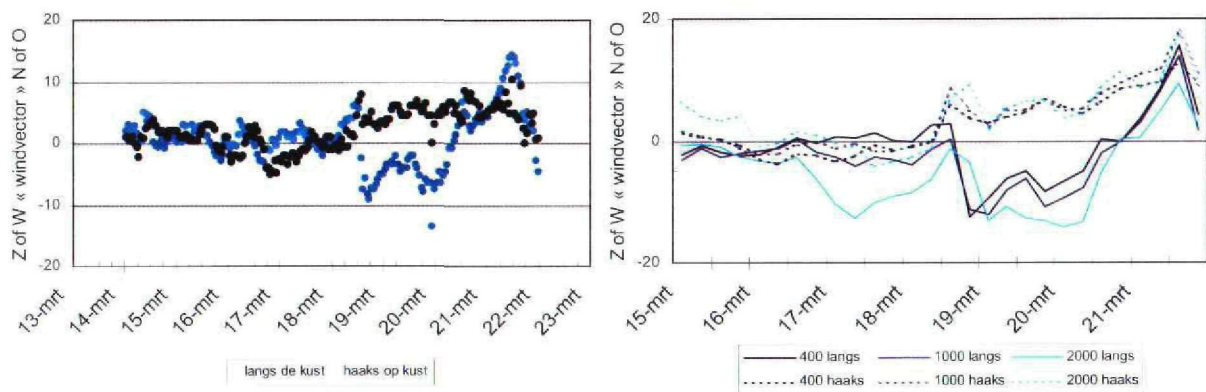
8.1.3 Maart

Meetperiode

De metingen zijn gestart aan het eind van de middag van de 15^e, op de punt van de pier. Op de 17^e zijn we, vanwege de verwachte toenemende windkracht, verplaatst naar het strand. Op 21 maart in de tweede helft van de ochtend zijn de metingen vanaf de strandlocatie beëindigt.

Meteo

Voorafgaand aan de meetweek, tot aan de 17^e, trok een krachtig hogedrukgebied van Nova Zembla naar West-Rusland en kreeg via een rug boven onze omgeving verbinding met het Azorenhogedrukgebied. Hierdoor volgden een aantal zeer fraaie en droge dagen met veel zon en weinig wind. De temperaturen liepen op tot 12° C. De nachten waren fris, met plaatselijk lichte vorst. Met weinig wind en sterke uitstraling vormde zich plaatselijk dichte tot zeer dichte mist. Van 16 op 17 maart bracht een zwak warmtefront toenemende bewolking, later gevolgd door lichte regen. Op 18 maart, 0 uur UTC, bevond zich een actieve depressie nabij de oostkust van IJsland. Het bijbehorende koufront strekte zich uit via Schotland naar zuidwest Ierland. Door luchtdrukdalingen boven onze omgeving kon het front zich snel naar het zuidoosten verplaatsen. Het front passeerde ons land reeds in de zelfde middag met veel bewolking, waaruit gemiddeld 5 mm neerslag viel. Tot aan de 23^e verplaatste een hogedrukgebied zich van het zeegebied even ten westen van Ierland naar de Azoren. Langs de flank van dit hogedrukgebied trokken opeenvolgende storingen met een noordwest- tot weststroming, via de Noordzee naar onze omgeving. In deze stroming werd veel bewolking meegevoerd, waardoor het weer een somber karakter had. Perioden met regen en motregen werden afgewisseld door buien en opklaringen. De maximumtemperaturen liepen terug van ca. 11° C tot 7 à 8° C op de 22^e (maandoverzicht maart 1999, KNMI 1999).



Figuur 28 Windvectoren (m/s) ten opzichte van trek langs respectievelijk haaks op de kust, maart 1999, IJmuiden. In de linker figuur zijn de windvectoren afgeleid uit de gemeten wind op 10 meter hoogte. In de rechter figuur wordt de windvector op 400, 1000 en 2000 meter hoogte uit het HIRLAM model weergegeven, langs (doorgetrokken lijn) of haaks op (gestippelde lijn) de kustlijn. *Wind vectors related to bird movements along (light blue or line) and perpendicular to (dark blue or dashed line) the coastline, March 1999. Left figure: measured wind vectors at 10 m altitude. Right figure: wind vectors at 400, 1000 and 2000 m altitude, obtained from HIRLAM model.*

De windvector was aan het begin van de week neutraal tot negatief (vooral in de hogere luchtlagen) voor aankomst over zee vanuit Engeland, respectievelijk voor trek langs de kust naar het NNO. In de tweede helft van de week was de windvector positief voor aankomst over zee. Vooral bewolking en regen zullen de trek geremd hebben. Voor trek parallel aan de kust, in NNO-elijke richting, heerste sterke tegenwind, alleen op de 23^e waren de windomstandigheden daarvoor positief (Figuur 28).

Waargenomen vogelsoorten en aantallen

Overdag is een groot scala aan vogelsoorten met de radar gevolgd. Onder de grote vogels bevonden zich vooral Aalscholvers (13 exemplaren, 10 groepen) en ganzen (1654 exemplaren, 16 groepen), waarvan 312 Rotganzen. Alle te verwachten soorten meeuwen zijn waargenomen, maar de meeste vliegpaden betroffen Kokmeeuwen (547 exemplaren, 51 groepen) en Zilvermeeuwen (255 exemplaren, 87 groepen). Onder de grote watervogels bevonden zich een klein aantal (zee-)eenden, maar vooral steltlopers, o.a. Kieviten (92 exemplaren, 3 groepen), Scholeksters (23 exemplaren, 4 groepen) en Steenlopers (20 exemplaren, 2 groepen). Van de zangvogels werden vooral Spreeuwen (1765 exemplaren, 43 groepen) waargenomen.

Intermezzo: Hans' waarnemingen op 17 en 18 maart. In de ochtendschemering zien we telkens fronten Spreeuwen, tot 2 kilometer breed, over de duinen naar het NNO vliegen. Boven zee is een zeer spectaculaire binnenkomst van Spreeuwen en enkele Merels waar te nemen. In OZO/ZO richting komt de ene na de andere groep Spreeuwen (25 tot 100 exemplaren per groep) laag over het water naar de kust. Wanneer rond 7:00 UTC groepen Spreeuwen worden gevolgd met de radar, passeren ondertussen nog 2 à 3 andere groepen Spreeuwen het beeld. Een enkele keer worden groepjes van 2 tot 5 Merels waargenomen. Omdat vervolgens de stroomvoorziening het begeeft, zijn van de rest van de dag geen radarwaarnemingen bekend... Rond 15:00 UTC weer rondgekeken. Nu nog komen groepen Spreeuwen (5 tot 25 exemplaren per groep), Kramsvogels (1 tot 5 exemplaren per groep) en enkele losse Merels uit zee in een OZO tot ZO richting. Een gedenkwaardige dag, die door technische problemen helaas niet in ons materiaal is opgenomen. Ook de volgende morgen komen weer groepen Spreeuwen, Koperwieken, Merels en Kramsvogels uit zee. Dit houdt in ieder geval tot 10:00 UTC aan. Over de duinen vliegen brede fronten Spreeuwen (tot 5 km breed) naar het NNO.

Soortenverdeling naar hoogteklaas

Overdag vloog 65% van de gevolgde vogels onder de 100 meter, 's nachts slechts 39%. Overdag werden onder de 100 meter vooral meeuwen gedetermineerd, boven de 100 meter ook een aantal groepen Spreeuwen. Deze trokken, vooral boven de duinen, in brede fronten naar het NNO. Van de nachten zijn helaas geen soortgroepen bekend.

Tijd	Soortgroep	N	Hoogte		Soortgroep	
			< 100m	> 100m	< 100m	> 100m
Dag	Totaal	732	65%	35%		
	Grote vogel	33	73%	27%	12%	7%
	Meeuw & Stern	217	65%	35%	72%	61%
	Grote watervogel	25	64%	36%	8%	7%
	Grote zangvogel	46	35%	65%	8%	25%
Nacht	Totaal	961	39%	61%		

Tabel 18 Soorten en vlieghoogten, naar dag en nacht, maart 1999. Middelste kolom: hoogteverdelingen per soortgroep (horizontaal 100%). Vliegpaden van onbekende soorten zijn in het totaal opgenomen. Rechter kolom: soortgroepverdeling onder respectievelijk boven 100 meter hoogte (verticaal 100%). *Species and flight altitudes, by day and night, March 1999. Middle column: altitude distributions per species group (horizontally adding up to 100%). Unidentified tracks are included in the totals. Right column: species distribution below respectively above 100m altitude (vertically adding up to 100%).*

Vliegrichtingen

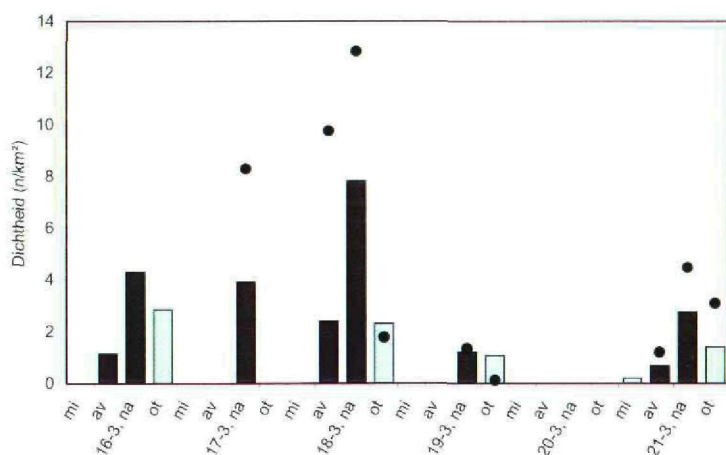
Zowel overdag als 's nachts overheerste de breedfronttrek van Engeland naar Nederland. Er werd veel aankomst van Spreeuwen, Merels en Kramsvogels uit zee waargenomen. De grote vogels (ganzen, Rotganzen en Aalscholvers) en grote watervogels (o.a. Kievit) vlogen wel langs de kustlijn in een noordelijke richting, maar hun aandeel was veel minder groot dan dat van de breedfronttrek uit zee.

Tijd	Soortgroep	N	Langs kust NNO	Land in OZO	Langs kust ZZW	Zee in WNW	Richting
Dag	Grote vogel	36	22	9	2	3	27°
	Meeuw & Stern	219	101	65	36	17	59°
	Grote Watervogel	26	14	7	3	2	35°
	Grote zangvogel	49	14	31	1	3	69°
	Totaal	757	277	277	130	73	69°
Nacht	Totaal	1058	385	483	135	55	72°

Tabel 19 Voorkomen van vliegrichtingen voor verschillende soortgroepen, gesplitst naar dag/nacht, maart 1999. Gebaseerd op dagen en nachten met meer dan 25 groepen en één overheersende, significante vliegrichting. *Occurrence of flight directions by day and night, March 1999. Based on days and nights with more than 25 tracks yielding an unimodal distribution and a significant mean direction.*

Elevatiescans

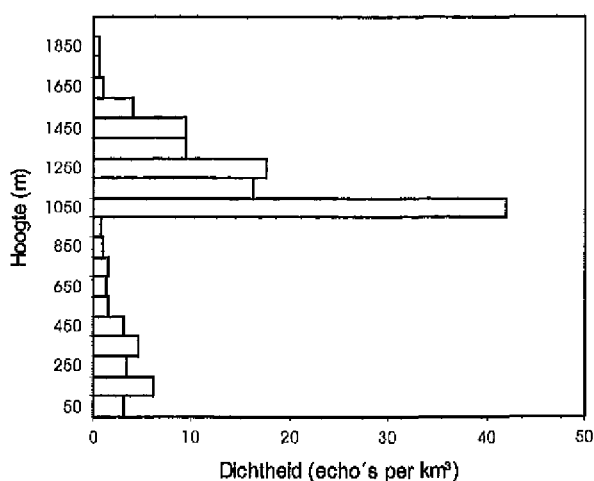
In de nachten van 15/16, 16/17, 17/18 en 20/21 maart zijn hoge echo-dichtheden geregistreerd. In de opvolgende ochtenden was in alle gevallen nog steeds goede trek aanwezig. Helaas is wegens technische omstandigheden geen overzicht aanwezig van de ochtend van de 17^e (vermoedelijk de beste ochtend uit de gehele week, zie eerder *intermezzo*).



Figuur 29 2D-Dichtheid (echo's/km³) boven 100 meter in maart 1999. De dichtheden zijn gebaseerd op de verticale scan (kijkrichting 284°) en gesplitst naar nacht, ochtend, middag en avond. Wanneer de trek uit of naar zee is waargenomen zijn tevens de dichtheden van de verticale scan, kijkrichting 194°, door een • weergegeven. Alleen dagdelen met één dominante, significante vliegrichting zijn weergegeven. *2D-density (echoes per km³) above 100m altitude in March 1999. Densities are based on the vertical scan towards 284° and grouped by night, morning, noon and evening. When bird movements from or towards the sea were observed, the results of the vertical scan towards 194° are also presented and marked with a •. Only day parts with a unimodal distribution and a significant mean flight direction are presented.*

Overdag waren er in de ochtend van de 16^e en 17^e relatief veel grote zangvogels, terwijl die op de ochtend van de 21^e geheel ontbraken. Sterke trek van Kokmeeuwen, tot enkele 100^{en} meters hoog, in groepen van 10 tot 30 exemplaren domineerde het beeld. Uit de nachten is geen soortinformatie aanwezig.

In de nacht van 15 op 16 maart was de trek geconcentreerd in de onderste luchtlaag, met maximale geanalyseerde dichtheden van 13,3 echo's per km³ op 100-200 meter. In de ruw geanalyseerde onderste 100 meter liep de dichtheid zelfs op tot 48 echo's per km³. Op alle hoogtes stond een lichte tegenwind (< 4 m/s). In de aansluitende ochtend werden de hoogste dichtheden van de hele week gemeten, 8,5 echo per km³ op 100-200 meter. Ook nu waren onder de 100 meter de dichtheden nog veel groter, tot ca. 40 echo's per km³. In de nacht van de 17^e bevonden de maximale dichtheden (7.1 echo per km³) zich op 1500-1600meter. Blijkbaar selecteerden vogels deze nacht de beste hoogtes om de Noordzee over te steken. Alleen tussen 1500 en 2000 meter hoogte was er een neutrale tot meewindvector, daaronder en daarboven was de windvector tegengesteld aan de vliegrichting. De volgende morgen kwamen tussen de golven veel vogels over zee uit Engeland (groepen Spreeuwen, Koperwieken en kleinere groepen Kramsvogels en Merels), maar dit is niet gekwantificeerd. Nadat de technische problemen waren verholpen ging de vogelgolf nog steeds door. In de avond van de 17^e vond de trek plaats op twee hoogtes, respectievelijk op 100-700 meter hoogte met maximale dichtheden van 3,3 echo's per km³ tussen 300 en 400 meter en een hoogteband tussen de 900 en 1700 meter hoogte, met piekdichtheden van 2,8 echo's per km³ op 1200-1300 meter hoogte. In het onderste cohort overheerste de vliegrichting langs de kust (gemiddelde richting 35°), terwijl in de tweede hoogteband de aankomst over zee overheerste (gemiddelde richting 70°). In de aansluitende nacht, 18 maart, werden de hoogste piekdichtheden van de week gemeten, 42,0 echo's per km³ tussen 1000 en 1100 meter hoogte (zie Figuur 30). Ook toen vlogen er wel degelijk veel vogels op 100-700 meter hoogte, maar de aantallen (3,2 echo's per km³ op 200-300 meter hoogte) vallen weg tegen de enorme stroom vogels op grote hoogte. De vliegrichtingen in de onderste hoogteband varieerden van parallel aan de kust tot landinwaarts (gemiddelde 70°), terwijl de vliegrichting in de bovenste hoogteband nog steeds op overwegend aankomst uit zee wees (gemiddelde 80°).



Figuur 30 Hoogteverdeling van de aankomst over zee in de nacht van 18 maart 1999, elevatiescan 194°. *Altitude distribution during night arrival over the North Sea, 18 March 1999, elevation scan 194°.*

De volgende morgen kwamen de grootste dichtheden (7,3 echo's per km³) voor in de luchtlaag tussen 100-200 meter. Tot een hoogte van 2500 meter werden vogels waargenomen, maar overal bedroeg de dichtheid ongeveer 1 echo per km³. Deze grote golf eindigde de volgende nacht, waarbij in de nacht van de 19^e de hoogste dichtheden (9,0 echo's per km³) tussen de 100 en 200 meter zijn geregistreerd. Opvallend was dat de gemiddelde vliegrichting 121° was. Dit werd veroorzaakt door de sterke NW wind. Ook de volgende morgen, toen vogels met piekdichtheden van 7,4 echo's per km³ tussen de 100 en 200 meter hoogte passeerden, was de vliegrichting nog overwegend OZO, namelijk 105°.

Een korte rustperiode volgde, waarna in de nacht van de 21^e de volgende golf zich aandiende. Deze vond plaats in de onderste 500 meter, waar de windvector voor trek langs de kust in NNO richting het grootst was. De piekdichtheid (7,1 echo per km³) bevond zich tussen de 100-300 meter. De gemiddelde vliegrichting was in deze helft van de nacht 79°, terwijl in de ochtend daarop de trek langs de kust duidelijk overheerste, (gemiddelde richting 38°). De meeste vogels vlogen tussen de 100-500 meter hoogte, de piekdichtheden van 7,9 echo's per km³ bevonden zich tussen de 100 en 200 meter. In het veld werd in deze hoogtelaaag opvallende doortrek van Kokmeeuwen waargenomen.

Datum	Tijd	Kijkrichting	Dichtheid			Vliegrichting	
			2-D (n/km ³)	Maximum (n/km ³)	Hoogte max. dichtheid (m)	Gemiddeld (graden)	
15-3-99	Avond	284°	1,1	3,4	150	60	
17-3-99	Nacht	284°	3,9	7,1	1550	60	
	Avond	284°	2,4	3,3	350	48	
18-3-99	Nacht	284°	7,8	35,6	1050	80	
	Ochtend	284°	2,2	7,3	150	83	
19-3-99	Nacht	284°	1,2	9,0	150	121	
20-3-99	Middag	284°	0,2	1,2	150	50	
	Avond	284°	0,7	2,7	150	68	
21-3-99	Nacht	284°	2,7	7,1	150 / 250	79	
	Ochtend	284°	1,4	7,9	150	38	
17-3-99	Nacht	194°	8,3	14,7	1550	60	
	Avond	194°	9,7	17,6	1050	48	
18-3-99	Nacht	194°	12,8	42,0	1050	80	
19-3-99	Nacht	194°	1,3	7,1	150	121	
20-3-99	Avond	194°	1,2	2,2	350	68	
21-3-99	Nacht	194°	4,5	9,7	250	79	

Tabel 20 Dichtheden en vlieghoogten boven de 100 meter in maart 1999, gebaseerd op de verticale scan. Standaard is haaks op de kustlijn gemeten (kijkrichting 284°). Wanneer trek uit of naar zee is waargenomen zijn de gegevens gearceerd en waar beschikbaar zijn bovendien de gegevens uit de verticale scan evenwijdig aan de kustlijn (kijkrichting 194°) weergegeven. Van links naar rechts zijn weergegeven: de totale dichtheid in echo's per km³, de maximale dichtheid in echo's/ km³, de bijbehorende hoogtelaaag en de gemiddelde vliegrichting. Alleen dagdelen met één dominante, significante vliegrichting zijn weergegeven.

Densities and flight altitudes above 100m altitude in March 1999, based on the vertical scan. Standard vertical scans are directed perpendicular to the coastline, towards 284°. When bird movements from or towards the sea were observed, the results are hatched and also the results of vertical scans parallel to the coastline are given. From left to right: the overall density in echoes per km², the maximum density in echoes per km³, the altitude with the maximum density and the mean track direction.

De meetweek in maart kenmerkte zich door sterke aankomst over zee. Vooral overdag, maar ook gedurende de tweede golf, is op enkele dagdelen een dichtheidsgradiënt waargenomen. Hoewel in Tabel 21 de dagen met trek uit zee wel zijn opgenomen (gearceerd), is, door het kleine verschil tussen de vliegrichting en de kijkrichting van de elevatiescan, de getoonde dichtheidsgradiënt niet altijd goed weer te geven. Gedurende de eerste grote golf nam de dichtheid relatief langzaam af. Op de 18^e waren wel grote verschillen zichtbaar. De NNO gerichte trek in de onderste 700 meter vond blijkbaar alleen dicht onder de kust plaats. In de rest van de dagdelen was de dichtheidsgradiënt minder sterk. Tot grote afstand bleven de dichtheden constant. Dat was, gezien de vele trek uit zee ook niet verbazingwekkend.

Over de gehele week genomen zijn de hoogste dichtheden in de eerste of in de tweede afstandsklasse waargenomen. Met uitzondering van de middagen was de dichtheid op 5½ - 7 km uit de kust afgenomen tot 50-60% van de maximale gemeten dichtheid. Op meer dan 7 km zijn alleen in de nachten en ochtenden nog vogels opgemerkt, variërend van 13-20% ten opzichte van het maximum.

Datum	Tijd	Afstand tot de kust (km)			
		2½ - 4	4 - 5½	5½ - 7	7 - 8½
15-3-99	Avond		1,87	1,35	0,16
17-3-99	Nacht		10,82	9,06	8,31
	Avond	15,08	11,21	5,12	
18-3-99	Nacht	43,75	33,53	18,99	
	Ochtend	5,88	6,29	4,99	
19-3-99	Nacht	8,77	5,15	2,84	
20-3-99	Middag	0,24	0,26	0,05	
	Avond	2,22	2,59	2,00	
21-3-99	Nacht	16,80	12,87	8,39	
	Ochtend	2,99	2,59	2,66	
15/21-3	Nacht	97%	100%	61%	13%
	Ochtend	94%	100%	54%	20%
	Middag	91%	100%	18%	0%
	Avond	100%	91%	49%	1%

Tabel 21 2D-dichtheden boven de 100 meter in relatie tot de afstand uit de kust in maart 1999, gebaseerd op de verticale scans. Boven: Dichtheden per dagdeel in echo's per km². Onder: Verdeling van dichtheden per week, uitgedrukt in procenten van de maximale gemiddelde dichtheid. Alleen dagdelen met één dominante, significante vliegrichting zijn gebruikt. Dagdelen waarbij de vliegrichting min of meer haaks op de kustlijn stond, hetgeen een minder betrouwbare gradiënt oplevert, zijn gearceerd. 2D-densities on different distances from the coastline, above 100m altitude in March 1999, based on the vertical scans. a) Densities per part of day, in echoes per km². b) Mean weekly density distributions, as a percentage from the maximum mean density. Only day parts with a unimodal distribution and a significant mean flight direction are used. Day parts with a dominant flight direction more or less perpendicular to the coastline, yielding less reliable density measurements, are hatched.

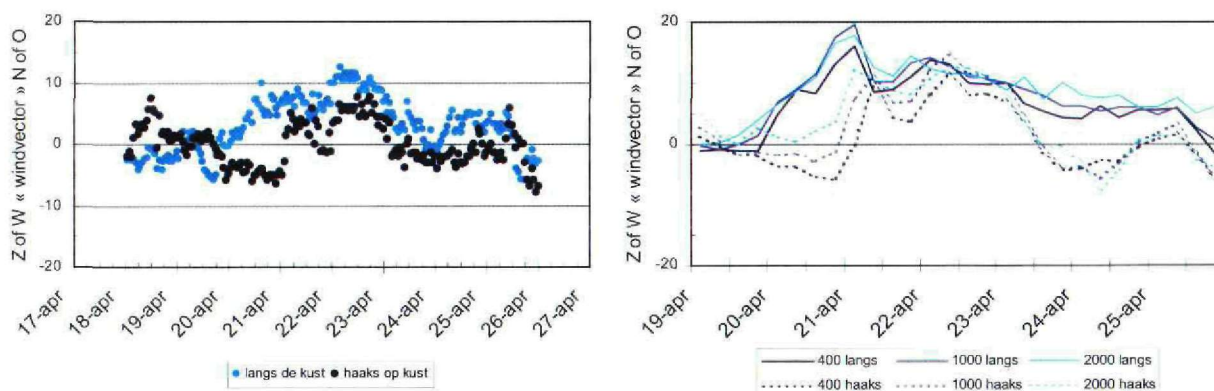
8.1.4 April

Meetperiode

Tegen de avond van 19 april zijn de metingen gestart vanaf de strandlocatie. Op de 22^e vanaf 16:00 UTC zijn we verder gegaan op de punt van de pier. Op de 24^e zijn we na 10:00 UTC gestopt wegens technische problemen.

Meteo

De eerste tien dagen van april waren, voor die periode, de warmste van deze eeuw. Tussen 14 en 20 april echter kwam het dagelijks ergens in ons land tot vorst. Halverwege de maand vielen er talrijke sneeuwbuien, waarna besloten werd de meetsessie een week op te schuiven. Aan het begin van de uiteindelijke meetweek bevond zich dan ook nog een koudeput in de bovenlucht, die zich pas op de 20^e van ons land verwijderde. De atmosfeer bleef zeer onstabiel van opbouw. Vanaf de 21^e kwam een krachtig hogedrukgebied tot ontwikkeling boven West-Rusland. Hierdoor en door drukstijgingen boven Scandinavië stagneerden opeenvolgende depressies boven de Britse Eilanden. Boven onze omgeving werd de stroming zuidwest tot zuid, waardoor de koude lucht werd verdreven. Aanvankelijk was de atmosfeer nog onstabiel en kwamen gemakkelijk buien tot ontwikkeling, plaatselijk met hagel en onweer. Tussen de buien door was het tamelijk zonnig. Overdag steeg het kwik tot 14 à 15° C, de nachten waren zacht met minima van 6 tot 8° C (maandoverzicht april 1999, KNMI 1999).



Figuur 31 Windvectoren (m/s) ten opzichte van trek langs respectievelijk haaks op de kust, april 1999, IJmuiden. In de linker figuur zijn de windvectoren afgeleid uit de gemeten wind op 10 meter hoogte. In de rechter figuur wordt de windvector op 400, 1000 en 2000 meter hoogte uit het HIRLAM model weergegeven, langs (doorgetrokken lijn) of haaks op (gestippelde lijn) de kustlijn. *Wind vectors related to bird movements along (light blue or line) and perpendicular to (dark blue or dashed line) the coastline, April 1999. Left figure: measured wind vectors at 10 m altitude. Right figure: wind vectors at 400, 1000 and 2000 m altitude, obtained from HIRLAM model.*

Van 20 tot 24 april waren de windvectoren gunstig voor trek parallel aan de kust naar het NNO. Op de 20^e heerste in de hogere luchtlagen een harde zuiden wind. Met uitzondering van 21 en 22 april waren de windomstandigheden ongunstig voor de oversteek van de Noordzee.



Foto 7 Soms sloegen de golven al over de Zuidpier, voordat we van de punt vertrokken waren. *Occasionally the pier was swept by huge waves before the pier was evacuated.*

Waargenomen vogelsoorten en aantallen

Het merendeel van de overdag gevolgde vliegpaden bestond uit de soortgroepen meeuwen & sterns, grote watervogels en grote vogels. Het ging om Kleine Mantelmeeuwen (21 exemplaren, 15 groepen), Zilvermeeuwen (217 exemplaren, 55 groepen), Kokmeeuwen (181 exemplaren, 16 groepen), Visdiefjes (305 exemplaren, 28 groepen), Zwarte Zee-eenden (21 exemplaren, 5 groepen) en Rotganzen (1800 exemplaren, 2 groepen). 's Nachts vlogen er voornamelijk Spreeuwen, lijsters spec. en grote watervogels.

Soortenverdeling naar hoogteklaas

Overdag bevond 67% van de opgenomen vliegpaden zich onder de 100 meter. Het overgrote deel van die vliegpaden betrof weer meeuwen en sterns (veel doortrek van visdiefen en kokmeeuwen). Boven de 100 meter waren de grote vogels en grote watervogels (eenden) weer relatief talrijk. 's Nachts vloog slechts 40% onder de 100 meter. De kleinere soortgroepen, vooral zangvogels en kleine watervogels vlogen boven de 100 meter. Van de vogels onder de 100 meter behoorde 70% tot de soortgroep meeuwen & sterns (vooral grote meeuwen).

Tijd	Soortgroep	N	Hoogte		Soortgroep	
			< 100m	> 100m	< 100m	> 100m
Dag	Totaal	818	67%	37%		
	Grote vogel	15	33%	67%	6%	7%
	Meeuw & Stern	196	70%	30%	86%	71%
	Grote watervogel	26	54%	46%	9%	14%
	Grote zangvogel	3		100%		4%
Nacht	Kleine zangvogel	3		100%		4%
	Totaal	683	40%	60%		
	Grote vogel	2	50%	50%	3%	1%
	Meeuw & Stern	27	78%	22%	70%	8%
	Grote watervogel	24	21%	79%	17%	26%
	Kleine watervogel	7		100%		9%
	Grote zangvogel	36	6%	94%	7%	46%
Kleine zangvogel	8	13%	87%	3%	9%	

Tabel 22 Soorten en vlieghoogten, naar dag en nacht, april 1999. Middelste kolom: hoogteverdelingen per soortgroep (horizontaal 100%). Vliegpaden van onbekende soorten zijn in het totaal opgenomen. Rechter kolom: soortgroepverdeling onder respectievelijk boven 100 meter hoogte (verticaal 100%). *Species and flight altitudes, by day and night, April 1999. Middle column: altitude distributions per species group (horizontally adding up to 100%). Unidentified tracks are included in the totals. Right column: species distribution below respectively above 100m altitude (vertically adding up to 100%).*

Vliegrichting

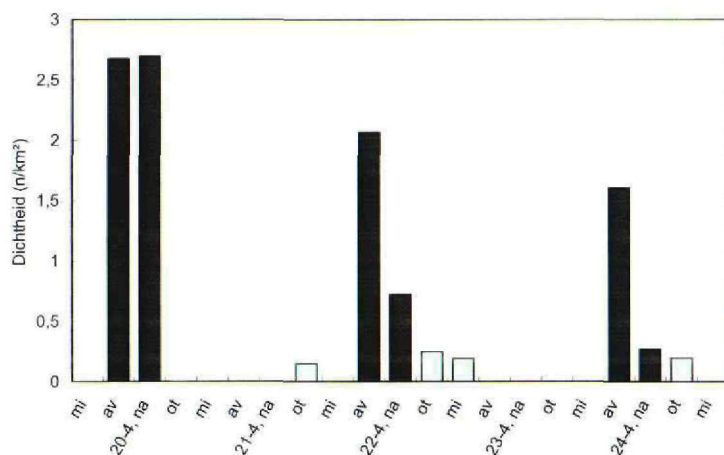
Zowel overdag als 's nachts overheerste de trek naar het noorden, parallel aan de kust. Alleen bij de soortgroep meeuwen & sterns leek een flink deel van de bewegingen lokaal (heen en weer vliegen tussen de broedkolonies en rustgebieden, foerageren op zee).

Tijd	Soortgroep	N	Langs kust NNO	Land in OZO	Langs kust ZZW	Zee in WNW	Richting
Dag	Grote vogel	15	13	1		1	
	Meeuw & Stern	196	104	23	25	44	
	Grote Watervogel	26	22		1	3	3°
	Grote zangvogel	3	3				
	Kleine zangvogel	3	2	1			
	Totaal	818	491	89	83	155	6°
Nacht	Grote vogel	2	2				
	Meeuw & Stern	27	12	11	2	2	55°
	Grote watervogel	24	18	1	3	2	
	Kleine watervogel	7	6	1			
	Grote zangvogel	39	33	5	1		33°
	Kleine zangvogel	10	9	1			
	Totaal	693	493	110	52	38	30°

Tabel 23 Voorkomen van vliegrichtingen voor verschillende soortgroepen, gesplitst naar dag/nacht, april 1999. Gebaseerd op dagen en nachten met meer dan 25 groepen en één overheersende, significante vliegrichting. *Occurrence of flight directions by day and night, April 1999. Based on days and nights with more than 25 tracks yielding an unimodal distribution and a significant mean direction.*

Elevatiescans

De piekdichtheden in deze maand zijn waargenomen in de avonden en de daaropvolgende nachten van 19, 21 en 23 april.



Figuur 32 2D-Dichtheid (echo's/km²) boven 100 meter in april 1999. De dichtheden zijn gebaseerd op de verticale scan (kijkrichting 284°) en gesplitst naar nacht, ochtend, middag en avond. Wanneer de trek uit of naar zee is waargenomen zijn tevens de dichtheden van de verticale scan, kijkrichting 194°, door een • weergegeven. Alleen dagdelen met één dominante, significante vliegrichting zijn weergegeven. *2D-density (echoes per km²) above 100m altitude in April 1999. Densities are based on the vertical scan towards 284° and grouped by night, morning, noon and evening. When bird movements from or towards the sea were observed, the results of the vertical scan towards 194° are also presented and marked with a dot. Only day parts with a unimodal distribution and a significant mean flight direction are presented.*

In de nacht van 19 op 20 april werden vooral grote watervogels herkend in de AGC-patronen. In de nacht van 21 op 22 april leken juist vooral grote zangvogels te vliegen. Van de laatste treknacht, 23 op 24 april, waren onvoldoende gegevens beschikbaar. Zowel op 22 als op 24 april waren overdag de meeuwen en sterns dominant. Opvallend waren daarbij de groepen Visdiefjes, die tot op enkele 100^{en} meters hoogte naar het NNO trokken.

Datum	Tijd	Kijkrichting	Dichtheid			Vliegrichting
			2-D (n/km ²)	Maximum (n/km ³)	Hoogte max. dichtheid (m)	Gemiddeld (graden)
19-4-99	Avond	284°	2,7	4,5	1450	9
20-4-99	Nacht	284°	2,7	4,4	1350	15
21-4-99	Ochtend	284°	0,1	0,5	650	15
	Avond	284°	2,1	2,8	450	18
22-4-99	Nacht	284°	0,7	1,9	250	22
	Ochtend	284°	0,3	1,0	150	14
	Middag	284°	0,2	1,0	150	17
23-4-99	Avond	284°	1,6	1,8	1150	25
24-4-99	Nacht	284°	0,3	0,6	650	38
	Ochtend	284°	0,2	1,0	150	6

Tabel 24 Dichtheden en vlieghoogten boven de 100 meter in april 1999, gebaseerd op de verticale scan. Standaard is haaks op de kustlijn gemeten (kijkrichting 284°). Wanneer trek uit of naar zee is waargenomen zijn de gegevens gearceerd en waar beschikbaar zijn bovendien de gegevens uit de verticale scan evenwijdig aan de kustlijn (kijkrichting 194°) weergegeven. Van links naar rechts zijn weergegeven: de totale dichtheid in echo's per km², de maximale dichtheid in echo's/km³, de bijbehorende hoogtelaaag en de gemiddelde vliegrichting. Alleen dagdelen met één dominante, significante vliegrichting zijn weergegeven. *Densities and flight altitudes above 100m altitude in April 1999, based on the vertical scan. Standard vertical scans are directed perpendicular to the coastline, towards 284°. When bird movements from or towards the sea were observed, the results are hatched and also the results of vertical scans parallel to the coastline are given. From left to right: the overall density in echoes per km², the maximum density in echoes per km³, the altitude with the maximum density and the mean track direction.*

Op 19 april 's avonds en de daaropvolgende nacht waren echo's duidelijk geconcentreerd tussen 1000 en 1500 meter hoogte, met pieken van 4,5 echo's per km³ op 1400 -1500 meter en 4,4 op 1300-1400 meter hoogte. Dit had vooral te maken met ongunstige winden in de onderste 1000 meter. De grootste dichtheden kwamen voor op de hoogte waarop de windvector positief werd (uitgaande van een NNO-voorkeursrichting). In de avond van 21 april en de daaropvolgende nacht werd het gros van de echo's relatief laag waargenomen, met pieken van respectievelijk 2,8 echo's per km³ op 400-500 meter en 1,9 echo's per km³ op 200-300 meter hoogte. De wind woei op al deze hoogtes in de rug (bij NNO trek langs de kust). 23 april waren 's avonds twee hoogtebanden zichtbaar, met pieken van 1,5 echo per km³ op 500-600 meter en 1,8 echo per km³ op 1100-1200 meter hoogte. In alle gevallen vlogen 's avonds meer vogels op grote hoogte dan in de daaropvolgende nachten en ochtenden. Uit de gelijktijdig opgenomen vliegpaden bleek dat de gemiddelde vliegrichtingen in alle gevallen NNO gericht waren, dus evenwijdig aan de kust. Met deze vliegrichtingen zijn de gemiddelde dichtheden bepaald (Tabel 25).

Aangezien alleen echo's tussen 1,5 en 6 km vanaf de radar zijn meegenomen in de analyse levert ieder scan slechts drie afstandsklassen op. Op 22 april 's middags echter zijn de metingen verplaatst van het strand naar de punt van de pier, waardoor ook metingen van de verste afstandsklasse beschikbaar kwamen.

Datum	Tijd	afstand tot de kust (km)			
		2½ - 4	4 - 5½	5½ - 7	7 - 8½
19-04-99	Avond	3,12	2,97	2,01	
20-04-99	Nacht	5,70	1,83	0,83	
21-04-99	Ochtend	0,14	0,31	0	
	Avond	2,94	1,95	1,29	
22-04-99	Nacht	1,30	0,64	0,25	
	Ochtend	0,39	0,31	0,05	
	Middag	0,09	0,25	0,14	0,09
23-04-99	Avond		2,93	1,28	0,64
24-04-99	Nacht		0,60	0,12	0,08
	Ochtend		0,30	0,23	0,06
19/24-04	Nacht	100%	44%	17%	1%
	Ochtend	57%	100%	31%	8%
	Middag	37%	100%	54%	36%
	Avond	77%	100%	58%	8%

Tabel 25 2D-dichtheden boven de 100 meter in relatie tot de afstand uit de kust in april 1999, gebaseerd op de verticale scans. Boven: Dichtheden per dagdeel in echo's per km². Onder: Verdeling van dichtheden per week, uitgedrukt in procenten van de maximale gemiddelde dichtheid. Alleen dagdelen met één dominante, significante vliegrichting zijn gebruikt. Dagdelen waarbij de vliegrichting min of meer haaks op de kustlijn stond, hetgeen een minder betrouwbare gradiënt oplevert, zijn gearceerd. *2D-densities on different distances from the coastline, above 100m altitude in April 1999, based on the vertical scans. a) Densities per part of day, in echoes per km². b) Mean weekly density distributions, as a percentage from the maximum mean density. Only day parts with a unimodal distribution and a significant mean flight direction are used. Day parts with a dominant flight direction more or less perpendicular to the coastline, yielding less reliable density measurements, are hatched.*

Alle drie de avonden en opeenvolgende nachten met trek vertoonden een duidelijk negatief verband tussen de dichtheid en de afstand tot de kust. Opvallend is bovendien dat die afname 's avonds minder sterk was dan in de nacht erna. Over de gehele week bekeken was de dichtheidsgradiënt boven de 100 meter sterker dan onder de 100 meter aan de kust gebonden. De dichtheidsgradiënt was het sterkst op de avond van de 21^e, toen de zangvogels domineerden.

Over de gehele week bekeken namen de dichtheden na 7 km snel af tot minder dan 10% van het maximum.

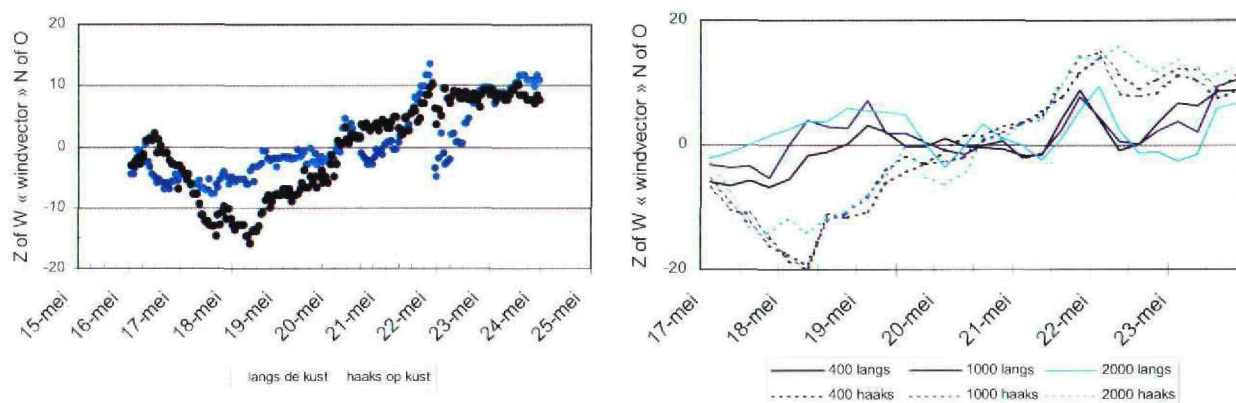
8.1.5 Mei

Meetperiode

De metingen startten op 17 mei aan het begin van de avond. Ondanks de harde oostenwind werd alles op de punt van de pier opgebouwd, waar we vervolgens de hele week bleven staan. De meetweek eindigde vroeg in de ochtend van de 23^e, getriggerd door de harde ZW-wind.

Meteo

Vanaf de 15^e hield een noordstroming van koude lucht stand aan de oostflank van een hoge druk-gordel met centra ten westen van Ierland en voor de Noorse kust. Overdag werd het ondanks veel zon niet warmer dan ca 14° C. Aan het begin van de meetweek trok het hogedrukgebied van Noorwegen naar Polen en ontstond een depressie boven de Golf van Biskaje. In onze omgeving ruimde de wind naar het oosten. Hierdoor werd op de 17^e zeer droge lucht aangevoerd, waarin vrijwel geen bewolking voorkwam. Op de 18^e trok het warmtefront van de depressie boven de Golf van Biskaje langzaam noordwaarts. Hierdoor liet de zon boven het zuiden van het land verstek gaan, er viel van tijd tot tijd lichte regen en het werd ca. 17° C. In het noorden daarentegen was het vrijwel onbewolkt, met maximumtemperaturen van 20 tot 22° C. In de loop van de 19^e steeg, met veel zon, de temperatuur tot 23° C. 's Avonds nam de onstabieliteit boven ZW-Nederland sterk toe, met zware buien tot gevolg, waaruit plaatselijk ruim 40 mm neerslag viel. Op de 20^e bevond ons land zich in een vlak lagedrukgebied. Door de zeer onstabiele atmosfeer, kwamen plaatselijk flinke buien tot ontwikkeling. Tot aan de 24^e stond het weer vervolgens onder invloed van een actieve depressie bij IJsland. Met een overwegende zuidweststroming werd lucht aangevoerd, waarin naast wolkenvelden ook flinke zonnige perioden voorkwamen. Van tijd tot tijd viel er lichte regen en/of motregen, maar de hoeveelheden waren gering. De temperaturen waren met maxima van 17 tot 19 °C en minima van 9 tot 11°C iets boven normaal (maandoverzicht mei 1999, KNMI 1999).



Figuur 33 Windvectoren (m/s) ten opzichte van trek langs respectievelijk haaks op de kust, mei 1999, IJmuiden. In de linker figuur zijn de windvectoren afgeleid uit de gemeten wind op 10 meter hoogte. In de rechter figuur wordt de windvector op 400, 1000 en 2000 meter hoogte uit het HIRLAM model weergegeven, langs (doorgetrokken lijn) of haaks op (gestippelde lijn) de kustlijn. *Wind vectors related to bird movements along (light blue or line) and perpendicular to (dark blue or dashed line) the coastline, May 1999. Left figure: measured wind vectors at 10 m altitude. Right figure: wind vectors at 400, 1000 and 2000 m altitude, obtained from HIRLAM model.*

Voor aankomst over zee zouden de windvectoren vanaf de 21^e positief zijn geweest, ware het niet dat dat in deze tijd van het jaar al vrijwel niet meer voorkomt. Voor trek parallel aan de kust waren de windvectoren tot en met de 19^e niet geschikt voor trek in NNO richting. In de hogere luchtlagen en vanaf de 20^e ook op lage hoogte waren de trekomstandigheden beter. In het algemeen waren de buien en de toegenomen bewolking vanaf de 20^e verre van ideaal voor de vogeltrek.

Waargenomen vogelsoorten en aantallen

Deze maand kon een redelijk uitgebreide soortenlijst worden samengesteld. Overdag werden veel grote vogels, uiteraard meeuwen & sterns en kleine en grote watervogels waargenomen. De belangrijkste soorten die door de radar werden gevolgd zijn: Aalscholvers (81 exemplaren, 41 groepen), Rotganzen (1716 exemplaren, 26 groepen), Kleine Mantelmeeuwen (91 exemplaren, 82 groepen), Zilvermeeuwen (439 exemplaren, 223 groepen), Bontbekplevieren (29 exemplaren, 5

groepen), Rosse Grutto's (119 exemplaren, 3 groepen), Zilverplevieren (49 exemplaren, 4 groepen) en Zwarte Zee-eenden (112 exemplaren, 5 groepen). Daarnaast werden veel ongedetermineerde steltlopers (384 exemplaren, 44 groepen) waargenomen, wat erop duidt dat goede steltloper trek niet heeft ontbroken.

Soortenverdeling naar hoogteklasse

Overdag vloog het merendeel (85%) van de vogelgroepen onder de 100 meter. Dit betrof met name grote vogels (voornamelijk Aalscholvers en Rotganzen) en meeuwen & sterns. Boven de 100 meter werden naast de grote aantallen meeuwen & sterns ook grote watervogels (voornamelijk groepen steltlopers) waargenomen. In de nacht kwam een heel ander beeld naar voren. Hoewel nog steeds maar liefst 69% onder de 100 meter vloog (allemaal meeuwen & sterns), werden diverse soortgroepen hoofdzakelijk boven 100 meter hoogte geregistreerd: grote vogels, grote watervogels (steltlopers) en alle kleinere soorten (watervogels en zangvogels).

Tijd	Soortgroep	N	Hoogte		Soortgroep	
			< 100m	> 100m	< 100m	> 100m
Dag	Totaal	1555	85%	15%		
	Grote vogel	76	100%		12%	
	Meeuw & Stern	631	88%	12%	85%	74%
	Grote watervogel	47	40%	60%	3%	26%
	Kleine zangvogel	1	100%		0%	
Nacht	Totaal	749	69%	31%		
	Grote vogel	18	33%	67%	6%	19%
	Meeuw & Stern	93	86%	14%	83%	21%
	Grote watervogel	39	26%	74%	11%	46%
	Kleine watervogel	4		100%		6%
	Grote zangvogel	1		100%		2%
	Kleine zangvogel	2		100%		3%
	Glerzwaluw	2		100%		3%

Tabel 26 Soorten en vlieghoogten, naar dag en nacht, mei 1999. Middelste kolom: hoogteverdelingen per soortgroep (horizontaal 100%). Vliegpaden van onbekende soorten zijn in het totaal opgenomen. Rechter kolom: soortgroepverdeling onder respectievelijk boven 100 meter hoogte (verticaal 100%). *Species and flight altitudes, by day and night, May 1999. Middle column: altitude distributions per species group (horizontally adding up to 100%). Unidentified tracks are included in the totals. Right column: species distribution below respectively above 100m altitude (vertically adding up to 100%).*

Vliegrichting

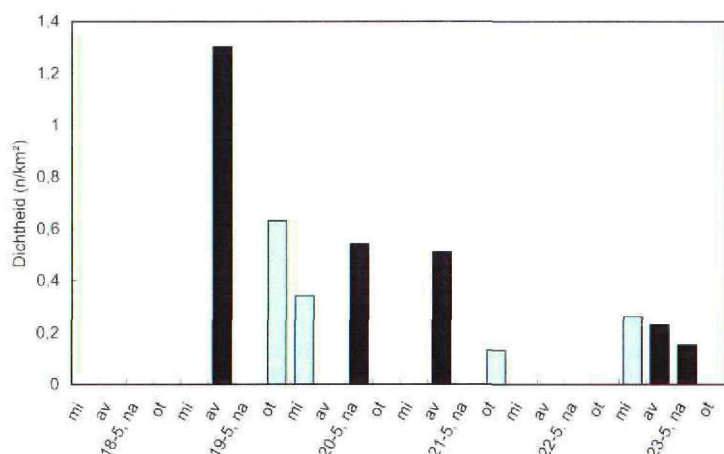
De vliegrichting parallel aan de kust was zowel overdag als 's nachts dominant aanwezig. De soortgroep meeuwen & sterns vertoonde overdag een tweedeling in de vliegrichting, veroorzaakt door het heen en weer vliegen tussen de broedkolonies, rustgebieden en foerageerplekken op zee.

Tijd	Soortgroep	N	Langs kust	Land in	Langs kust	Zee in	Richting
			NNO	OZO	ZZW	WNW	
Dag	Grote vogel	76	38	8	18	12	n.s.
	Meeuw & Stern	631	150	160	122	199	-
	Grote Watervogel	47	41		2	4	8°
	Kleine zangvogel	1		1			
	Totaal	1555	508	362	320	365	23°
Nacht	Grote vogel	18	15		3		
	Meeuw & Stern	94	42	16	17	19	18°
	Grote watervogel	40	19	10	8	3	n.s.
	Kleine watervogel	4	3	1			
	Grote zangvogel	1	1				
	Kleine zangvogel	2	1			1	
Totaal	754	370	144	114	126	22°	

Tabel 27 Voorkomen van vliegrichtingen voor verschillende soortgroepen, gesplitst naar dag/nacht, mei 1999. Gebaseerd op dagen en nachten met meer dan 25 groepen en één overheersende, significante vliegrichting. *Occurrence of flight directions by day and night, May 1999. Based on days and nights with more than 25 tracks yielding an unimodal distribution and a significant mean direction.*

Elevatiescans

Deze maand zijn geen hele grote dichtheden waargenomen. De hoogste dichtheden van deze week zijn waargenomen in de avond van de 18^e. Ook in de nacht van de 20^e en de daarop volgende avond is enige trek waargenomen, maar in dichtheden van minder dan 1 echo per km². De hoogste dichtheid overdag is gemeten in de ochtend van de 20^e.



Figuur 34 2D-Dichtheid (echo's/km²) boven 100 meter in mei 1999. De dichtheden zijn gebaseerd op de verticale scan (kijkrichting 284°) en gesplitst naar nacht, ochtend, middag en avond. Wanneer de trek uit of naar zee is waargenomen zijn tevens de dichtheden van de verticale scan, kijkrichting 194°, door een • weergegeven. Alleen dagdelen met één dominante, significante vliegrichting zijn weergegeven. 2D-density (echoes per km²) above 100m altitude in May 1999. Densities are based on the vertical scan towards 284° and grouped by night, morning, noon and evening. When bird movements from or towards the sea were observed, the results of the vertical scan towards 194° are also presented and marked with a dot. Only day parts with a unimodal distribution and a significant mean flight direction are presented.

In de eerste dagen werd het beeld gedomineerd door de soortgroep grote watervogels. Dit waren waarschijnlijk voornamelijk steltlopers. In de loop van de week nam het aandeel grote vogels (Rotganzen en Aalscholvers) toe. Ook nam het aandeel NNO trek in de loop van de week toe van 30% aan het begin van de sessie tot 70% in de laatste twee dagen.

Op 18 mei 's avonds was de trek geconcentreerd rond de 2000 km hoogte. De piekdichtheid van 2,0 echo's per km³ tussen de 2000 en 2100 meter hoogte illustreert dit. De windvector langs de kustlijn draaide van een lichte tegenwind (1 m/s) in de onderste 100^{en} meters tot een meewindvector van 6 m/s tussen 1500 en 2500 meter hoogte. De hoogteverdeling paste zich hierbij aan, resulterend in een toenemende dichtheid tot 2000 meter hoogte.

Datum	Tijd	Kijkrichting	Dichtheid			Vliegrichting	
			2-D (n/km ²)	Maximum (n/km ³)	Hoogte max. dichtheid (m)	Gemiddeld (graden)	
18-5-99	Avond	284°	1,3	2,0	2050	327	
19-5-99	Ochtend	284°	0,6	1,6	150	15	
	Middag	284°	0,3	1,1	150	341	
20-5-99	Nacht	284°	0,5	1,1	1250	32	
	Avond	284°	0,5	0,6	1350	29	
21-5-99	Ochtend	284°	0,1	0,6	150	13	
22-5-99	Middag	284°	0,3	1,7	150	75	
	Avond	284°	0,2	0,8	150	31	
23-5-99	Nacht	284°	0,2	1,0	150	26	

Tabel 28 Dichtheden en vlieghoogten boven de 100 meter in mei 1999, gebaseerd op de verticale scan. Standaard is haaks op de kustlijn gemeten (kijkrichting 284°). Wanneer trek uit of naar zee is waargenomen zijn de gegevens gearceerd en waar beschikbaar zijn bovendien de gegevens uit de verticale scan evenwijdig aan de kustlijn (kijkrichting 194°) weergegeven. Van links naar rechts zijn weergegeven: de totale dichtheid in echo's per km², de maximale dichtheid in echo's/km³, de bijbehorende hoogtelaaag en de gemiddelde vliegrichting. Alleen dagdelen met één dominante, significante vliegrichting zijn weergegeven. Densities and flight altitudes above 100m altitude in May 1999, based on the vertical scan. Standard vertical scans are directed perpendicular to the coastline, towards 284°. When bird movements from or towards the sea were observed, the results are hatched and also the results of vertical scans parallel to the coastline are given. From left to right: the overall density in echoes per km², the maximum density in echoes per km³, the altitude with the maximum density and the mean track direction.

Datum	Tijd	afstand tot de kust (km)			
		2½ - 4	4 - 5½	5½ - 7	7 - 8½
18-5-99	Avond		1,63	1,11	1,24
19-5-99	Ochtend		0,90	0,56	0,44
	Middag		0,41	0,23	0,34
20-5-99	Nacht		0,92	0,34	0,34
	Avond		1,18	0,40	0,08
21-5-99	Ochtend		0,09	0,13	0,19
22-5-99	Middag		0,20	0,37	0,20
	Avond		0,48	0,12	0,10
23-5-99	Nacht		0,34	0,07	0,05
17/23-5	Nacht		100%	33%	31%
	Ochtend		100%	68%	62%
	Middag		100%	97%	82%
	Avond		100%	49%	43%

Tabel 29 2D-dichtheden boven de 100 meter in relatie tot de afstand uit de kust in mei 1999, gebaseerd op de verticale scans. Boven: Dichtheden per dagdeel in echo's per km². Onder: Verdeling van dichtheden per week, uitgedrukt in procenten van de maximale gemiddelde dichtheid. Alleen dagdelen met één dominante, significante vliegrichting zijn gebruikt. Dagdelen waarbij de vliegrichting min of meer haaks op de kustlijn stond, hetgeen een minder betrouwbare gradiënt oplevert, zijn gearceerd. *2D-densities on different distances from the coastline, above 100m altitude in May 1999, based on the vertical scans. a) Densities per part of day, in echoes per km². b) Mean weekly density distributions, as a percentage from the maximum mean density. Only day parts with a unimodal distribution and a significant mean flight direction are used. Day parts with a dominant flight direction more or less perpendicular to the coastline, yielding less reliable density measurements, are hatched.*

De dichtheidsgradiënt vanuit de kust was 's avonds en 's nachts sterker dan overdag. Tussen 7 en 8½ km afstand waren overdag nog steeds hoge dichtheden aanwezig, 62-82% ten opzichte van het maximum (bij 4 tot 5½ km). Hier is dus niet echt sprake van een dichtheidsgradiënt, de dichtheden blijven hoog!

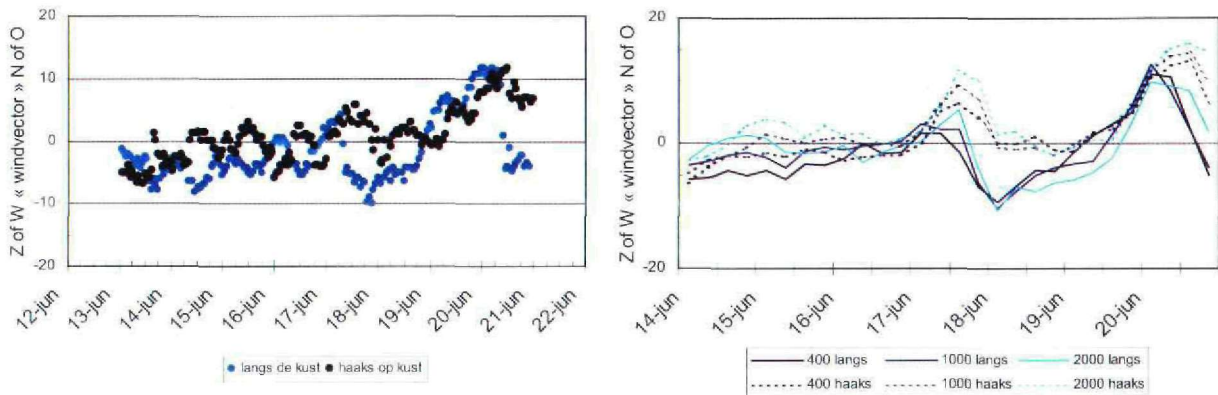
8.1.6 Juni

Meetperiode

Vanaf 's middags 14 juni tot in de ochtend van de 18^e zijn metingen vanaf de punt van de pier uitgevoerd.

Meteo

Vanaf 12 juni ontwikkelde zich een hogedrukgebied boven de Duitse bocht. Dit hogedrukgebied handhaafde zich aan het begin van de meetweek en kreeg verbinding met het hogedrukgebied ten noordoosten van de Azoren. Boven land ontstonden regelmatig onweersbuien, maar aan de kust bleef het droog. Op 15 en 16 juni was het rustig, droog en zeer zonnig zomerweer, waarbij op veel plaatsen de 25° C werd overschreden. In de loop van 17 juni trok een koufront met bewolking en enige lichte regen via ons land zuidwaarts. Hoewel het koufront direct gevolgd werd door een krachtige rug van hoge druk duurde het op de 18^e tot in de middag voordat de zon zich weer liet zien. Met veel bewolking en een noordenwind werd het niet warmer dan 16 tot 18° C (maandoverzicht juni 1999, KNMI 1999).



Figuur 35 Windvectoren (m/s) ten opzichte van trek langs respectievelijk haaks op de kust, juni 1999, IJmuiden. In de linker figuur zijn de windvectoren afgeleid uit de gemeten wind op 10 meter hoogte. In de rechter figuur wordt de windvector op 400, 1000 en 2000 meter hoogte uit het HIRLAM model weergegeven, langs (doorgetrokken lijn) of haaks op (gestippelde lijn) de kustlijn. Wind vectors related to bird movements along (light blue or line) and perpendicular to (dark blue or dashed line) the coastline, June 1999. Left figure: measured wind vectors at 10 m altitude. Right figure: wind vectors at 400, 1000 and 2000 m altitude, obtained from HIRLAM model.

Vogeltrek mogen we in deze tijd van het jaar niet echt meer verwachten. Wel zou onder invloed van oostenwind de eerste najaarstrek van Kieviten en Spreeuwen kunnen plaatsvinden. Tot en met de 16^e waren de windvectoren positief voor trek naar het ZZW of W, de zee in. Daarna nam de temperatuur af en de bewolking toe en waren de omstandigheden niet optimaal meer.

Waargenomen vogelsoorten en aantallen

De voorjaarstrek was duidelijk voorbij. In de ochtend en avonduren werden enkele groepen Kieviten (576 exemplaren, 10 groepen) en Spreeuwen (732 exemplaren, 12 groepen) waargenomen. Het overgrote deel van de vliegpaden betrof de soortgroep meeuwen & sterns: Kleine Mantelmeeuwen (231 exemplaren, 192 groepen), Kokmeeuwen (16 exemplaren, 9 groepen), Visdiefjes (11 exemplaren, 8 groepen) en Zilvermeeuwen (272 exemplaren, 138 groepen). Enkele groepen Aalscholvers, Bergeenden en Zwarte zee-eenden complementeerden het dagbeeld. In de nachten werden regelmatig Gierzwaluwen boven zee vastgesteld (34 groepen).

Tijdens de panoramatellingen van 16 en 17 juni (20 in totaal) werden vooral grote aantallen meeuwen & sterns waargenomen: meeuw spec. (3784 exemplaren, 96% van het totaal) en stern spec. (71 exemplaren, 2%).

Soortenverdeling naar hoogteklaas

Het merendeel van alle vliegpaden (85% overdag en 82% 's nachts) bevond zich onder de 100 meter hoogte. Zowel overdag als 's nachts betrof dit meeuwen & sterns. Boven de 100 meter werden overdag naast meeuwen en sterns ook grote watervogels (Kieviten) en grote zangvogels (Spreeuwen)

waargenomen. In de nacht is een breder scala aan vogelsoorten waargenomen, echter geen grote aantallen.

Tijd	Soortgroep	N	Hoogte		Soortgroep	
			< 100m	> 100m	< 100m	> 100m
Dag	Totaal	933	85%	15%		
	Grote vogel	16	88%	12%	3%	2%
	Meeuw & Stern	575	89%	11%	94%	75%
	Grote watervogel	22	55%	45%	2%	11%
	Kleine watervogel	1	100%		0%	
	Grote zangvogel	13	31%	69%	1%	10%
	Kleine zangvogel	1		100%		1%
Nacht	Gierzwaluw	1		100%		1%
	Totaal	322	82%	18%		
	Grote vogel	15	60%	40%	6%	24%
	Meeuw & Stern	117	97%	3%	86%	12%
	Grote watervogel	11	46%	54%	4%	24%
	Kleine watervogel	4	50%	50%	2%	8%
	Grote zangvogel	5	20%	80%	1%	16%
Gierzwaluw	5	20%	80%	1%	16%	

Tabel 30 Soorten en vlieghoogten, naar dag en nacht, juni 1999. Middelste kolom: hoogteverdelingen per soortgroep (horizontaal 100%). Vliegpaden van onbekende soorten zijn in het totaal opgenomen. Rechter kolom: soortgroepverdeling onder respectievelijk boven 100 meter hoogte (verticaal 100%). *Species and flight altitudes, by day and night, June 1999.* Middle column: altitude distributions per species group (horizontally adding up to 100%). Unidentified tracks are included in the totals. Right column: species distribution below respectively above 100m altitude (vertically adding up to 100%).

Vliegrichtingen

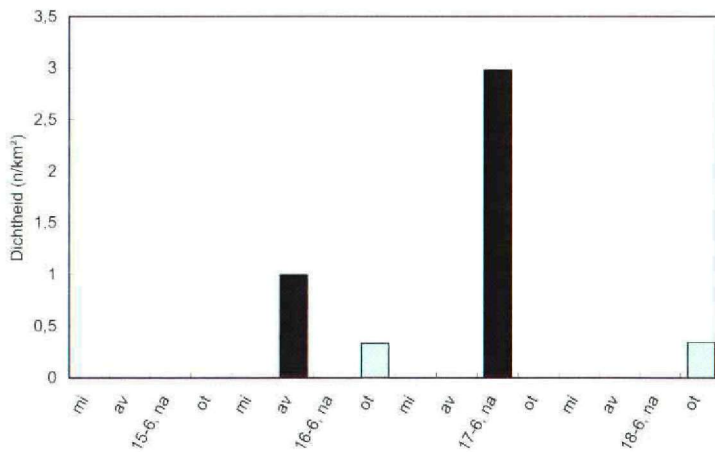
Het merendeel van de bewegingen betrof lokale bewegingen van meeuwen & sterns. Overdag was weer duidelijk zichtbaar dat vogels heen en vlogen tussen de broed- en rustgebieden en open zee. In de nachten waren meer bewegingen ZZW gericht, waarschijnlijk ook van vogels die naar open zee uitvlogen.

Tijd	Soortgroep	N	Langs kust	Land in	Langs kust	Zee in	Richting
			NNO	OZO	ZZW	WNW	
Dag	Grote vogel	16	5	4	5	2	
	Meeuw & Stern	577	46	146	186	199	-
	Grote watervogel	22	8	1	10	3	
	Kleine watervogel	1				1	
	Grote zangvogel	13		1	12		
	Kleine zangvogel	1			1		
	Gierzwaluw	1	1				
Nacht	Totaal	937	89	238	343	267	-
	Grote vogel	21	4	4	7	6	
	Meeuw & Stern	125	16	24	44	41	218°
	Grote watervogel	15	8	1	4	2	
	Kleine watervogel	6	1		3	2	
	Grote zangvogel	11	2		7	2	
	Gierzwaluw	34	10	10	6	8	n.s.
Totaal	401	65	68	160	108	217°	

Tabel 31 Voorkomen van vliegrichtingen voor verschillende soortgroepen, gesplitst naar dag/nacht, juni 1999. Gebaseerd op dagen en nachten met meer dan 25 groepen en één overheersende, significante vliegrichting. *Occurrence of flight directions by day and night, June 1999. Based on days and nights with more than 25 tracks yielding an unimodal distribution and a significant mean direction.*

Elevatiescans

In juni was meestal geen éénduidige vliegrichting aanwezig, zodat de elevatiescan nauwelijks kon worden geanalyseerd. Alleen in de nacht van 17 juni en in mindere mate in de nacht van 15 juni zijn met de elevatiescans dichtheden van enige betekenis waargenomen.



Figuur 36 2D-Dichtheid (echo's/km²) boven 100 meter in juni 1999. De dichtheden zijn gebaseerd op de verticale scan (kijkrichting 284°) en gesplitst naar nacht, ochtend, middag en avond. Wanneer de trek uit of naar zee is waargenomen zijn tevens de dichtheden van de verticale scan, kijkrichting 194°, door een • weergegeven. Alleen dagdelen met één dominante, significante vliegrichting zijn weergegeven. *2D-density (echoes per km²) above 100m altitude in June 1999. Densities are based on the vertical scan towards 284° and grouped by night, morning, noon and evening. When bird movements from or towards the sea were observed, the results of the vertical scan towards 194° are also presented and marked with a dot. Only day parts with a unimodal distribution and a significant mean flight direction are presented.*

In de nacht van 17 juni (inclusief de voorafgaande avond) betrof meer dan 30% van de vliegpaden Gierzwaluwen (allen boven zee opgepikt). De nacht van 15 juni bevatte een groter scala aan soortgroepen.

Datum	Tijd	Kijkrichting	Dichtheid			Vliegrichting	
			2-D (n/km ²)	Maximum (n/km ³)	Hoogte max. dichtheid (m)	Gemiddeld (graden)	
15-6-99	Avond	284°	0,9	1,7	250	248	
16-6-99	Ochtend	284°	0,3	2,2	150	222	
17-6-99	Nacht	284°	3,0	4,9	250	56	
18-6-99	Ochtend	284°	0,3	2,6	150	197	

Tabel 32 Dichtheden en vlieghoogten boven de 100 meter in juni 1999, gebaseerd op de verticale scan. Standaard is haaks op de kustlijn gemeten (kijkrichting 284°). Wanneer trek uit of naar zee is waargenomen zijn de gegevens gearceerd en waar beschikbaar zijn bovendien de gegevens uit de verticale scan evenwijdig aan de kustlijn (kijkrichting 194°) weergegeven. Van links naar rechts zijn weergegeven: de totale dichtheid in echo's per km², de maximale dichtheid in echo's/ km³, de bijbehorende hoogtelaag en de gemiddelde vliegrichting. Alleen dagdelen met één dominante, significante vliegrichting zijn weergegeven. *Densities and flight altitudes above 100m altitude in June 1999, based on the vertical scan. Standard vertical scans are directed perpendicular to the coastline, towards 284°. When bird movements from or towards the sea were observed, the results are hatched and also the results of vertical scans parallel to the coastline are given. From left to right: the overall density in echoes per km², the maximum density in echoes per km³, the altitude with the maximum density and the mean track direction.*

In de nacht van de 17^e namen de echo-aantallen langzaam af tot 1600 meter hoogte. De hoogste dichtheid (3,0 echo's per km³) bevond zich tussen 200 en 300 meter. De NO vliegrichting werd mogelijk veroorzaakt door de van ZZW naar W draaiende wind.

Datum	Tijd	afstand tot de kust (km)			
		2½ - 4	4 - 5½	5½ - 7	7 - 8½
15-6-99	Avond		1,27	1,04	0,67
16-6-99	Ochtend		0,57	0,30	0,11
17-6-99	Nacht		4,77	3,44	0,75
18-6-99	Ochtend		0,58	0,27	0,18
14/18-6	Nacht		100%	72%	16%
	Ochtend		100%	49%	25%
	Avond		100%	82%	53%

Tabel 33 2D-dichtheden boven de 100 meter in relatie tot de afstand uit de kust in juni 1999, gebaseerd op de verticale scans. Boven: Dichtheden per dagdeel in echo's per km². Onder: Verdeling van dichtheden per week, uitgedrukt in procenten van de maximale gemiddelde dichtheid. Alleen dagdelen met één dominante, significante vliegrichting zijn gebruikt. Dagdelen waarbij de vliegrichting min of meer haaks op de kustlijn stond, hetgeen een minder betrouwbare gradiënt oplevert, zijn gearceerd. *2D-densities on different distances from the coastline, above 100m altitude in June 1999, based on the vertical scans. a) Densities per part of day, in echoes per km². b) Mean weekly density distributions, as a percentage from the maximum mean density. Only day parts with a unimodal distribution and a significant mean flight direction are used. Day parts with a dominant flight direction more or less perpendicular to the coastline, yielding less reliable density measurements, are hatched.*

De dichtheidsgradiënt vanaf de kust was in alle dagdelen aanwezig. In de nacht van 17 juni was de gradiënt zeer scherp. In deze nacht zijn vooral Gierzwaluwen waargenomen. Die zijn slechts tot 4 kilometer vanaf de Flycatcher zichtbaar, vandaar de scherpe afname in de afstandsklasse 7 - 8½ km. Overdag vindt een geleidelijke afname plaats.

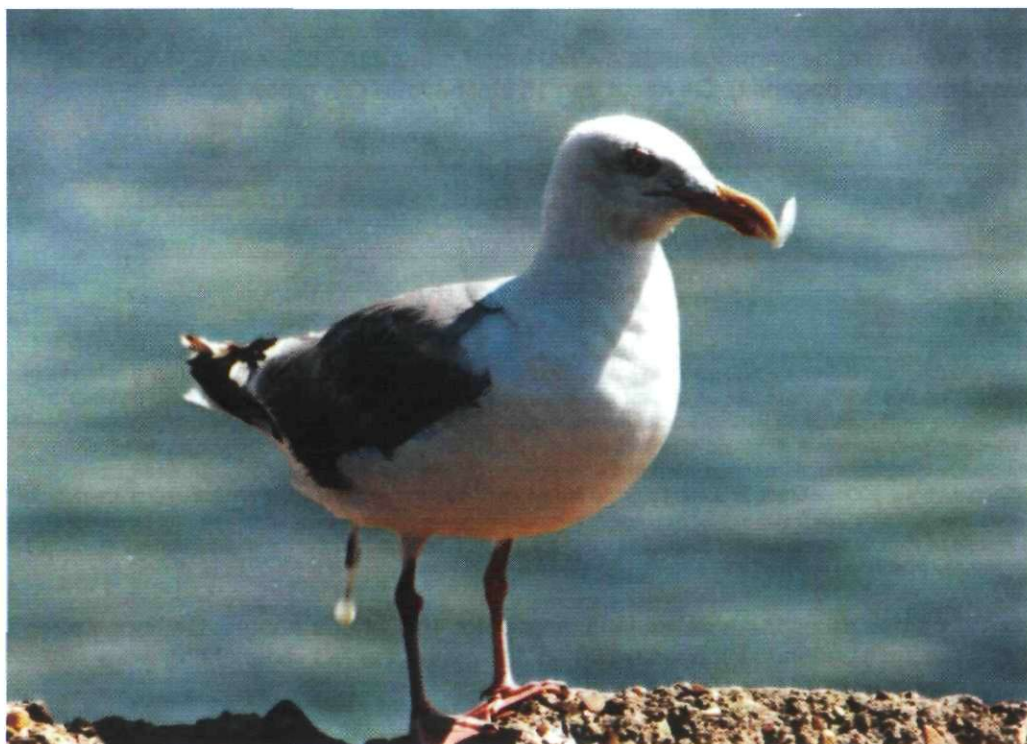


Foto 8 Volwassen Zilvermeeuw op de zuidpier van IJmuiden, juni 1999. *Adult Herring Gull at the southern pier of IJmuiden, June 1999.*

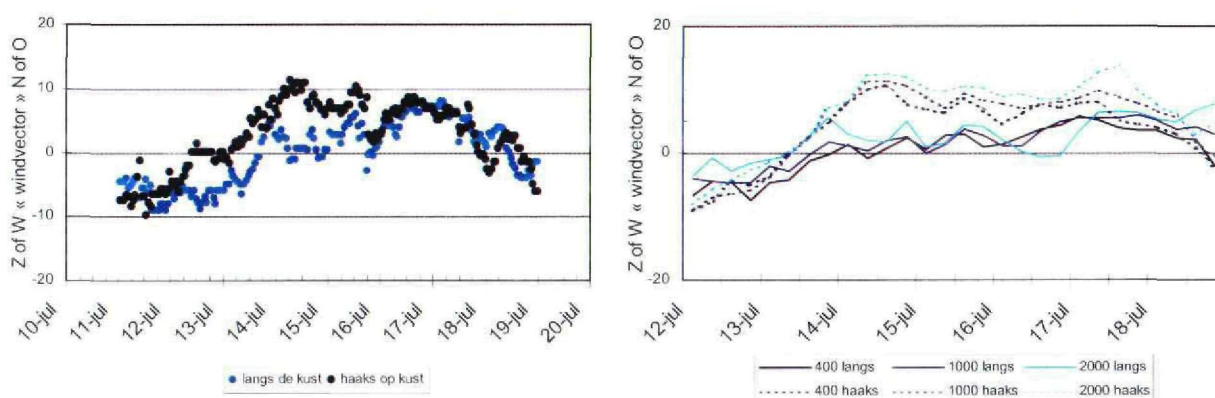
8.1.7 Juli

Meetperiode

Vanaf 12 juli 's avonds tot en met middernacht van 15 op 16 juli werden waarnemingen verricht op de punt van de pier. Op vrijdagochtend de 16^e zijn de metingen gestaakt.

Meteo

Voorafgaand aan de meetsessie ontwikkelde zich een gordel van hoge druk, die zich uitstrekte van de Baltische Staten via de noordelijke Noordzee naar het hogedrukgebied nabij de Azoren. Tussen deze gordel van hogedruk en een vlak lagedrukgebied boven de Middellandse Zee werd met een overwegende noordooststroming droge lucht aangevoerd. Het was zeer warm, met maxima van 27° C op de 12^e. Op de 13^e, om 00:00 UTC, bevond zich boven Duitsland een vlak lagedrukgebied, dat zich noordwaarts verplaatste. Door verdere drukdalingen konden depressies hun invloed tot boven West-Europa uitbreiden, waardoor het weer een wisselvallig karakter kreeg. In de loop van de 14^e trok het koufront van een depressie bij de Far Oer met bewolking en regen over ons land. Het werd niet warmer dan 19 tot 21° C. In de rest van de week werd met een weststroming vochtige lucht aangevoerd, waarin naast wolkenvelden ook flinke opklaringen voorkwamen (maandoverzicht juli 1999, KNMI 1999).



Figuur 37 Windvectoren (m/s) ten opzichte van trek langs respectievelijk haaks op de kust, juli 1999, Ijmuiden. In de linker figuur zijn de windvectoren afgeleid uit de gemeten wind op 10 meter hoogte. In de rechter figuur wordt de windvector op 400, 1000 en 2000 meter hoogte uit het HIRLAM model weergegeven, langs (doorgetrokken lijn) of haaks op (gestippelde lijn) de kustlijn. *Wind vectors related to bird movements along (light blue or line) and perpendicular to (dark blue or dashed line) the coastline, July 1999. Left figure: measured wind vectors at 10 m altitude. Right figure: wind vectors at 400, 1000 and 2000 m altitude, obtained from HIRLAM model.*

Voorafgaand aan de meetsessie waren de weersomstandigheden gunstig voor trek naar zowel het ZZW als het W. Al vanaf de 13^e was dit voorbij en overheerste een vochtige westelijke stroming. Trek van enige betekenis ontbrak en de waargenomen vogels zijn vooral tot de lokale bewegingen gerekend.

Waargenomen vogels en aantallen

In juli werden vooral grote vogels, meeuwen & sterns en grote watervogels waargenomen. Overdag, zowel in de ochtend als in de avonden tot vlak na zonsondergang, werd sterke noordwaarts gerichte trek van Bergeenden vastgesteld (1102 exemplaren, 73 groepen). Waarschijnlijk betrof het hier trek naar de ruigebieden in de Waddenzee. De overige waarnemingen hadden hoofdzakelijk betrekking op lokale verplaatsingen: Aalscholvers (132 exemplaren, 34 groepen), Kleine Mantelmeeuwen (210 exemplaren, 110 groepen), Zilvermeeuwen (126 exemplaren, 95 groepen), meeuw spec. (vooral grote meeuwen: 1951 exemplaren, 153 groepen) en Zwarte Zee-eenden (291 exemplaren, 15 groepen).

Tijdens de panoramatellingen van 14 en 15 juli zijn 8341 vogels waargenomen tijdens 21 tellingen. Ook hier bestond het grootste gedeelte uit meeuwen (95%, voornamelijk Kleine Mantelmeeuwen en Zilvermeeuwen), sterns (2%, Visdief), Aalscholvers (121 exemplaren, 1%) en Bergeenden (46 exemplaren, 1%).

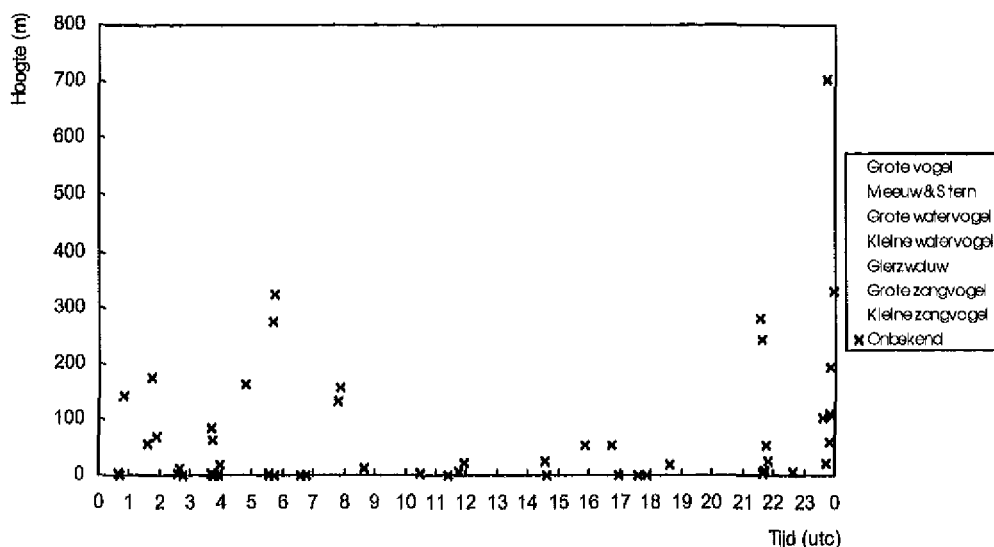
Soortenverdeling naar hoogteklaas

Ook in juli werd een bijzonder groot deel (82% overdag en 76% 's nachts) van alle vliegpaden in de onderste 100 meter opgenomen. Overdag waren dit voornamelijk grote vogels (Aalscholvers en groepen Bergeenden) en meeuwen & sterns, waaronder vooral grote meeuwen (Zilver- en Kleine Mantelmeeuwen). Ook boven de 100 meter werden hoofdzakelijk grote vogels en meeuwen & sterns gezien. 's Nachts bestond het merendeel van de vliegpaden onder de 100 meter uit meeuwen & sterns. Boven de 100 meter werden, naast meeuwen & sterns, vooral grote watervogels en gierzwaluwen geregistreerd.

Tijd	Soortgroep	N	Hoogte		Soortgroep	
			< 100m	> 100m	< 100m	> 100m
Dag	Totaal	845	82%	18%		
	Grote vogel	141	72%	28%	16%	32%
	Meeuw & Stern	532	86%	14%	78%	59%
	Grote watervogel	34	68%	32%	4%	9%
	Kleine watervogel	1	100%		1%	
	Grote zangvogel	1	100%		1%	
Nacht	Totaal	357	76%	24%		
	Grote vogel	25	88%	12%	13%	9%
	Meeuw & Stern	139	94%	6%	79%	26%
	Grote watervogel	22	46%	54%	6%	35%
	Kleine watervogel	4	50%	50%	1%	6%
	Grote zangvogel	1		100%		3%
	Gierzwaluw	8		87%	1%	21%

Tabel 34 Soorten en vlieghoogtes, naar dag en nacht, juni 1999. Middelste kolom: hoogteverdelingen per soortgroep (horizontaal 100%). Vliegpaden van onbekende soorten zijn in het totaal opgenomen. Rechter kolom: soortgroepverdeling onder respectievelijk boven 100 meter hoogte (verticaal 100%). *Species and flight altitudes, by day and night, June 1999. Middle column: altitude distributions per species group (horizontally adding up to 100%). Unidentified tracks are included in the totals. Right column: species distribution below respectively above 100m altitude (vertically adding up to 100%).*

Figuur 38 geeft een typerend voorbeeld van de vlieghoogtes van de verschillende soortgroepen over één etmaal. De hele nacht werden meeuwen & sterns waargenomen, 's nachts bijna uitsluitend in de onderste 100 meter. Overdag werden meeuwen & sterns tot 250 meter hoogte waargenomen, vaak cirkelend en glijdend. De grote vogels werden uitsluitend 's ochtends (Bergeenden en Aalscholvers) en 's avonds (uitsluitend Bergeenden) gezien en kwamen daarbij tot vergelijkbare hoogtes als de meeuwen & sterns overdag. De Bergeenden vlogen bovendien uitsluitend in de kustzone, tussen het strand en de punt van de zuidpier.



Figuur 38 Vlieghoogtes van de verschillende vliegpaden per soortgroep op 15 juli 1999 te IJmuiden. *Altitudes of all flight paths by species group (colour) during 15 July 1999.*

Vliegrichtingen

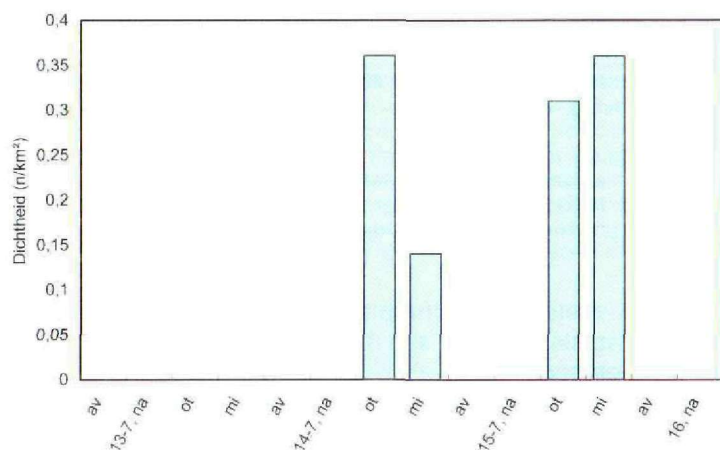
Zowel overdag als in de nacht overheersten de lokale bewegingen van de meeuwen & sterns, waardoor het heen en weer vliegen tussen broed-, rustgebieden en het foerageren op zee de algemene richtingsverdeling bepaalde. De vliegbewegingen van de Bergeenden (soortgroep grote vogels) en Zwarte Zee-eenden (soortgroep grote watervogels) waren duidelijk NNO tot NO gericht (ruitrek bij Bergeend).

Tijd	Soortgroep	N	Langs kust NNO	Land in OZO	Langs kust ZZW	Zee in WNW	Richting
Dag	Grote vogel	141	85	23	27	6	39°
	Meeuw & Stern	532	108	214	130	80	-
	Grote Watervogel	34	25	3	6		28°
	Kleine watervogel	1		1			
	Grote zangvogel	1		1			
	Totaal	845	260	291	195	99	-
Nacht	Grote vogel	29	11	6	8	4	n.s.
	Meeuw & Stern	142	36	47	38	21	n.s.
	Grote watervogel	22	5	5	9	3	
	Kleine watervogel	4	1	3			
	Grote zangvogel	1		1			
	Gierzwaluw	16	5	5	6		
	Totaal	377	124	107	104	42	-

Tabel 35 Voorkomen van vliegrichtingen voor verschillende soortgroepen, gesplitst naar dag/nacht, juli 1999. Gebaseerd op dagen en nachten met meer dan 25 groepen en één overheersende, significante vliegrichting. *Occurrence of flight directions by day and night, July 1999. Based on days and nights with more than 25 tracks yielding an unimodal distribution and a significant mean direction.*

Elevatiescans

Alleen de elevatiescans van de ochtenden en middagen van 14 en 15 juli konden worden geanalyseerd, maar dichtheden van enige betekenis kwamen niet voor. Frappant is dat in geen van de nachten dichtheden zijn vastgesteld met de elevatiescan.



Figuur 39 2D-Dichtheid (echo's/km²) boven 100 meter in juli 1999. De dichtheden zijn gebaseerd op de verticale scan (kijkrichting 284°) en gesplitst naar nacht, ochtend, middag en avond. Wanneer de trek uit of naar zee is waargenomen zijn tevens de dichtheden van de verticale scan, kijkrichting 194°, door een • weergegeven. Alleen dagdelen met één dominante, significante vliegrichting zijn weergegeven. *2D-density (echoes per km²) above 100m altitude in July 1999. Densities are based on the vertical scan towards 284° and grouped by night, morning, noon and evening. When bird movements from or towards the sea were observed, the results of the vertical scan towards 194° are also presented and marked with a dot. Only day parts with a unimodal distribution and a significant mean flight direction are presented.*

Evenals in juni overheersten overdag op de 14^e en 15^e de lokale bewegingen van de soortgroep meeuwen & sterns (vooral Kleine Mantelmeeuwen en Zilvermeeuwen) het beeld. Op beide dagen waren de meeste bewegingen naar het ONO gericht (terugvloeiend naar de kolonies). De eerder genoemde sterke trek van Bergeenden vond uitsluitend in de kustzone plaats en kon dus met de elevatiescan niet worden waargenomen. De vlieghoogtes beperkten zich tot een homogene verdeling tussen de 25 en 175 meter, zie ook Van Belle *et al.* 2000.

Datum	Tijd	Kijkrichting	Dichtheid			Vliegrichting
			2-D (n/km ²)	Maximum (n/km ³)	Hoogte max. dichtheid (m)	Gemiddeld (graden)
14-7-99	Ochtend	284°	0,4	3,6	150	77
	Middag	284°	0,1	1,2	150	51
15-7-99	Ochtend	284°	0,3	2,2	150	60
	Middag	284°	0,4	3,0	150	76

Tabel 36 Dichtheden en vlieghoogtes boven de 100 meter in juli 1999, gebaseerd op de verticale scan. Standaard is haaks op de kustlijn gemeten (kijkrichting 284°). Wanneer trek uit of naar zee is waargenomen zijn de gegevens gearceerd en waar beschikbaar zijn bovendien de gegevens uit de verticale scan evenwijdig aan de kustlijn (kijkrichting 194°) weergegeven. Van links naar rechts zijn weergegeven: de totale dichtheid in echo's per km², de maximale dichtheid in echo's/ km³, de bijbehorende hoogtelaag en de gemiddelde vliegrichting. Alleen dagdelen met één dominante, significante vliegrichting zijn weergegeven. *Densities and flight altitudes above 100m altitude in July 1999, based on the vertical scan. Standard vertical scans are directed perpendicular to the coastline, towards 284°. When bird movements from or towards the sea were observed, the results are hatched and also the results of vertical scans parallel to the coastline are given. From left to right: the overall density in echoes per km², the maximum density in echoes per km³, the altitude with the maximum density and the mean track direction.*

Op geen van de geanalyseerde dagen was de tweedimensionale dichtheid hoger dan 1,0 echo / km², dus wordt ook de kwantitatieve driedimensionale hoogteverdeling hier niet verder besproken.

Datum	Tijd	afstand tot de kust (km)			
		2½ - 4	4 - 5½	5½ - 7	7 - 8½
14-7-99	Ochtend		0,99	0,10	0
	Middag		0,28	0,16	0
15-7-99	Ochtend		0,77	0,17	0
	Middag		0,60	0,35	0,13
12/16-7	Ochtend		100%	16%	0%
	Middag		100%	58%	15%

Tabel 37 2D-dichtheden boven de 100 meter in relatie tot de afstand uit de kust in juli 1999, gebaseerd op de verticale scans. Boven: Dichtheden per dagdeel in echo's per km². Onder: Verdeling van dichtheden per week, uitgedrukt in procenten van de maximale gemiddelde dichtheid. Alleen dagdelen met één dominante, significante vliegrichting zijn gebruikt. Dagdelen waarbij de vliegrichting min of meer haaks op de kustlijn stond, hetgeen een minder betrouwbare gradiënt oplevert, zijn gearceerd. *2D-densities on different distances from the coastline, above 100m altitude in July 1999, based on the vertical scans. a) Densities per part of day, in echoes per km². b) Mean weekly density distributions, as a percentage from the maximum mean density. Only day parts with a unimodal distribution and a significant mean flight direction are used. Day parts with a dominant flight direction more or less perpendicular to the coastline, yielding less reliable density measurements, are hatched.*

De dichtheidsgradiënt vanaf de kust, boven de 100 meter, nam scherp af. Overdag zijn geen gerichte bewegingen buiten de 7 km gevonden, in de middag slechts 15% van de maximale gemeten dichtheid. In de nacht vonden geen gerichte bewegingen plaats.

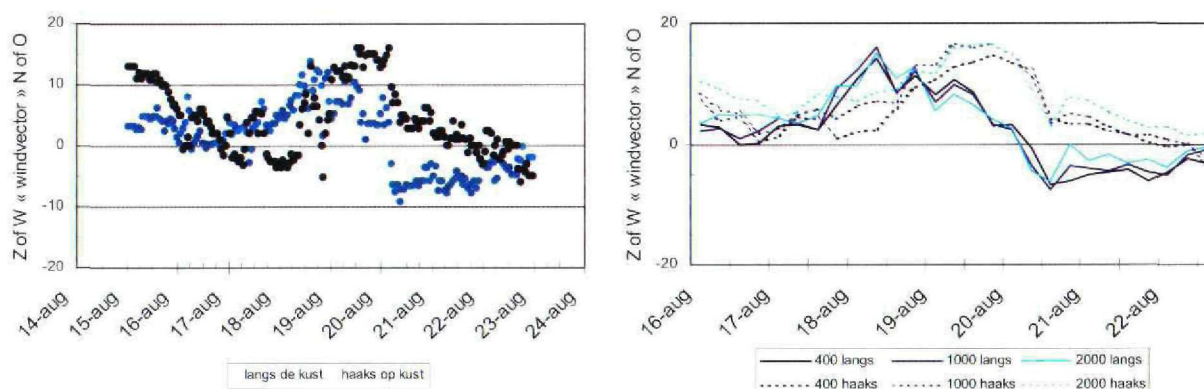
8.1.8 Augustus

Meetperiode

De augustus-sessie begon aan het eind van de middag van de 16^e op de punt van de pier. Aan het begin van de avond van de 18^e zijn we wegens noodweer verplaatst naar de strandlocatie. Tijdens de evacuatie sloegen de golven over de pier. Toen de personenauto halverwege de pier door de golven in zee dreigde te worden geslagen zijn de laatste mensen met een vrachtauto van de pier gehaald. In de middag van de 20^e zijn we teruggekeerd naar de punt van de pier, om daar tot het eind van de sessie, de ochtend van de 23^e, te blijven staan.

Meteo

Voorafgaand aan de meetsessie (14^e) trok een depressie langzaam naar de Noorse kust. In de loop van de dag viel in de warme sector langdurig en veel neerslag. Tijdens de koufrontpassage in de avond kwam op grote schaal onweer voor. Achter het koufront breidde zich een krachtige weststroming over West-Europa uit, waarbij de as van de straalstroom juist ten zuiden van ons land kwam te liggen. Hierdoor bleef het weer zeer wisselvallig en onstabiel. Dagelijks kwamen buien tot ontwikkeling, waarbij op veel plaatsen ook onweer voorkwam. Op 18 augustus trok een actieve depressie van Ierland naar het midden van de Noordzee. In ons land bracht deze depressie veel regen en wind. Aan de kust kwamen zeer zware windstoten voor. Ook op de 19^e was het weer zeer onstuimig, met veel regen en wind. In de middag van 20 augustus, bij op nadering van een rug van hoge druk boven de Britse Eilanden, namen de wind en buiigheid af. Op 21 augustus om 00:00 UTC bevond zich een krachtig hogedrukgebied ten zuiden van IJsland met een uitloper naar Engeland. Terwijl het centrum van het hogedrukgebied zich naar Zuid-Scandinavië verplaatste, nam de uitloper toe in betekenis en breidde zich via ons land uit naar de Balkan. Hierdoor ruimde de wind boven ons land van noord naar zuidoost. Aanvankelijk werd koele lucht naar onze omgeving gevoerd, waarin het overdag niet warmer werd dan ca. 18° C (maandoverzicht augustus 1999, KNMI 1999).



Figuur 40 Windvectors (m/s) ten opzichte van trek langs respectievelijk haaks op de kust, augustus 1999, IJmuiden. In de linker figuur zijn de windvectors afgeleid uit de gemeten wind op 10 meter hoogte. In de rechter figuur wordt de windvector op 400, 1000 en 2000 meter hoogte uit het HIRLAM model weergegeven, langs (doorgetrokken lijn) of haaks op (gestippelde lijn) de kustlijn. *Wind vectors related to bird movements along (light blue or line) and perpendicular to (dark blue or dashed line) the coastline, August 1999. Left figure: measured wind vectors at 10 m altitude. Right figure: wind vectors at 400, 1000 and 2000 m altitude, obtained from HIRLAM model.*

De westelijke stromingen waren niet bevorderlijk voor de najaarstrek. Pas aan het eind van de meetweek, in de loop van de 20^e, waren de windvectors positief voor trek in ZZW richting. Op de 20^e draaide de wind in de loop van de dag naar het noorden, maar pas in de loop van de avond van de 21^e kwam de wind uit het NNO tot O, zodat de windvector echt gunstig werd.

Waargenomen vogelsoorten en aantallen

In augustus werden al weer meer echte trekkers waargenomen. Toch vormden de meeuwen & sterns het merendeel van de waargenomen soortgroepen, hoewel er ook een aantal grote watervogels en grote vogels zijn waargenomen. In de soortgroep meeuwen & sterns werden veel soorten waargenomen: Grote Mantelmeeuwen (2 exemplaren, 2 groepen), Kleine Mantelmeeuwen (292 exemplaren, 186 groepen), Stormmeeuwen (9 exemplaren, 8 groepen), Zilvermeeuwen (229 exemplaren, 154 groepen), Kokmeeuwen (109 exemplaren, 15 groepen), Grote Sterns (3 exemplaren,

2 groepen), en Noordse Sterns dan wel Visdieffjes (117 exemplaren, 46 groepen). Verder vlogen Scholeksters (38 exemplaren, 12 groepen) en diverse niet op soort gebrachte steltlopers langs (634 exemplaren, 73 groepen). Tot slot zijn nog drie groepen ganzen (270 exemplaren, mogelijk Grauwe Ganzen) en Zwarte Zee-eenden (22 exemplaren, 3 groepen) geregistreerd.

Op 18 augustus werden de gehele dag visuele panoramatellingen uitgevoerd. Dit leverde 2101 vogels op in 12 tellingen. Het aandeel meeuwen (80%, vooral Kleine Mantelmeeuwen en Zilvermeeuwen) was kleiner dan in de zomermaanden en het aandeel sterns was duidelijk groter (15%). Enkele Aalscholvers (47 exemplaren, 2%) en steltlopers (41 exemplaren, 2%) complementeerden het beeld.

Soortenverdeling naar hoogteklasse

Het aandeel van de vliegpaden onder de 100 meter was beduidend lager dan in de voorafgaande zomermaanden, zowel overdag als 's nachts slechts 60%. Overdag vlogen eigenlijk alleen meeuwen & sterns onder de 100 meter, terwijl boven de 100 meter een klein aandeel grote watervogels, meest groepen steltlopers, meedeed. De nachten vertoonden een geheel ander patroon. Onder de 100 meter werden nog wel veel meeuwen & sterns waargenomen, samen met een kwart grote watervogels vormden die de hoofdmoot van alle geïdentificeerde vogels. Boven de 100 meter echter waren de meeuwen & sterns ver in de minderheid. Het merendeel van de vliegpaden betrof grote watervogels (steltlopers en eenden). De zangvogels waren nog steeds slecht vertegenwoordigd, kleine zangvogels (formaat Zwartkop, Tjiftjaf) waren met slechts 5% in het soortenspectrum terug te vinden.

Tijd	Soortgroep	N	Hoogte		Soortgroep	
			< 100m	> 100m	< 100m	> 100m
Dag	Totaal	1522	60%	40%		
	Grote vogel	52	67%	33%	5%	4%
	Meeuw & Stern	1094	65%	35%	92%	82%
	Grote watervogel	89	26%	74%	3%	14%
	Kleine watervogel	1		100%		0%
Nacht	Totaal	938	60%	40%		
	Grote vogel	19	37%	63%	2%	6%
	Meeuw & Stern	258	88%	12%	66%	16%
	Grote watervogel	206	39%	61%	24%	62%
	Kleine watervogel	36	50%	50%	5%	9%
	Grote zangvogel	5	40%	60%	1%	1%
	Kleine zangvogel	18	39%	61%	2%	5%
	Gierzwaluw	2		100%		1%

Tabel 38 Soorten en vlieghoogten, naar dag en nacht, augustus 1999. Middelste kolom: hoogteverdelingen per soortgroep (horizontaal 100%). Vliegpaden van onbekende soorten zijn in het totaal opgenomen. Rechter kolom: soortgroepverdeling onder respectievelijk boven 100 meter hoogte (verticaal 100%). *Species and flight altitudes, by day and night, August 1999. Middle column: altitude distributions per species group (horizontally adding up to 100%). Unidentified tracks are included in the totals. Right column: species distribution below respectively above 100m altitude (vertically adding up to 100%).*

Vliegrichtingen

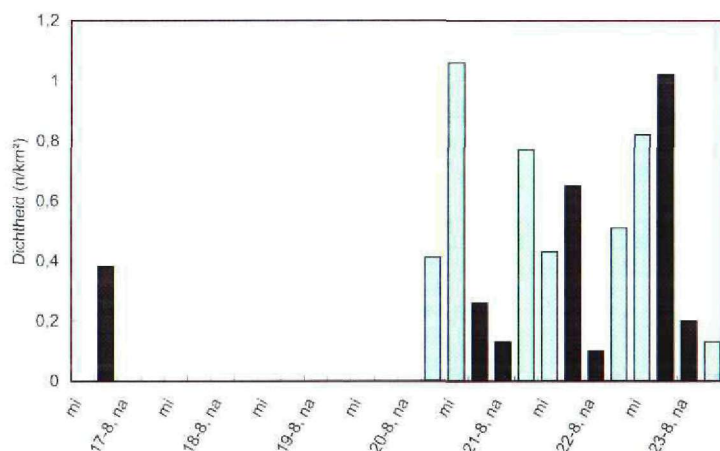
Afgezien van de soortgroep meeuwen en sterns in de nacht overheersten in het algemeen de vliegrichtingen parallel aan de kust naar het zuiden.

Tijd	Soortgroep	N	Langs kust NNO	Land in OZO	Langs kust ZZW	Zee in WNW	Richting
Dag	Grote vogel	52	6	11	29	6	183°
	Meeuw & Stern	1094	128	207	557	202	200°
	Grote watervogel	89	14	5	58	12	205°
	Kleine watervogel	1		1			
	Totaal	1522	197	281	788	256	197°
Nacht	Grote vogel	20	2	2	11	5	
	Meeuw & Stern	258	37	55	87	79	-
	Grote watervogel	208	26	14	138	30	201°
	Kleine watervogel	36	4	5	26	1	179°
	Grote zangvogel	5		2	3		
	Kleine zangvogel	18		5	13		
	Gierzwaluw	1		1			
	Totaal	948	127	145	488	188	203°

Tabel 39 Voorkomen van vliegrichtingen voor verschillende soortgroepen, gesplitst naar dag/nacht, augustus 1999. Gebaseerd op dagen en nachten met meer dan 25 groepen en één overheersende, significante vliegrichting. *Occurrence of flight directions by day and night, August 1999. Based on days and nights with more than 25 tracks yielding an unimodal distribution and a significant mean direction.*

Elevatiescans

Aan het begin van de week is geen trek van betekenis waargenomen. In de laatste drie dagen en nachten veranderde dit beeld en vond gerichte trek plaats naar het ZZW. Op 20, 21 en 22 augustus waren de dichtheden overdag ongeveer gelijk terwijl in de daaropvolgende nachten de dichtheid toenam.



Figuur 41 2D-Dichtheid (echo's/km²) boven 100 meter in augustus 1999. De dichtheden zijn gebaseerd op de verticale scan (kijkrichting 284°) en gesplitst naar nacht, ochtend, middag en avond. Wanneer de trek uit of naar zee is waargenomen zijn tevens de dichtheden van de verticale scan, kijkrichting 194°, door een • weergegeven. Alleen dagdelen met één dominante, significante vliegrichting zijn weergegeven. *2D-density (echoes per km²) above 100m altitude in August 1999. Densities are based on the vertical scan towards 284° and grouped by night, morning, noon and evening. When bird movements from or towards the sea were observed, the results of the vertical scan towards 194° are also presented and marked with a dot. Only day parts with a unimodal distribution and a significant mean flight direction are presented.*

Waren in de eerste vier dagen en nachten de meeuwen verantwoordelijk voor circa 90% van de vliegpaden, in de laatste drie nachten bestond 's nachts het merendeel van de vliegpaden uit (grote) watervogels, gemiddeld 70%. Overdag vond doortrek van Kleine Mantelmeeuwen plaats, cirkelende groepen oplopend tot 25 exemplaren per groep kwamen op 100-400 meter hoogte langs in een ZZW richting. In de avonduren werden regelmatig groepen steltlopers gezien. In de ochtend van 20 en 23 augustus werd redelijke trek van sterns, Visdieven, waargenomen. De gemiddelde vlieghoogte was zeer laag, tussen de golftoppen en enkele meters daarboven, waardoor ze niet in de elevatiescans tot uitdrukking kwamen.

Datum	Tijd	Kijkrichting	Dichtheid			Vliegrichting
			2-D (n/km ²)	Maximum (n/km ²)	Hoogte max. dichtheid (m)	Gemiddeld (graden)
16-8-99	Avond	284°	0,4	1,5	350	223
20-8-99	Ochtend	284°	0,4	1,9	150	186
	Middag	284°	1,1	3,5	150	196
	Avond	284°	0,3	0,9	150	189
21-8-99	Nacht	284°	0,1	1,0	150	192
	Ochtend	284°	0,8	3,4	150	200
	Middag	284°	0,4	1,3	150	199
22-8-99	Avond	284°	0,7	1,7	150	215
	Nacht	284°	0,1	0,7	150	187
	Ochtend	284°	0,5	1,8	150	203
23-8-99	Middag	284°	0,8	2,6	150	232
	Avond	284°	1,0	2,6	150	230
	Nacht	284°	0,2	0,7	650	220
	Ochtend	284°	0,1	0,7	150	220

Tabel 40 Dichtheden en vlieghoogten boven de 100 meter in augustus 1999, gebaseerd op de verticale scan. Standaard is haaks op de kustlijn gemeten (kijkrichting 284°). Wanneer trek uit of naar zee is waargenomen zijn de gegevens gearceerd en waar beschikbaar zijn bovendien de gegevens uit de verticale scan evenwijdig aan de kustlijn (kijkrichting 194°) weergegeven. Van links naar rechts zijn weergegeven: de totale dichtheid in echo's per km², de maximale dichtheid in echo's/ km³, de bijbehorende hoogtelaag en de gemiddelde vliegrichting. Alleen dagdelen met één dominante, significante vliegrichting zijn weergegeven. *Densities and flight altitudes above 100m altitude in August 1999, based on the vertical scan. Standard vertical scans are directed perpendicular to the coastline, towards 284°. When bird movements from or towards the sea were observed, the results are hatched and also the results of vertical scans parallel to the coastline are given. From left to right: the overall density in echoes per km², the maximum density in echoes per km³, the altitude with the maximum density and the mean track direction.*

Pas in de middag van de 20^e passeerden voor het eerst boven de 100 meter vogels in enige aantallen van betekenis. De grootste dichtheden (3,5 echo's per km³) zijn tussen 100 en 200 meter hoogte waargenomen. Tot 500 meter hoogte werden echo's gevonden. Evenals op andere dagen ging het veelal om doortrek van meeuwen (o.a. Kleine Mantelmeeuw). In de avond van 22 augustus bereikte de nachtelijke dichtheid zijn top. De grootste dichtheden (2,6 echo's per km³) werden waargenomen tussen 100 en 200 meter hoogte en de totale dichtheid was 1,0 echo per km². De hoogteverdeling van de echo's kwam mooi overeen met de rugwind die tot 500 meter hoogte gunstig was voor ZZW trek.

Datum	Tijd	Afstand tot de kust (km)			
		2½ - 4	4 - 5½	5½ - 7	7 - 8½
16-8-99	Avond	0	0,78	0,34	
20-8-99	Ochtend	0,67	0,18	0,44	
	Middag	0,20	0,91	1,26	0,81
	Avond		0,56	0,16	0,07
21-8-99	Nacht		0,19	0,20	0
	Ochtend		1,21	0,74	0,36
	Middag		0,55	0,71	0,03
22-8-99	Avond		1,30	0,77	0,69
	Nacht		0,26	0,10	0,06
	Ochtend		0,48	0,64	0,42
23-8-99	Middag		0,96	0,75	0,74
	Avond		2,68	1,26	1,36
	Nacht		0,44	0,10	0,7
	Ochtend		0,07	0,21	0,10
16/23-8	Nacht		100%	44%	14%
	Ochtend	33%	96%	100%	43%
	Middag	7%	89%	100%	58%
	Avond	0%	100%	48%	40%

Tabel 41 2D-dichtheden boven de 100 meter in relatie tot de afstand uit de kust in februari 1999, gebaseerd op de verticale scans. Boven: Dichtheden per dagdeel in echo's per km². Onder: Verdeling van dichtheden per week, uitgedrukt in procenten van de maximale gemiddelde dichtheid. Alleen dagdelen met één dominante, significante vliegrichting zijn gebruikt. Dagdelen waarbij de vliegrichting min of meer haaks op de kustlijn stond, hetgeen een minder betrouwbare gradiënt oplevert, zijn gearceerd. *2D-densities on different distances from the coastline, above 100m altitude in February 1999, based on the vertical scans. a) Densities per part of day, in echoes per km². b) Mean weekly density distributions, as a percentage from the maximum mean density. Only day parts with a unimodal distribution and a significant mean flight direction are used. Day parts with a dominant flight direction more or less perpendicular to the coastline, yielding less reliable density measurements, are hatched.*

De dichtheidsgradiënt vanuit de kust week overdag (ochtend en middag) af van de tot dan toe gevonden afname. De grootste dichtheden zijn pas tussen de 5½ - 7 km vastgesteld. In de laatste afstandsklasse was de dichtheid nog altijd de helft van de maximale dichtheid (43-58%). In de avond en nacht is wel de al gebruikelijke dichtheidsgradiënt waargenomen.

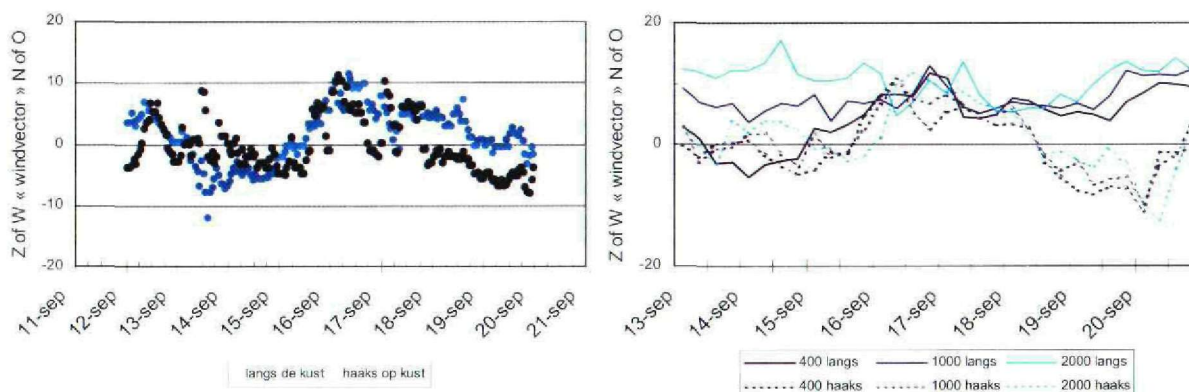
8.1.9 September

Meetperiode

Wegens onderhoud aan de zuidpier zijn de metingen uitgevoerd op de noordpier van IJmuiden. Deze pier steekt enkele honderden meters minder ver in zee, maar voldeed verder uitstekend. Daar is gemeten vanaf 13 september 's middags tot en met 19 september.

Meteo

Voorafgaand aan de meetsessie ontstond een krachtig hogedrukgebied boven de Oostzee en de Noordzee. Op 11, 12 en 13 september werd het in het zuidoosten meer dan 30° C. In de avond van de 12^e nam vanuit het westen de bewolking toe en begon het, bij de nadering van een frontale zone, te regenen. Deze zone stagneerde boven ons land. Hierdoor vertoonden de middagtemperaturen van de 13^e boven Nederland (begin van de meetsessie) grote verschillen: in het oosten was het 30° C of warmer, terwijl het aan de kust slechts 17 tot 18° C werd. Van 14 tot en met 16 september werd het weer bij ons bepaald door een volgende frontale zone, die eerst boven ons land bleef liggen en pas op de 16^e naar het oosten wegtrok. De 14^e en 15^e waren hierdoor sombere dagen, met in de tussenliggende nacht dichte tot zeer dichte mist. In de loop van de 15^e trok een storing langs de frontale zone over ons land naar het noorden. In de middag en avond kwamen onweersbuien tot ontwikkeling, waarbij flink wat regen viel. Vanaf de 17^e werd het weer in grote lijnen gekenmerkt door een krachtig hogedrukgebied, dat zich van Scandinavië naar de Balkan verplaatste. Op de 17^e trok een koufront langzaam oostwaarts over ons land. Deze frontpassage ging vergezeld van veel bewolking, waaruit geruime tijd regen viel. Met een naar zuidoost krimpende wind was 18 september een droge dag met maxima van 22° C. Ook op de 19^e was het aanvankelijk zonnig. In de loop van de dag nam de bewolking echter toe op de nadering van een frontale zone, gevolgd door regen in de avond. Met maxima tot 23 à 24° C had het weer een drukkend karakter (maandoverzicht september 1999, KNMI 1999).



Figuur 42 Windvectors (m/s) geprojecteerd langs en haaks op de kust, september 1999, IJmuiden. In de linker figuur zijn de windvectors afgeleid uit de gemeten wind op 10 meter hoogte. In de rechter figuur wordt de windvector op 400, 1000 en 2000 meter hoogte uit het HIRLAM model weergegeven, langs (doorgetrokken lijn) of haaks op (gestippelde lijn) de kustlijn. *Wind vectors related to bird movements along (light blue or line) and perpendicular to (dark blue or dashed line) the coastline, September 1999. Left figure: measured wind vectors at 10 m altitude. Right figure: wind vectors at 400, 1000 and 2000 m altitude, obtained from HIRLAM model.*

De windvectors tot 400 meter hoogte, parallel aan de kust waren aan het begin van de sessie tot aan de nacht van 14 op 15 september geschikt voor trek naar het ZZW. Hogerop stond een stevige tegenwind. In de loop van de avond van de 18^e tot aan het einde van de meetsessie zijn de windvectors positief voor wegtrek naar Engeland, tot op grote hoogte. In de tussenliggende periode was de windvector negatief.

Waargenomen vogelsoorten en aantallen

Dit was een weinig soortenrijke periode. Een aantal grote vogels werden door de radar gevolgd, waaronder: Aalscholvers (39 exemplaren, 21 groepen), Middelste Jager (1 exemplaar) en Sperwers (2 exemplaren, 2 groepen). De meeuwen & sterns waren weer rijkelijk vertegenwoordigd: meeuw spec. (1485 exemplaren, 480 groepen), Grote Sterns (16 exemplaren, 4 groepen), Kokmeeuwen (56 exemplaren, 30 groepen), Kleine Mantelmeeuwen (75 exemplaren, 67 groepen), Zilvermeeuwen (602

exemplaren, 223 groepen) en Stormmeeuwen (63 exemplaren, 63 groepen). Verder zijn zangvogels en andere kleine soorten watervogels overdag nooit waargenomen.

Op 15 september werden de gehele dag visuele panoramatellingen uitgevoerd. Door het slechte weer, met harde wind en regen, vielen enkele tellingen uit. In totaal werden 510 exemplaren waargenomen over 5 tellingen. Meeuwen (99%) domineerden het beeld.

Soortenverdeling naar hoogteklasse

Overdag werd 89% van de vliegpaden onder de 100 meter opgenomen. Weer betrof het hoofdzakelijk meeuwen & sterns. Boven de 100 meter werden, naast de grote aantallen meeuwen & sterns, een paar grote vogels en grote watervogels waargenomen. De nachten vertoonden veel meer differentiatie. Slechts 56% vloog onder de 100 meter. Dit waren voor de helft meeuwen & sterns. 26% respectievelijk 15% van de vliegpaden betroffen grote en kleine watervogels. Boven de 100 meter nam het aandeel van de soortgroep meeuwen & sterns nog verder af en vormden nog slechts een kwart van de vliegpaden, terwijl de helft van de vliegpaden bestond uit grote watervogels (eenden en steltlopers) en een vijfde uit kleine watervogels (vooral stefflopers). De zangvogels namen samen nog steeds slechts 9% voor hun rekening.

Tijd	Soortgroep	N	Hoogte		Soortgroep	
			< 100m	> 100m	< 100m	> 100m
Dag	Totaal	1478	89%	11%		
	Grote vogel	54	80%	20%	4%	8%
	Meeuw & Stern	1155	91%	9%	93%	81%
	Grote watervogel	43	70%	30%	3%	10%
	Kleine watervogel	3	100%		0%	
	Grote zangvogel	1	100%		0%	
	Kleine zangvogel	1		100%		1%
Nacht	Totaal	1382	56%	44%		
	Grote vogel	22	64%	36%	3%	2%
	Meeuw & Stern	312	74%	26%	48%	24%
	Grote watervogel	279	45%	55%	26%	45%
	Kleine watervogel	143	51%	49%	15%	20%
	Grote zangvogel	45	56%	44%	5%	6%
	Kleine zangvogel	22	50%	50%	3%	3%

Tabel 42 Soorten en vlieghoogten, naar dag en nacht, september 1999. Middelste kolom: hoogteverdelingen per soortgroep (horizontaal 100%). Vliegpaden van onbekende soorten zijn in het totaal opgenomen. Rechter kolom: soortgroepverdeling onder respectievelijk boven 100 meter hoogte (verticaal 100%). *Species and flight altitudes, by day and night, September 1999. Middle column: altitude distributions per species group (horizontally adding up to 100%). Unidentified tracks are included in the totals. Right column: species distribution below respectively above 100m altitude (vertically adding up to 100%).*

Vliegrichtingen

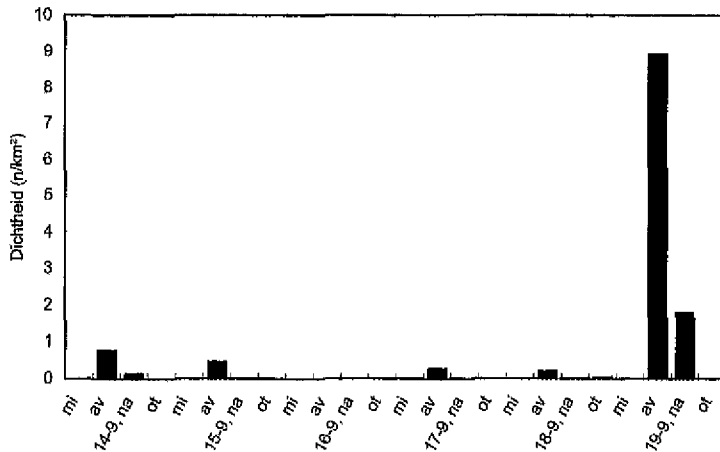
In de nachten was een driedeling van richtingen zichtbaar. Grote en kleine watervogels vertoonden een éénduidige significante vliegrichting parallel aan de kust, terwijl grote zangvogels deels richting ZW de zee instaken en deels parallel langs de kust naar het ZZW vlogen. Naast deze richtingen vertoonden de kleine zangvogels opvallend veel *reversed migration*. Hierdoor kwam geen duidelijke voorkeursrichting naar voren. Het merendeel van alle vliegpaden ging naar het ZZW (60%, n = 932). Overdag konden we geen enkele dominant significante richting vinden.

Tijd	Soortgroep	N	Langs kust	Land in	Langs kust	Zee in	Richting
			NNQ	OZO	ZZW	WNW	
Dag	Grote vogel	54	23	7	17	7	n.s.
	Meeuw & Stern	1156	343	291	280	242	n.s.
	Grote watervogel	43	12	12	14	5	n.s.
	Kleine watervogel	3	2		1		
	Grote zangvogel	1			1		
	Kleine zangvogel	1			1		
	Totaal	1479	456	351	371	301	n.s.
Nacht	Grote vogel	27	14	4	6	3	n.s.
	Meeuw & Stern	315	98	65	73	76	n.s.
	Grote watervogel	287	59	40	134	54	199°
	Kleine watervogel	165	32	24	69	40	217°
	Grote zangvogel	61	14	4	30	13	233°
	Kleine zangvogel	34	10	4	14	6	n.s.
	Totaal	1489	373	222	559	335	-

Tabel 43 Voorkomen van vliegrichtingen voor verschillende soortgroepen, gesplitst naar dag/nacht, september 1999. Gebaseerd op dagen en nachten met meer dan 25 groepen en één overheersende, significante vliegrichting. *Occurrence of flight directions by day and night, September 1999. Based on days and nights with more than 25 tracks yielding an unimodal distribution and a significant mean direction.*

Elevatiescans

In september is alleen in de avonduren gerichte vogeltrek waargenomen. Alleen in de laatste nacht zijn grote aantallen gemeten. Overdag zijn geen dichtheden geanalyseerd.



Figuur 43 2D-Dichtheid (echo's/km²) boven 100 meter in september 1999. De dichtheden zijn gebaseerd op de verticale scan (kijkrichting 284°) en gesplitst naar nacht, ochtend, middag en avond. Wanneer de trek uit of naar zee is waargenomen zijn tevens de dichtheden van de verticale scan, kijkrichting 194°, door een • weergegeven. Alleen dagdelen met één dominante, significante vliegrichting zijn weergegeven. 2D-density (echoes per km²) above 100m altitude in September 1999. Densities are based on the vertical scan towards 284° and divided by night, morning, noon and evening. When bird movements from or towards the sea were observed, the results of the vertical scan towards 194° are also given. Only day parts with a unimodal distribution and a significant mean flight direction are presented.

Uit de vliegpaden bleek dat de spectaculaire laatste nacht kleine watervogels (ca. 40%) en (kleine) zangvogels (40-50% van de vliegpaden) betrof. In de eerste twee nachten werden vooral grote en kleine watervogels vastgesteld (60-80% van de vliegpaden). In de tussenliggende periode (15 t/m 18 september) domineerden de vliegbewegingen naar het NNO (*reversed migration*), waarbij een mengelmoes aan soorten werd waargenomen.

Datum	Tijd	Kijkrichting	Dichtheid			Vliegrichting	
			2-D (n/km ²)	Maximum (n/km ³)	Hoogte max. dichtheid (m)	Gemiddeld (graden)	
13-9-99	Avond	284°	0,8	2,0	150	201	
14-9-99	Nacht	284°	0,1	0,9	150	178	
	Avond	284°	0,5	1,9	150	201	
16-9-99	Avond	284°	0,3	0,7	150	360	
17-9-99	Avond	284°	0,2	0,4	150 / 350	42	
18-9-99	Ochtend	284°	0,0	0,1	150	342	
	Avond	284°	8,9	16,2	150	262	
19-9-99	Nacht	284°	1,8	5,8	150	227	

Tabel 44 Dichtheden en vlieghoogten boven de 100 meter in september 1999, gebaseerd op de verticale scan. Standaard is haaks op de kustlijn gemeten (kijkrichting 284°). Wanneer trek uit of naar zee is waargenomen zijn de gegevens gearceerd en zijn bovendien de gegevens uit de verticale scan evenwijdig aan de kustlijn (kijkrichting 194°) weergegeven. Van links naar rechts zijn weergegeven: de algemene dichtheid in echo's per km², de maximale dichtheid in echo's/ km³, de bijbehorende hoogtelaaag en de gemiddelde vliegrichting. Alleen dagdelen met één dominante, significante vliegrichting zijn weergegeven. Densities and flight altitudes above 100m altitude in September 1999, based on the vertical scan. Standard vertical scans are directed perpendicular to the coastline, towards 284°. When bird movements from or towards the sea were observed, the results are hatched and also the results of vertical scans parallel to the coastline are given. From left to right: the overall density in echoes per km², the maximum density in echoes per km³, the altitude with the maximum density and the mean track direction.

Alleen de avond en nacht van 18-19 september worden besproken. Op de avond van de 18^e zagen we een hoogtepatoorn met een langzaam afnemende dichtheid tot 2000 meter hoogte. De piekdichtheid bevond zich onderin, waar in de luchtlag van 100-200 meter hoogte 16,2 echo's per km³ werden vastgesteld. De windvector was optimaal tussen 200 en 2000 meter hoogte. Onder de 200 meter was de windsnelheid lager en boven de 2000 meter draalde de wind zodat een tegenwindvector ontstond. De hoogteverdeling van de echo's volgde dit windprofiel. De aansluitende nacht week hier niet veel van af. De dichtheid nam weer naar boven toe af en boven 1100 meter werden geen vogels meer waargenomen. De grootste dichtheid (5,8 echo's per km³) werd waargenomen tussen de 100 en 200 meter hoogte.

Datum	Tijd	afstand tot de kust (km)			
		2½ - 4	4 - 5½	5½ - 7	7 - 8½
13-9-99	Avond		1,18	0,82	0,24
14-9-99	Nacht		0,09	0,16	0,13
	Avond		1,60	0,80	0,56
16-9-99	Avond		0,34	0,10	0,32
17-9-99	Avond		0,58	0,16	0
18-9-99	Ochtend		0	0,13	0
	Avond		23,01	10,01	6,84
19-9-99	Nacht		4,65	2,22	0,74
13/19-9	Nacht		100%	50%	18%
	Ochtend		0%	100%	0%
	Avond		100%	45%	30%

Tabel 45 2D-dichtheden boven de 100 meter in relatie tot de afstand uit de kust in september 1999, gebaseerd op de verticale scans. Boven: Dichtheden per dagdeel in echo's per km². Onder: Verdeling van dichtheden per week, uitgedrukt in procenten van de maximale gemiddelde dichtheid. Alleen dagdelen met één dominante, significante vliegrichting zijn gebruikt. Dagdelen waarbij de vliegrichting min of meer haaks op de kustlijn stond, wat een minder betrouwbare gradiënt oplevert, zijn gearceerd. *2D-densities on different distances from the coastline, above 100m altitude in September 1999, based on the vertical scans. a) Densities per part of day, in echoes per km². b) Mean weekly density distributions, as a percentage from the maximum mean density. Only day parts with a unimodal distribution and a significant mean flight direction are used. Day parts with a dominant flight direction more or less perpendicular to the coastline, yielding less reliable density measurements, are hatched.*

In deze maand was een duidelijke dichtheidsgradiënt aanwezig. Per 1½ km afstand werd de dichtheid gehalveerd. Tussen 7 en 8½ km werd nog slechts 25% van de maximale dichtheid (op 4 - 5½ km) vastgesteld.

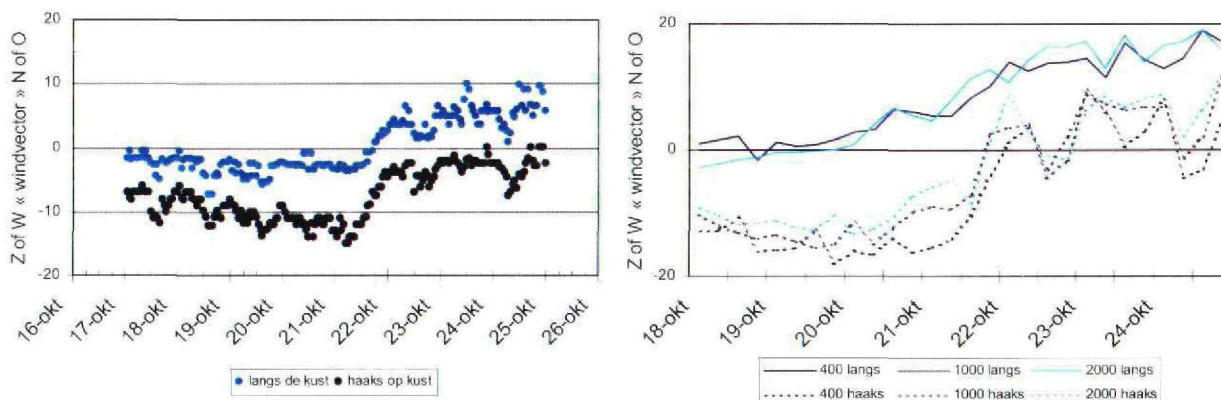
8.1.10 Oktober

Meetperiode

Alle metingen zijn uitgevoerd op de punt van de zuidpier, vanaf 18 oktober 's middags tot het eind van de ochtend van de 24^e. De wind was gedurende de hele periode hard, maar dankzij de oostelijke richting was verplaatsen naar het strand niet nodig.

Meteo

Vanaf 16 tot en met 20 oktober bevond ons land zich tussen een krachtig hogedrukgebied boven Scandinavië en een gordel van lagedruk boven de Middellandse Zee. Met een ooststroming werd droge en koude lucht naar ons land gevoerd. Er was vrijwel geen bewolking en met dagelijks 8 tot 10 uren zon was het fraai weer. Overdag werd het 10 – 12° C, 's nachts daalde het kwik aan de kust tot 4° C. Op de 20^e drong een frontale zone boven Frankrijk langzaam naar het noorden op. Hierdoor nam de dichtheidsgradiënt boven onze omgeving toe en stond er een vrij krachtige schrale oostenwind. Op 21 oktober trok de frontale zone met veel bewolking en af en toe regen over ons land naar het noorden. Daarna stond het weer bij ons onder invloed van een zeer actieve en omvangrijke depressie, de restanten van een orkaan. Deze depressie trok tot aan het eind van de meet sessie in oostelijke richting door naar de Oostzee. Aan de oostflank van de depressie werd zeer zachte lucht naar onze omgeving gevoerd, waardoor de temperatuur omhoog ging. Op de 23^e werd het op veel plaatsen met veel zon 18° C. Op de 22^e viel overdag vrij veel regen (maandoverzicht oktober 1999, KNMI 1999).



Figuur 44 Windvectors (m/s) geprojecteerd langs en haaks op de kust, oktober 1999, IJmuiden. In de linker figuur zijn de windvectors afgeleid uit de gemeten wind op 10 meter hoogte. In de rechter figuur wordt de windvector op 400, 1000 en 2000 meter hoogte uit het HIRLAM model weergegeven, langs (doorgetrokken lijn) of haaks op (gestippelde lijn) de kustlijn. *Wind vectors related to bird movements along (light blue or line) and perpendicular to (dark blue or dashed line) the coastline, October 1999. Left figure: measured wind vectors at 10 m altitude. Right figure: wind vectors at 400, 1000 and 2000 m altitude, obtained from HIRLAM model.*

Vanaf het begin van de meet sessie tot halverwege 21 oktober waren de omstandigheden optimaal voor zeewaarts gerichte trek. Daarna werd de windvector uitermate negatief voor ZZW trek parallel aan de kust. Voor zeewaarts gerichte trek was de meewindvector neutraal tot negatief. Ook de bewolking en de regen in de tweede helft van de meetweek waren ongunstig voor vogeltrek.

Waargenomen vogels en aantallen

Dé vogeltrekmaand bij uitstek leverde een lange soortenlijst op. Van alle soorten werden grote aantallen soorten waargenomen. De meest in het oog springende waarnemingen overdag waren: gans spec. (365 exemplaren, 6 groepen), Kleine Zwaan (19 exemplaren, 3 groepen), Rotgans (131 exemplaren, 4 groepen), Grote Mantelmeeuw (32 exemplaren, 23 groepen), meeuw spec. (vooral grote meeuwen; 1195 exemplaren, 252 groepen), Zilvermeeuw (420 exemplaren, 252 groepen), Goudplevier (28 exemplaren, 6 groepen), Zwarte Zee-eend (257 exemplaren, 22 groepen), Spreeuw (6642 exemplaren, 28 groepen) en Vink (321 exemplaren, 11 groepen). De langdurige oostelijke stroming zorgde voor veel zeewaarts gerichte trek, waardoor stuwung op lage hoogte naar het ZZW, zo kenmerkend voor visueel waargenomen vogeltrek in het najaar, weinig werd waargenomen.

Tijdens de visuele panoramatellingen op 20 oktober werden, bij een harde oostenwind, 2024 vogels waargenomen tijdens 5 tellingen. Het merendeel van de vogels waren meeuwen (96%). Zangvogels werden nauwelijks waargenomen (5 exemplaren).

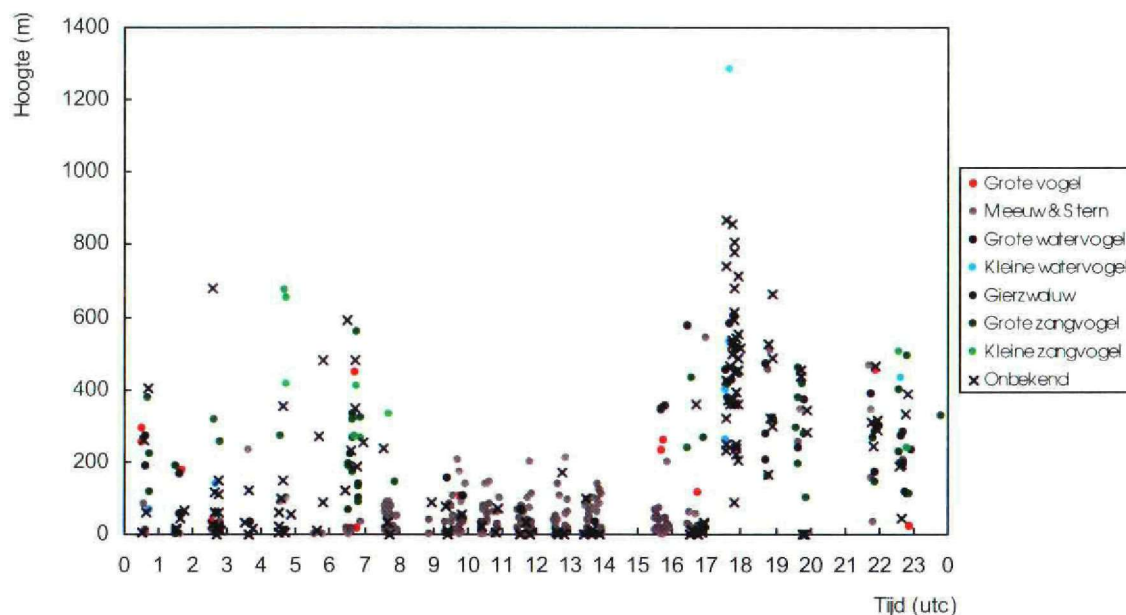
Soortenverdeling naar hoogteklaas

Ook in oktober bevonden de vliegpaden zich voornamelijk onder de 100 meter (84%). Vrijwel altijd (85%) betrof dit meeuwen & sterns. De overige vliegpaden waren van grote watervogels en grote vogels. Boven de 100 meter was het beeld heel anders. Nog slechts 45% van de vliegpaden betrof meeuwen & sterns, terwijl 28% uit zangvogels (Vinken, Spreeuwen) bestond. In de nachten werd 57% van de vliegpaden onder de 100 meter opgenomen. Hoewel nog steeds de meerderheid bestond uit meeuwen & sterns (66%), zagen we het aandeel grote watervogels (eenden, steltlopers) al duidelijk toenemen. Boven de 100 meter verdwenen 's nachts de meeuwen & sterns (1), en werden vooral grote watervogels (47%) en zangvogels (31%) waargenomen. De meeste zangvogelachtige vleugelslagfrequenties kwamen overeen met die van Koperwieken en Zanglijsters (11-12Hz).

Tijd	Soortgroep	N	Hoogte		Soortgroep	
			< 100m	> 100m	< 100m	> 100m
Dag	Totaal	1179	84%	16%		
	Grote vogel	47	64%	36%	4%	12%
	Meeuw & Stern	719	91%	9%	85%	45%
	Grote watervogel	86	81%	19%	9%	12%
	Kleine watervogel	5	20%	80%	0%	3%
	Grote zangvogel	39	41%	59%	2%	17%
	Kleine zangvogel	16		100%		11%
Nacht	Totaal	1749	57%	43%		
	Grote vogel	35	26%	74%	2%	6%
	Meeuw & Stern	379	90%	10%	66%	8%
	Grote watervogel	317	33%	67%	20%	47%
	Kleine watervogel	58	38%	62%	4%	8%
	Grote zangvogel	134	24%	76%	6%	23%
	Kleine zangvogel	50	22%	78%	2%	8%

Tabel 46 Soorten en vlieghoogten, naar dag en nacht, oktober 1999. Middelste kolom: hoogteverdelingen per soortgroep (horizontaal 100%). Vliegpaden van onbekende soorten zijn in het totaal opgenomen. Rechter kolom: soortgroepverdeling onder respectievelijk boven 100 meter hoogte (verticaal 100%). *Species and flight altitudes, by day and night, October 1999. Middle column: altitude distributions per species group (horizontally adding up to 100%). Unidentified tracks are included in the totals. Right column: species distribution below respectively above 100m altitude (vertically adding up to 100%).*

Figuur 45 geeft een kenmerkende dag uit de oktobersessie weer (20 oktober 1999). Wat opviel in nachten met vogeltrek, was het ontbreken van de soortgroep meeuwen & sterns. Overdag werden die wel waargenomen. 's Nachts zijn regelmatig zangvogels tot aan 500 meter hoogte waargenomen. Verder vielen de groepen zangvogels in de ochtend, vlak na zonsopgang, op. Fronten Spreeuwen (tot 1300 exemplaren) en groepen Vinken (tot 75 exemplaren) vlogen zowel parallel aan de kust naar het ZZW als zeewaarts naar het WZW. Vooral de groepen Vinken kozen voor een zeewaarts gerichte trek.



Figuur 45 Vlieghoogten en soortgroepen van de verschillende vliegpaden op 20 oktober 1999 te IJmuiden. *Altitudes and species groups (colour) of different flight paths during 20 October 1999.*

Vliegrichtingen

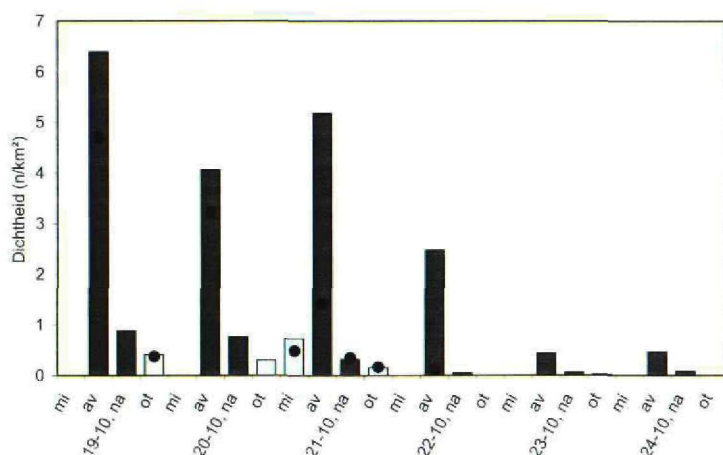
Ideale omstandigheden om de Noordzee over te steken (harde oosten wind) waren ruim voorhanden. Breedfronttrek richting Engeland is dan ook op alle dagdelen waargenomen. Zangvogels hielden een meer WZW tot ZW vliegrichting aan dan watervogels. Evenals in september hadden de kleine zangvogels in de nacht een voorkeur voor een ZW richting, maar het aandeel *reversed migration* was zo groot dat geen éénduidige significante richting kon worden vastgesteld.

Tijd	Soortgroep	N	Langs kust NNO	Land in OZO	Langs kust ZZW	Zee in WNW	Richting
Dag	Grote vogel	47	8	5	21	13	n.s.
	Meeuw & Stern	719	187	65	200	267	275°
	Grote watervogel	87	33		28	26	-
	Kleine watervogel	5	1		1	3	
	Grote zangvogel	39	1	2	18	18	233°
	Kleine zangvogel	16		2	6	8	
	Totaal	1188	297	102	359	430	269°
Nacht	Grote vogel	39	8	1	13	17	254°
	Meeuw & Stern	393	89	48	105	151	265°
	Grote watervogel	326	77	17	101	131	261°
	Kleine watervogel	63	5	3	24	31	244°
	Grote zangvogel	158	9	11	51	87	248°
	Kleine zangvogel	54	15	3	18	18	n.s.
	Totaal	1858	391	152	537	778	261°

Tabel 47 Voorkomen van vliegrichtingen voor verschillende soortgroepen, gesplitst naar dag/nacht, oktober 1999. Gebaseerd op dagen en nachten met meer dan 25 groepen en één overheersende, significante vliegrichting. *Occurrence of flight directions by day and night, October 1999. Based on days and nights with more than 25 tracks yielding a unimodal distribution and a significant mean direction.*

Elevatiescans

Op de avonden, en in mindere mate de opvolgende nachten van 18, 19, 20 en 21 oktober zijn hoge echodichtheden vastgesteld. Op 19, 20 en 21 oktober werd ook overdag gerichte trek waargenomen.



Figuur 46 2D-Dichtheid (echo's/km²) boven 100 meter in februari 1999. De dichtheden zijn gebaseerd op de verticale scan (kijkrichting 284°) en gesplitst naar nacht, ochtend, middag en avond. Wanneer de trek uit of naar zee is waargenomen zijn tevens de dichtheden van de verticale scan, kijkrichting 194°, door een • weergegeven. Alleen dagdelen met één dominante, significante vliegrichting zijn weergegeven. 2D-density (echoes per km²) above 100m altitude in February 1999. Densities are based on the vertical scan towards 284° and divided by night, morning, noon and evening. When bird movements from or towards the sea were observed, the results of the vertical scan towards 194° are also given. Only day parts with a unimodal distribution and a significant mean flight direction are presented.

Uit de vliegpaden bleek dat er in de eerste nacht vooral veel grote watervogels vlogen (60% van de vliegpaden). Op de avonden en opvolgende nachten van 19 en 20 oktober betroffen veel (40-50%) van de vliegpaden (grote) zangvogels (lijster spec.). De echo's overdag betroffen vaak meeuwen, maar in de ochtenden van 19 en 20 oktober staken regelmatig Vinken en Spreeuwen de zee in (10% van de vliegpaden). Opvallend was de richtingsdraaiing deze week: tot aan de 21^e overdag overheersten de ZZW vliegrichtingen, daarna ging bijna 50% van alle vliegpaden naar het NNO.

Datum	Tijd	Kijkrichting	Dichtheid			Vliegrichting	
			2-D (n/km ²)	Maximum (n/km ²)	Hoogte max. dichtheid (m)	Gemiddeld (graden)	
18-10-99	Avond	284°	6,4	12,2	350	244	
19-10-99	Nacht	284°	0,8	1,6	350	230	
	Ochtend	284°	0,4	2,3	150	245	
	Avond	284°	4,1	8,1	150	249	
20-10-99	Nacht	284°	0,8	1,9	150	238	
	Ochtend	284°	0,3	1,6	150	230	
	Middag	284°	0,5	2,9	150	264	
	Avond	284°	5,2	15,5	150	262	
21-10-99	Nacht	284°	0,3	1,3	150	245	
	Ochtend	284°	0,2	1,1	150	250	
	Avond	284°	2,5	7,4	150	281	
22-10-99	Nacht	284°	0,1	0,2	250	44	
	Avond	284°	0,4	1,2	150	334	
23-10-99	Nacht	284°	0,1	0,2	150/ 250	21	
	Ochtend	284°	0,4	2,4	250	2	
	Avond	284°	0,5	0,8	150/ 250	4	
24-10-99	Nacht	284°	0,1	0,4	450	17	
18-10-99	Avond	194°	4,7	7,9	450	244	
19-10-99	Ochtend	194°	0,4	1,1	150/ 250	245	
	Avond	194°	3,2	6,7	250	249	
20-10-99	Middag	194°	0,5	2,9	150	264	
	Avond	194°	1,4	3,2	150	262	
21-10-99	Nacht	194°	0,4	1,5	150	245	
	Ochtend	194°	0,2	0,7	150	250	
	Avond	194°	0,1	0,3	150/ 350	281	

Tabel 48 Dichtheden en vlieghoogten boven de 100 meter in oktober 1999, gebaseerd op de verticale scan. Standaard is haaks op de kustlijn gemeten (kijkrichting 284°). Wanneer trek uit of naar zee is waargenomen zijn de gegevens gearceerd en zijn bovendien de gegevens uit de verticale scan evenwijdig aan de kustlijn (kijkrichting 194°) weergegeven. Van links naar rechts zijn weergegeven: de algemene dichtheid in echo's per km², de maximale dichtheid in echo's/ km², de bijbehorende hoogtelaag en de gemiddelde vliegrichting. Alleen dagdelen met één dominante, significante vliegrichting zijn weergegeven. Densities and flight altitudes above 100m altitude in October 1999, based on the vertical scan. Standard vertical scans are directed perpendicular to the coastline, towards 284°. When bird movements from or towards the sea were observed, the results are hatched and also the results of vertical scans parallel to the coastline are given. From left to right: the overall density in echoes per km², the maximum density in echoes per km², the altitude with the maximum density and the mean track direction.

Op de avonden van 18, 19 en 20 oktober vertoonden de hoogteverdelingen grote gelijkens; de grootste dichtheden werden gemeten tussen de 100 en 400 meter. Daarboven namen de dichtheden snel af. Boven de 1200 meter werden geen vogels meer waargenomen. De piekdichtheden bedroegen 12,2 echo's per km³ tussen de 300 en 400 meter op 18 oktober, 8,1 echo's per km³ tussen 100 en 200 meter op 19 oktober en 15,5 echo's per km³ tussen 100 en 200 meter op 20 oktober. De vliegrichtingen draaiden in de loop van de avonden van 244° naar 262°, conform de windrichtingen die van O, via OZO naar ZO draaiden.

Datum	Tijd	Afstand tot de kust (km)			
		2½ - 4	4 - 5½	5½ - 7	7 - 8½
18-10-99	Avond		16,91	12,78	9,23
19-10-99	Nacht		3,15	1,80	0,58
	Ochtend		1,36	0,60	0,44
20-10-99	Avond		12,88	9,53	6,02
	Nacht		2,37	1,05	0,76
	Ochtend		0,59	0,60	0,31
21-10-99	Middag		1,75	0,61	0,48
	Avond		13,22	10,29	6,10
	Nacht		1,02	1,14	0,35
	Ochtend		0,56	0,43	0
	Avond		8,67	3,86	1,67
22-10-99	Nacht		0,19	0,12	0,03
	Avond		1,86	0,78	0,54
23-10-99	Nacht		0,27	0,22	0,13
	Ochtend		0,07	0,10	0,05
	Avond		1,39	1,13	0,56
24-10-99	Nacht		0,27	0,17	0,04
18/24-10	Nacht		100%	62%	26%
	Ochtend		100%	67%	31%
	Middag		100%	35%	28%
	Avond		100%	70%	45%

Tabel 49 2D-dichtheden boven de 100 meter in relatie tot de afstand uit de kust in oktober 1999, gebaseerd op de verticale scans. Boven: Dichtheden per dagdeel in echo's per km². Onder: Verdeling van dichtheden per week, uitgedrukt in procenten van de maximale gemiddelde dichtheid. Alleen dagdelen met één dominante, significante vliegrichting zijn gebruikt. Dagdelen waarbij de vliegrichting min of meer haaks op de kustlijn stond, wat een minder betrouwbare gradiënt oplevert, zijn gearceerd. *2D-densities on different distances from the coastline, above 100m altitude in October 1999, based on the vertical scans. a) Densities per part of day, in echoes per km². b) Mean weekly density distributions, as a percentage from the maximum mean density. Only day parts with a unimodal distribution and a significant mean flight direction are used. Day parts with a dominant flight direction more or less perpendicular to the coastline, yielding less reliable density measurements, are hatched.*

In de maand oktober was weer een fraaie dichtheidsgradiënt te zien vanaf de kust. Met uitzondering van de middag waren de echo's geconcentreerd tussen 5½ - 7 km van de kust (62-70% van de maximale dichtheid). Voorbij 7 km vloog nog circa 1/3 van het maximum, in de avond zelfs bijna de helft.

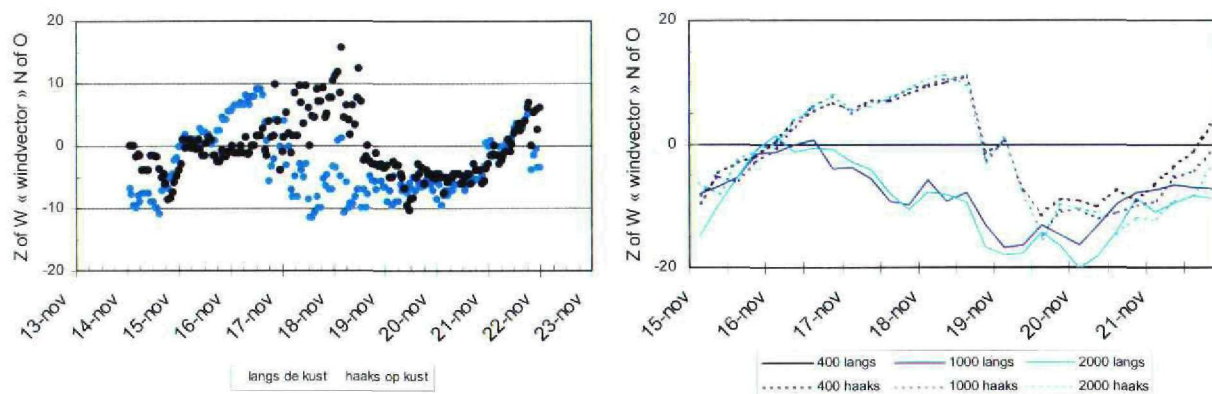
8.1.11 November

Meetperiode

Aan het eind van de middag van de 15^e startte het meetprogramma op de punt van de Zuidpier. Vanwege een NW storm verhuisden we in de middag van de 16^e naar de locatie op het strand. Aan het eind van de middag van de 20^e zijn we teruggekeerd naar de punt van de pier, maar door technische problemen konden we de grote golf die net begonnen was jammer genoeg niet verder volgen.

Meteo

Op de 14^e bevond ons land zich nog enige tijd in de warme sector van een depressie boven Finland. Er viel enige tijd motregen en het werd op veel plaatsen 10 à 11° C. In de middag passeerde het koufront, waarna de wind naar het noordoosten ruimde en de temperatuur sterk omlaag ging. Op 15 november trok een hogedrukgebied van Zuid-Noorwegen naar Polen. Met een zwakke ooststroming werd koude en droge lucht aangevoerd. Het was een zonnige, maar koude dag, met maxima tot 8° C. In de nacht van 15 op 16 november vroom het met weinig wind licht. Onder invloed van een koufront dat rond de middag van de 16^e passeerde werd het overdag niet warmer dan 3 à 4° C. Na de passage van het koufront kreeg het weer een guur karakter. Met een koude en onstabiele noordweststroming dreven talrijke winterse buien van de Noordzee landinwaarts. Tot aan de 21^e lieten de weerkaarten een krachtig hogedrukgebied ten westen van de Britse Eilanden zien en opeenvolgende depressies boven Scandinavië. Met een krachtige noordstroming werd van hoge breedtegraden zeer koude lucht naar onze omgeving gevoerd. Boven het relatief warme Noordzeewater kwamen talrijke zware winterse buien met regen, hagel, sneeuw en onweer tot ontwikkeling, die landinwaarts dreven. In de ochtend van de 18^e resulteerde dat in het binnenland plaatselijk een in sneeuwdek van 5 cm. (maandoverzicht november 1999, KNMI 1999).



Figuur 47 Windvectoren (m/s) geprojecteerd langs en haaks op de kust, november 1999, IJmuiden. In de linker figuur zijn de windvectoren afgeleid uit de gemeten wind op 10 meter hoogte. In de rechter figuur wordt de windvector op 400, 1000 en 2000 meter hoogte uit het HIRLAM model weergegeven, langs (doorgetrokken lijn) of haaks op (gestippelde lijn) de kustlijn. *Wind vectors related to bird movements along (light blue or line) and perpendicular to (dark blue or dashed line) the coastline, November 1999. Left figure: measured wind vectors at 10 m altitude. Right figure: wind vectors at 400, 1000 and 2000 m altitude, obtained from HIRLAM model.*

Op de middag van de 16^e werd de windvector positief voor trek parallel aan de kust naar het ZZW. Dankzij toename van de wind boven de 400 meter werd de windvector vanaf de 19^e nog beter. Een dalende temperatuur zorgde voor de eerste koudevlucht op de 20^e. Vanaf 19 november tot het eind van de meetsessie waren de windvectoren positief voor zeewaarts gerichte trek.

Waargenomen vogelsoorten en aantallen

Mede door de koudevlucht van 20 november zijn veel soorten waargenomen. Het gaat vooral om grote vogels en grote watervogels, naast uiteraard een groot aandeel meeuwen. Overdag worden o.a. gezien: gans spec. (306 exemplaren, 11 groepen), Grote Mantelmeeuw (17 exemplaren, 14 groepen), meeuw spec. (588 exemplaren, 206 groepen), Stormmeeuw (27 exemplaren, 24 groepen), Zilvermeeuw (629 exemplaren, 211 groepen), steltloper spec. (mogelijk ging het vooral om Rosse Grutto's, 809 exemplaren, 32 groepen), Kievit (66 exemplaren, 6 groepen), Rosse Grutto (320 exemplaren, 3 groepen), Pijlstaart (78 exemplaren 3 groepen), Zwarte Zee-eend (114 exemplaren, 10

groepen), Alk/Zeekoet (39 exemplaren, 7 groepen), Spreeuw (107 exemplaren, 4 groepen) en Vink (41 exemplaren, 4 groepen).

Tijdens de visuele panoramatellingen op 17 november werden 4288 vogels waargenomen gedurende slechts 7 tellingen. Het merendeel bestond uit meeuwen (99%), met een paar Zeekoeten (24 exemplaren, 1%).



Foto 9 Niet altijd waren de omstandigheden gunstig om op de punt van de zuidpier te gaan staan. *Weather conditions were not always favourable for radar measurements at the end of the southern pier of IJmuiden.*

Soortenverdeling naar hoogteklasse

Overdag is 'slechts' 56% van de vliegpaden onder de 100 meter waargenomen. Hiervan betrof het merendeel weer meeuwen (89%). Boven de 100 meter was het merendeel van de vliegpaden van meeuwen (79%) en grote watervogels (12%, o.a. Pijlstaart en Rosse Grutto). 's Nachts werden ongeveer evenveel echo's onder de 100 meter opgenomen als overdag (57%). 's Nachts was de soortenverdeling meer vergelijkbaar met de andere maanden uit het najaar, met veel meeuwen en grote watervogels in de onderste 100 meter. Boven de 100 meter vlogen vrijwel uitsluitend grote en kleine watervogels. Het aantal zangvogels nam af tot nog slechts 4% van de vliegpaden.

Tijd	Soortgroep	N	Hoogte		Soortgroep	
			< 100m	> 100m	< 100m	> 100m
Dag	Totaal	921	56%	44%		
	Grote vogel	23	30%	70%	2%	6%
	Meeuw & Stern	524	57%	43%	89%	79%
	Grote watervogel	59	42%	58%	7%	12%
	Kleine watervogel	8	100%		2%	
	Grote zangvogel	6	17%	83%	0%	2%
Nacht	Kleine zangvogel	4		100%		1%
	Totaal	1175	57%	43%		
	Grote vogel	18	33%	67%	2%	5%
	Meeuw & Stern	257	92%	8%	74%	8%
	Grote watervogel	240	27%	73%	20%	68%
	Kleine watervogel	51	22%	78%	3%	15%
Grote zangvogel	8		100%		3%	
Kleine zangvogel	5	40%	60%	1%	1%	

Tabel 50 Soorten en vlieghoogten, naar dag en nacht, november 1999. Middelste kolom: hoogteverdelingen per soortgroep (horizontaal 100%). Vliegpaden van onbekende soorten zijn in het totaal opgenomen. Rechter kolom: soortgroepverdeling onder respectievelijk boven 100 meter hoogte (verticaal 100%). *Species and flight altitudes, by day and night, November 1999. Middle column: altitude distributions per species group (horizontally adding up to 100%). Unidentified tracks are included in the totals. Right column: species distribution below respectively above 100m altitude (vertically adding up to 100%).*

Vliegrichtingen

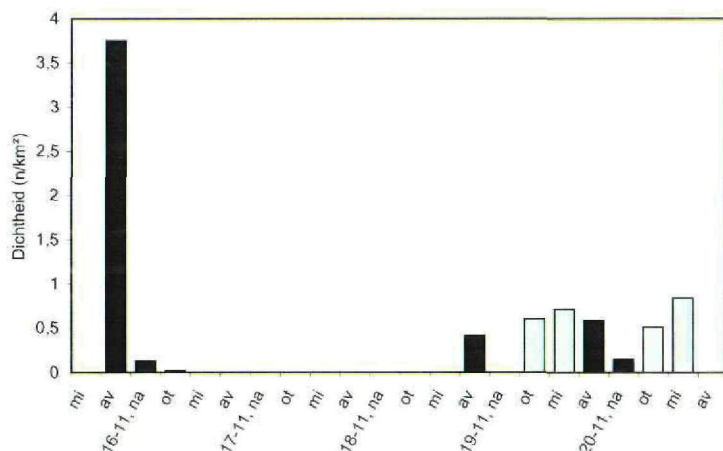
Leken de meeuwen (en sterns) overdag ZZW tot WZW georiënteerd, in de nacht vertoonden ze lokaal gedragen en vlogen alle kanten op. De watervogels hadden drie voorkeursrichtingen. Niet alleen vlogen ze parallel aan de kust naar het zuiden en over de kust richting Engeland, maar bovendien leidde een groot deel van de vliegpaden van de grote watervogels parallel aan de kust naar het noorden.

Tijd	Soortgroep	N	Langs kust NNO	Land in OZO	Langs kust ZZW	Zee in WNW	Richting
Dag	Grote vogel	23	5	2	13	3	
	Meeuw & Stern	524	55	74	243	152	215°
	Grote watervogel	59	28	2	21	8	n.s.
	Kleine watervogel	8	8				
	Grote zangvogel	6		1	3	2	
	Kleine zangvogel	4				4	
	Totaal	921	135	174	404	208	210°
Nacht	Grote vogel	19	4	3	9	3	
	Meeuw & Stern	263	63	80	73	47	n.s.
	Grote watervogel	262	64	24	102	72	237°
	Kleine watervogel	52	11	2	28	11	230°
	Grote zangvogel	10			7	3	
	Kleine zangvogel	5	1		3	1	
	Totaal	1223	231	289	448	255	192°

Tabel 51 Voorkomen van vliegrichtingen voor verschillende soortgroepen, gesplitst naar dag/nacht, november 1999. Gebaseerd op dagen en nachten met meer dan 25 groepen en één overheersende, significante vliegrichting. *Occurrence of flight directions by day and night, November 1999. Based on days and nights with more than 25 tracks yielding an unimodal distribution and a significant mean direction.*

Elevatiescans

Aan het begin van de meetweek vond al direct in de avond een kleine doortrekpiek plaats. Na een onstuimige weersperiode met weinig vogelbewegingen zorgden dalende temperaturen voor een lichte opleving van de trek in de laatste twee dagen.



Figuur 48 2D-Dichtheid (echo's/km²) boven 100 meter in november 1999. De dichtheden zijn gebaseerd op de verticale scan (kijkrichting 284°) en gesplitst naar nacht, ochtend, middag en avond. Wanneer de trek uit of naar zee is waargenomen zijn tevens de dichtheden van de verticale scan, kijkrichting 194°, door een • weergegeven. Alleen dagdelen met één dominante, significante vliegrichting zijn weergegeven. *2D-density (echoes per km²) above 100m altitude in November 1999. Densities are based on the vertical scan towards 284° and divided by night, morning, noon and evening. When bird movements from or towards the sea were observed, the results of the vertical scan towards 194° are also given. Only day parts with a unimodal distribution and a significant mean flight direction are presented.*

Gedurende alle dagdelen met gerichte trekbewegingen domineerden de grote watervogels. Zowel overdag als 's nachts werden veel ganzen en steltlopers gezien. Tijdens de piek aan het begin van de meetweek waren de vliegrichtingen naar het NNO dominant. Vanaf de 19^e waren de vliegrichting overwegend ZZW tot W.

Datum	Tijd	Kijkrichting	Dichtheid			Vliegrichting
			2-D (n/km ²)	Maximum (n/km ³)	Hoogte max. dichtheid (m)	Gemiddeld (graden)
15-11-99	Avond	284°	3,8	4,8	650	272
16-11-99	Nacht	284°	0,1	0,3	150	31
	Ochtend	284°	0,0	0,2	150	3
18-11-99	Avond	284°	0,4	1,1	150	207
19-11-99	Ochtend	284°	0,6	3,6	150	220
	Middag	284°	0,7	2,6	150	221
	Avond	284°	0,6	1,6	150	232
20-11-99	Nacht	284°	0,2	0,5	150	197
	Ochtend	284°	0,5	3,6	150	212
	Middag	284°	0,8	4,5	150	212
15-11-99	Avond	194°	0,9	1,6	150	272

Tabel 52 Dichtheden en vlieghoogten boven de 100 meter in november 1999, gebaseerd op de verticale scan. Standaard is haaks op de kustlijn gemeten (kijkrichting 284°). Wanneer trek uit of naar zee is waargenomen zijn de gegevens gearceerd en zijn bovendien de gegevens uit de verticale scan evenwijdig aan de kustlijn (kijkrichting 194°) weergegeven. Van links naar rechts zijn weergegeven: de algemene dichtheid in echo's per km², de maximale dichtheid in echo's/ km³, de bijbehorende hoogtelaag en de gemiddelde vliegrichting. Alleen dagdelen met één dominante, significante vliegrichting zijn weergegeven. *Densities and flight altitudes above 100m altitude in November 1999, based on the vertical scan. Standard vertical scans are directed perpendicular to the coastline, towards 284°. When bird movements from or towards the sea were observed, the results are hatched and also the results of vertical scans parallel to the coastline are given. From left to right: the overall density in echoes per km², the maximum density in echoes per km³, the altitude with the maximum density and the mean track direction.*

Op de avond van de 15^e was de gemiddelde vliegrichting pal west. De hoogste dichtheden zijn vastgesteld tussen de 100 en 1700 meter hoogte, met de piekdichtheid tussen de 600 en 700 meter (4,8 echo's per km³). Tot 2000 meter hoogte was de windvector zuiver positief voor een vliegrichting naar het westen. De dichtheden aan het eind van de week waren niet hoog, maar worden hier toch besproken omdat het de eerste koudegolf betrof. Tot grote hoogte stond er een stormachtige NO wind (kracht 7). Het nulgraden niveau lag tussen 200 en 400 meter hoogte. Hoewel de wind op alle hoogtes in de rug woei, vond de meeste trek plaats in de onderste 100^e meters, met overal piekdichtheden tussen 100 en 200 meter. Boven de 500 tot 800 meter vond geen trek meer plaats.

Datum	Tijd	Afstand tot de kust (km)			
		2½ - 4	4 - 5½	5½ - 7	7 - 8½
15-11-99	Avond		9,66	6,93	6,50
16-11-99	Nacht		0,08	0,20	0,17
	Ochtend		0,04	0,03	0
18-11-99	Avond	0,60	0,57	0,10	
19-11-99	Ochtend	0,79	0,64	0,37	
	Middag	0,53	0,88	0,73	
	Avond	1,38	1,38	0,66	
20-11-99	Nacht	0,21	0,14	0,10	
	Ochtend	0,42	0,57	0,55	
	Middag	0,28	1,23	1,46	0,86
15/20-11	Nacht	72%	73%	100%	57%
	Ochtend	97%	100%	76%	0%
	Middag	37%	96%	100%	39%
	Avond	17%	100%	66%	56%

Tabel 53 2D-dichtheden boven de 100 meter in relatie tot de afstand uit de kust in november 1999, gebaseerd op de verticale scans. Boven: Dichtheden per dagdeel in echo's per km². Onder: Verdeling van dichtheden per week, uitgedrukt in procenten van de maximale gemiddelde dichtheid. Alleen dagdelen met één dominante, significante vliegrichting zijn gebruikt. Dagdelen waarbij de vliegrichting min of meer haaks op de kustlijn stond, wat een minder betrouwbare gradiënt oplevert, zijn gearceerd. *2D-densities on different distances from the coastline, above 100m altitude in November 1999, based on the vertical scans. a) Densities per part of day, in echoes per km². b) Mean weekly density distributions, as a percentage from the maximum mean density. Only day parts with a unimodal distribution and a significant mean flight direction are used. Day parts with a dominant flight direction more or less perpendicular to the coastline, yielding less reliable density measurements, are hatched.*

Tijdens de koudegolf trad pas na 7 km een afname van de dichtheid op. De dichtheid nam tot 7 km afstand nauwelijks af. Op de middag van de 20^e werd zelfs de hoogste dichtheid geregistreerd tussen 5½ en 7 km uit de kust.

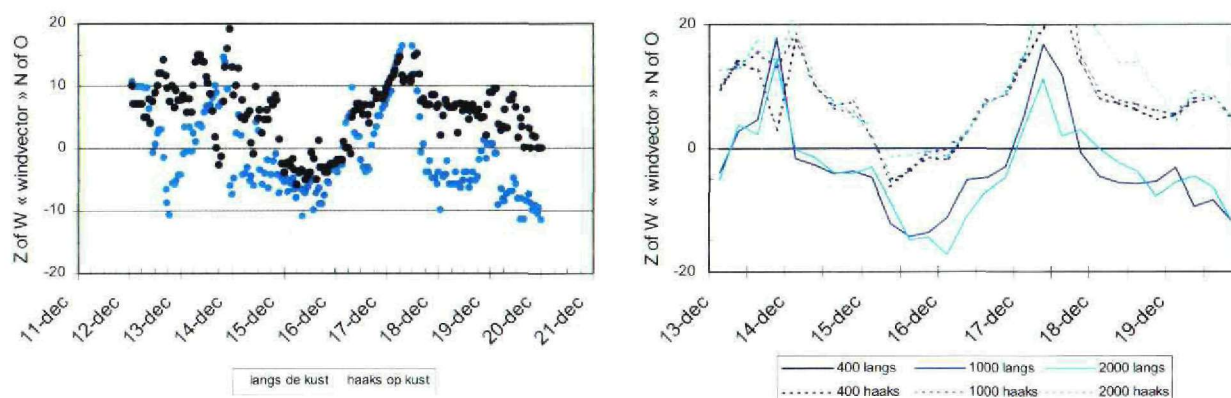
8.1.12 December

Meetperiode

Op 13 december, vlak voordat het donker werd, startten we op de strandlocatie. Een harde NW tot W wind hield ons van de punt van de pier. Na een kleine koudevlucht gevolgd door zeer slecht weer, eindigden we de sessie op de middag van de 16^e.

Meteo

Op 13 december, 00:00 UTC, bevond zich voor de Noorse kust ter hoogte van Stavanger een kleine depressie, die met de bijbehorende koudeput naar het zuidzuidoosten trok. De depressie bereikte op de 14^e de Waddeneilanden en koerste vandaar naar de Oostzee. Vanaf die dag steeg de luchtdruk boven de Britse Eilanden flink. Door deze ontwikkelingen ruimde de luchtstroming boven onze omgeving van zuidzuidwest naar noordnoordwest en ging de temperatuur omlaag. Op de 15^e werd het niet warmer dan 2 à 3° C. In de nacht van 15 op 16 vroomde het op de meeste plaatsen licht. De neerslag viel veelal in de vorm van winterse buien. Onder invloed van een frontale zone boven de Noordzee en van een sterk uitdiepende depressie die snel van het zeegebied ten zuiden van IJsland naar de Botnische Golf trok, kromp de wind bij ons weer naar het zuidwesten en nam flink in kracht toe. Tijdens de passage van het koufront in de avond van de 17^e stond er een harde zuidwesten wind met zware windstoten die aan de kust aantrok tot stormkracht. Landelijk viel die dag 9 mm regen. De temperatuur ging geleidelijk weer omhoog. Vanaf de 18^e werd, langs de oostflank van een hogedrukgebied boven Engeland, zeer koude onstabiele lucht naar ons land gevoerd. Talrijke winterse buien dreven van de Noordzee landinwaarts. Hierdoor lag op de 19^e in het noordoosten van het land een sneeuwdek van 6 cm. De maximumtemperatuur daalde van aanvankelijk 6° C naar 3° C op de 19^e (maandoverzicht december 1999, KNMI 1999).



Figuur 49 Windvectoren (m/s) geprojecteerd langs en haaks op de kust, december 1999, IJmuiden. In de linker figuur zijn de windvectoren afgeleid uit de gemeten wind op 10 meter hoogte. In de rechter figuur wordt de windvector op 400, 1000 en 2000 meter hoogte uit het HIRLAM model weergegeven, langs (doorgetrokken lijn) of haaks op (gestippelde lijn) de kustlijn. *Wind vectors related to bird movements along (light blue or line) and perpendicular to (dark blue or dashed line) the coastline, December 1999. Left figure: measured wind vectors at 10 m altitude. Right figure: wind vectors at 400, 1000 and 2000 m altitude, obtained from HIRLAM model.*

Tijdens een korte periode rond 15 december, met lage temperaturen en vooral hogerop grote windvectoren in een ZZW richting, waren de weersomstandigheden ideaal voor een koudevlucht. Al in de loop van de 16^e namen de gunstige windvectoren sterk af. Regen en storm zorgen vervolgens voor negatieve weerparameters in de tweede helft van de meet sessie.

Waargenomen vogels en aantallen

December begon en eindigde met zeer weinig vogels. Op één dag, 15 december, vond koudetrek plaats. Afgezien van de meeuwen hadden bijna alle waarnemingen betrekking op deze dag. Aan deze koudetrek namen deel de soortgroepen grote vogels, meeuwen en sterns en grote watervogels deelgenomen. Overdag werden waargenomen: gans spec. (2910 exemplaren, 63 groepen), Brandgans (230 exemplaren, 2 groepen), meeuw spec. (416 exemplaren, 62 groepen), Grote Mantelmeeuw (11 exemplaren, 10 groepen), Zilvermeeuw (265 exemplaren, 43 groepen), eend spec. (104 exemplaren, 5 groepen), Pijlstaart (290 exemplaren, 3 groepen), steltloper spec. (1466

exemplaren, 25 groepen), Kievit (390 exemplaren, 6 groepen), Rosse Grutto (90 exemplaren, 1 groepen), Wulp (32 exemplaren, 2 groepen), Scholekster (29 exemplaren, 2 groepen).

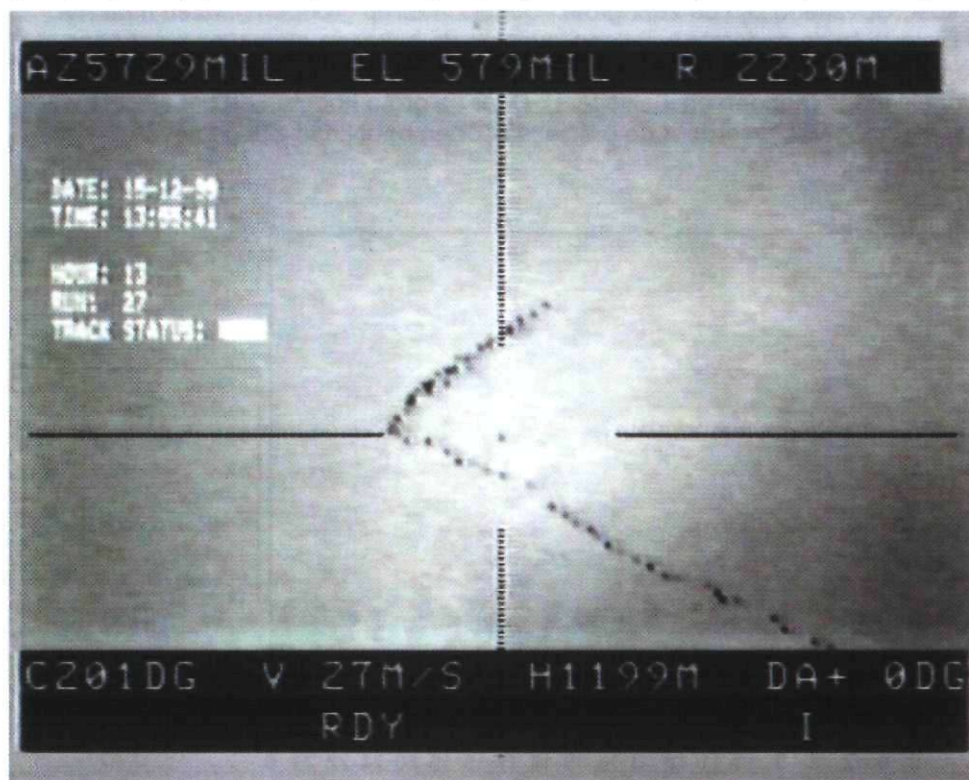


Foto 10 Beeld van de videocamera die parallel aan de doelvolgantenne is gemonteerd. Tijdens de koudetrek van 15 december 1999 wordt een grote groep ganzen gevolgd. Zichtbaar aan de bovenkant van de foto zijn de azimuth (mills), elevatie (mills) en afstand tot de gevolgde echo (meter). Op de onderste regel achtereenvolgens de vliegrichting (graden), snelheid (m/s), hoogte (meter), duikhoek (graden), tracking status en frequentieband van de radar. *Video still, taken by a camera mounted parallel to the tracking antenna, of a flock of geese on 15 December 1999. Radar parameters indicate position (upper) and direction, speed and altitude (below).*

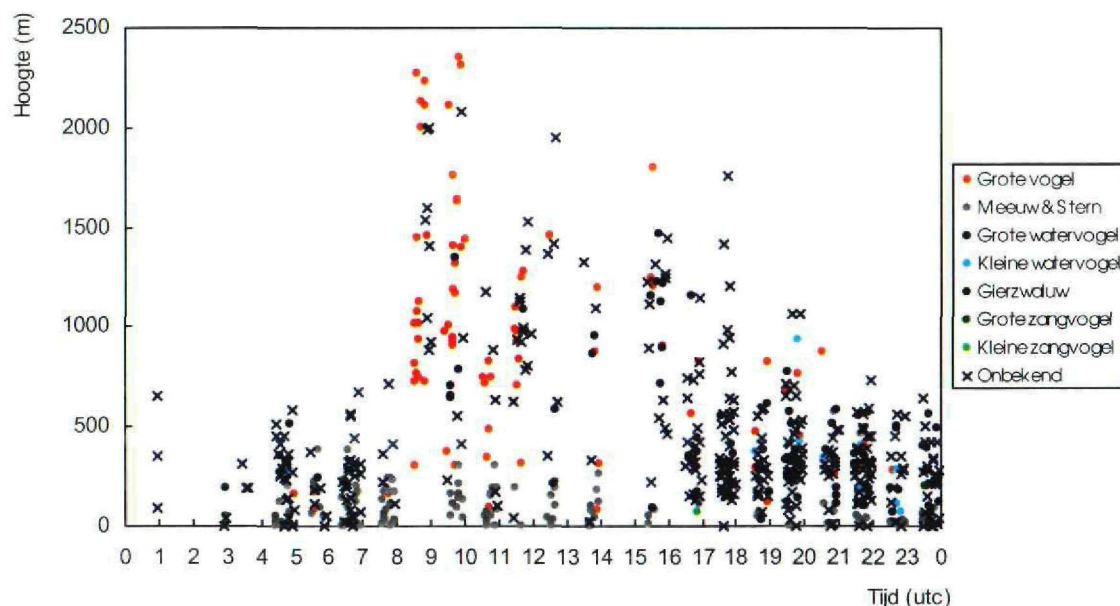
Soortenverdeling naar hoogteklaas

Overdag is slechts 45% van de vliegpaden onder de 100 meter waargenomen. Dit is voor een belangrijk deel toe te schrijven aan de koudetrek van 15 december, die op grotere hoogte plaatsvond. Wel kwam voor de soortgroepen weer het vertrouwde beeld naar voren: 89% bestond uit meeuwen. Boven de 100 meter werden grote vogels (ganzen) en meeuwen waargenomen. Een klein deel bestond uit grote watervogels (o.a. Pijlstaart, Rosse Grutto). In de nachten werd een vergelijkbaar deel onder de 100 meter geregistreerd (39%). Ook nu bestond dit voor 85% uit meeuwen. Een klein aandeel grote watervogels complementeerde het beeld. Boven de 100 meter zagen we een vrij breed scala aan soorten: grote vogels, meeuwen, veel grote watervogels (53%) en kleine watervogels. Het aandeel zangvogels bleef beperkt tot 2%.

Tijd	Soortgroep	N	Hoogte		Soortgroep	
			< 100m	> 100m	< 100m	> 100m
Dag	Totaal	411	45%	55%		
	Grote vogel	72	6%	94%	3%	45%
	Meeuw & Stern	177	66%	35%	89%	40%
	Grote watervogel	32	31%	69%	8%	14%
	Kleine watervogel	1		100%		1%
Nacht	Totaal	932	39%	61%		
	Grote vogel	29	14%	86%	2%	14%
	Meeuw & Stern	193	83%	17%	85%	19%
	Grote watervogel	113	16%	84%	10%	53%
	Kleine watervogel	28	21%	79%	3%	12%
	Grote zangvogel	3		100%		2%
	Kleine zangvogel	1	100%		0%	

Tabel 54 Soorten en vlieghoogten, naar dag en nacht, december 1999. Middelste kolom: hoogteverdelingen per soortgroep (horizontaal 100%). Vliegpaden van onbekende soorten zijn in het totaal opgenomen. Rechter kolom: soortgroepverdeling onder respectievelijk boven 100 meter hoogte (verticaal 100%). *Species and flight altitudes, by day and night, December 1999. Middle column: altitude distributions per species group (horizontally adding up to 100%). Unidentified tracks are included in the totals. Right column: species distribution below respectively above 100m altitude (vertically adding up to 100%).*

Figuur 50 is een prachtig voorbeeld van de vlieghoogtes van de verschillende soortgroepen tijdens een koudegolf aan de kust. Opvallend zijn de zeer grote hoogtes waarop groepen ganzen naar het ZZW vlogen (tot 2400 meter!). In de onderste luchtlagen kwamen de bekende meeuwen weer naar voren, met de grootste vlieghoogtes rond de middag. In de avond kwamen spectaculaire aantallen grote en kleine watervogels langs (eenden en steltlopers). Door de grote hoogten en het slechte weer was visuele herkenning niet mogelijk, waardoor de precieze soorten onbekend zijn gebleven.



Figuur 50 Vlieghoogte en soortgroepen van de verschillende vliegpaden op 15 december 1999 te IJmuiden. *Altitudes and species groups (colour) of all flight paths on 15 December 1999.*

Vliegrichtingen

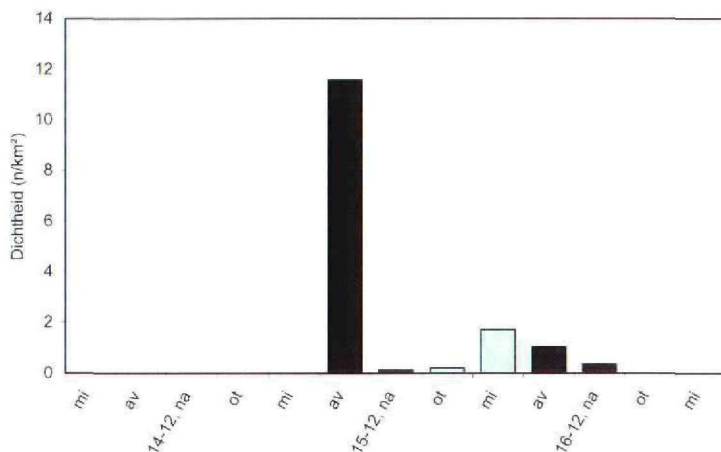
Zoals gezegd werd de soortenverdeling overheerst door de koudevlucht, met een sterke voorkeur voor vliegrichtingen parallel aan de kust naar het zuiden als gevolg. Alle soortgroepen in de nacht en met uitzondering van de meeuwen overdag hebben vliegrichtingen parallel aan de kust.

Tijd	Soortgroep	N	Langs kust NNO	Land in OZO	Langs kust ZZW	Zee in WNW	Richting
Dag	Grote vogel	72	1	1	64	6	213°
	Meeuw & Stern	177	25	50	82	20	-
	Grote watervogel	32	5	2	23	2	214°
	Kleine watervogel	1				1	
	Totaal	411	55	75	237	44	199°
Nacht	Grote vogel	29	2	1	25	1	199°
	Meeuw & Stern	193	33	42	81	37	191°
	Grote watervogel	113	15	4	85	9	207°
	Kleine watervogel	28	4	3	16	5	210°
	Grote zangvogel	3			2	1	
	Kleine zangvogel	1				1	
	Totaal	932	109	113	563	147	204°

Tabel 55 Voorkomen van vliegrichtingen voor verschillende soortgroepen, gesplitst naar dag/nacht, december 1999. Gebaseerd op dagen en nachten met meer dan 25 groepen en één overheersende, significante vliegrichting. *Occurrence of flight directions by day and night, December 1999. Based on days and nights with more than 25 tracks yielding an unimodal distribution and a significant mean direction.*

Elevatiescans

Op de avond van de 14^e en overdag op de 15^e is de vorstrush te zien. Na een kleine nasleep in de aansluitende avond en nacht, waren geen bewegingen van betekenis meer zichtbaar.



Figuur 51 2D-Dichtheid (echo's/km²) boven 100 meter in december 1999. De dichtheden zijn gebaseerd op de verticale scan (kijkrichting 284°) en gesplitst naar nacht, ochtend, middag en avond. Wanneer de trek uit of naar zee is waargenomen zijn tevens de dichtheden van de verticale scan, kijkrichting 194°, door een • weergegeven. Alleen dagdelen met één dominante, significante vliegrichting zijn weergegeven. 2D-density (echoes per km²) above 100m altitude in December 1999. Densities are based on the vertical scan towards 284° and grouped by night, morning, noon and evening. When bird movements from or towards the sea were observed, the results of the vertical scan towards 194° are also presented and marked with a dot. Only day parts with a unimodal distribution and a significant mean flight direction are presented.

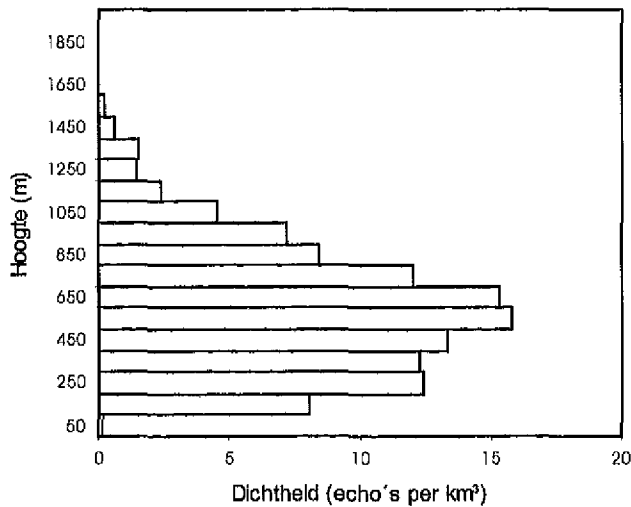
De vogelsoorten beperkten zich naast grote meeuwen uitsluitend tot de sootgroepen van de grote watervogels (avond en nacht) en grote vogels (overdag, lees ganzen). Tijdens de koudegolf passeerden tussen en boven de sneeuwbuien groepen ganzen, eenden en steltlopers op grote hoogte, zie ook Figuur 50. Tijdens de koudegolf gingen vrijwel alle vogels langs de kust naar het ZZW, terwijl op de overige dagdelen alle richtingen voorkwamen. Lokale bewegingen van de soortgroep meeuwen & sterns bepaalden het beeld en de elevatiescans konden niet worden uitgewerkt.

Datum	Tijd	Kijkrichting	Dichtheid			Vliegrichting	
			2-D (n/km ²)	Maximum (n/km ³)	Hoogte max. dichtheid (m)	Gemiddeld (graden)	
14-12-99	Avond	284°	11,6	15,8	550	195	
15-12-99	Nacht	284°	0,1	0,6	150	206	
	Ochtend	284°	0,2	1,2	150	221	
	Middag	284°	1,7	6,2	150	210	
	Avond	284°	1,0	2,6	250	210	
16-12-99	Nacht	284°	0,4	1,3	250	205	

Tabel 56 Dichtheden en vlieghoogten boven de 100 meter in december 1999, gebaseerd op de verticale scan. Standaard is haaks op de kustlijn gemeten (kijkrichting 284°). Wanneer trek uit of naar zee is waargenomen zijn de gegevens gearceerd en waar beschikbaar zijn bovendien de gegevens uit de verticale scan evenwijdig aan de kustlijn (kijkrichting 194°) weergegeven. Van links naar rechts zijn weergegeven: de totale dichtheid in echo's per km², de maximale dichtheid in echo's/ km³, de bijbehorende hoogtelaag en de gemiddelde vliegrichting. Alleen dagdelen met één dominante, significante vliegrichting zijn weergegeven. Densities and flight altitudes above 100m altitude in December 1999, based on the vertical scan. Standard vertical scans are directed perpendicular to the coastline, towards 284°. When bird movements from or towards the sea were observed, the results are hatched and also the results of vertical scans parallel to the coastline are given. From left to right: the overall density in echoes per km², the maximum density in echoes per km³, the altitude with the maximum density and the mean track direction.

Tijdens de koudegolf waren de echo's vooral geconcentreerd in de onderste 600 meter. Opvallend is dat de onderste 100 meters, zowel 's avonds als overdag, bijna leeg waren. Tijdens de spectaculaire avond van de 14^e zijn tussen de 500 en 600 meter hoogte piekdichtheden van 15,8 echo's per km³ waargenomen. Hoewel het op de grond niet regende bevonden zich tussen 1500 en 3000 m hoogte grote regenwolken. Onder deze wolken ging de grote stroom vogels naar het ZZW. De windvector stond voor deze vliegrichting echter op alle hoogtes in de rug en de bovengrens van de trekstroom werd bepaald door de regenwolken. De volgende dag kwamen vele sneeuwbuien langs. Daarbij werden de piekdichtheden onderin waargenomen. In de middag passeerden de vogels in dichtheden van 6,2 echo's per km³ tussen de 100 en 200 meter, in de opvolgende avond in dichtheden van 2,6

echo's per km³ tussen de 200 en 300 meter. De op grote hoogte passerende groepen ganzen, eenden en steltlopers vlogen vooral vlak langs de kust, waardoor zij met de elevatiescan boven zee niet zijn waargenomen.



Figuur 52 Hoogteverdeling (echo's per km³) per 100 meter hoogteklassen uit de elevatiescan (284°) in de avond van 14 december 1999 boven zee, strandlocatie. *Altitude distribution (echoes per km³) in 100 m altitude classes from the elevationscan (284°), evening of 14 December 1999.*

Datum	Tijd	Afstand tot de kust (km)			
		2½ - 4	4 - 5½	5½ - 7	7 - 8½
14-12-99	Avond	21,06	11,67	1,94	
15-12-99	Nacht	0,22	0,06	0,06	
	Ochtend	0,29	0,18	0,09	
	Middag	3,34	1,08	0,68	
	Avond	1,37	1,00	0,68	
16-12-99	Nacht	0,72	0,28	0,06	
13/16-12	Nacht	100%	36%	12%	
	Ochtend	100%	62%	30%	
	Middag	100%	32%	20%	
	Avond	100%	57%	12%	

Tabel 57 2D-dichtheden boven de 100 meter in relatie tot de afstand uit de kust in december 1999, gebaseerd op de verticale scans. Boven: Dichtheden per dagdeel in echo's per km². Onder: Verdeling van dichtheden per week, uitgedrukt in procenten van de maximale gemiddelde dichtheid. Alleen dagdelen met één dominante, significante vliegrichting zijn gebruikt. Dagdelen waarbij de vliegrichting min of meer haaks op de kustlijn stond, hetgeen een minder betrouwbare gradiënt oplevert, zijn gearceerd. *2D-densities on different distances from the coastline, above 100m altitude in December 1999, based on the vertical scans. a) Densities per part of day, in echoes per km². b) Mean weekly density distributions, as a percentage from the maximum mean density. Only day parts with a unimodal distribution and a significant mean flight direction are used. Day parts with a dominant flight direction more or less perpendicular to the coastline, yielding less reliable density measurements, are hatched.*

De koudegolf was extreem gebonden aan de kustlijn. Vooral tijdens de pieken in de avond (14 december) en middag (15 december) werden vanaf 5½ km afstand nog slechts sporadisch echo's waargenomen, respectievelijk 9% en 20%. Deze golf overheerste het algemene beeld voor december.

9 DANKWOORD

Dit onderzoek heeft alleen kunnen plaatsvinden, door de grote inzet van veel mensen. Dat het überhaupt zover is gekomen, dat de bij de Koninklijke Luchtmacht aanwezige expertise op het gebied van vogeltrek en geavanceerde radarapparatuur beschikbaar kwam voor dit onderzoek, is in de eerste plaats te danken aan de uitstekende afstemmingsbesprekingen die de laatste auteur had met mevrouw Ir H.C. Branderhorst van Directie Noordzee van het Ministerie van Verkeer en Waterstaat. Ook was de studie niet mogelijk geweest zonder de support en het vertrouwen van kol J.A.J. van Dam en Cdre C.W.M. Rasch. Kol E.J. Burmeister speelde een grote rol in de afrondende fase.

Zowel bij het voorwerk (ombouwen van de flycatcher), logistieke ondersteuning bij elke meetsessie, als bij het veldwerk zelf zijn wij AOO Gerard Smeelen meer dan normale dank verschuldigd. Zonder zijn enorme inzet was het project nooit van de grond gekomen.

Tijdens de meetsessies bestond het team uit een groep van vijf vaste mensen. Zonder hen had natuurlijk geen rapport voor u gelegen. De groep bestond uit Harry de Groot, Gerard Smeelen, Martine Maan, Jelmer van Belle en Hans van Gasteren. In de loop van het jaar werd eveneens afwisselend gebruik gemaakt van flycatcher operators uit de Luchtmacht. De volgende personen deden één of meerdere weken mee: Eit Gilbert de Winkel, Sgt Martijn te Winkel, Sgt1 Egon Harteman, Eit Marcel van Eeden, Nico Kooistra, SM Gerard van de Dobbelsesteen, Sgt1 Jaap van Asselt en Sgt Marcel de Weerd.

De voorbereidingen van het project heeft een aantal fasen doorlopen. Alvorens überhaupt sprake kon zijn van een project, zijn er diverse besprekingen door Henk Schobben en Henrike Branderhorst van de directie Noordzee (opdrachtgever) en Luit Buurma van de Koninklijke Luchtmacht (opdrachtnemer) gevoerd. Aan Luchtmachtzijde bestonden de technische voorbereidingen van het project in de eerste plaats uit het aanpassen van een Flycatcher. Om optimaal vogels te kunnen waarnemen is deze door Thomson/HSA omgebouwd tot Flightmapper. Door TNO/FEL is het Robin-systeem verder ontwikkeld, waardoor de radar op afstand kon worden bestuurd en radarbeelden naar de computer konden worden overgehaald en bewerkt. De opleidingsschool van de Koninklijke Luchtmacht heeft ons team alle kneepjes van de Flycatcher bijgebracht, om deze zelfstandig te kunnen opbouwen, afbreken en besturen. SM Gerard van de Dobbelsesteen, Jo van Vugt en Maj Bakx zijn wij zeer erkentelijk voor deze opleiding. Verder was Kap Velterop van het OCLOG van de Koninklijke Landmacht bereid ons de ins en outs van de bediening van de tankauto bij te brengen.

Voor de logistieke ondersteuning vanuit GGW De Peel, werd regelmatig een beroep gedaan op de chauffeurs van de MT (transportdienst). Voor de levering van voertuigen, maar ook een brandstoftankauto, konden we elke sessie weer rekenen op GGW De Peel. Voor onze operaties waren we afhankelijk van de beschikbaarheid van een container. Nadat de GGW De Peel (TOS) ons de eerste drie maanden er één wilde afstaan, konden we de rest van het jaar gebruik maken van een container van het 1 (GE/NL) Corps AOCC. We zijn de Kol Leenen en AOO Verwey hiervoor bijzonder dankbaar.

Op de punt van de zuidpier speelde het weer een grote rol. Bij harde wind, vooral als deze aanlandig was, en bij dreigend onweer (in verband met inslag in de flycatcher radar) konden we 24 uur per dag rekenen op de inzet van het Luchtmacht Meteorologisch Centrum. Wij konden de weerkamer aldaar altijd bellen. Verder hield de reddingsbrigade IJmuiden bij slecht weer een oogje in het zeil. Door de inzet van Maj Bos konden wij eveneens beschikken over de uurlijkse waarnemingen van de weerstations IJmuiden, Bloemendaal, Schiphol en meetpost Noordwijk, alsmede modeldata van het KNMI voor de hogere luchtlagen.

Rijkswaterstaat en dan met name de dienstkring Noordzeekanaal, in de personen van Ing J.W.M. van Maarschalkerweerd, F.H.G. Veldman en E. Stapper zijn wij dank verschuldigd voor het mogen "bewonen" van de in principe afgesloten zuidpier.

Om naast het radaronderzoek, toch ook informatie te verkrijgen van de vogels rondom de pieren, zijn gedurende het najaar trektellingen uitgevoerd aan het begin en eind van de pier. Steve Geelhoed coördineerde deze tellingen. Een andere telmethodiek (panoramatelling) werd gedurende één complete dagperiode per meetweek (vanaf de zomer) voor ons verzorgd door Albert de Hoon. Als

vervolg hierop voerde bureau Waardenburg in oktober en november gedurende 5 complete dagen deze tellingen uit. Wij zijn deze personen allen zeer erkentelijk voor het leveren van hun inspanning, waardoor wij een beter inzicht in de vogelbewegingen en soortenrijkdom rondom en langs de pier van IJmuiden konden krijgen.

Een eerdere versie van het rapport werd becommentarieerd door A. Dekker, H.C. Branderhorst en L.P.M. de Vrees. Hun opmerkingen hebben tot belangrijke verbeteringen van het rapport geleid.

Dan mogen we tot slot onze collega Arie Dekker zeker niet vergeten. Tijdens onze afwezigheid zorgde hij ervoor dat het vogeltrekwaarschuwingssysteem bezet bleef en wij onze metingen doorgang konden laten vinden.

10 LITERATUUR

- Alerstam T. 1990. Bird Migration. Cambridge University Press, Cambridge UK.
- Baptist H.J.M. & Wolf P.A. 1993. Atlas van de vogels van het Nederlands Continentaal Plat. Rapport Rijkswaterstaat, dienst getijdewateren, DGW-93.013, Middelburg.
- Batschelet E. 1981. Circular Statistics in Biology. Academic Press, London.
- Belle J. van, Maan M., Gasteren H. van & Buurma L.S. 2000. Using radar to obtain a quantitative description of summer bird movements in the Dutch coastal area. Proc. of the 25th Conference of the International Bird Strike Committee, Amsterdam, IBSC.
- Bellrose F.C. 1971. The distribution of nocturnal migrants in the air space. Auk 88: 397-425.
- Blackwell F., Houghton E.W., Wilmot T.A. 1974. Analysis and classification of bird flight and echo obtained by radar. Proc. of the 9th Bird Strike Committee Europe, Frankfurt.
- Bloch R., Bruderer B. & Steiner P. 1981. Flugverhalten nchtlich ziehender Vogel – Radardaten ber den Zug verschiedener Vogeltypen auf einem Alpenpass. Vogelwarte 31: 119-149.
- Bloem F. & Bloem-Margadant T. 1985. Enige aspecten uit 30 jaar vogeltrekwaarnemen van de vogelwerkgroep Haarlem. De Graspieper 5: 83-102.
- Bruderer B. 1971. Radarbeobachtungen ber den Frhlingszug im Schweizerischen Mittelland. Der Ornithologische Beobachter 68: 89-158.
- Bruderer B. 1997. The Study of Bird Migration by Radar. Part 1: The Technical Basis. Naturwissenschaften 84: 1-8.
- Bruderer B. & Steidinger P. 1972. Methods of quantitative and qualitative analysis of bird migration with a tracking radar. In: Galler *et al.* (eds). Animal orientation and navigation, pp. 151-167. NASA SP-262, Washington, D.C.
- Bruderer B., Steuri T. & Baumgartner M. 1995a. Short-range high-precision surveillance of nocturnal migration and tracking of single targets. Israel Journal of Zoology 41: 207-220.
- Bruderer B., Underhill L.G. & Liechti F. 1995b. Altitude choice by night migrants in a desert area predicted by meteorological factors. Ibis 137: 44-55.
- Bruderer B. & Weitnauer E. 1979. Radarbeobachtungen ber Zug und Nachtflge des Mauerseglers (*Apus apus*). Revue Suisse de Zoologie 79: 1190-1200.
- Buurma L.S. 1976. Radar..meer mogelijkheden en nieuwe complicaties bij het onderzoek aan vogeltrek. Het Vogeljaar 24: 169-172.
- Buurma L.S. 1977. Over trekvogels tijdens de vlucht. Waddenbulletin 12: 330-337.
- Buurma L.S. 1986. Nachtelijke vogeltrek in radar- en warmtebeeld. Veilig vliegen 33: 10-13.
- Buurma L.S. 1987. Patronen van hoge vogeltrek boven het Noordzeegebied in oktober. Limosa 60: 63-74.
- Buurma L.S. 1989. Klevit wordt Robin. Veilig Vliegen 36: 100-103.
- Buurma L.S. 1994. High bird densities assessed by radar, a Robin report. Proceedings BSCE 22: 223-242, Vienna.
- Buurma L.S. 1995. Long-range surveillance radars as indicators of bird numbers aloft. Isr. J. Zool. 41: 221-236.
- Buurma L.S., Lensink R. & Linnartz L.G. 1986. Hoogte van breedfronttrek overdag boven Twente: een vergelijking van radar en visuele waarnemingen in oktober 1984. Limosa 59: 169-182.
- Buurma L.S. & Bruderer B. 1990. The application of radar for bird strike reduction. Proceedings BSCE 20: 373-445, Helsinki.
- Buurma L.S. & van Gasteren H. 1989. Trekvogels en obstakels langs de Zuidhollandse kust. Rapport, Den Haag.
- Buurma L.S., M. Roos & H. van Gasteren *in voorbereiding*. Visuele tellingen ter bepaling van vogeldichtheden in de lucht. Intern rapport Koninklijke Luchtmacht, Den Haag.
- Camphuysen C.J. 1995. Herring Gull *Larus argentatus* and Lesser Black-Backed Gull *L. fuscus* feeding at fishing vessels in the breeding season: competitive scavenging versus efficient flying. Ardea 83: 365-380.
- Camphuysen C.J. 1998. Vliegveld in de Noordzee. Aanvaringsrisico's en de ecologische betekenis van de kustwateren tussen Goeree en Wijk aan Zee. Werkdocument voor TNLI – 1 juni 1998. CSR Consultancy, Oosterend, Texel.
- Camphuysen C.J. & van Dijk J. 1983. Zee- en kustvogels langs de Nederlandse kust, 1974-79. Limosa 56: 81-230.
- Camphuysen C.J. & Leopold M.F. 1994. Atlas of seabirds in the southern North Sea. IBN Research report 94/6, NIOZ Report 1994-8, Institute for Forestry and Nature Research, Netherlands Institute for Sea Research and Dutch Seabird Group, Texel.

- Camphuysen C.J., Verheij J. & Cremer J. 1999. Risk assessment of bird strike hazards: Gulls *Laridae*. CSR Consultancy report 99-011.
- Deelder C.L. & Tinbergen L. 1947. Waarnemingen over de vlieghoogte van trekkende Vinken (*Fringilla coelebs L.*) en Spreeuwen (*Sturnus vulgaris L.*). *Ardea* 35: 45-78.
- Deelder C.L. 1949. On the autumn migration of the Scandinavian Chaffinch *Fringilla coelebs L.* *Ardea* 37: 1-88.
- Dirx J. 1999. Report of the International Workshop. Estimation of bird numbers on a new island in the North Sea. Rapport, Directie Noordzee.
- Eastwood E. 1967. Radar ornithology. Methuen & Co Ltd, London.
- Eastwood E. & Rider G.C. 1965. Some radar measurements of the altitude of bird flight. *British Birds* 58: 393-426.
- Gauthreaux Jr. S.A. 1972. Behavioural responses of migrating birds to daylight and darkness: a radar and direct visual study. *The Wilson Bulletin* 84: 136-148.
- Geelhoed S.C.V. 2000. Zichtbare vogeltrek langs Bloemendaal aan Zee in 1999. BFO-rapport 2000-051. BFO Bureau Fauna Onderzoek, Haarlem.
- Geelhoed S.C.V., Groot H., Huijssteeden E. van, Leeuwen G. van & Nobel P. de (red) 1998. Vogels in het landschap van Zuid-Kennemerland. KNNV Uitgeverij, Utrecht.
- Griffiths M.E. 1970. Wingbeat frequencies and flight patterns of the more common migrant birds of the British Isles and Europe. Report No. 9, Biophysics Research Unit, University of Technology, Loughborough, Leics.
- Gruys-Cassimir E.M. 1965. On the influence of environmental factors on the autumn migration of chaffinch and starling: a field study. Thesis. *Arch. Néer. de Zoologie* 16: 165-279.
- Hoon A. de & Buurma L.S. 2000. Influence of land use on bird mobility, a case study of Eindhoven airport, 1998-1999. In: J. van Nugteren (ed.) Proc. of the 25th Conference of the International Bird Strike Committee, part II, p. 187-200, IBSC, Amsterdam.
- Houghton E. & Brough T. 1974. Estimating the Physical Dimensions of Birds by Radar. Proc. of the 9th Bird Strike Committee Europe, Frankfurt.
- Ireland L.C. & Willimas T.C. 1974. Radar observations of bird migration over Bermuda. In: Gauthreaux S.A. Jr. (ed.). A Conference on the biological aspects of the Bird/Aircraft collision problem, february 5-7, 1974, pp. 383-408. Clemson University, Clemson, South Carolina.
- Klomp H. 1956. The altitude of chaffinch migration. *Ardea* 44: 235-239.
- KNMI. 1999. Maandoverzicht van het weer in Nederland, februari tot en met december 1999.
- Lack D. 1959. Migration across the North Sea studied by radar. Part 1: Survey through the year. *Ibis* 101: 209-234.
- Lack D. 1962. Migration across the Southern North Sea studied by radar. Part 3: Movements in June and July. *Ibis* 104: 74-85.
- Lack D. 1963a. Migration across the Southern North Sea studied by radar. Part 4: Autumn. *Ibis* 105: 1-54.
- Lack D. 1963b. Migration across the Southern North Sea studied by radar. Part 5: Movements in august, winter and spring, and conclusion. *Ibis* 105: 461-492.
- Lensink R., Poot M.J.M., Dirksen S. & Winden J. van der 1998. Kwantificering van vogelbewegingen op en rond vliegveld Eindhoven; ontwikkeling van methodieken en waarneemprotocollen. Rapport 98.32, Bureau Waardenburg bv, Culemborg.
- Lensink R. & Kwak R. 1985. Vogeltrek over Arnhem in 1983 met een samenvatting over de periode 1981-83 en methodieken voor het bewerken van telmateriaal, deel 1 & 2. Rapport, Arnhem.
- Lensink R., Poot M.J.M., Tulp I., Hoon A. de & Dirksen S. 2000. Vliegende vogels op en rond vliegveld Eindhoven. Een studie naar aantallen en dichtheden in de onderste luchtlag. Rapport 00-005, Bureau Waardenburg bv, Culemborg.
- Liechti F. 1992. Flugverhalten nächtlich ziehender Vögel in Abhängigkeit von Wind und Topographie. Inauguraldissertation, Lange & Haak, Allensbach.
- Liechti F., Bruderer B. & Paproth H. 1995. Quantification of nocturnal bird migration by moonwatching: comparison with radar and infrared observations. *J. Field Ornithology* 66: 457-468.
- LWVT 1985. Handleiding Landelijke Werkgroep Vogeltrektellen. Rapport, Arnhem.
- Mostert K. & Laponder D. 1988. Opmerkelijke vogeltrek tijdens oostelijke winden in het najaar van 1987, Monster en Westduinpark (Den Haag). *Het Vogeljaar* 36: 204-213.
- Oxford University Press. 1998. Cramp's The Complete Birds of the Western Palearctic on CD-ROM.
- Platteeuw M., Ham N.F. van der & Ouden J.E. den 1994. Zeetrekellingen in Nederland in de jaren tachtig. *Sula* 8: 1-203.

- Piersma T., Zwarts L. & Bruggemann J.H. 1990, Behavioural aspects of the departure of waders before long-distance flights: flocking, vocalizations, flight paths and diurnal timing. *Ardea* 78: 157-184.
- Poot M.J.M., Lensink R., Belle J. van & Gasteren H. van. 2000a. Validatie visuele waarneemmethoden met behulp van radar en vogeldichtheden boven de Pier van IJmuiden in het najaar 1999. Rapport 00-083, Bureau Waardenburg bv, Culemborg.
- Poot M.J.M., Lensink R., Brandjes J., Winden J. van der, Dirksen S. & Buurma L.S. 2000b. Comparison between the number of birds aloft above a coastal and an inland area in The Netherlands measured with a standard visual method. In: J. van Nugteren (ed.) Proc. of the 25th Conference of the International Bird Strike Committee, part II, p. 222-225. IBSC, Amsterdam.
- Richardson W.J. (1978). Timing and amount of bird migration in relation to weather: a review. *Oikos* 30: 224-272.
- Richardson W.J. (1990). Timing of bird migration in relation to weather: updated review. In: E. Gwinner (ed) *Bird migration*, Springer-Verlag Berlin, Heidelberg 1990,
- Richardson W.J. & West T. 2000, Serious birdstrike accidents to military aircraft: updated list and summary. In: J. van Nugteren (ed). *Proceedings of the 25th Conference of the International Bird Strike Committee*, Amsterdam, The Netherlands, 17-21 April 2000, pp. 67-97. IBSC, Amsterdam.
- Skolnik M.I. 1980, The simple form of the radar equation, Ch 1.2: Introduction to radar systems. In: *Introduction to radarsystems*. McGraw-Hill, New York.
- Thorpe J. 1996. Fatalities and Destroyed Civil aircraft due to Bird Strikes 1912-1995. In: *Proceedings of the 23th Conference of the International Bird Strike Committee*, London, 13-17 May 1996, pp. 17-31. IBSC, London.
- Tinbergen L. 1941. Over de rol van de Hollandse duinenrij bij de oriëntatie van trekkende Vinken en Spreeuwen. *Limosa* 14: 1-20,
- WBU. 1998. Quick Look Logging, version 3.11. Handleiding, uitgave van de Koninklijke Landmacht.
- Williams T.C., Williams J.M., Teal J.M. & Kanwisher J.W. 1972. Tracking radar studies of bird migration. In: *Galler et al. (eds). Animal orientation and navigation*, pp. 115-128. NASA SP-262, Washington, D.C.
- Williams J.M. & Williams T.C. 1974. Bird migration over the North Atlantic. In: Gauthreaux S.A. Jr. (ed.). *A Conference on the biological aspects of the Bird/Aircraft collision problem*, february 5-7, 1974, pp. 359-382. Clemson University, Clemson, South Carolina.

SAMENVATTING

In verband met de sterke groei van de luchtvaart overweegt de regering een uitbreiding van de bestaande vliegveldcapaciteit. Eén van de alternatieven is om een vliegveld in te richten op een kunstmatig eiland in de Noordzee. Hiervoor wordt momenteel een haalbaarheidsstudie uitgevoerd. Eén van de aspecten van deze studie is de bepaling van het vogelaanvaringsrisico. Om dit risico vast te stellen is inzicht in het driedimensionale vlieggedrag van vogels vereist.

Dit inzicht ontbreekt, met name 's nachts en op grotere hoogte. Door de beperkingen van het menselijk oog bestaan er bovendien geen goede kwantitatieve literatuurgegevens over de ruimtelijke verdeling van vogels toen opzichte van de kust. De directie Noordzee van het Ministerie van Verkeer en Waterstaat deed daarom een beroep op expertise en radarapparatuur van de Koninklijke Luchtmacht teneinde zoveel mogelijk gegevens in het veld te verzamelen. Er werd gebruik gemaakt van een Flycatcher tracking radar die voor dit doel werd gemodificeerd. Van februari tot en met december 1999 werd maandelijks maximaal een week continue geregistreerd.

De westkust van Nederland blijkt zowel in het voorjaar als in het najaar te worden overvlogen door zogenaamde breedfronttrek van en naar Engeland, langs de as WZW/W – ONO/O. Daarnaast is er vaak trek parallel aan de kust; zowel 's nachts als overdag en op geringe en grotere hoogte. Tenslotte is er intensief lokaal verkeer van met name meeuwen. Tegenwoordig zorgen deze vogelverplaatsingen voor vogelvliegeactiviteit langs de kust, waarvan de dichtheid richting zee afneemt. Doel van deze studie was de vogelvliegeactiviteit langs de kust bij IJmuiden te ontrafelen en te kwantificeren.

In een meetperiode werden gedurende ieder uur 20 minuten besteed aan de kwantificering van vogelbewegingen met een standaard meetprogramma, aangestuurd en (deels) geanalyseerd door ROBIN (video-extractor en software om radarbeelden op te kunnen nemen en te analyseren). De overige tijd werd besteed aan het volgen en identificeren van vogelecho's. Als een gevolgde echo één vliegende vogel betrof, wat vooral 's nachts vaak het geval was, werd de fluctuaties van het radarsignaal bepaald door de vleugelslagfrequentie. Dit maakte een ruwe soortgroepidentificatie, en zo een bepaling van de grootte, c.q. het gewicht van de vogel mogelijk. Overdag konden vogels visueel worden geïdentificeerd met een, parallel aan de trackantenne geplaatste, video camera. Tot slot werden in het najaar gestandaardiseerde visuele tellingen uitgevoerd.

In het voor- en najaar van 2000 is de bundelvorm van de trackantenne gecallibreerd aan de hand van breedfronttrek van middelgrote zangvogels in het zuidoosten van Nederland. De theoretische bundelvorm kon worden berekend aan de hand van de gedefinieerde -3dB hoeken en de maximale afstand waarop een vogel kan worden waargenomen. De theoretische bundelvorm wordt bevestigd door de calibratieproeven en resulteert in een effectieve uitreehoek van 4.4° op 3 kilometer afstand voor middelgrote zangvogels. Bovendien bleek aan de hand van de calibratieproeven dat bij kleine zangvogels op een afstand van meer dan 6 km vanaf de radar de detectiekans nog 50% was. In deze studie zijn daarom uitsluitend metingen tot 6 kilometer gebruikt, resulterend in een maximale afstand van 8½ kilometer uit de kust.

In dit rapport is de vogelsituatie voor alle maanden afzonderlijk beschreven, rekening houdend met de afstand tot de kust, de hoogteverdeling en de verschillende soortgroepen. Een relatie met de weersgegevens wordt gelegd, alsook een vergelijking met visuele waarnemingen. Ook wordt een geïntegreerde en kwantitatieve beschrijving gegeven, zowel van de variaties over het seizoen, de hoogteverdeling als de dichtheidsgradiënt vanuit de kust.

Gedurende het hele jaar domineerden de meeuwen; 83% van alle overdag gevolgde en 44 % van alle 's nachts gevolgde vogels betrof meeuwen. Ook in de trektijd domineerden de meeuwen overdag. Alleen in de nachten van de trekperioden, en bij de vorsttrek in december, namen watervogels de overhand. Zangvogels zijn boven zee slechts af en toe, in kleine aantallen, waargenomen. Overdag betrof de zangvogeltrek vrijwel altijd breedfronttrek van of naar Groot-Brittannië, 's nachts vlogen ook wel kleine aantallen vogels boven zee parallel aan de kust.

Zowel in november als december is koudetrek geregistreerd. De herfsttrek van zangvogels boven de zeereep werd wel waargenomen, maar blijkt op lage hoogte te passeren waardoor met name overdag veel door de radar werd gemist.

Vanwege de verstoring door golven konden boven zee alleen boven de 100 meter kwantitatieve 3D-dichtheden worden bepaald. Zeer sterke trek kwam boven zee alleen voor in de nachten van maart-april en september-oktober. Vorsttrek kon op enkele nachten in november en december ook zeer sterke trek opleveren. Matige trek boven de 100 meter kwam in het hele jaar af en toe voor, zowel overdag als 's nachts. In de nachten van oktober en maart was boven de 100 meter vrijwel altijd sterke tot zeer sterke trek aanwezig. Vogelvliegbewegingen als gevolg van andere fenomenen dan vogeltrek (ruitrek, lokale bewegingen en lokale bewegingen veroorzaakt door visserijactiviteiten) kwamen zowel overdag als in de nacht veel voor.

In alle maanden gedurende het hele etmaal is boven de 100 meter een logaritmisch afnemende dichtheidsgradiënt vanaf de kust zichtbaar. De grootste dichtheden werden meestal op 2½ - 4 of 4 - 5½ km uit de kust en éénmaal op 5½ - 7 km vastgesteld. Verder weg namen de dichtheden altijd af. Extrapolerend, uitgaande van de waargenomen logaritmische afname, zal de dichtheid lager dan 1 echo per km² worden op een afstand van 9 tot 11 km uit de kust.

De hoogteverdelingen boven zee zijn in drie typen onder te brengen. Meestal was de dichtheid het hoogst in de onderste honderd meter en nam sterk af met de hoogte. Soms ook was de onderste luchtlag (100-200 meter) echter vrijwel leeg, met hoge dichtheden op 200-400 meter en daarboven een sterke afname. Tot slot is af en toe waargenomen dat de grootste dichtheden werden vastgesteld in smalle hoogtebanden, met weinig tot geen vogels daaronder én daar boven. Meestal bevond zo'n hoogteband zich tussen de 1000 en 1300 meter, maar uitschieters tot boven de 2 kilometer kwamen voor. De hoogteverdelingen corresponderen vaak met luchtlagen met rugwind. Vogels weten blijkbaar de voor hun meest gunstige wind te selecteren. Overdag komt uitsluitend de eerstgenoemde hoogteverdeling voor. De twee andere verdelingen komen hoofdzakelijk 's nachts voor, waarbij de derde hoogteverdeling (maxima boven de 1000 meter) bovendien uitsluitend in het voorjaar is geconstateerd.

Soms waren tussen de verschillende soortgroepen grote verschillen in vlieghoogte te onderscheiden. Vooral de meeuwen waren beperkt tot de onderste luchtlag; 50% van alle meeuwen vlogen overdag boven zee onder de 31 meter, in de nachten zelfs onder de 15 meter. Van de grote zangvogels (spreeuw en groter) vloog 50% onder de 175 meter (overdag) of onder de 271 meter (nacht). Kleine zangvogels werden op min of meer dezelfde hoogte gedetecteerd. De watervogels, zowel de grote als de kleine soorten, namen een intermediaire hoogte in.

De gevolgde vogels waren grotendeels NNO of ZZW georiënteerd en vlogen langs de kust. In maart en oktober vond breedfronttrek in O en WZW richting plaats, respectievelijk van en naar Engeland. Richtingsveranderingen bij het passeren van de kustlijn konden niet worden vastgesteld, ook niet wanneer de meeuwen werden weggelaten uit de analyse. Hierbij dient wel te worden opgemerkt dat boven land niet onder de 75 meter hoogte kon worden gekeken. Vooralsnog kan alleen worden geconcludeerd dat vogels boven de 75 meter hoogte blijkbaar niet op de kustlijn reageren, of dat de selectie van soorten en richtingen buiten het bereik van de radar heeft plaatsgevonden. In de zomermaanden bestonden de bewegingen van meeuwen uit het af en aanvliegen tussen de broedgebieden of rustplaatsen in de haven en de Noordzee. De richtingen waren daarbij ONO of ZW - WZW.

Tot slot zijn uit de *timelapse* opgenomen videobeelden van de zoekantenne de dichtheden in de onderste 100 meter geschat. Rekening houdend met het aandeel van de vliegpaden in deze hoogteband (zie hierboven) kon een dichtheidsschatting worden verkregen. De meeste tracks betroffen meeuwen & sterns (vaak zelfs 80-95%, voornamelijk Zilvermeeuw en Kleine Mantelmeeuw). De gevonden dichtheden toonden zowel boven zee als in de kustzone (eerste 2½ kilometer vanaf het strand) een duidelijke correlatie met het aantal actieve vissersboten binnen het 5 kilometer radarbereik.

SUMMARY

Quantifying bird movements along the coast near IJmuiden: a radar study.

In view of the strong growth of the aviation, the Dutch government considers to expand the total runway capacity. One of the alternatives is to create an airport on an artificial island in the North Sea. A feasibility study is carried out in which, among other aspects, the bird strike risk associated with such a location. To establish the bird strike risk detailed knowledge of the three-dimensional distribution of bird densities is necessary.

This knowledge is lacking, especially for the situation during the night and at higher altitudes. Furthermore the literature does not provide quantitative information on the spatial distribution of birds in relation to the coast. The directorate North Sea of the Ministry Transport, Public Works and Water Management therefore called on the expertise and radar equipment of the Royal Netherlands Air Force for the collection of data. A Flycatcher tracking radar was modified for this purpose. Every month from February till December 1999 during one week data were collected continuously.

Each spring and autumn the West coast of the Netherlands is crossed by birds travelling in broad front migration from or to Britain along a WSW/W - ENE/E axis. Furthermore, during night and day and at lower as well as higher altitudes there often is bird migration parallel to the coast. On top of these movements of migrating birds the dynamics of local birds (mainly gulls) are responsible for many flight movements. Together, all these bird movements result in flight activity along the coast of which the intensity decreases with the distance to the coast. This study aims to disentangle and quantify all these flight movements of birds near IJmuiden.

During a week of fieldwork 20 minutes out of every hour was spend on the quantitative description of bird movements in a standardised way using ROBIN (a computer application for the recording and analysing of radar images). During the remaining 40 minutes of every hour birds were tracked and identified using the tracking mode of the Flycatcher radar. If the tracked radar echo was produced by a single bird (which mainly occurred at night) the fluctuation of the radar signal corresponds with the wing beat frequency of the bird. This enabled a rough classification of the bird species in groups that correspond to weight classes. During daytime birds could be visually identified by use of a camera mounted parallel on the radar antenna. In autumn standardised visual counts were also conducted.

In spring and autumn 2000 the shape of the beam from the tracking radar was calibrated during broad front migration of medium sized passerines in the south-eastern part of the Netherlands. The theoretical beam shape was calculated using the -3dB angles and the maximum distance at which a bird could be detected. The theoretical beam shape was confirmed by the calibration experiments and resulted in an effective angle of 4.4° at a distance of 3 kilometre for medium sized passerines. During the calibration experiments it turned out that at a distance of 6 kilometre the probability of detection for small passerines approached 50%. In this therefore only measurements up to 6 kilometres were used. Since the radar was positioned at the end of a pier protruding two kilometres into the sea a maximum distance of $8\frac{1}{2}$ kilometre from the coast was covered in this study.

In this study for each month the bird situation is presented regarding spatial and altitude distribution and species involved. A relation to weather data is suggested. Comparisons with visual observations were performed. Also an integrated and quantified overall description is added mainly dealing with seasonal variations in bird density, the altitude distribution of flying birds and the gradient in bird density perpendicular to the coast.

All year gulls dominated; 83% of all tracked echo's during daytime and 44% during night. Even in the main migration period's gulls dominated during daytime. During the nights in the main migration period's and during cold weather movements waders and waterfowl were most numerous. Passerines were seen over sea only occasionally in small numbers. During daytime passerines flying above sea nearly always were part of a broad front migration movement to or from Great-Britain. At night also "guided migration" along the coast was seen.

Since sea clutter disturbed the radar in the first 100 metres altitude, quantitative measurements of bird densities above sea could only be realised above 100 meter. Very strong migration above sea was

only observed during several nights in March-April and September-October. Cold rushes during some nights in November also resulted in very strong migration. Migration of intermediate intensity above 100 metres altitude was detected occasionally in nearly all sessions, both during day and night. During the nights in October and March nearly always strong to very strong migration was observed above 100 metres altitude. Bird movements resulting from other phenomena than large scale migration (local movements, moult migration and flight movements that clearly related to fishery) were frequently observed, both during day and night.

During all months, at all hours of the day (24 hours) the echo density above 100 metres altitude decreased logarithmic at a distance of 4 - 5½ km the coast. Highest densities were observed between 2½ - 4 and sometimes at 5½ - 7 kilometre from the coast. At more than 7 kilometres from the coast densities always decreased. Extrapolating according to the observed logarithmic decrease, the density of flying birds will be less than 1 echo per km² at a distance of 9 - 11 kilometres from the coast.

Altitude distributions above sea can be classified into three types. Most frequently the highest densities were present in the lowest altitude layers, decreasing rapidly with altitude. Sometimes the lowest layers (100-200 metres) were empty and high densities were recorded between 200 and 400 metres, decreasing from there on. Finally, occasionally altitude distributions were observed in which high densities were present in a narrow altitude layer and no birds above or underneath it. These altitude concentrations mostly occurred between 1000 and 1300 metres but also has been registered between 2000 and 2100 meter. The altitude distributions often correspond with the distribution of wind directions (and force); highest densities mostly occurred in air layers with tail winds. Birds apparently are able to select the most favourable winds. During daytime only the first described altitude distribution was noticed. The other two distributions appeared at night, but the third distribution (highest densities above 1000 meter) was limited to spring nights.

Different altitude distributions for different species groups were observed. Gulls were limited to the lowest altitudes, 50% of all gulls during daytime were detected beneath 31 metres and during night even beneath 15 metres. Of the larger passerines (Starling and upwards) 50% was detected beneath 175 meter (day) or beneath 271 meter (night). Smaller songbirds were detected at more or less the same altitudes. Waders and waterfowl, both large and small species, were detected at intermediate altitudes.

Tracked birds mainly flew in NNE or SSW direction and followed the coast. During March and October broad front migration E (spring) or WSW (autumn) across the North Sea was registered. Changes in direction when crossing the coastline were not found. Notice that birds above land could not be detected below 75 metres. Therefore as yet we can only conclude that birds crossing the coastline at 75 meter or higher do not react to this phenomenon, providing that no selection of species and/or directions took place outside the radar range. During summer the main movements were gulls, flying between breeding colonies and foraging areas at sea. The main directions were ENE or SW-WSW.

Finally bird densities in the lowest altitude (0-100 meter) were estimated from timelapse recorded video of de search beam. Taking into account the proportion of tracks detected in this layer, an estimate of the overall bird density could be obtained. Most tracks consisted of gulls (often 80-95%, mainly Herring Gull or Lesser Black-backed Gull). Densities above sea as well as above the coastal zone (first 2½ kilometre from the beach) did show a positive correlation with the number of active fishing trawlers in the 5-kilometre radar range.

APPENDIX A. VERKLARENDE WOORDENLIJST

<u>2D-Dichtheid</u>	Tweedimensionale dichtheid, echo's per km ² . Totale dichtheid, geprojecteerd in een plat vlak en daarmee onafhankelijk van hoogte.
<u>3D-Dichtheid</u>	Driedimensionale dichtheid (of eigenlijk gewoon dichtheid). Wordt uitgedrukt in echo's per km ³ per 100 meter hoogtelaag. In dit rapport wordt deze 3D-dichtheid gebruikt om hoogteverdelingen te beschrijven. Deze dichtheden worden bepaald uit de flux van de elevatiescan. Bij de berekening van flux naar dichtheid wordt gebruik gemaakt van de gemiddelde vliegsnelheid (zie hiervoor de methodiek).
<u>AGC</u>	<i>Automatic Gain Control</i> . Automatische signaalcorrectie voor de radarontvanger. Hiermee wordt de hoeveelheid ontvangen energie gladgestreken. Deze correctie is dus complementair aan de fluctuatie van het signaal. Als een radarecho wordt veroorzaakt door één enkele vogel wordt de fluctuatie van het radarsignaal mede veroorzaakt door de vleugelslag van die vogel. Daardoor is het vaak mogelijk hieruit het vleugelslagpatroon te herleiden. Werkt alleen bij de <i>doelvolgantenne</i> .
<u>Azimutscan</u>	Horizontale scan met de <i>doelvolgantenne</i> . De elevatie kan worden ingesteld van 0° tot 85°. Door de smalle bundel van de <i>doelvolgantenne</i> kan uit de afstand tot de radar en de ingestelde elevatie de hoogte worden bepaald, met een nauwkeurigheid van circa 200 meter.
<u>Breedfronttrek</u>	Vogeltrek die in een breed front Nederland of, in deze studie, de Noordzee oversteeft. Vaak is deze trekbaan enkele 100 ^{en} kilometers breed.
<u>Clutter</u>	Vervulling van het radarbeeld door ongewenste echo's, bijvoorbeeld van golven (zeeclutter) of objecten op de grond (grondclutter) zoals bijvoorbeeld huizen, masten, bomen, maar ook duinen.
<u>Doelvolgantenne</u>	Radarantenne met een kleine uitreehoek. Wordt normaliter gebruikt om individuele echo's te volgen. Dit levert zowel gedetailleerde informatie over het vliegpad als soortinformatie (AGC, zie boven). De doelvolgantenne van de Flycatcher is zo gemodificeerd dat deze ook als zoekantenne kan fungeren in het horizontale vlak (azimutscan) en verticale vlak (elevatiescan).
<u>Elevatiescan</u>	Verticale scan met de <i>doelvolgantenne</i> . De azimutrichting van de antenne kan naar keuze worden ingesteld. De doelvolgantenne knikt op en neer tussen de 0 en 85°. Het doel van de elevatiescan is om een flux (MTR) van de <u>vogeltrek</u> op verschillende hoogtelagen in een zo kort mogelijke tijd te bepalen. Wanneer de elevatiescan dwars op de vliegrichting van de vogels wordt gepositioneerd, prikken alle echo's kort door het scanvlak. Door de afstand en hoogte van de echo's uit te lezen kan een hoogte- en afstandspecifieke flux worden berekend. Zie ook flux.
<u>Flux</u>	Het aantal passerende vogels per kilometer front, haaks op de trekrichting gemeten. Ook wel MTR (= <i>Mean Traffic Rate</i>) geheten. De flux kan alleen worden uitgerekend bij één dominante vliegrichting.
<u>Gestuwde trek</u>	Vogeltrek die zich door elementen in het landschap in een smalle baan laat leiden. In deze studie is dat de overgang tussen land en zee. Landvogels willen niet over zee vliegen en buigen over de duinen naar het zuiden af. Het tegenovergestelde komt voor bij zeevogels die het land mijden.
<u>Moonwatching</u>	Methode om 's nachts trekkende vogels te kunnen tellen. Bij helder weer worden alle vogels geteld die voor de (lichte) maan langs vliegen. In plaats van de maan als lichtbundel wordt ook wel een schijnwerper gebruikt. Nachtelijke trektellingen met infrarood camera's berusten op hetzelfde principe.

<u>MTR</u>	<i>Mean Traffic Rate.</i> Zie verder flux.
<u>PPI</u>	<i>Plan Position Indicator.</i> Het radarbeeld geprojecteerd in een plat vlak. Bij de Flycatcher wordt een kleurenmonitor gebruikt.
<u>PRF</u>	<i>Puls Repetition Frequency.</i> De frequentie waarmee pakketjes radarenergie worden weggezonden.
<u>Reversed migration</u>	Omkeertrek. Bijvoorbeeld van vogels die in het najaar naar het NO vliegen in plaats van het ZW en andersom. Treedt vrijwel altijd op onder invloed van de wind.
<u>Search beam</u>	Zoekantenne.
<u>STC</u>	<i>Sensitivity Time Control.</i> Deze radarinstelling corrigeert het signaal tijd (= afstand) afhankelijk. De STC heeft hierdoor invloed op de bundelbreedte, azimuthscan en elevatiescan.
<u>MTI</u>	<i>Moving Target Indicator.</i> Radarfilter wat bewegende objecten (dus ook vogels) onderscheid van stilstaande objecten. De bewegende objecten worden in een aparte kleur op de PPI weergegeven.
<u>Zoekantenne</u>	Radarantenne met een brede uitreehoek, in het geval van de Flycatcher 20°. De zoekantenne wordt gebruikt om een overzichtsbeeld van de omgeving weer te geven. Voor vogels wordt de luchtlag tussen 0 en 1000 meter hoogte (op 5 km afstand) bemonsterd. Vogels kunnen worden waargenomen tot een afstand van circa 7 kilometer (zijaanzicht). Groepen en grote vogels (Zilvermeeuw en groter) kunnen tot 10 kilometer worden waargenomen (het maximum instelbare bereik van deze radar).

APPENDIX B. DE VORM VAN DE RADARBUNDEL

Hier wordt aangegeven hoe de bundelbreedte wordt berekend voor een object met een gegeven radar cross-sectie, naar een interne notitie van Moonen 1996. De hoeveelheid uitgezonden en weer gereflecteerde energie wordt uitgedrukt in Watts per oppervlakte-eenheid en wordt hierna genoemd "intensiteit". In het hart van de bundel neemt de door een onderschept object gereflecteerde, door de radar ontvangen energie-intensiteit af met de afstand tot de antenne volgens de radarformule (Skolnik 1980):

$$I(r) = \frac{K \cdot \sigma}{r^2} \quad (1)$$

waarbij

I = intensiteit in W per oppervlakte

r = afstand tot de antenne

σ = radar cross sectie (oppervlakte)

K = constante, opgebouwd uit het vermogen van de radar (W) en de versterking van de antenne (dimensieloos)

De intensiteit op een gegeven afstand r neemt af van het hart tot de rand van de radarbundel volgens de Gaussische of normaalverdeling, door Moonen bewerkt voor het hoekverschil:

$$G(\varphi) = C \cdot e^{-\left(\frac{\varphi - \mu}{\phi}\right)^2} \quad (2)$$

waarbij

G = relatieve vermogen ten opzichte van het vermogen in het hart van de bundel (dimensieloos).

μ = de hoek van hart van de bundel met de aarde, oftewel de kijkhoek van de radar.

φ = de hoek van een punt op afstand r , op een gegeven hoogte, met de aarde (gemeten vanaf de antenne).

C, ϕ = constanten die voortkomen uit de radardefinitie.

De resulterende energie-intensiteit op afstand r , hoek φ bedraagt dus

$$I(r, \varphi) = I(r) \cdot G(\varphi) \quad (3)$$

oftewel

$$I(r, \varphi) = \frac{K \cdot \sigma \cdot C \cdot e^{-\left(\frac{\varphi - \mu}{\phi}\right)^2}}{r^2} \quad (4)$$

Als van een object bekend is wat de maximale detectieafstand R_{max} is, dan is voor iedere afstand r de maximale bundelbreedte voor dat object te berekenen. Immers, de intensiteit op R_{max} in het hart van de bundel, oftewel als $\varphi = \mu$, is gelijk aan de intensiteit op een afstand r , aan de rand van de bundel, (dus $\varphi = \varphi_{max}$):

$$I(R_{max}, \varphi = \mu) = I(r, \varphi_{max}) \quad (5)$$

Invullen van formule (4) geeft:

$$\frac{K \cdot \sigma \cdot C \cdot e^{-\left(\frac{\mu - \mu}{\phi}\right)^2}}{R_{\max}^4} = \frac{K \cdot \sigma \cdot C \cdot e^{-\left(\frac{\varphi_{\max} - \mu}{\phi}\right)^2}}{r^4} \quad (6)$$

De constanten K , σ en C kunnen worden weggestreept:

$$\frac{e^0}{R_{\max}^2} = \frac{e^{-\left(\frac{\varphi_{\max} - \mu}{\phi}\right)^2}}{r^2} \quad (7)$$

Aangezien $e^0 = 1$, volgt dat

$$e^{-\left(\frac{\varphi_{\max} - \mu}{\phi}\right)^2} = \frac{r^2}{R_{\max}^2} \quad (8)$$

$$e^{-\left(\frac{\varphi_{\max} - \mu}{\phi}\right)^2} = \left(\frac{r}{R_{\max}}\right)^2 \quad (9)$$

$$-\left(\frac{\varphi_{\max} - \mu}{\phi}\right)^2 = 2 \ln\left(\frac{r}{R_{\max}}\right) \quad (10)$$

$$\left(\frac{\varphi_{\max} - \mu}{\phi}\right) = \pm \sqrt{-2 \cdot \ln\left(\frac{r}{R_{\max}}\right)} \quad (11)$$

$$\varphi_{\max} - \mu = \pm \phi \cdot \sqrt{2} \sqrt{-\ln\left(\frac{r}{R_{\max}}\right)} \quad (12)$$

$$\varphi_{\max} = \mu \pm \sqrt{2} \cdot \phi \sqrt{-\ln\left(\frac{r}{R_{\max}}\right)} \quad (13)$$

Dit is de formule voor de relatie tussen bundelbreedte en afstand, uitgedrukt voor de hoeken van de boven- en onderkant van de radarbundel ten opzichte van het aardoppervlak. De waarde voor ϕ vinden we als volgt:

Het hart van de bundel, μ , ligt uiteraard midden tussen de gedefinieerde -3dB punten φ_{upp} en φ_{low} , oftewel

$$\mu = \frac{\varphi_{\text{upp}} + \varphi_{\text{low}}}{2} \quad (14)$$

Per definitie is de hoeveelheid energie op een -3dB punt, bijvoorbeeld φ_{upp} , gelijk aan de helft van de hoeveelheid energie in het hart van de bundel. Vullen we dit bij functie (2), dan volgt:

$$C \cdot e^{-\left(\frac{\mu - \mu}{\phi}\right)^2} = 2 \cdot C \cdot e^{-\left(\frac{\varphi_{upp} - \mu}{\phi}\right)^2} \quad (15)$$

$$C \cdot e^0 = 2 \cdot C \cdot e^{-\left(\frac{\varphi_{upp} - \mu}{\phi}\right)^2} \quad (16)$$

$$e^{-\left(\frac{\varphi_{upp} - \mu}{\phi}\right)^2} = \frac{1}{2} \quad (18)$$

$$-\left(\frac{\varphi_{upp} - \mu}{\phi}\right)^2 = \ln\left(\frac{1}{2}\right) \quad (19)$$

Vullen we functie (14) in voor μ , dan volgt

$$-\left(\frac{\varphi_{upp} - \frac{1}{2}(\varphi_{upp} + \varphi_{low})}{\phi}\right)^2 = \ln\left(\frac{1}{2}\right) \quad (20)$$

oftewel

$$\left(\frac{\varphi_{upp} - \frac{1}{2}(\varphi_{upp} + \varphi_{low})}{\phi}\right)^2 = \ln(2) \quad (21)$$

waaruit volgt

$$\frac{\varphi_{upp} - \frac{1}{2}(\varphi_{upp} + \varphi_{low})}{\phi} = \sqrt{\ln(2)} \quad (22)$$

$$\frac{\frac{1}{2}\varphi_{upp} - \frac{1}{2}\varphi_{low}}{\phi} = \sqrt{\ln(2)} \quad (23)$$

$$\phi = \frac{\frac{1}{2}\varphi_{upp} - \frac{1}{2}\varphi_{low}}{\sqrt{\ln(2)}} \quad (24)$$

$$\phi = \frac{\varphi_{upp} - \varphi_{low}}{2 \cdot \sqrt{\ln(2)}} \quad (25)$$

Voor de uiteindelijke functie voor de hoeken van de boven- en onderkant van de bundel ten opzichte van het aardoppervlak, bij een gegeven radar en een te onderscheppen object met een gegeven radar cross-sectie voegen we de functies (14) en (25) in bij functie (13), resulterend in

$$\varphi_{\max} = \frac{1}{2} (\varphi_{\text{upp}} + \varphi_{\text{low}}) \pm \frac{\sqrt{2} \cdot (\varphi_{\text{upp}} - \varphi_{\text{low}}) \cdot \sqrt{-\ln\left(\frac{r}{R_{\max}}\right)}}{2 \cdot \sqrt{\ln(2)}} \quad (26)$$

